

INSTITUTUL POLITEHNIC „TEHNIK VOLTA” DIN TEHNICA  
ENGINERATĂ DIN UMANITATEA MECANICĂ

Ing. NGUYỄN TÙ

„OCHEVIEREA LA ELABORAREA PROIECTEILOR DE  
ACOVIDATORIASE A UTILIZAȚIILOR MOTOCARILOR  
DE CRAICOS”

Test de doctorat  
pentru obținerea titlului științific de  
„Doctor inginer”

Conducător științific

Prof.Dr.Doc.Ing. STEFAN CAPROIU

BIBLIOTECĂ CENTRALĂ  
UNIVERSITATEA “POLITEHNICA”  
TIMIȘOARA

INSTITUTUL POLITEHNIC TIMIȘOARA

BIBLIOTECĂ

CENTRALĂ

Volumul Nr. 291.478

Dulap 61 Lit. C

În începutul acestor lucrări, autorul lătă exprimat și pe acestuia călăuzămintele se recunoscății să fie ale teovăzal Prof.-dr.-doc.-ing. CARPOIU GHEORGHE catedratorul său științific, pentru indicațiile dozeabilă de prețioase, orientarea în cercetare, sprijinul permanent și stăpânul acordat pentru a face le bun așteptă încrezute de său.

Multumesc profund și sincer teovăzalui Prof.-dr.-ing. NICU VASILE, catedratorul de Inginer agricolă a Institutului Politehnic din Cluj, pentru indicațiile prețioase și documentările dozeabilă de valoroase.

Multumesc în mod sincer consilierului Facultății de Economic Agricolă a Institutului Politehnic „Traian Vuia” din Timișoara, pentru sprijinul acordat și profundă înțelegere pe care am avut-o în tot timpul etajului meu la R.S. ROMAVIT.

Multumesc de cunoștințe confidențiale, inginerilor și monitorilor INSTITUȚIALEI DE ÎNCARCĂTARE I FRANZ FORTNERI din Timișoara, unde am avut oportunitatea de a efectua experimentările.

Multumesc și pe acestuia călăuzămintelor să fie ale catedratorului de MASTER MACHINIS din Facultatea de Economic Agricolă a Institutului Politehnic „Traian Vuia” pentru sprijinul acordat pe tot parcursul elaborării lucrării.

## INTRODUCERE

Uzura de cilindru constituie una dintre cele mai importante piese ale motorilor cu ardere internă. Aceasta, supusă în pictoral și eșantii fizice și parțial motorului în curs de procese procesale energetică. De calitatea și starea se depinde, în mod evident, comportarea motorului din punct de vedere economic, energetic și mecanic.

Uzura cilindrilor de cilindru determină consumul ridicat de combustibil și lubrifiant și reduserea puterii motorului cu limitele admise. În aceste condiții energie furnizată de motor devine neeconomie.

Durata de serviciu a motorilor este determinată și de gradul de uzură a cilindrilor de cilindru, iar cheltuielile pentru înlocuirea cilindrilor sunt săi mari dacă cheltuielile pentru reparația altor organe ale motorului [38]. Cilindrii de cilindru sunt piesele care au cea mai accentuată viteză de uzură.

Întrucât motoarele supuse supraprișii capătă, se concentă că în urmă utilizii cilindrilor în funcționare, motorile de la forme geometrice și în secțiune transversală (ovalitatea) și și în cea longitudinală (conicitatea) depășesc valoriile admisibile (fig.3). De aceea este necesară înlocuirea lor cu alții noi, sau recondiționarea celor uscați pentru obținerea stării tehnice inițiale.

La repararea utilajelor agricole, în special a motorilor de tractoare, cît în țară cît și în străinătate se manifestă tendința de extindere și perfectionare a proceselor de recondiționare a pieselor uscate, datorită avantajelor tehnico-economice mult mai mari decât în cazul înlocuirii cu altele noi [125].

Din experiența unor unități frontiere rezultă că, prin extinderea găsii de recondiționări în atelierele proprii și în următoare de reparații, se poate evita imobilizarea tractoarelor și mașinilor agricole datorată lipsei uneor pieze de schimb noi și se realizează totodată însemnate reduceri ale cheltuielilor de întreținere și reparare a utilajului agricol.

Este natural că cele mai rentabile locuri de recondițio-

nore se referă la piesele cu preț de cost mare și care au consumat în cantități ridicate.

Unele dintre cele mai caracteristice piese, atât din punct de vedere al formei și intensității usorii căt și al costului de reconditionare, sunt cilindrii cotoarelor de la motor. Aplicația metodei de reconditionare a acestor piese confină la reduserea prețului de cost într-o cără interioară, reduserea consumului de materiale pentru confectionarea pieselor respective, simplificarea și ușoarea organizării de producție etc.

În tabelul 1 se indică prețul cilișilor de cilindru reconditionate în comparație cu prețul piesei noi [263].

Tabelul 1

Descrierea	Preț	Prețul piezii (lei)	
		Nouă	Vechi
Ciliști de cilindru	0.01.002 (nou)	21	232
Ciliști de cilindru	0.01.002 *	12,3	58

Din tabelul de mai sus rezultă că, prețul de cost al unei ciliști de cilindru reconditionate este mult mai redus decât cel al uneia noi.

Procesul tehnologic de prelucrare mecanică și termică a ciliștilor de cilindru noi este prezentat în anexa 1, (la care nu se tine seama de procesul turării) iar reconditionarea conform tehnologilor elaborate în acest sens de I.C.M.A. [134] se execută în următoarele două operații:

1 - alezarea suprafeței cilindrice interioare în două trecceri;

2 - horuirea în două trecceri (degrădare și finalizare) în cota de reparare (anexa 2).

În ceea ce privește astfel în evidență că, fără de înlocuirea pieselor noi, procesul de reconditionare este mult mai avantajos.

Dacă în cadrul uzinelor de reparare ciliștile cilindrilor de motor se reconditionează în număr foarte mare, de exemplu, circa în anul 1970, uzinale de reparare din România au reconditionat peste 14.000 ciliști cilindru [263], totuși procesul tehnologic de reconditionare a acestor piese este mai puțin studiat și aglo-

că în literatură trăsări de specialitate. Actual, există mari rezerve de creștere a productivității procesului tehnologic de recondiționare, că și de îmbunătățire a calității piecelor respective.

Cerințele extinției dezvoltării că, pînă la momentul actual, calitatea recondiționată cărărilor de cilindrii de către unitățile de reparație este ceeață, piecele rebutate (conicitație și ovalitatea peste limite admisibile) ocupă o proporție foarte mare (fig.10 și tabelul 7) iar productivitatea năncii este foarte redusă (timpul pentru recondiționarea unei cărări de cilindru este aproape, 2 ore). Bineînțeles că, în această situație, aplicarea metodelor de recondiționare nu mai este eficientă sub aspect tehnico-economic.

De asemenea, studiul și caracterarea procesului de recondiționare a cărărilor de cilindru în vederea obținerii piecelor recondiționate ca calitate superioare (precizia formei că și netezimea suprafețelor poligonale) corespundător condițiilor tehnice impuse, ca o productivitate mare, precintă o actualitate deosebit de importantă, și utilă în acest moment. Acest lucru contribuie nu numai la reducerea posturului de cost pentru reproducere utilajelor respective, ci are și un rol deosebit de important în vederea ridicării calității motorurilor reparate, în scopul exprimării bune a motorului în funcționare și prelungirii duresei sale de serviciu.

După cum se știe, realizarea unei producții industriale de înaltă calitate și în scara și timp cu productivitatea năncii ridicată este una din sarcinile centrale ale întreprinderii activități tehnico-economice.

Însumate de fapt sunt scopul setăririi problemelor de lucru sau ca privire la întunecările tehnologice recondiționării unor pieci principale ale motorurilor de tractor - cărăurile de cilindru unde tractoarele trecută prin cărăre superficială e ale cărui.

Astăzi în vederea că recondiționarea cărărilor de cilindru cuprinde două operații (alemane și bozuire), cerințele întreprinderii de lucru, sub conducerea competentă a t.v., prof. dr. doc. ing. Olegiu Stănescu, se vor prezenta în două părți distincte, având pe același două probleme.

- \* -

## PARTea I-a

### STUDII SI CERCETARI ALE UNUI PROCEZ DE RECONDITIIONARE

#### A CILINDRILOR DE CILINDRII DE IN ALZARE

In capitolele care urmează se va studia procesul de recondiționare a cilindrilor de cilindrii uneia, tratată termic prin căldura superficială a aleagăului, de la motoarele de tractor.

In general motoarele de tractor sunt echipate cu acest fel de cilindri.

Procesul de recondiționare, pentru obținerea unui efort și suprafațe conform condițiilor tehnice impuse, întâmpină multe greutăți. Acestea datorită faptului că piesele au o rigiditate foarte mică, din cauza peretilor lor subțiri, ci și a duritatea a suprafețelor interioare măre și neuniformă.

#### CAPTELUL I

##### CONDITIILE TEHNICE DIN PUNTELE CARACTERISTICII DE CILINDRU

###### I.1. Condițiile de precizie înrasă cilindrilor de cilindru.

In figure 1 se prezintă cônștiția cilindrului de la motorul D-203.

Piesele sunt confectionate din fontă Fe Cr Cu 48.

Plecând de la condițiile de lucru, materialul din care se execută cilindrul trebuie să satisfacă următoarele condiții :

- să reziste în bune condiții la uzură și coroziune ;
- să reziste la presiuni mari.

Fante folosită pentru cilindriile de cilindru trebuie să aibă un coeficient de fricare mic, o mare conductivitate termică, o bună posibilitate de prelucrare și proprietățile de a menține lubrifiantul. Compoziția chimică a fontelor utilizate pentru turnarea cilindrilor de cilindru poate să fie, informativ, une dintre cele date în tabelul 2 [74 ; 130].

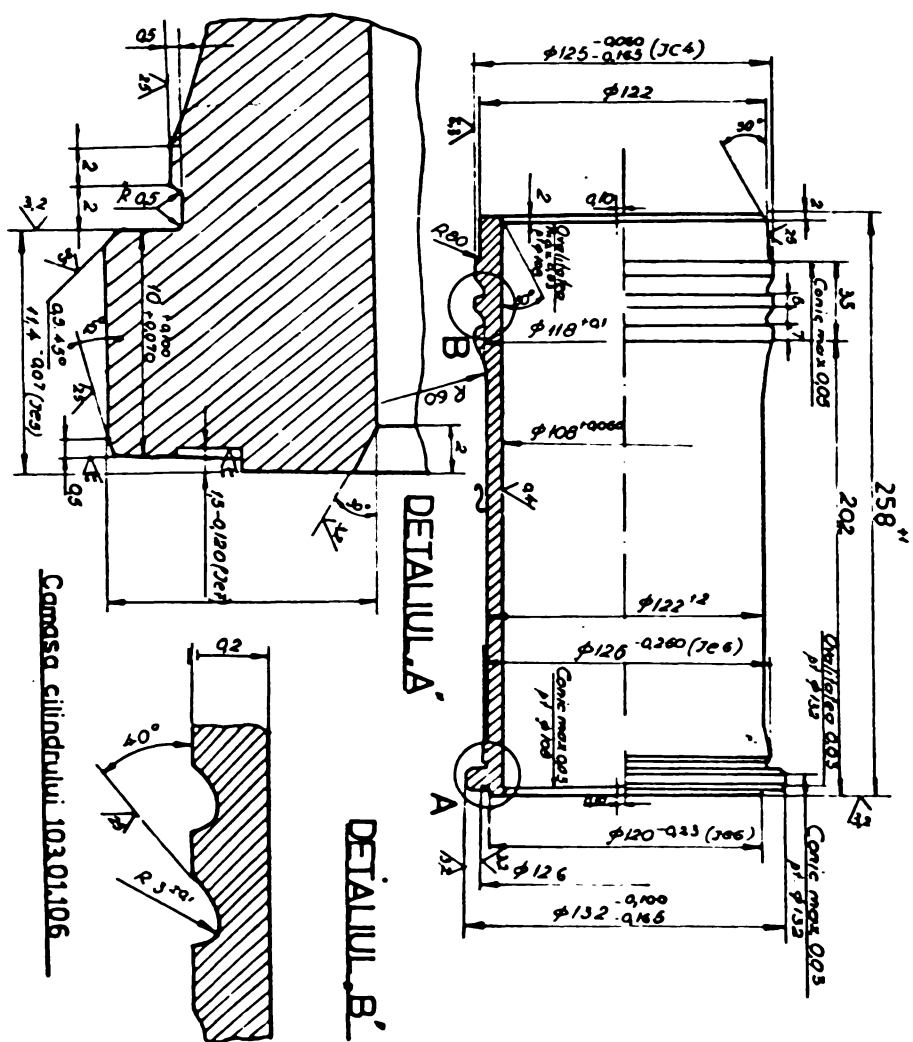


Fig. 1 - Câncile de cilindru a rotoarelor 103.01

Tabloul 2

Compoziție fontelor pentru căncile de cilindru

$\Omega$	$\sigma_1$	$\sigma_3$	$\sigma$	$\gamma$	$\sigma_1$	$\sigma_3$	$\sigma$
2.0-3.2	0.9-1.5	0.8-1.0	0.1-0.3	sub 0.12	0.6-1.2	0.9-1.5	- -
2.5-3.2	0.9-1.3	0.8-1.0	0.1-0.3	sub 0.12	1.2-1.5	0.5	- -
3.0-3.5	1.9-2.2	0.6-0.9	sub 0.25	sub 0.1	0.2-0.4	0.4-0.6	- -

Condițiile tehnice cele mai importante impuse sănătății cilindrelor sunt :

- ovalitatea și conicitatea suprafeței interioare nu poate fi de maxim 0,05 mm;
- suprafețele exterioare cu diametrul de 132, 126 și 125 mm să fie conostrice cu suprafața interioară;
- ovalitatea și conicitatea suprafeței exterioare cu diametrul de 132 mm poate să fie maximă 0,03 mm;
- ovalitatea și conicitatea suprafeței exterioare cu diametrul de 125 mm poate să fie maximă 0,05 mm;
- neperpendicularitatea suprafeței frontale gălăgului cu diametrul de 132 mm, fără de axa de simetrie a suprafeței poate fi de maxim 0,1 mm.

În afară de aceste condiții ce noi impune ca duritatea suprafeței interioare să fie de HB 330-370, pe adâncimea de 1,8 - 2 mm. Aceasta se obține prin călărețe superficiale, încălărite răcindu-se cu cărăți de falcă frecvenți. Suprafața interioară trebuie să îndeplinească condițiile unei suprafețe de freccare, adică virfurile microasperităților să fie rotunjite (după cum se vede în fig.2) și să aibă calitatea cuprinză în clasa a 9-a de netezime.



Fig.2 - Virfurile microasperităților

Condițiile enumerate ce vor respectate decarece cărățile de călărit său parte din piecele de care urmă ale motorului și sănătatea unor solicitări care se caracterizează prin următoarele :

- temperaturi și presiuni mari de lucru;
- pe partea superioară a alezajului are loc o freccare continuă (în unele orduri uleialni la fiecare cursă de lucru a pistoanelui);
- apăsarea corodantă a gazelor la temperaturi finale și a condensatelor, care se depun pe peretii cărăților de cilindru;

- soțimea abrazivă a particulelor dure, rezultată din abrade, și a particulelor introduse cu aerul aspirat, conductibil sau ulei.

Lorecondiționare, după normativele I.C.M.I [114] se elaborează suprafața interioară a cilindrilor de cilindru și se abrasează la cota de separație. Condițiile tehnice sunt următoarele: suprafața poluiată să fie curată, fără urme de poluare vizibile cu ochiul liber. Câmpia să fie fără pori sau orificii. Ovalitatea și conicitatea suprafeței interioare maximă admisă  $0,03$  mm. Interiorul cilindrelor trebuie să fie coaxial cu inelele de centrare a cilindrului în blocul motor, cu o diferență maximă de  $0,08$  mm.

Trebucă menționat că, condițiile tehnice cele mai importante sunt precizia alinișului (ovalitatea și conicitatea suprafeței interioare).

După cum se știe, uzura cilindrilor și a segmentelor de la motorul său ca durată intensă, depinde de mulți factori, dintre care forma asfericoamerică a cilindrilor este unul dintre cei mai importanți. Conicitatea și ovalitatea contribuind la scăparea gazeelor în cartus sau ca rezultat deranjarea regimului termic al motorului și ridicarea temperaturii pistoalui, segmentelor și peretilor cilindrelor. Totodată gazele distrug pelicula de ulei, apărând îndreptat unuia, ceea ce intensifică și mai mult scăparea gazelor. În consecință, fenomenul progresiv, fiind însoțit de aruncarea uleiului prin țesut de serizire a cartoului, de înșepuirea segmentelor, sau în unele cazuri de consumul uleiului și fumigare.

În cazul când scăparea gazelor este intensă, apar ururi anormale, arderea uleiului și uneori grierea și defectarea totală a motorului.

După datele obținute în cursul studiului motoarelor de consumul, la ovalitatea cilindrilor de  $0,013$  mm și la conicitatea maximă de  $0,025$  mm, consumul de ulei este de două ori mai mic decât atunci când ovalitatea cilindrilor este de  $0,038$  mm și conicitatea de  $0,05$  mm [15].

Este nevoie de subliniat că, pentru obținerea unei conicități și ovalități a suprafeței interioare a cilindrului de maxim  $0,05$  mm după alinișul acestuia trebuie să vibă ovalitatea maximă admisă de  $0,03$  mm iar conicitatea maximă admisă  $0,06$  mm.

Pentru realizarea condițiilor tehnice impuse equirezate mai sus, mai ales la precizia de formă a piezelor, se întâmplă multe

greutății. Aceasta determină septulul și, căilele de cilindru sunt pieșe cu pereti subțiri și cu secțiuni diferite a peretului său lungul axei de stăririe.

$$\text{Raportul : } \frac{D_{\text{ext}}}{D_{\text{int}}} = 1,1$$

în care  $D_{\text{ext}}$  este diametrul exterior al pielei ;

$D_{\text{int}}$  - diametrul interior al pielei .

Se consideră că capacele fosei lor geometrică, adică să obțină de la forma cilindrică înfluențată de cel mai mult tensiunile interne și deflecțiile elastice ce operează în timpul prelucrării sub acțiunea forțelor de apăsare, în special a forței radiale  $F_r$  pe care și cele care operează la fizarea pielei pot să prelucreze și a formelor tenuitoare.

Se stie că în condiții de urmărire, semifabricatele din care se producă astfel pieșe sunt torcate cu un eșec de prelucrare mare și neuniform, iar în condiții de reconditionare piezelile sunt următoarele. În plus, duritatea suprafeței de lucru variază, nu numai în secțiunile transversale ci și în secțiunile longitudinale [39].

In figura 3 este prezentată diagrama măsurii cilindrilor motorului D-303.

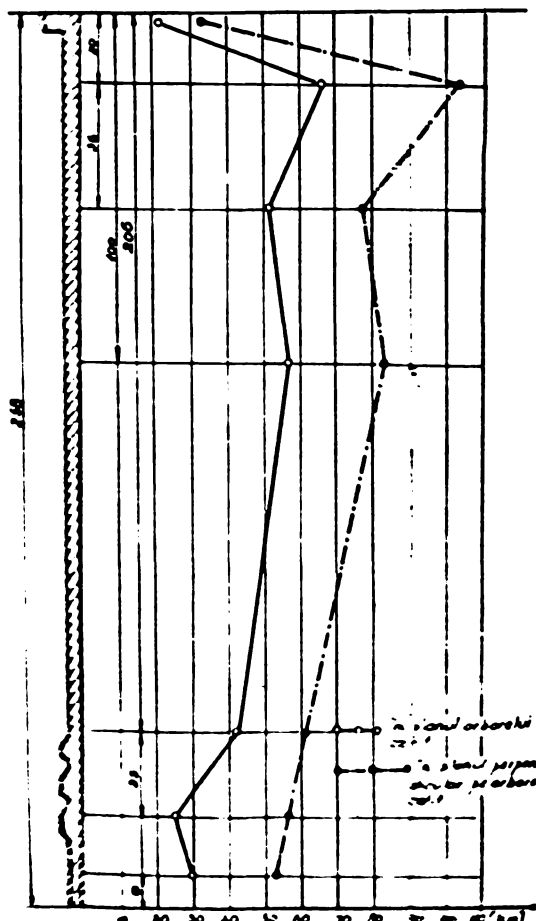


Fig.3 - Curbe caracteristice a măsurii cilindrilor de cilindru după găsire - toase

Diagrama este realizată de către. Pentru obținerea precisiunii necesare, materialul a suferit un număr de 100 cărări ușoare, care au fost urmărite la separație capitală.

### 1.2. Variația durității stratului superficial a cilindrului

Prin recondiționare, se îndepărtează de pe suprafața cilindrilor un strat de metal, ceea ce presupune o reducere a durității suprafeței de lucru și în consecință micșorarea duratăi lor de funcționare.

În realitate, din analizele de laborator efectuate s-a constatat că, atât duritatea cât și grosimea stratului C.I.J. la cărăurile de cilindru recondiționate asigură funcționarea corespunzătoare a motorului și pe o durată aproximativ egală cu durata de funcționare a unei cărăuri de cilindru nou [263].

Cursoarele experimentale au arătat că duritatea stratului eldit de la cărăurile de cilindru variază conform fig.4. Dacă recondiționare, diametral cărăurilor este aleasă la o cotă nouă prin aplicarea unui strat de metal aproksimativ 0,5 mm pe suprafața de lucru, aceasta, după cum se vede din figura 4, nu conduce la reducerea durității suprafeței piezelor respective.

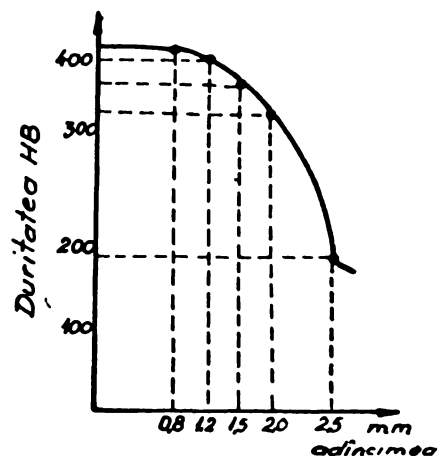


Fig.4 - Curva variației durității stratului eldit pe suprafața de lucru a cărăurilor de cilindru

### 1.3. Varietăți parametrilor funcționalei ai motorului

Valorile parametrilor funcționalei ai motorului D-103 sunt reprezentate în tabelul 3.

Tabelul 3

Caracteristicile motorului D-103

Caracteristice constructivă sau funcțională	Unitătes de măsură	Valoare
P	kW	43
n	rot/min	1.500
E	-	17
D <sub>n</sub>	mm	108
D <sub>e</sub>	mm	109
V	cm <sup>3</sup>	75
4 V	l	4,75
2 g	mm	130

In care:

P este puterea motorului ;

n - frecvență de rotație normală a motorului ;

E - raportul de compresie ;

D<sub>n</sub> - diametrul nominal al cilindrului ;

D<sub>e</sub> - diametrul cilindrului efectiv ;

V - volumul camerei de ardere ;

V - volumul de lucru inițial ;

r - rază mijlocieelor.

In general, prin aleasarea cilindrilor se producă o adâncire a volumului de lucru, camera de ardere se modifică într-o mărime și formă, ceea ce conduce la creșterea raportului de compresie, potrivit relației :

$$\Delta E = \frac{V' - V}{V} \quad (1.1)$$

In care:

$\Delta E$  este creșterea raportului de comprimare ;

V' - volumul de lucru majorat prin aleasare.

Tinând seama că

$$V' = \frac{V}{E - 1} \quad (1.2)$$

rezultă că

$$\Delta \dot{E}_m = \dot{E} - 1 \left[ \frac{\frac{P^2}{\eta}}{\frac{P_0^2}{\eta_0}} - 1 \right] \quad (1.3)$$

Roul raport de comprimare, în funcție de cel initial, va fi dat de relația:

$$\dot{E}' = \dot{E} + \Delta \dot{E} = \frac{P^2}{\eta} (\dot{E} - 1) \cdot \eta \quad (1.4)$$

Inlocuind valorile din tabelul 3 în relația (1.3) rezultă:

cuprăcomprimatele deturări ale cilindrilor la motorul de diesel 103 este 0,3 care reprezintă o creștere a reportului de comprimare cu 1,7 %, creștere care în înlocuirea de configurație ar derii în motor [266].

În sfârșit de reducerea prețului de cost, procesul de secundăriționare a cilindrilor de cilindru este considerat util și având totuși durată de funcționare și aceeași este egală cu cea a lui, și totodată se mențin parametrii energetici inițiali ai motorului.

În analiza de mai sus, se demonstrează faptul că, procesul de secundăriționare a cilindrilor de cilindru nu conduce la efecte negativе asupra configurației motorurilor respective și în punct de vedere al durabilității și al parametrilor caracteristicii și motorului.

## LIVELORUL II

### CADRUL ASUAL (PE ACASĂ MUNDIAL) ÎN VIND ALMADA DE MAȘINĂ DISTRIBUȚIE A CERĂMIICII DE STRENGETE

In condițiile actuale de producție, deschiderea cilindrelor de cilindru se realizează pe o mașină de alezat cu un singur arbore tip BHF 200 x 450 (fig.5).

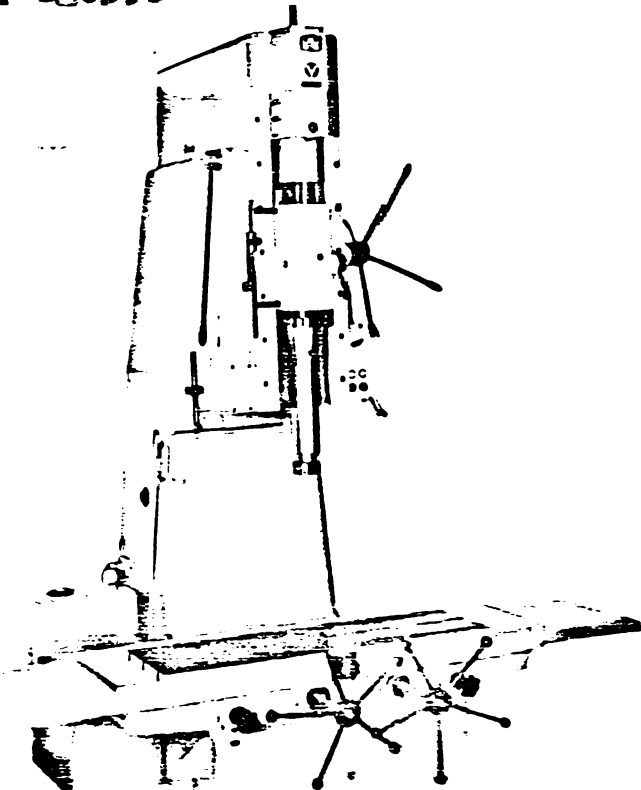


Fig.5 - Mașină de alezat tip BHF 200 x 450.

A�antejele descobrite ale acestei mașini sunt înalță precizie de lucru și o rușină bună a suprafețelor alezate.

Ciclusul cineticică al mașinii de alezat este reprezentat în figura 6.

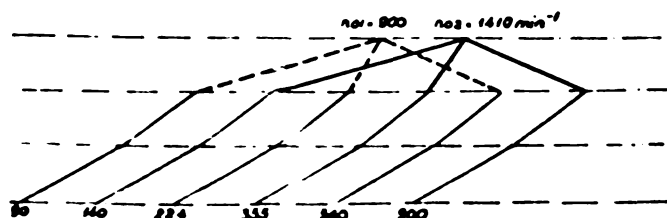
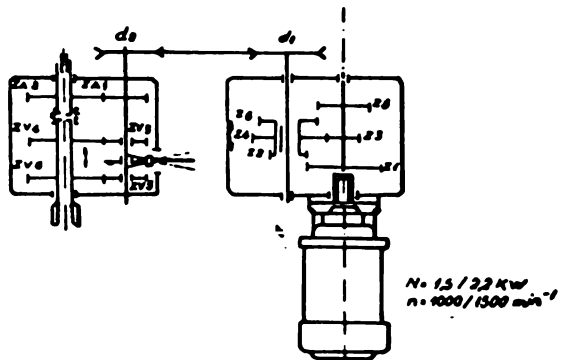


Fig.6 - Ciclusul cineticică al mașinii de alezat

Trenziile constă dintr-un motor trifazat cu comutator de poli și dintr-o cutie de viteze cu trei trepte.

Pentru prelucrarea piezelor le arborele principal rezultă 6 frecvențe de rotație cuprinse în intervalul 90 ... 900 rot/min (90 ; 140; 224; 355; 560; 900 rot/min).

În figura 7 este reprezentată diagrama vitezelor de ochiuse.

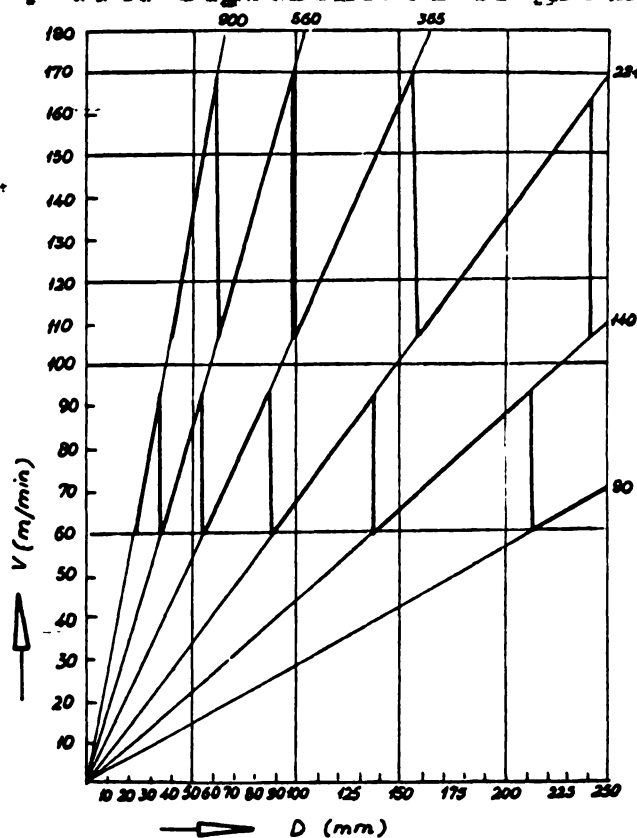


FIG.7 - Diagrama vitezelor de ochiuse

Vine produsă oare recomandă că, pentru prelucrarea piezelor confecționate din fochi, viteza de ochiuse să fie în intervalul de 60 ... 95 m/min.

Regina de aleasă diagramă inițial din fabricație, de două oameni:

$$a_1 = 0,063 \text{ mm/rot} \text{ pentru degresare și}$$

$$a_2 = 0,0315 \text{ mm/rot} \text{ pentru finisare.}$$

Oprește de aleasă aplicată la casină de reparări (T.R.R.), se execută în două faze:

1. Aleasă de degresare cu frecvență de rotație  $n_1 = 90$  rot/min ( $v = 34,9$  m/min) și evanșă  $a_1 = 0,063$  mm/rot;

2. Aleasă de finisare cu frecvență de rotație  $n_2 = 140$  rot/min ( $v = 47,3$  m/min) și evanșă  $a_2 = 0,0315$  mm/rot.

De menționat că vitezele reale sunt mai mari decât cele recomandate (datorită faptului că motorul este acționat de un alt motor).

condice de uzine colectoare (VII SERIUL DE EXPERIMENTE ALIEZ VOO-LAUS PLAUEN I. VOLKL).

Alegerea parametrilor geometriici și părții echipeșteare a ocului este necorespunzătoare, nai díce unghiul de etac principal „ $\kappa$ ”  $< 90^\circ$  (fig.8), fără ca componente forței radiale  $F_y$  să rănească, ceea ce provoacă vibrație puternică a orizontală suportului de aleasă și deforțarea electrică a confecțiocentrului.

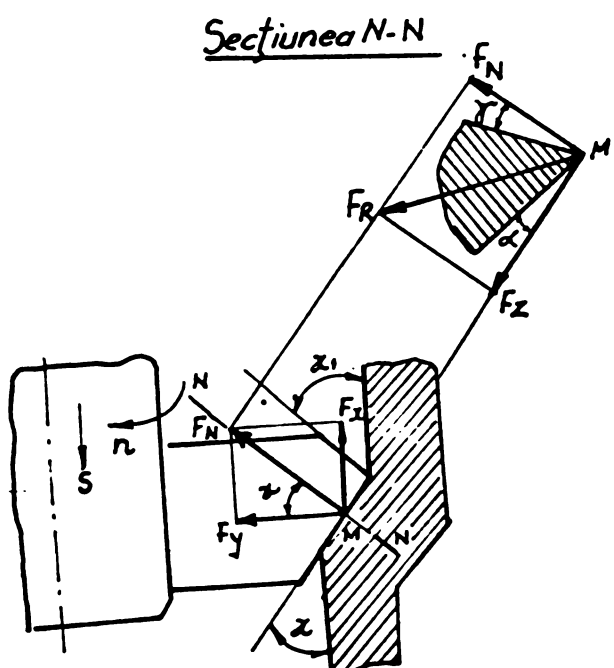


Fig.8 - Geometria părții echipeșteare a ocului aplicate în producție cu unghiul „ $\kappa$ ”  $< 90^\circ$

Abatajile fuse de degresare și de finisare sunt realizate cu o jucărie de aleasă cu un cingur catit, fabricat de uzine produsătoare (fig.9).

Datele obținute din rezultatele cercetărilor experimentale de rotat la reconditionarea oculipilor de cilindru oleotatoarelor D=103, prin aleasare cu capal de aleasă cu un cingur catit în condițiile ecuației de întreținere, fiind următoare în exces 3 tabloul 1, pe baza cărora s-a întocmit diagrama reprezentată în fig.10 și s-au calculat valorile „ $\kappa$ ” și „ $\Gamma$ ”. De menționat că experimentările s-au realizat la 100 c/min de cilindru. Întrucăt stabilirea calităților și a conicităților, măsurarea s-a efectuat în septe secțiuni transversale, conform schemelor din fig.40. Valorile conicităților și calităților se calculează după relațiile

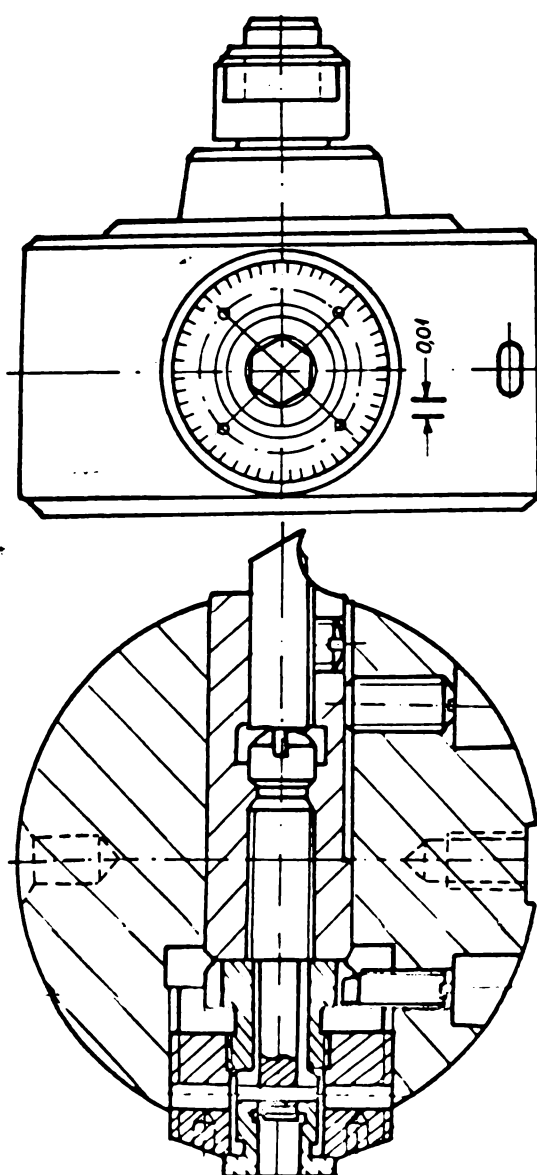


Fig. 9 - Încălzirea cu un cinciuț cutit

(3.7) și respectiv (3.14), iar cele ale lui „ $\bar{x}$ ” și „ $\Gamma$ ” se calculează după relația (4.7) și respectiv (4.8).

După prelucrarea potențială a detaliilor experimentale se obține media erorii potențiale a măsurătorilor (distanțile de formă) în secțiunile trei care sunt (ovalitatea) :

$$\bar{x}_3 = 0,0902$$

iar aceea în secțiunile longitudinale (conicitatea)

$$\bar{x}_2 = 0,0775$$

Abaterea media potențială în secțiunile transversale (ovalitatea) :

$$\Gamma_3 = 38,7 \cdot 10^{-3}$$

iar aceea în secțiunile longitudinale (conicitatea)

$$\Gamma_2 = 33,9 \cdot 10^{-3}$$

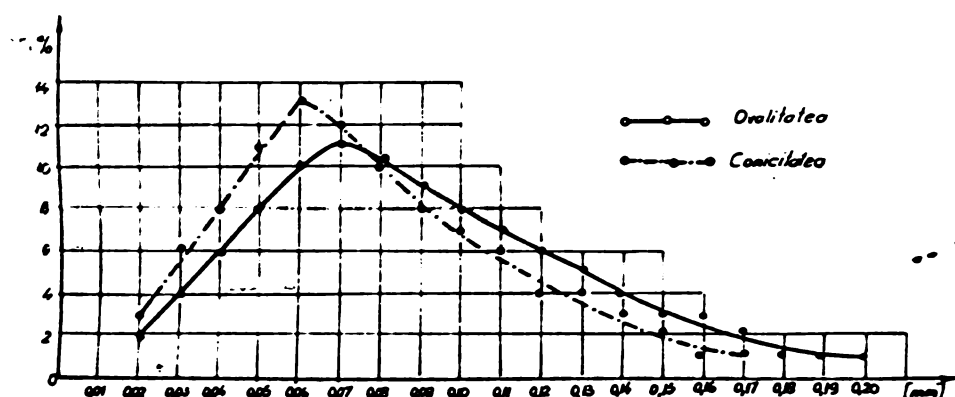


Fig.10 - Distribuție ovalității și conicității la prelucrarea cu un cincor cuțit.

Din rezultatetele obținute mai sus, se trage concluzie că precizia piecelor aleșute (ovalitatea și conicitatea) la reconditionarea cîmpilor de cilindru prin aleșare cu capul de aleșant cu un cincor cuțit, este foarte redusă, piezale rezultate fiind multe (tabelul 7). Aceasta se datoră variatiile forțelor de eșierire și sauva a compresiei radiale „ $F_y$ ” care produce deformări și vibrații ale arborelui mașinii.

Forța radială „ $F_y$ ” variază în limite relativ mari datorită unor cauze multiple și sauve:

- nonuniformitatea aderanței de prelucrare, datorită eroriilor de formă inițială (fig.5) ;
- neuniformitatea duratății strângării de material eșierit ;
- urare accentuată a părții eșieritoare a sculei ;
- lipsa de rectilinietate a ghidajelor arborelui principal și jocul existent în ghidaj ;
- alegerea necorespunzătoare a geometriei părții eșieritoare a sculei.

Trebuie menționat că la strunjirea interioară, pentru realizarea unei precizii ridicate a piezelor prelucrate și obținerea unei productivități mari se întâmpină mai multe greutăți în comparație cu prelucrarea exterioară prin eșierire.

Procesul strunjirii interioare se deosebește de cel al strunjirii exterioare ori aici peia capitolul că, la strunjirea interioară fântasele aculeale au întotdeauna o rigiditate mult mai mare decât la strunjirea exterioară.

Intr-adevăr, dacă aculele nu sunt rigid fixate, în locurile unde există o grosime cea mai mare a adesului de prelucrare se sporește și presarea peiilor aculelor și deci o sarcină mică este să se încinge jumătate în acest loc (dacă piatra este destul de rigidă). În consecință, în urmă unor treptări, diametrul aculejului nu poate să obțină un destul de precis dacă grosimea adesului împărțită nu este uniformă, în plus am aculejului care se strungează poate să devină.

Rezultatul caracteristicilor experimentale demonstrează că obiectivile de la formă geometrică în cazul reconditionării sunt mult mai mari decât cele în cazul fabricației, acestea pentru că căruia, în cazul reconditionării desurpează în condiții mai vîtrave decât în cazul fabricației [127].

În cazul reconditionării, datorită faptului că următoarelor reconditionări este mare și neuniformă (fig.3) aceasta duce la variație adiacenții de apăsare.

Datorită variației diferenței de apăsare și durității stratului apăsat, forța de apăsare (respectiv componenta  $P_y$  a forței de apăsare) este mare și variabilă. Expressia matematică a acestui componentă, în funcție de adiacențe de apăsare și de duritatea stratului apăsat, se poate scrie astfel [190] :

$$P_y = a_3 s^{x_2} \cdot e^{y_2} n_B^{n_2} \quad [N] \quad (2.1)$$

unde:  $a_3$  este un coeficient în funcție de materialul de prelucrat și de materialul aculei apăsată;

$s$  – adiacența de apăsare, în mm;

$e$  – evenimentul de apăsare, în mm/sot;

$x_2, y_2$  – expoziția adiacenții și evenimentului de apăsare;

$n_B$  – duritatea materialului prelucrat;

$n_2$  – exponentul durității materialului de apăsat.

Între expoziții  $x_2$ ,  $y_2$  și  $n_2$  există inegalitățea [190] :

$$y_2 < x_2 < n_2 \quad (2.2)$$

iar valoarea  $n_2 > 1$ .

Variatiile efectuului de sprijire și mai ales duratarea neuniformă a suprafeței prelucrate decăd variația forței de aplicare care provoacă deformării neuniforme ale piezii. În același mod, variația componentei  $F_y$  a forței de aplicare provoacă și deformările elastice a sistemului tehnologic care se reflectă atât pe precizia de prelucrare.

Înălțarea calității suprafețelor prelucrate, se observă și reducerea productivității muncii.

Timpul de băut ( $t_b$ ) în procesul de sprijire este :

$$t_b = \frac{L}{n \cdot i} + 1 \quad [\text{min}] \quad (2.5)$$

unde: L este lungimea tehnologică, în m :

n - frecvența de rotație a capului de sprijin, în rot/min;

i - numărul de trezuri ;

s - eveniment de înconștiuție, min/rot.

Pentru unele caracteristici ale efectuării, timpul de băut va fi:

- pentru dezgropare :  $t_{bd} = 45$  min ;

- pentru finisare "  $t_{bf} = 55$  min .

Întrucât cele două faze sunt necesară oprirea mașinii pentru dezgropare, economisează și reglarea cutitului, adică un timp ajutător ( $t_a$ ) aproximativ 11 min.

Din datele concrete de azi sau, se vede că în condițiile actuale, productivitatea muncii în procesul de sprijinare a cilindrelor de cilindru este foarte scăzută ( $Q = 0,92$  buc/ore).

Din același efectuare rezultă că calitatea piezelor prelucrate este și productivitatea muncii în procesul de sprijinare a cilindrelor de cilindru, în întreprinderile de reparări, este foarte redusă.

In aceste condiții, sunt justificate preocupările de a găsi soluții de perfecționare a procesului tehnologic de sprijinare, calității de întreținere a cilindrului și creșterii productivității muncii.

### CAPITOLUL III

#### INFLUENȚA PRODUCERII MAȘINELOR DIN ALIAZĂ

##### SISTEMUL DE CALIBRARE DIN ALIAZĂ

După cum se știe, mărirea preciziei prelucrării mecanice este una dintre cele mai importante probleme ale economisti naționale. Întrind precizia de prelucrare, se înăuntruște calitatea ajutorajelor, se crește precizia lucrărilor cincinatice, se realizează interchiarabilitatea produselor, se reduce volumul lucrarilor de ajustare și etanșialile de asamblare, totodată se crește durabilitatea pieselor. Tot ales pentru cilindrii motorului, precizia de prelucrare a suprafeței de lucru este un fel de esențial de importanță ceea ce le urmărește reportul de compresiune, perfectoarea calității de tragere, redarea consumului de încălzire, redarea perioadei de rodaj, extinderea intervalului între revizii, redarea vitezei de lucru a pieselor conjugate (motorul și compresor), adică la prelungirea perioadei de serviciu a motorului respectiv.

Desăvârșirea unei căi de dezvoltare a tehnologiei care să aducă la crearea unor metode de mare productivitate a prelucrării și care să asigure totodată realizarea unei calități superioare a produselor, constituie o problemă de mare importanță.

##### 3.1. Influența deformării sistemului mecanic montat din componentă-măsurători precizie, direcționalitate și ale formelor piesei prelucrate

În ceea ce privește obiectele de cilindru, la mărimile de aleasă, efortul determinat de deformării sistemului tehnologic MUP ajung la o valoare incidență.

În sistemul tehnologic MUP se deformează sub influența apăstrărilor de extensie și a altor forțe aplicate elementelor acestui sistem. În primul rând interacțiunile deformării sistemului care se reflectă direct asupra preciziei de prelucrare, acestea fiind deformările care provoacă deplasarea trăgătorului coulei în raport cu piesa, în direcție normală pe suprafața prelucrată.

Măritarea sistemului tehnologic elastic, MUP se va defini prin raportul dintre componente forței de eștire după o direcție dată și deplasarea trăgătorului coulei făcă de piesă pe aceeași direcție „y”.

In cazul aplicării pe mașini de presă, componenta  $F_y$  va produce o depresare după direcția radială cu o cantitate „y”, rigiditatea se va exprima prin relație :

$$\frac{y}{F_y} = \frac{1}{R_y} \quad [mm/mm] \quad (3.1)$$

Iar cedarea „y” este înrăsuirea inversă a rigidității și se exprimă în  $Mm/dal$ . În felul acesta :

$$y = \frac{1000}{R_y} \quad [Mm/dal] \quad (3.2)$$

Deformația în  $Mm$ , se determină cu relația :

$$y = \frac{F}{R_y} \cdot 1000 = F_y \cdot t \quad [Mm] \quad (3.3)$$

Deformația sistemului tehnologic elastic influențează în mod special următoarele săruri : discontinuitate reglată, ovalitatea și conicitatea elementelor.

3.1.1 Precizia dimensiunii piesei prelucrate. Deoarece deformarea pielei prelucrate este neglijabilă, în timpul reglării la dimensiune fără încărcare cu forțele de aplicare, răgiul oulei se sprijină fără de cum pielei cum fără de suprafață de referință, astfel încât după prelucrare pieza să aibă dimensiunile indicate pe desen. Dimensiunea reglată „D<sub>p</sub>” nu este egală cu dimensiunea după desen „D” și la determinarea corectiei „Δt” pentru „D” trebuie să se țină cont de următoarele două factori :

– deformarea sistemului tehnologic „y” la ocolirea reglării la care se va face prelucrarea, și

– înălțimea esurărilor rămasă pe suprafață prelucrată „h<sub>p</sub>” în care cele două corecții pentru prelucrarea elementelor sunt totdeasă positive.

$$\Delta t = y + h_p \quad (3.4)$$

Dimensiunea reglată în stare nefuncțională a sistemului este

$$D_p = D + \Delta t \quad (3.5)$$

Pentru determinarea valorii „y” trebuie să se poată obține

de la rigiditatea "ideal". Trebuie să constată că „y" este indimbulat legat de adâncimea de aplicare potrivită „t<sub>y</sub>" drept care se consideră diferențe dintre dimensiunile reale și dimensiunile pielei după prelucrarea prealabilă.

Adâncimea de aplicare reală „t<sub>real</sub>" se determină de adâncimea de aplicare potrivită „t<sub>y</sub>" cu valoarea deformării „y", astfel :

$$t_{\text{real}} = t_y + y \quad (3.6)$$

Dacă se notează raportul dintre adâncimea de aplicare potrivită și adâncimea de aplicare reală prin „m" (coeficientul de potrivire) se obține diagrama din fig.11 [23a].

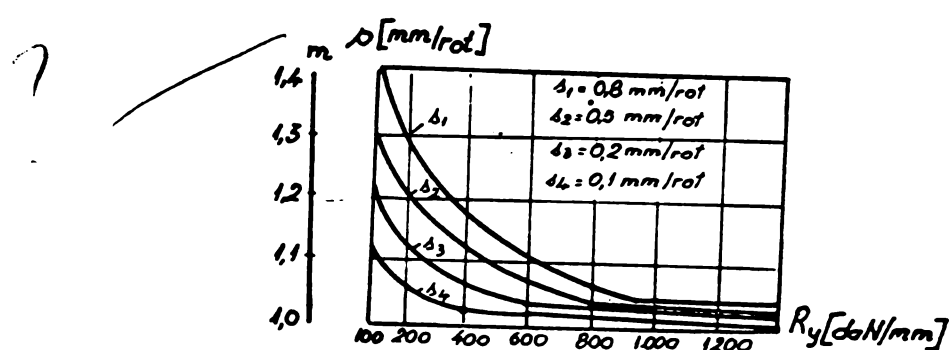


Fig.11 - Dependența dintre coeficientul de potrivire „m" și rigiditatea la sfârșit avansuri

Rezultă că, în cazul unei rigidități nici și a unei prelucrări cu avansuri mari, trebuie să se țină seama de rezistența osului, care în aceste condiții joacă un rol important. Această fapt trebuie lăsat în considerare în special atunci când se aplică aplicații intensivă.

Apliționarea metodei de prelucrare cu capul de alezare cu mai multe cutite, prin divizarea avansului, ducă la creșterea rigidității microscopiei tehnologie elastică într-o măsură incomensurabilă și la micșorarea avansului pe fiecare cotit, acesta produc micșorarea coeficientului de potrivire „m" astfel că răsuflarea preciziei dimensiunii piezelor prelucrate prin alezare.

**3.1.2. Posibilitatea elargirilor.** este că deformările elastice ale subensembleului axului principal la o sarcină de aleasă provoacă nu numai erori de dimensiune, dar și erori de formă, decorece pe măsură cărării părții în cecoulă a axului port-cutit, rigiditatea se modifică.

În Figura 12 sunt reprezentate și diagrama de rigiditate a subensembleului axului principal la sarcina de aleasă în cele patru poziții [238].

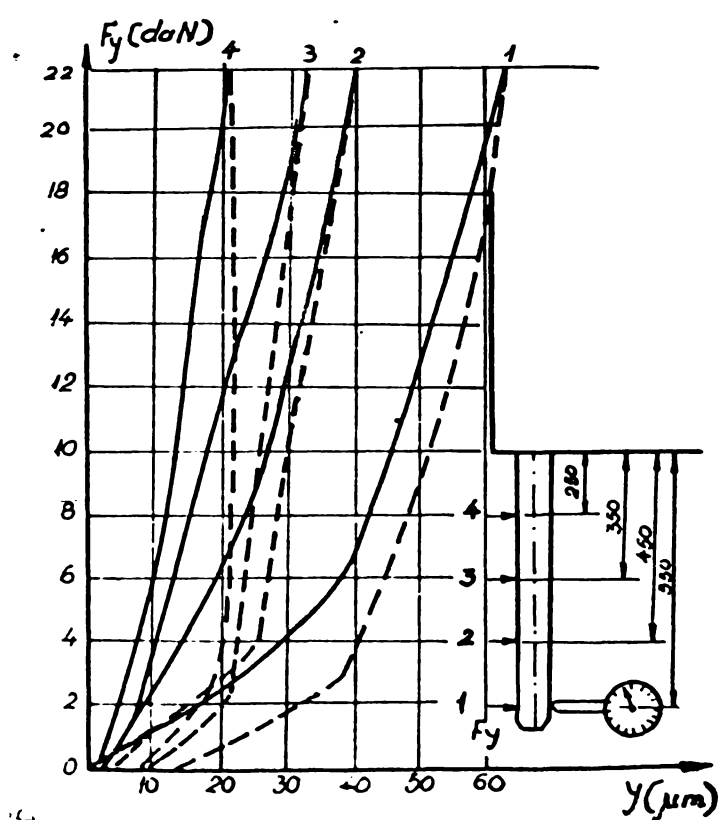


Fig.12 – Deformările subensembleului axului principal la sarcina de aleasă, la diferite cărării a părții în cecoulă

— liniile încărcării  
- - - - - liniile deosebiri

Cele patru liniile conținuă arătă variația deformeazărilor elastice în cele patru puncte indicate ale piesei în cazul cărării sercini, iar liniile punctate arătă același deformare în cazul nicsarcinii sercini.

Liniile deformeazărilor la încărcare sunt apropiate de liniile drepte care trăiesc prin originile coordonatelor aceea ce indică aplicabilitatea legii lui Hooke pentru aceste deformeazări în limitele experienței și arătă de asemenea că aceste deformeazări pot fi considerate ca deformeazări elastice. Liniile deosebiri arătă fără prezentă-

unei incoscute întirzări a verighetel deformărilor faptă de cele care se petrec în casul înclocuirii (histeresis). Această întirzare se explică prin influența frezilor interioare din metal, din cauza deformărilor elastice.

Rezultă din diagrame că rigiditatea extensibilului esențial principal nu este constantă, ci se modifică după urmăre concurențial port-cărățit și a forței de acțiune „ $F_g$ ”.

Să știe că conicitatea aleagăului „ $C_a$ ” într-un ecart plan longitudinal, se exprimă după relația :

$$C_a = D_{max} - D_{min} \quad (3.7)$$

Dacă se exprimă diametrele în funcție de diametrul reglet „ $D_g$ ” și deformarea „ $y$ ” (fig.13) se obține :

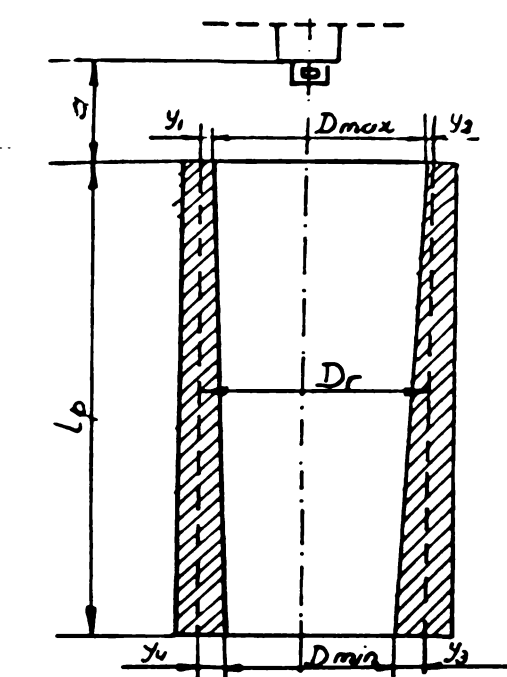


Fig.13 - Schema pentru calculul conicității aleagăului

$$\begin{aligned} C_a &= [D_g - (y_1 + y_2)] - [(D_g - (y_3 + y_4))] = \\ &= (y_3 + y_4) - (y_1 + y_2) \end{aligned} \quad (3.8)$$

în cauză:

$y_1, y_2$  – deformăriile la valoarea inițială a porțiunii în consolă a esențialului principal „ $s$ ” (v. fig.13) ;

$y_3, y_4$  – deformăriile de la valoarea inițială cu lungimea în consolă a esențialului principal „ $s + l_p$ ” ;

$l_p$  – lungimea piesei prelucrate.

Reprezentat pe „y” în funcție de „ $\bar{x}_y$ ” și „ $\bar{v}_y$ ” se obține:

$$c_e = F_y \left[ \left( \frac{1}{\bar{x}_3} + \frac{1}{\bar{x}_2} \right) - \left( \frac{1}{\bar{x}_1} + \frac{1}{\bar{x}_2} \right) \right] \quad (3.9)$$

sau, exprimându-l în funcție de cedarea „ $\delta$ ” se obține :

$$c_e = F_y \left[ (E_3 + E_4) - (E_1 + E_2) \right] \quad (3.10)$$

Dacă se înlocuiesc cedarea cu cunoscute valori ale lungimii la conecțiuni ale contactului principal prin valoarea lor medie, adică :

$$\bar{x}_I = \frac{x_1 + x_2}{2} \quad \text{și} \quad \bar{x}_{II} = \frac{x_3 + x_4}{2}$$

și se introduce notația :

$$F_c = F_{II} - F_I$$

se obține în final :

$$c_e = 2 F_y \cdot \delta_e \quad (3.11)$$

Valoarea concreta „ $c_e$ ” trebuie să fie mai mică sau egală cu valoarea admisibilă „ $c_{adm}$ ”, adică :

$$c_e \leq c_{adm} \quad (3.12)$$

nu, folosind valoarea „ $\bar{x}_y$ ” (2.1) în (3.11) :

$$c_{adm} \geq c_e = 2 c_5 \cdot t^2 \cdot s^2 \cdot \sin^2 \cdot \pi \cdot \delta_e \quad (3.13)$$

Dacă, adincimă de așchiere se stabilește pe baza valorii adăugului de pasălucreare, rezultă că, pentru reducerea conicității aleșajelor, este necesar să se caute toate posibilitățile pentru reducerea forței de așchiere, a avansului „ $s$ ” și totodată mărirea rigidității sistemului tehnologic electric.

**3.1.3. Qualitatea alășajelor.** Datorită deformării sistemului tehnologic electric este inegalitate în planul orizontal (planul perpendicular cu axul principal al mașinii), se produce ovalitățile piezelor prelucrate prin alășare.

In figura 14 este reprezentată diagrama rigidității sub-

envelopului principal în cazul a patru direcții de aplicare a sarcinii (partea în consolă fiind  $b = \text{cochet} = 550 \text{ mm}$ ) [29].

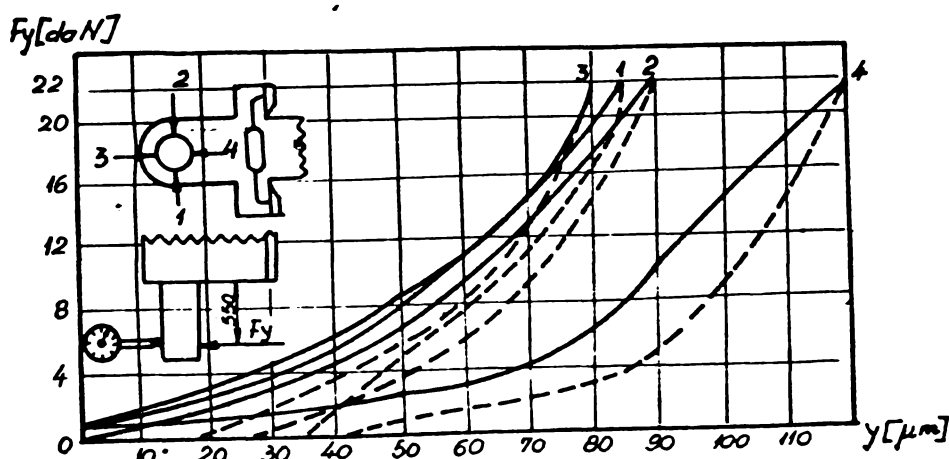


Fig.14 - Deformările subenvelopului axului principal la sarcine de aleret la aplicarea sarcinii în direcții directii

Se observă din diagrame că rigiditatea nu este egală.

Desigur, în cazul unei rigidități reunite pe cero, nu se poate obține un aleorii corect, chiar dacă adesea ca preluare este foarte uniform. Iar cu altre patruți în consolă a axului erorile se vor sări (fig.12).

Valoarea ovalității aleorilor se exprimă prin diferența dintre diametrul maxim și cel minim în secțiunile transversale respective, adică :

$$O_a = D_{\max} - D_{\min} \quad (3.14)$$

Dimensiunea maximă „ $D_{\max}$ ” se obține în planul în care rigiditatea media  $\frac{R_1 + R_2}{2}$  este maximă, iar dimensiunea minimă „ $D_{\min}$ ” se obține în planul în care rigiditatea media  $\frac{R_3 + R_4}{2}$  este minimă, în care  $R_1, R_2, R_3, R_4$  sunt valoile rigidității

cărilor în acsurile opuse ale celor două planuri diferențite.

Diametrul cleștelui în direcții pozite și exprimat în funcție de diametrul reglet „ $D_g$ ” și de deformările sistemului.

Dacă preoccupă că deformările „ $y_1^*$ ” și „ $y_2^*$ ” în celele două planuri (1-2) sunt mai mici decât deformările „ $y_3^*$ ” și „ $y_4^*$ ” în planul (3-4) în acest cas obținem :

$$D_{\max} = D_g - (y_1^* + y_2^*) : D_{\min} = D_g - (y_3^* + y_4^*)$$

sau,

$$D_{\max} = D_g - \left( \frac{F_y}{R_{y1}} + \frac{F_y}{R_{y2}} \right) : D_{\min} = D_g - \left( \frac{F_y}{R_{y3}} + \frac{F_y}{R_{y4}} \right)$$

dе unde rezultă ovalitatea :

$$\begin{aligned} O_o &= D_g - F_y \left( \frac{1}{R_{y1}} + \frac{1}{R_{y2}} \right) - D_g + F_y \left( \frac{1}{R_{y3}} + \frac{1}{R_{y4}} \right) = \\ &= F_y \left[ \left( \frac{1}{R_{y3}} + \frac{1}{R_{y4}} \right) - \left( \frac{1}{R_{y1}} + \frac{1}{R_{y2}} \right) \right] \end{aligned} \quad (3.15)$$

Această ultimă expresie poate fi exprimată noi după folosind codările, adică săriile inverse ale rigidităților :

$$O_o = F_y \left[ (w_3 + w_4) - (w_1 + w_2) \right] \quad (3.16)$$

$$O_o = 2 F_y (w_{II} - w_I) \quad (3.17)$$

În care:

$$w_I = \frac{w_1 + w_2}{2}, \quad \text{iar} \quad w_{II} = \frac{w_3 + w_4}{2}$$

rezultând codările medii în planul (1-2) și respectiv în planul (3-4).

Introducând notăția :

$$w_o = w_{II} - w_I$$

obținem :

$$O_o = 2 F_y w_o \quad (3.18)$$

și în acest cas se consideră că ovalitatea cleștelui se determină prin rigiditățile uniforme pe direcții. Dacă

se dă ovalitatea admisibilă a alveojului, astunci :

$$0_{\text{min}} \geq 0_0 = 2 F_y v_0 = 2 C_5 t^2 s^2 E_B^2 v_0 \quad (3.19)$$

Din formula (3.19) și din fig.18, rezultă că la slăierea, pentru mărirea preciziei de formă în secțiunile transversale este necesar să se asigure rigiditatea uniformă în toate direcțiile, totodată și redarea surșorului de prelucrare.

Din analiza de mai sus se concluzionează următoarele : la prelucrarea alveojelor pe regiuni de aleasă, valoarea rigidității sub-ensemblelor axialei principale este foarte mică, aceasta provoacă erori atât de dimensiune ca și de formă (ovalitatea și conicitatea) pieselor prelucrate într-o măsură însemnată. De asemeni, pentru mărirea preciziei dimensiunilor și formelor pieselor prelucrate este absolut necesar să se caute toate posibilitățile pentru ridicarea rigidității sistemului tehnicologic elastic mașinii multidecomponibil, totodată reducerea componentei forței radiale  $F_y$  care acționează pe axa principală al mașinii și a ensemblei „S” (deci dimensiunile de aschisare se stabilează pe baza valorii adesea mai de prelucrată, adică  $t = \text{const}$ ).

### 3.2. Înflorirea sursei mașinii trilobate și extinderea preciziei dimensiunilor pieselor prelucrate

Problema uzurii sculelor este legată strâns de cea a preciziei pieselor prelucrate.

Uzura orizontală poate avea o influență complexă asupra preciziei pieselor prelucrate. Astfel, uzura radială poate provoca o abaterere de dimensiune, uzura pe fețe de aşezare secundară dă rezultate unei sursele trilobate și rugositatea, decasarea se copiază pe piese de prelucrare, iar uzura pe fețe de aşezare principale și pe fețe de degajare hotărășă durabilitatea sculei. De altfel, prin uzură, se modifică geometria părții de lucru, ceea ce produce modificări corespunzătoare de contact cu aschis și piese de prelucrat, cum și modificări de tipură a lor la parcurgerea lor.

Efectele negative ale uzurii sculei sunt următoarele :

- schimbarea dimensiunilor diaxtrului piesei ;
- înălciri și înălțări corespunzătoare aschiselor ;
- creșterea bruscă a eforturilor radiale  $F_y$  și axiale  $F_x$ .

(creșterea lui  $F_y$  poate fi cu 250 % și a lui  $F_{y0}$  cu 150 % [154]) ca atâtă de după sine a creșterii obținute de formă ale piezelor prelucrate, cum și a creșterii puterii necesare apării:

- creșterea vibrațiilor sistemului tehnic;
- creșterea temperaturii de lucru;
- creșterea usurii sculei;
- grijiile căldurilor (pentru temperaturile din afara judecătării);
- apariția fisiei lucioase pe pieză.

La alegerile căldurilor de ciliindru cu un singur cupit, rezultatul experimentale ale extensiei erorii că ovalitatea și conicitatea pentru prime pieză (după ascuțirea căntărilui) este 0,09 mm și respectiv 0,07 mm, iar pentru a doua pieză este 0,15 mm și respectiv 0,20 mm. Din datele de mai sus se poate în evidența că usure căntărilui are o influență puternică asupra preciziei de formă a piezelor prelucrate.

Trebuie menționat că influența usurii sculei asupra preciziei de prelucrare apare mai accentuat în cazul prelucrării pe mașini multe cu mai multe scule și la scule cu mai multe muchii sau chiar mai multe. Usure neuniformă a muchiilor provoacă erori dimensionale dădurite la suprafețele prelucrate de fierbere scule. La sculele cu mai multe muchii, usurile neuniforme a muchiilor produc erori și mai insenzitive [203].

Factorii care influențează usurile sculelor sunt: viteza de apăriere, evenimentul și adinevinitatea de apăriere, materialul prelucrat, materialul sculei, geometria sculei, condițiile de răbire etc. Remarcă că se poate conchide că, influența unei usuri asupra rugăunii în care se formează usura, este deosebit de mică și este proporțională cu viteza de apăriere și grosimea sculei [154].

La strunjirea frantei cu cutite armate cu plăciute din ceruri metalice (din grupa X), usura are loc pe fețe de degajare și pe fețe de apărire fig.15 [154].

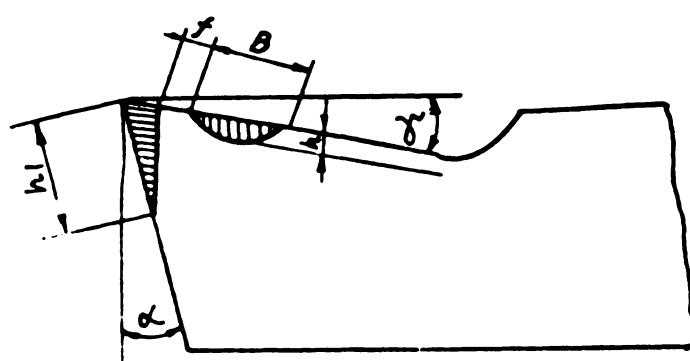


Fig.15 - Usure căntărilui pe fețe de apărire și fețe de degajare

3.2.1. Influența parametrilor mecanici de sechire asupra durată sculei. Pentru calculul urmării, literatură de specialitate recomandă relațiile următoare [158] :

$$h = C_0 C_1 t^{M_1} s^{M_2} v^{M_3} \tau^{M_4} \quad (3.20)$$

$$h_1 = C_1 t^{M_1} s^{M_2} v^{M_3} \tau^{M_4} \quad (3.21)$$

unde:  $h, h_1$  sunt arătate în fig.15

- $C_0, C_1$  - coeficienți care depind de materialul care se prelucră și materialul sculei ;
- $v$  - viteza de sechire, în  $m/min$  ;
- $s$  - evenoul longitudinal, în  $mm/rot$  ;
- $t$  - adâncimea de sechire, în  $mm$  ;
- $\tau$  - timpul de sechire, în  $min$ .

Exponentii  $M_1, M_2, M_3, M_4$  și  $M'_1, M'_2, M'_3, M'_4$  se determină experimental.

Exponenții lui „ $\tau$ ” ( $M_4$  și  $M'_4$ ) sunt suprapuși de unitate. În ceea ce privește ceilalți exponenți, există relație :

$$M_1 < M_2 < M_3 \quad \text{și} \quad M'_1 < M'_2 < M'_3$$

Adică influența acei unele asemenea urmării e aceea viteza de sechire (al cărei exponent este 2) și în ordine descrescătoare, evenoul, apoi adâncimea de sechire.

Poate altă parte, s-a stabilit în mod experimental, relație funcțională între parametrii sechierii și durabilitatea sculei după formula [205] :

$$\tau^x = \frac{C_1}{v_0 s^z n^y} \quad [min] \quad (3.22)$$

unde:

- $\tau$  - perioada de durabilitate a sculei între două scoarțiri, exprimată în minute, din timpul de lucru și anginii ;
- $z$  - exponent de durabilitate ;
- $C_1$  - coeficient care depinde de materialul prelucrat, materialul sculei și condițiile de lucru.

Exponentii „x” și „y” sunt mai mici decât unitatea. De căci rezultatul exterior, relația stabilită nea sus are să că opere durabilității sculei influențează col nea mult viteza de aşchiere iar adiacența și evanșul nea puțin.

De aici reiese că în alegerea parametrilor de aşchiere, nu ales că ai viteza și evanșul de aşchiere, trebuie că se țind seama de influența acestor parametrii asupra usurii sculelor.

c) Viteza de aşchiere. În legătură cu usura relativă și viteza de aşchiere, cercetările experimentale au ajuns la următoarele concluzii importante [132; 133; 134; 135; 136; 238].

Usura relativă a sculei cu aliaj dur este mare în ceea ce vitezelor de aşchiere nici. Se se micșorează repede la mărimile vitezelor, atingând un minim la o viteză care se numește a coastei. Dacă viteza continuă să fie mărită, usura relativă crește (fig.16).

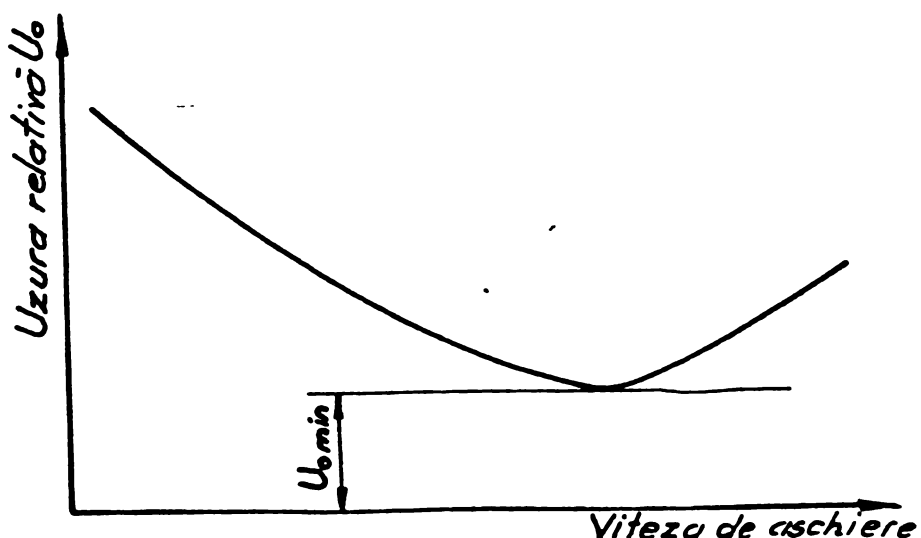


Fig.16 - Variatia usurii relative a cutitelor cu plante din casturi metalice in functie de viteza de aşchiere

Usura relativă sau specifică se determină raportând-usa  
vara la lungimea de aşchiere :

$$U_r = \frac{L_{asch}}{L_{asch} + l} \quad (3.25)$$

unde:

$U_r$  este usura normală a cutitului în timpul lucrului,

în  $M_n$ ;

$l$  - lungimea aşchierei în metri, corespunzătoare unui  
de usură normală.

Diagrama de mai sus indică existența unei viteză optime pentru care se obțin proprietăți prezentând o durabilitate dimensionată maximă.

Rendibilitatea unei concetării privind unor cupătări cu plăcuțe din aliaj din la strânjările interioare de natură și unele pieze din ferăud tratat în tehnică cu compoziție 3,37 % Cr, 0,60 % Mn, 2,2 % Ni, 0,17 % Si, 0,11 % C și 0,11 % S și 0,12 % P, confecționate cu dimensiunile L = 200 mm ; D = 120 mm ; d = 110 mm și au fost călăzite la „ $\delta$ ” = 850°C și apoi expuse unei reveniri la „ $\delta$ ” = 220°C, durată cea de revenire fiind de 100 ore, și au obținut următoarele rezultate:

Pentru viteză de ochiere cuprinsă între 75 și 105 m/min nu se produce niciun uniform; pentru viteză de ochiere cuprinsă între 120 și 150 m/min, se observă creșterea durată interioară concetării. Domeniul vitezelor de ochiere cuprinsă între 75 și 105 m/min trebuie considerat ca optim în ceea ce strânjările interioare de natură și piezelor din ferăud călăzit [195]. Concetăriile experimentale au mai arătat că, unele viteză optime de ochiere se adună suprapusele minime și suprapusele maxime [107].

Pe de altă parte, în legătură cu viteza de ochiere, productivitatea mașinii și durabilitatea sculelor, concetăriile realizate au ajuns la concluzia că, adăposti cu creșterea vitezelor de ochiere, productivitatea mașinii crește pînă la o anumită valoare maximă, apoi începe să scade (fig.17) [24 : 205]. Aceasta se aplică

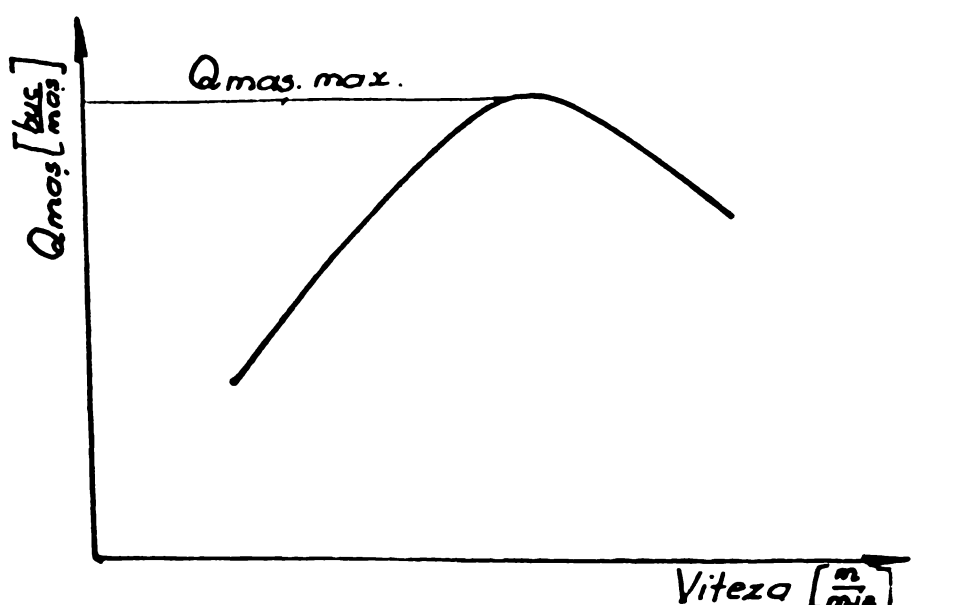


Fig.17 - Variația productivității mașinii în funcție de viteza de ochiere

prin faptul că, cănd cu creșterea vitezei de aşchierare, se micorează durabilitatea sculei. Din acestă cauză pierderea de timp pentru schimbările deosebite ale sculei, cheltuielile suplimentare pentru secundajele și confectionarea speciale, pot face ca altre viteze de aşchierare să nu fie rentabile.

Concluziile de mai sus sunt doar situația din punct de vedere al eșecurilor vitezei de aşchierare în scopul măririi productivității, precum și piezelor prelucrate și reducerii cheltuielilor de producție.

In condițiile actuale le recomandării cîndărilor de cilindri, determină rigiditatea foarte mică a sistemului tehnologic, viteza de aşchierare este limitată. În general, procesul se realizează cu viteza mult mai mică decât este optimă ( $v = 30 \text{ m/min}$ ) ; aceasta corespunde unui eșec special nero și bineînțeles nu este productiv.

Cercetările experimentale ale autorului le eloborează cîndările de cilindri cu capăt de abrazat cu noi multe cutii arătă că în acest cas se ajunge la mărimi apreciabile a rigidității sistemului tehnologic, care le permite să rămână viteza de aşchierare la valoarea optimă.

b) Averul de formă. Pentru mărimile productivității muncii este necesară mărimi de aşchierare al procesului respectiv (formule 2.3). Înălțimea averului de aşchierare este limitată de condiția calității suprafeței casute, iar din punct de vedere al durabilității sculelor, după cum a-e arătat mai sus, căndă cu mărimile avanșuri, număr sculelor cresce, adică durabilitatea se micorează fără să surbească. Aplicația creșterii întencioanării casurii și măsurării durabilității la creșterea avanșului, cauză în faptul că, la creșterea acestui element atât apăsarea de aşchierare, cât și rezistența trângului crește. Literatură de specialitate recomandă că la procesele de strângere interioară nu se poate face prelucrare cu avanșuri mari, deoarece forțele de aşchierare vor provoca deformarea cisternelor și vor opri casul la prelucrare, de asemenea pot apărea vibrații, care ce va determina înălțimile calității suprafeței prelucrate [20]. În condițiile obișnuite de prelucrare, cînd căuză mărimile de aşchierare în scopul măririi productivității muncii cînt enigătoare de dificultăți. Prin folosirea capului de abrazat cu un cingur cutit cu cel cu noi

cuțite, prin divizarea evenimentului, se pot înălța neajunsurile de reziliență.

Bate de rezistență că, ca se poate lucra să încearcă cu proximi prea rici (evenimente prea rici) ale echipei, fără încălzirea că centralul de precizie al echipei se apropiște de muchia și îngălbenit, deci urmărește intensitate [152, 203]. Astfel, între urmă relativă a eroziiei  $U_0$  și avansul de lucru există o legătură prezentată în fig.12 [107].

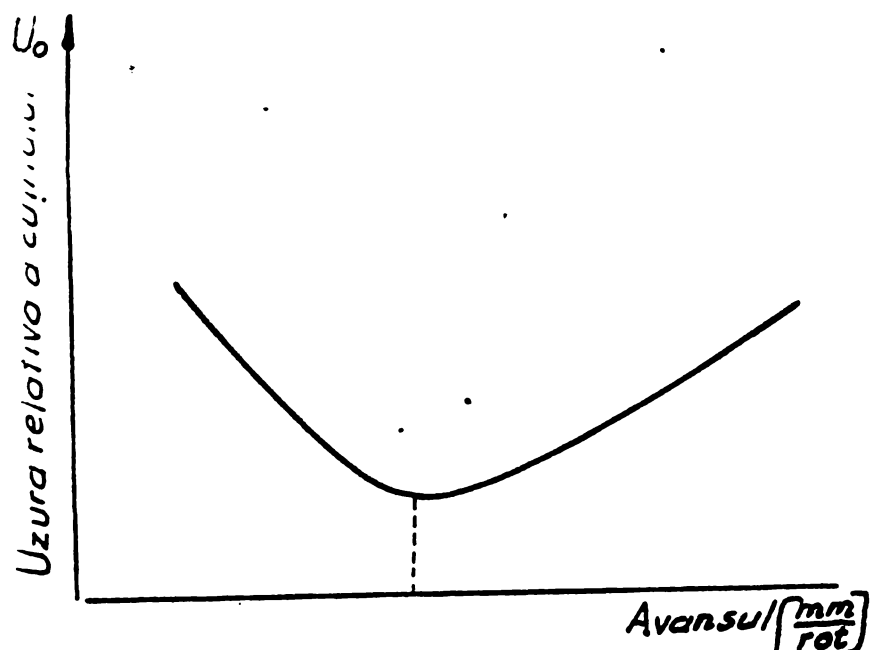


Fig.12 - Varietatea urmării dimensionale relative  $U_0$  în funcție de avans

De aceea, dacă se prelucrăzați cu capul de abraziv cu mai multe cuțite prin divizarea evenimentului este obiectul necesar stabilirea numărului muchilor echipeștiere, pentru ca curvăul muchilor echipeștiere să nu devină călățioasă și să nu fie utilă.

**3.2.2. Influența parametrilor geometriici și scalelor geometriei log. Să influență forțele puternice asupra coreabilității scalelor este parametrii geometriei log. De aceea, aleaserea geometriei optime a scalelor, are un rol important pentru eficiența coreabilității, totodată și pentru productivitatea muncii, a preciziei de formă și de dimensiune a pieselor produse, a netezimii suprafeței produse și redusarea vibrațiilor sistemului tehnologic elasic KUTP.**

Se consideră ca geometria optimă a tășgului, aceea formă și setările și ale valorii ale unghiurilor sculei active care îndeplinesc următoarele condiții:

- să permită achiziție cu forțe minime;
- să facă la o viteză de uzură minimă și deci la o durabilitate efectivă maximă;
- să asigure prelucrarea suprafeței cu rugozitatea precordă sau necesară de la cas la cas;
- să reducă la minimum vibrațiile în procesul de achiziție.

Prin urmare, determinarea valorilor optime pentru acești parametri se bazează nu numai pe cunoașterea influenței fiecărui aspect asupra durabilității tășgului, ci și asupra forței de achiziție, asupra rugozității și asupra vibrațiilor, precum și asupra condițiilor de formare și degajare a echilibror etc.

a) Unghiul de atac principal „ $\alpha$ ”. Creșterea unghiului esteropă după care o scădere a suprafeței de contact dintre fața de achiziție principală a sculei și cas de achiziție a piezii. Rezultă de aci că și prezentile ce încreză pe acestă fază vor crește căderea unghiului de atac principal, ceea ce va duce la scădere durabilității sculei.

Înăl, studierea unghiului de atac principal arată în evidență că nu se poate vorbi de o valoare optimă ce în casul celorlalte unghiiuri, în sensul că curbele de durabilitate în funcție de unghiul „ $\alpha$ ” nu au un maximum [195].

Acumul căzut face ca elegerea unghiului „ $\alpha$ ” să se facă de cele mai multe ori după alte criterii decât acele valori optime din punct de vedere al durabilității sculei.

Se știe că, condițiile de rigiditate ale sistemei tehnologie sunt cele care limită valoarea unghiului „ $\alpha$ ”.

Se știe unghiul de atac principal „ $\alpha$ ” este mai mic, cu atât vibrațiile sunt mai intense, decarece în acest caz crește forța radială „ $F_y$ ” [200].

„Răsuflare forței radiale „ $F_y$ ” se produce prin mișcarea unghiului „ $\alpha$ ” (fig.19) după formula cunoscută :

$$F_y = F_g \cdot \cos \alpha \quad (3.24)$$

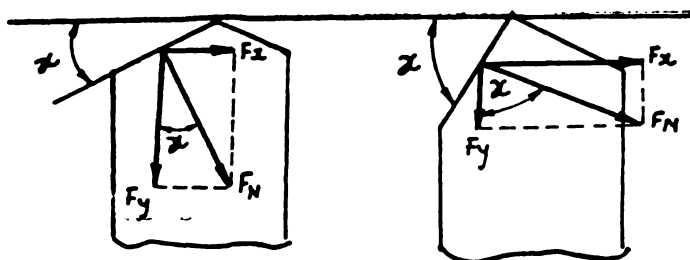


Fig.19 - Influența unghiului de stoc principal „ $\mathcal{H}$ ” asupra forțelor „ $F_y$ ” și „ $F_x$ ”

Forța radială „ $F_y$ ” care acționează asupra cutitului crește și influență accentuată asupra intensității vibrațiilor sistemului SUHP. Cu cît „ $J_y$ ” este mai mare ca și cît o depresare sonorează cutitului și o grămadă suportului mașinii unealtă este mai mare și invers, ceea ce dăse le obțeri stătă de dimensiune cît cît de formă a piezelor prelucrate. De aici rezultă că, la prelucrare unde rigiditatea sistemului tehnicologic este mică, ca și la prelucrarea cîmășilor de cilindri pe mașine de aleasă vertical, trebuie folosite cutite cu unghiiuri „ $\mathcal{H}$ ” mici provocând o depresare mare cît totodată vibrații. De multe ori, literatură de specialitate recomandă prelucrarea în condițiile unde rigiditatea sistemului tehnicologic este insuficientă, ceea ce trebuie folosit unghiul „ $\mathcal{H}$ ” cu valori între  $30 - 90^\circ$  [2; 45; 63; 154; 203; 233].

b) Unghiul de stoc secundar „ $\mathcal{H}_1$ ” este avută joi cît cît mai mic, pentru o bună rezistență a suprafetei prelucrate. După cum se știe, rugozitatea suprafeței prelucrate în funcție de unghiuri de stoc secundar „ $\mathcal{H}_1$ ” se deduce după relația :

$$R_0 = \frac{s}{\cos \mathcal{H} + \cos \mathcal{H}_1} \quad (\text{pentru } s=0) \quad (3.25)$$

unde:

$\alpha_c$  este înălțimea teoretică (calculată) a capătărilor:  
a = evançul în  $[m/\text{rot}]$ ;

Pe de altă parte, evançul constă în acela că se adârgă volumul și masa capălui sculei și se menținează temperatură în virful sculei, în urmă cu o valoare îndepărțării a căldurii înspre corp. Deci se poate recomanda ca orientativ, raportul de diferențe valori ce se pot da unghiului de stoc principal, ca unghiul de stoc secundar să fie astfel ales încât unghiul la vîrf „ $\delta$ ” să adui cel puțin  $90^\circ$ .

In general, pentru o bandă netesăre a capătărilor prelucreate se recomandă practica „ $H_1$ ” valori de  $2 - 5^\circ$  [53; 64].

c) Unghiul de scuncă „ $\alpha$ ”. Datorită deformărilor plasticelor ce se întâlnesc în zonele desprinderii apărătoare între suprafața de sprijin principală și cea de apăchisire a piezelor se creștează o suprafață de contact. În consecință suprafață de contact încrucișă forțele de frecare, de mărimi căruia depinde evoluția usurii în timp. Unghiul „ $\alpha$ ” are rolul de a împărtășa fața de sprijin principală a sculei de cea de apăchisire a piezelor. Este evident că orășul cu creșterea scutului unghi va redni suprafața de contact. În ceea ce privește regimul de apăchisare constant și al unui unghi de desprindere de sprijin constant, se poate considera că deformările ce încrucișă fața piezelor și sculei sunt constante. Adăugând acestor ipoteze putem spune că variația unghiului de sprijin principal va face ca suprafața de contact să crească sau să scadă ceea ce arată o schimbare sau o creștere a presiunilor ce se exercentă pe această suprafață.

Pentru valoarea astăzi a unghiului „ $\alpha$ ” vom avea o suprafață de contact mare, care face ca usura să se manifeste inițial pe o suprafață mare și din cauza căruia, pentru a atinge usura limită este necesar un timp scurt. Pe altă partea unghiul de sprijin principal crește, crește și presiunea pe suprafața de contact din cauza cărui se va răboca.

Evoluția usurii va fi mai lentă pe măsură ce suprafața de contact se menține pînă când creșterea presiunilor pe această suprafață ajunge suficient de mare ca să accelerată usura pe un interval de contact. Din acest moment evoluția usurii în timp va fi mai rapidă pe măsură ce unghiul de sprijin principal crește.

Pe de altă parte, o valoare mare a unghiului de apăsare reduce unghiul de acuțire „ $\beta$ ”,  $[\beta = 90^\circ - (\alpha + \gamma)]$  ceea ce duce la micșorarea rezistenței trăgăului cutitului.

Unirea unghiului de apăsare este mai eficientă dacă le corespundă următoarele tensiuni (cota) fizice de materialele fragile (fundații) la care suprafața de contact între fața de apăsare și sculei și piezii este mai mică și deci frecările și forțele de apăsare sunt mai mici decât în cazul materialelor plastice.

Bute de menționat că mărimile unghiului de apăsare la conținutul de strânsit interior trebuie să fie mai mari și că se ufrează pe măsură micșorările distrugerii elementului, care se va strânge, decrescând în caz contrar, cutitul se va sprijini cu capătul inferior al machietii de apăsare pe suprafața elementului [22; 205].

In cazul de făuri, literatură de specialitate recomandă ca valoarea optimă a unghiului de apăsare,  $3 \dots 10^\circ$  [64; 202].

a) Unghiul de desfășurare „ $\gamma$ ”. Odății cu creșterea unghiului de desfășurare, oportunitatea de apăsare scăd. Această scădere strângă după cum e micșorarea a precizieilor ce își negociază pe fețele de contact dintre osul, piezii și apăsare, acționând astfel și forțele de frecare. Se poate arăta cărui că odății cu creșterea unghiului „ $\gamma$ ” evoluția usorii în timp se face mai lentă. Această concluzie este valabilă pînă la o valoare optimă a unghiului „ $\gamma$ ”, decrescând o creștere mai departe a valorii acestui unghi strângă după cum apare în figura următoare. Într-oarecare, creșterea unghiului „ $\gamma$ ” micșorează robustețea machietei apăsătoare. Acest lucru se face singură pînă la o valoare mai mică decât „ $\gamma_{optima}$ ”, decrescând după această valoare orice creștere a unghiului de desfășurare aducând la unire produsul pe suprafețele de contact și distrugerea machietei apăsătoare a cărei rezistență se dovedește insuficientă în cazul de făuri.

În apăsătoare cu materialuri moi sau, valoarea unghiului de desfășurare care dă o durabilitate maximă este mai mică decât în cazul apăsătorii unui material mai moale. In cazul de făuri, rezultatele cercetărilor experimentale recomandă ca „ $\gamma_{optima}$ ” să fie între  $0 - 5^\circ$ , [64; 133; 134; 135; 136].

c) Pună de rezistență „ $\alpha$ ”. C altă cale prin care se poate ajunge la creșterea durabilității este dovedită și rezultatul de recor-

dore a virfului capitolui. Acest element al geometriei scării influențează compoziția durabilității în mod similar cu unghiul de atac principal. Cauza constă în faptul că odată cu creșterea rezei de recordare crește și lungimea machetei apăchistoare a cutițului, care vine în contact cu materialul piezii. Din acest motiv va crește și suprafața de contact de pe față de așezare principală a cutițului și deci se va obține o scădere a presimilor specifice pe această suprafață de contact, care donează în mod evident la o creștere a durabilității scării. Rezultă că, cu cît vom adăuga reză de recordare ca atât mai mult va crește durabilitatea scării.

Rеза de recordare executată în mod corect duce la o creștere a durabilității de 30 - 50 %, ceea ce desigur are o mare importanță pentru economia de scări [200]. Această creștere de durabilitate nu se determină numai infundătărilor pe care ele le aduc condițiilor de evoluție a usorii pe suprafață de contact ci și faptul că donează la o creștere a robusteții virfului cutițului.

In efortul de asezeaza trebuiai unicii influențe pe care le are reză de recordare asupra calității suprafeței prelucrate. Astfel pentru un evans constant, cu cît reză de recordare va fi mai mare, cu atât se va obține o calitate de suprafață mai bună. Aceste date, adăugate, odată cu creșterea rezei de recordare, scădă suprafața rămasă după apăchisire.

Bogositatea suprafeței prelucrate în funcție de reză de recordare se calculează după formulele cunoscute [45; 65; 201].

$$R_o = \frac{\pi^2}{8} \frac{x^2}{z} \quad (\text{pentru } z < x; z \neq 0) \quad (3.26)$$

unde:

„x” este evansul de lucru în, mm/rot.

Ce și în cazul unghiului de atac principal și el să vor spune vibrații pentru reză năci de recordare. În experimentul, s-a dovedit că o reză de recordare nici adesea după cînd cîine o amortizare năci a vibrațiilor cutițului [45]. De asemenea, slăgărea vibrării reză de recordare trebuie făcută și în funcție de rigiditatea sistemului pieză-scăluță-mecanică unsoltă.

Literatură de specialitate recomandă valorile rezăi de recordare să fie alese între  $x = 0,1 \dots 0,5$  mm, atât pentru carburi metalice cât și pentru diamante [45].

In cazul de făță, raza de recordare „r” este considerată ca optimă cind este de 0,25 mm [132].

### 3.2.3. Influența materialului sculelor cu varf ușor.

Uzura sculelor depinde foarte mult de materialul sculei [238]. Pentru materialul plăcuței apăchitoare, în cazul de făță literatură de specialitate recomandă cortari metalice. Alijale cu wolfram-cobalt sunt mai tenace și mai puțin fragile decât aliagile cu wolfram-titan-cobalt. Acestea se aplică prin tăptul că, aceste din urmă au o cantitate mai mare de cortari de titan liber, care sunt foarte fragile. De aceea la prelucrarea fontelor, la care se obține o apăchie „firnășetă” și spore o solicitare cu oco puseasării în apropierea vârfului cutitului, trebuie să se folosesc aliage din grupe wolfram-cobalt. [2 : 68]

Cercetările experimentale recente, au arătat că metalul dur KO 1 este foarte rezistent la uzură la temperatură foală și permite strunjirea de finisare și de finalizare a pieselor din fontă și în cazul strunjirii fără socuri, cît și în cazul strunjirii cu socuri. Metalul dur KO 1 permite o finalizare a regimurilor de apăchire la strunjirea fontei și prin urmare o creștere importantă a productivității muncii [135 ; 189 ; 235].

Pentru uzurarea alegerii plăcuței respective, în tabelul 4 se reprezintă corespondența plăcuței KO 1 ale unor producători diversi.

### 3.3. Influența dispozitivelor

Se stă că, apăsarea piesei direct pe mojina unsoldă sau verificarea poziției ei, este procedul cel mai imperfect de apăsare. Procedul cel mai perfectionat este apăsarea piesei în dispozitiv, acesta asigură manevrarea piesei în timpul prelucrării cu ocoluri precise și cu un consum <sup>minim</sup> de tirp. La apăsarea piesei în dispozitiv se elimină complet neocșitarea traseului (operării scunde, decarcă nevoie să un mare volum de manod și calificare ridicată) sau verificării poziției piesei.

Prin folosirea dispozitivelor rationale în procesele tehnologice se obțin: la:

- creșterea productivității muncii;
- întărirea precisiunii prelucrărilor;
- reducerea eforturilor depuse de muncitor în procesul de prelucrare;

Category of Control		Controlled Activities									
		Data Collection					Data Processing				
Control Type	Control Object	Data Entry			Data Validation		Data Storage		Data Retrieval		
		Input	R.D.	H.P.	Format	Range	Size	File	Index	Total	
Controlled	Data Entry	PC	DB	CD	Text	1-100	100	100	100	100	100
Controlled	Data Validation	PC	DB	CD	Text	1-100	100	100	100	100	100
Controlled	Data Storage	PC	DB	CD	Text	1-100	100	100	100	100	100
Controlled	Data Retrieval	PC	DB	CD	Text	1-100	100	100	100	100	100
Controlled	Format	PC	DB	CD	Text	1-100	100	100	100	100	100
Controlled	Range	PC	DB	CD	Text	1-100	100	100	100	100	100
Controlled	Size	PC	DB	CD	Text	1-100	100	100	100	100	100
Controlled	File	PC	DB	CD	Text	1-100	100	100	100	100	100
Controlled	Index	PC	DB	CD	Text	1-100	100	100	100	100	100
Controlled	Total	PC	DB	CD	Text	1-100	100	100	100	100	100

- Înălțarea posibilităților tehnologice ale utilajului existent este :

Bineînțelea că, pentru întărirea calităților piezelor prelucrate și mărirea productivității muncii este absolut necesară protecțarea și aplicarea tipurilor celor mai rationale pentru procesul tehnologic respectiv.

Deformările elastice ale piezelor apar nu numai sub influența forțelor de apăsare, ci și sub influența forțelor de fizare, atâtă sub influența rezistenților rezistențelor și sub acțiunile diferitelor feluri de strângeri.

Deformările piezelor din cauza forțelor de strângere se pot manifesta de aceeașe deosebită de puternică sau pe precizia prelucrării, deosebită suprafață prelucrată ceeașt postea fi deviată după ecouatorul piezelor de pe mașina uneltei, din cauza deformării ei de către forțele de strângere. Acest fapt are o importanță deosebită în cazul prelucrării piezelor cu pereti subțiri și cu stabilitate redusă, ca și căndile de cilindri. Așa, de exemplu, în cazul strânzirii unei buzei cu pereti subțiri, se va produce o deformare din cauza strângerii și în universul cu trei fâșii (fig.20 a).

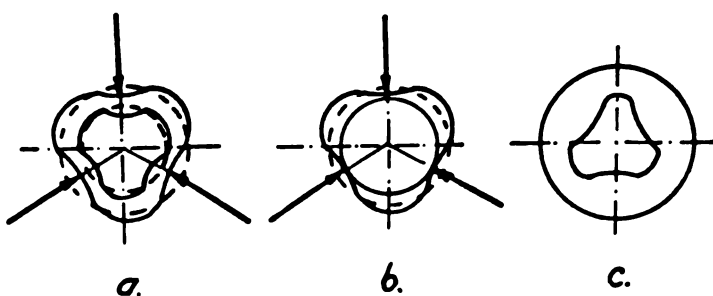


Fig.20 - Influența strângerii asupra devierii formei suprafeței prelucrate la piezela cu pereti subțiri

După prelucrare, suprafața ei interioară este corespunzătoare (fig.20 b) dar după ecouatoare din universal, suprafața interioară se schimbă (fig.20 c), ca urmare a revenirii deformărilor elastice produse la fizare.

Deformările sub acțiunea forțelor de strângere se poate determina și prin calcul. [51, 223]. Când piesa se fixeză într-un

dispositiv cu trei puncte de strângere, deformările din secțiunile transversale și în dreptul forței de strângere are valorile :

$$\Delta_s = 0,0193 \frac{F_0 \cdot R^3}{E \cdot I} \quad (3.27)$$

unde:

$\Delta_s$  - deformările cauzate de forța de strângere ;

$F_0$  - forță locală de strângere ;

$R$  - rază pielei ;

$E$  - modulul de elasticitate al materialului de prelucrare ;

$I$  - momentul de inerție al secțiunii pielei.

Prin urma pielei pe marginile unaltă și fixarea ei trebuie să asigure poziția fiză de suprafețele de lucru și să reducă la minimum deformările provocate de dispozitivele de strângere. În același timp, fixarea trebuie să fie destul de sigură, pentru că piesa să nu-și modifice poziția sau secțiunile sprijinilor de suportare și a altor forțe.

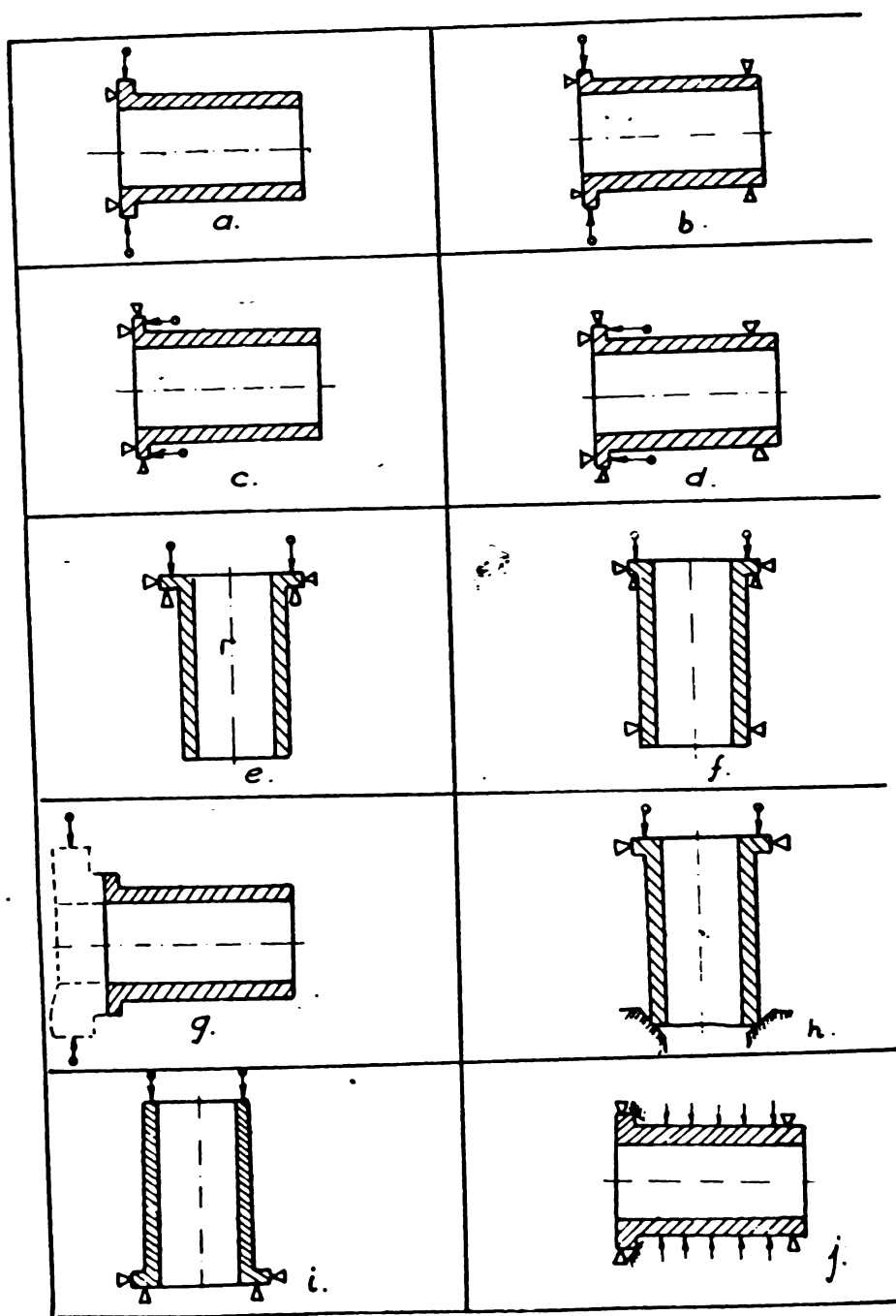
În tabelul 5 se reprezentă scheme de fixare a cilindrilor de cilindrii în dispozitivele de strângere, utilizate în tehnologia de prelucrare.

Din scălduri schematică de fixare, se vede că, în prelucrarea cilindrilor de cilindri pe linii folosind unul dispozitiv confundat sau „J” și o scaldă cu mai multe muchii apărițioare dispuse simetric, amările de prelucrare către adâncimea [51].

### 3.4. Înfluența forțelor de apăsare asupra deformărilor elastice ale piezelor prelucrate

În subcapitolul 3.1 s-a analizat influența deformării sistemului elastic compus precum piezelor prelucrate, unde se neglijau deformările piezelor sub influența forțelor de apăsare, care operează în timpul prelucrării. Însă în casul de fiză, ei – linii și corpuri de rotație cu poziții subțiri, care sub acțiunea forțelor de apăsare se deformează relativ ușor.

3.4.1. Alegorie cu condiții din punct de vedere cinetic. În casul sprijinirii oblicei de către două cutite, datorită geometriei părții apărițioase a cutitului blocat, sprijinul în urmă și precerile în literatură, componenta forței de apăsare pe direc-

Întrebări 5

Forța radială are valori relativ mari. Deoarece cărăbul cilindrului pe aceste direcții în secțiunea transversală, se poate calcula considerind bucle de lungime foarte mică [136], schematic reprezentată în fig. 21.

Prin calculul deformării pe direcția de acțiune a "forțelor  $J_y$ " (componentele radiale ale forțelor de apăierere), se face o secțiune pe această direcție, astfel că sistemul static posibilă - nășat (fig. 21 a) se transformă într-un sistem de băsă static determinat, reprezentat în fig. 21 b. Urmașul a determina soluția în -

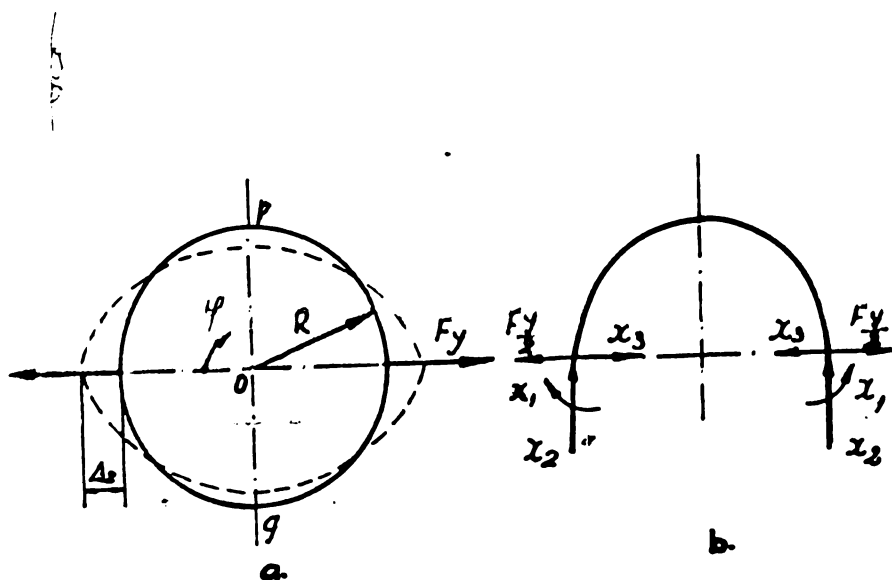


Fig.21 - Scheme de acționare a forțelor în prelucrarea cu două cutițe

- a) sistem static nedeterminat
- b) sistem de bază static determinat

încovoietoare „ $x_1$ ”, forțele trântoare „ $x_3$ ” și forțele axiale „ $x_2$ ”. Datorită simetriei, eforturile vor fi simetrice. Trei necunoscute:  $x_1$ ,  $x_2$ ,  $x_3$ , două dintre acestea pot fi determinate folosind ecuațiile de echilibru static ( $\sum X = 0$ ;  $\sum Y = 0$ ).

$$\left. \begin{aligned} \sum X = 0 &\rightarrow x_3 = \frac{\sum Y}{2} \\ \sum Y = 0 &\rightarrow 2x_2 = 0 \rightarrow x_2 = 0 \end{aligned} \right\} \quad (3.28)$$

Cunoașind forțele trântoare și axiale (3.28) cadrul devine odată static nedeterminat, răstăinind ce necunoscută static nedeterminată momentul încovoietor „ $x_1$ ”. Se scrie condiția de deplasare, care exprimă faptul că forțele secțiunii să trebuiască rotosă. Se notează cu „ $\delta_{11}$ ” deplasarea unghiulară sub acțiunea momentului unitate  $x_1 = m = 1$  și cu „ $\delta_{10}$ ” deplasarea unghiulară în cazul încadrării sistemului de bază cu forțele date. Condiție canonică este:

$$\delta_{11} x_1 + \delta_{10} = 0 \quad (3.29)$$

Utilizând formulele Maxwell - Mohr pentru calculul sfigăii:

$$S_x = \int_{-L/2}^{L/2} \frac{\frac{M_x(\varphi)}{E I}}{1 + \frac{M_x(\varphi)}{E I}} d\varphi \quad (3.30)$$

în care:

- $\alpha_x$  = exponentul deputitului efectuat pe o secțiune corectare  $x$ ;
- $a$  = momentul unitate ( $a = 1$ );
- $d\varphi$  = elementul diferențial;
- $E$  = modulul de elasticitate al potrividului material;
- $I$  = momentul de inerție axial.

Se vor determina deplasările axiale  $\delta_{11}$  și  $\delta_{10}$ :

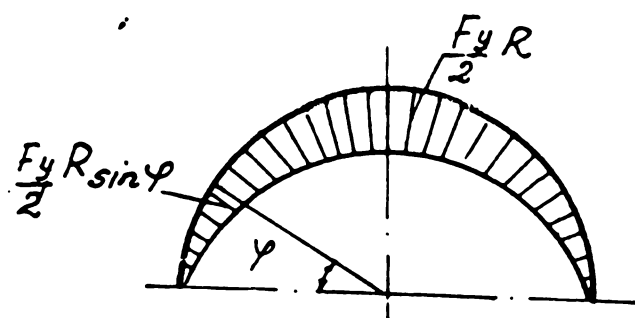
$$\delta_{11} = \frac{1}{I} \int_0^{2\pi} \sigma^2 d\varphi = \frac{1}{I} \int_0^{2\pi} 1 \cdot 1 \cdot d\varphi = \frac{2}{I} \int_0^{\pi} 2 \cdot d\varphi = \frac{2\pi}{I} \quad (3.31)$$

iar:

$$\delta_{10} = \frac{3}{E I} \int_0^{\frac{\pi}{2}} \epsilon_0(\varphi) \sigma d\varphi \quad (3.32)$$

unde:

$$\epsilon_0(\varphi) = \frac{F_y}{2} \cdot \sin \varphi \quad (3.32)$$



$$\underline{M_0(\varphi)}$$

$$\delta_{10} = \frac{3}{E I} \int_0^{\frac{\pi}{2}} \frac{1}{2} \cdot \sin \varphi \cdot 1 \cdot d\varphi = \frac{3 \cdot \pi \cdot r^2}{8 I} \quad (3.33)$$

introducind valorile deplasărilor unghiulare ..  $\delta_{11}^{\text{II}}$  și  $\delta_{10}^{\text{I}}$ , calculate cu formulele (3.51) și respectiv (3.33) : în ceea ce conține ceea ce (3.29), se obțină valoarea momentului inceovitoare :

$$x_1 = - \frac{F_y R}{\pi L} \quad (3.34)$$

Prin urmare o aproximare de eroare, momentul final va avea următoarea expresie :

$$\tau(\varphi) = \tau_0(\varphi) + x_1 \quad (3.35)$$

$$\tau(\varphi) = \frac{F_y}{2} \cdot \sin \varphi - \frac{F_y R}{\pi L}$$

deci :

$$\tau(\varphi) = F_y \left( \frac{1}{2} \sin \varphi - \frac{1}{\pi} \right) \quad (\text{fig. 23}) \quad (3.36)$$

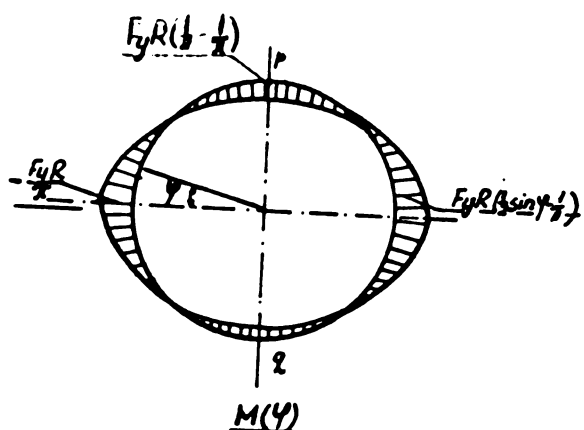


Fig. 23

În figura 23 se poate vedea că în punctele de aplicare ale forțelor  $F_y$ , momentele inceovitoare, și valoarea lor, sunt negative și prin urmare face să strângă inelul, în timp ce în acțiunile ..  $\phi$ , "momentele inceovitoare sunt positive și deci strângă inelul. De excepție astfel forme deformate și inelul, punctul în fig. 21 a.

Deplasarea  $\Delta_2$  a punctului de aplicatie a unei forțe în sens radial, sub acțiunea sistemului de două forțe, se poate calcula utilizând formula Maxwell-Lohr, aplicația cadrului și alor încărcare este cunoscută :

$$\Delta_2 = \frac{1}{\pi I} \left[ \frac{2\pi}{m_1} M(\varphi) m_1 d\varphi \right] \quad (3.37)$$

în cazul elementului încărcător  $m_1$  determinat sarcinii-unitate  $F_y = 1$  este :

$$m_1 = \frac{1}{2} R \sin \varphi \quad (\text{fig. 24})$$

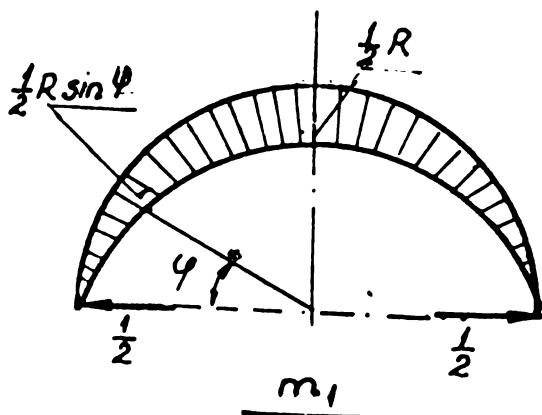


Fig. 24

Același apă

$$\Delta_2 = \frac{1}{\pi I} \left[ \frac{2\pi}{R \sin \varphi} F_y R \left( \frac{1}{2} \sin \varphi - \frac{1}{\pi} \right) \right] \frac{R \sin \varphi}{R \cdot \varphi} \quad (3.38)$$

$$\Delta_2 = 0,7429919 \frac{\rho^3 p_y}{I} \quad (3.38)$$

3.4.2. Aleazare cu trei cutite. În cazul alezării cu trei cutite, cilindru se sită sub acțiunea a trei forțe radiale  $F_y$  formând între ele unghiuri de  $120^\circ$  (fig.25).

Inelul închis reprezintă un sistem static nedeterminat. Conformăcesc pentru stabilitatea deformărilor axiale eliptice este nevoie de determinarea eforturilor (componentele incoacătoare, forțele axiale și forțele triunghiulare), care agăță în secțiunile inelului cele secțiuni carcasinilor aplicate.

Pentru transformarea sistemului dat, static nedeterminat (un inel închis încărcat cu trei forțe radiale în planul elui) într-un sistem de baza, static determinat, este indicat ca secțiunile să se folosă prin care de cătretră se creezează o cizarmă. Vom considera drept sistem de bază un inel sectionat în punctul „A” (fig.26).

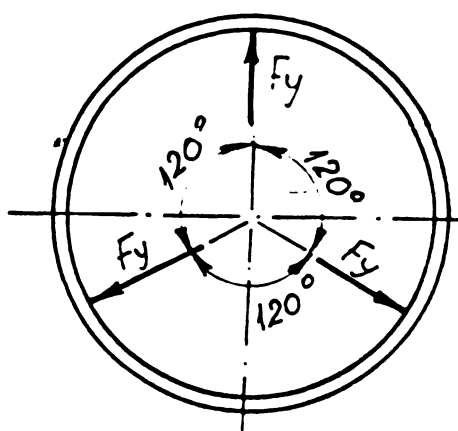


Fig.25

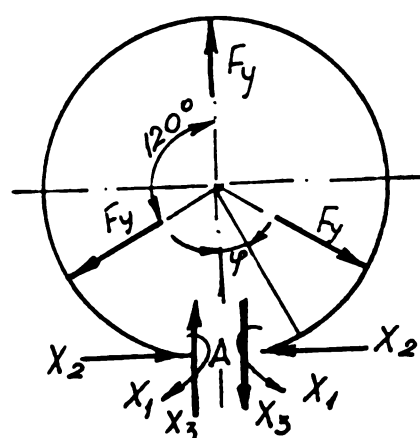


Fig.26

Simetria inelului și a carcasii, rotită de unghi vertical care trece prin secțiunile „A”, permite concluzia că forța triunghiulară  $X_3 = 0$ .

Simetria anlogă față de axale care trece prin direcțiile colinearătate două forțe „ $F_y$ ” ne permite să afirăm că eforturile în secțiunile  $\varphi = 0^\circ$  (secțiunea A) sunt identice cu eforturile corespunzătoare din secțiunile  $\varphi = 120^\circ$ . Această fapt ne permite să determinăm forța axială  $X_2$  din condițiile de echilibru ale unei porțiuni de inel limitată de secțiunile  $\varphi = 0^\circ$  și  $\varphi = 120^\circ$  (fig. 27). Înțeles că, considerind cauze proiecțiilor tuturor forțelor aplicate acestei porțiuni a inelului pe direcția forței  $F_y$ , se poate stabili ușor că,

$$X_2 = \frac{\sqrt{3}}{3} F_y = 0,5774 F_y \quad (3.39)$$

Momentul încovoietor  $\lambda_1$  în secțiunea A este static nedeterminat. Întrucât există trei ecuații de deplasare, în același timp determinată lui  $\lambda_1$ , rezultă faptul că fețele secțiunii nu se deplasează reciproc în sensul încrățirii sistemului de bază cu forțele date  $F_y$ . Forțele determinante  $x_2 = \frac{\sqrt{3}}{3} F_y$  aplicate pe fețele secțiunii și momentele încovoietoare  $\lambda_1$  aplicate de acrenze pe fețele secțiunii. Într-oevă, cum secțiunea ecrană forțe, fețele secțiunii nu tribuie că se rotesc reciproc, adică

$$\delta_{10} = 0 \quad (3.40)$$

sau, sub formă diferențială

$$\delta_{10} + \delta_{11} x_2 = 0 \quad (3.41)$$

Parametrul liber  $\delta_{10}$  reprezentă unghiul de rotație reciprocă a fețelor secțiunii determinată încrățirii sistemului de bază cu forțele date  $F_y$  și forțele axiale determinante de valoare  $x_2 = \frac{\sqrt{3}}{3} F_y$  (fig.23 a). Coeficientul  $\delta_{11}$  reprezintă deplasarea unghiulară analogă determinată unitatea  $x_2 = \alpha = 1$  (fig.23 b).

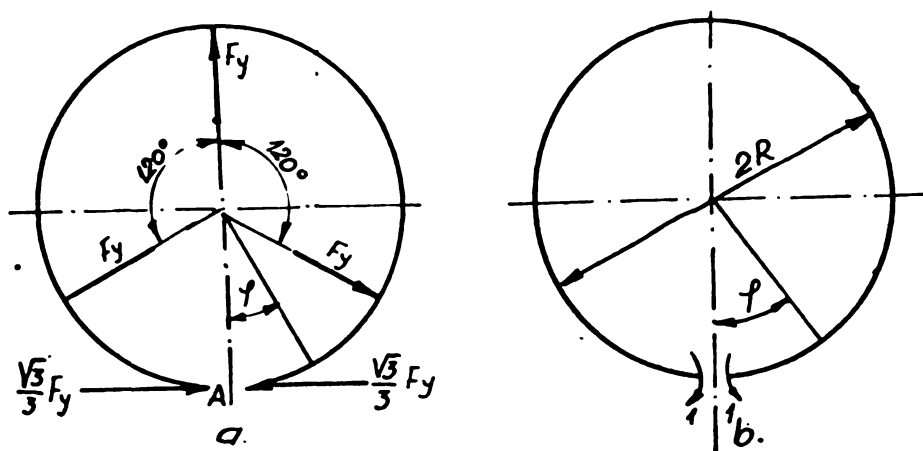


FIG.23

In cazul când sistemul de bază este suflat numai cu momentele-unitate  $x_2 = \alpha = 1$  (fig.23 b), ecuația momentelor încovoietoare este :

$$\alpha = 1 = \text{const.} \quad (3.42)$$

Pentru  $0 \leq \theta \leq 2\pi$  și prin urmare, deplasarea unghiulară principală  $\delta_{11}$  din ecuația diferențială este :

$$\delta_{11} = \frac{1}{E I} \int_0^{2\pi} u^2 R d\varphi = \frac{2\pi R^2}{I} \quad (3.43)$$

In cazul incercarii sistemului de basă cu forțele radiale  $F_y$  și cu forțele axiale  $x_2 = \frac{\sqrt{3}}{3} F_y$  (fig. 23 a), ecuația momentelor încovoiștește este:

$$u_0(\varphi) = \frac{\sqrt{3}}{3} F_y R (1 - \cos \varphi) \quad (3.44)$$

în intervalul:

$$0 \leq \varphi \leq \frac{\pi}{3} \quad \text{și}$$

$$u_0'(\varphi) = \frac{\sqrt{3}}{3} F_y R (1 - \cos \varphi) - F_y R \sin(\varphi - \frac{\pi}{3}) \quad (3.45)$$

În intervalul:  $\frac{\pi}{3} \leq \varphi \leq \pi$

In consecință, termenul liber al ecuației canonică (ținând seama de simetria sistemului) are valoarea:

$$\begin{aligned} \delta_{10} &= \frac{2}{E I} \int_0^{\frac{\pi}{3}} u_0(\varphi) R d\varphi + \frac{2}{E I} \int_{\frac{\pi}{3}}^{\pi} u_0'(\varphi) R d\varphi \\ \delta_{10} &= \left[ \frac{2\pi}{\sqrt{3}} - 3 \right] \frac{F_y R^2}{E I} \end{aligned} \quad (3.46)$$

Substituind valoile „ $\delta_{11}$ ” și „ $\delta_{10}$ ” în ecuația ecuației de deplasare (3.41) se determină momentul încovoiștor în secțiunea „A” :

$$x_1 = - \left( \frac{1}{\sqrt{3}} - \frac{1}{2\pi} \right) F_y R = 0,0999 F_y R \quad (3.47)$$

Păstrând o reprezentare de efecte, momentul final va avea următoarea expresie :

$$u(\varphi) = u_0(\varphi) + x_1 \quad (3.48)$$

sau sub forma desvoltată :

$$u(\varphi) = \frac{3}{2\pi} F_y R - \frac{\sqrt{3}}{3} F_y R \cos \varphi$$

- 2 -

In intervalul  $0 \leq \varphi \leq \frac{\pi}{3}$  si :

$$u(\varphi) = \left[ \frac{1}{2\pi} + \frac{\sqrt{3}}{6} \cos \varphi - \frac{1}{2} \sin \varphi \right] r_y \cdot R \quad (3.49)$$

In interval :  $\frac{\pi}{3} \leq \varphi \leq \pi$

Descrivand ecuatia momentelor incevoitoare (3.49), ajungem la concluzia ca momentul incevoitor maxim :

$$u_{max} = 0,1288 r_y \cdot R \quad (3.50)$$

are loc pentru  $\varphi = \frac{\pi}{3}$  adica in sectiunile care coincid cu punctele de aplicatie ale forțelor  $r_y$ .

La determinarea deplasărilor punctelor de aplicatie ale forțelor radiale  $r_y$  din considerante de simetrie, este evident că miscare dintre aceste puncte se desfășoară cu aceeași viteză în direcția vecină corespunzătoare o inelului. Vom determina deplasările, aplicând în punctele considerate ale inelului trei forțe unitate (fig.29).

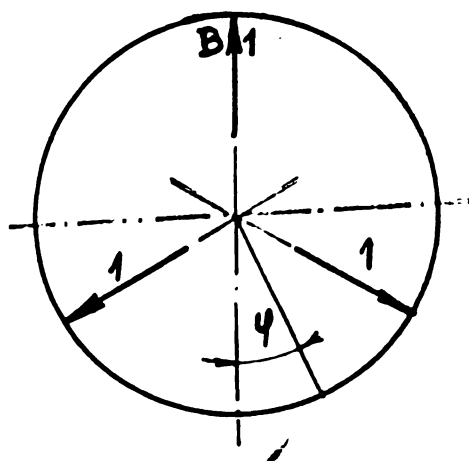


Fig.29

Rimul cercului de simetrie eliberașă tot, deplasarea tuturor momentelor astăzi :

$$\Delta = \frac{6}{\pi} \int_0^{\frac{\pi}{3}} u(\varphi) a_1 R d\varphi \quad (3.51)$$

In ceea ce următorul moment incevoitor detinută în secțiunile date este :

$$x(\varphi) = \left( \frac{1}{2\pi} - \frac{\sqrt{3}}{3} \cos \varphi \right) I_y \cdot R \quad (3.52)$$

iar datorită forțelor - unitete :

$$a_1 = \left( \frac{3}{2\pi} - \frac{\sqrt{3}}{3} \cos \varphi \right) I_y \cdot R \quad (3.53)$$

După substituirea acestor valori și efectuarea integrării, se obține valoarea deplasării totale, adică suma celor trei deplasări identice ale punctelor de aplicare ale forțelor  $I_y$ .

$$\Delta = 6 \left[ -\frac{3}{8\pi} + \frac{\pi}{12} + \frac{\sqrt{3}}{24} \right] \frac{F_y \cdot R^3}{E \cdot I} \quad (3.54)$$

și prin urmare, deplasarea radială a fiecărui dintre cele trei puncte de aplicare ale forțelor  $I_y$ , este :

$$\begin{aligned} \Delta_3 &= \frac{1}{3} \Delta = \left[ \frac{\pi}{9} - \frac{3}{2\pi} + \frac{\sqrt{3}}{12} \right] \frac{F_y \cdot R^3}{E \cdot I} \\ \Delta_3 &= 0,0159 \frac{F_y \cdot R^3}{E \cdot I} \end{aligned} \quad (3.55)$$

**3.4.3. Alteuze cu raze cutite.** În cazul alezării cu raze cutite, pentru determinarea deplasării  $\Delta_6$ , se va folosi metoda cuprinderii efectelor :

$$\Delta_6 = \Delta_3 - \Delta_{v_3} \quad (3.56)$$

unde: " $\Delta_{v_3}$ " este valoarea deplasărilor punctelor de pe ambele laturi, aflate la distanțe egale de punctele de aplicare ale forțelor  $I_y$  vecine.

Tinând seama de aplicarea simetriei a cercinilor, este evident că fiecare dintre aceste puncte se deplacează cu aceeași distanță în direcția razei corespondătoare a inelului. Pentru a determina aceste deplasări, aplicăm în punctele considerate ale inelului trei forțe-unitete. Aici este indicat să se folosească unul dintre sistemele de bază, de exemplu inelul secționat în punctul „A” (fig.30). În acest caz, deplasarea totală este dată de relația :

$$\Delta_v = \frac{r^2}{2} \int_0^{\frac{\pi}{3}} [u(\varphi) a_3 \cdot \sin \varphi + v(\varphi) a_3 \cdot R \cdot d\varphi] + \int_{\frac{\pi}{3}}^{\frac{2\pi}{3}} [u(\varphi) a_3 \cdot R \cdot d\varphi] \quad (3.57)$$

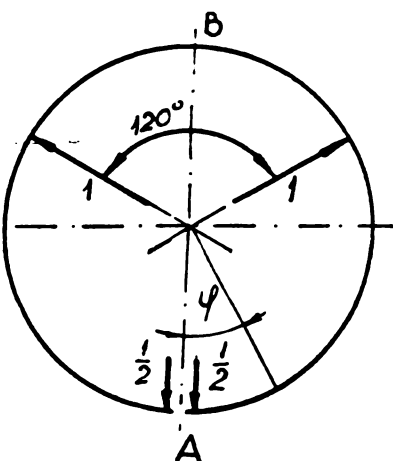


Fig. 30

Movurile punctelor încoívătoare datorită forțelor radiale  $F_y$  aplicate sistemului de bâsă (înălăturat) sunt :

$$u(\varphi) = \frac{3}{2\pi} F_y \cdot R - \frac{\sqrt{3}}{3} F_y \cdot R \cdot \cos \varphi \text{ pentru } 0 \leq \varphi \leq \frac{\pi}{3} \quad (3.58)$$

$$v(\varphi) = \left[ \frac{3}{2\pi} + \frac{\sqrt{3}}{6} \cos \varphi - \frac{1}{2} \sin \varphi \right] F_y \cdot R \text{ pentru } \frac{\pi}{3} \leq \varphi \leq \pi \quad (3.59)$$

Movurile punctelor încoívătoare datorită forțelor unitate aplicate sistemului de bâsă (înălăturat în punctul A) sunt :

$$u_y = -\frac{1}{2} \cdot R \cdot \sin \varphi \text{ pentru } 0 \leq \varphi \leq \frac{2\pi}{3} \quad (3.60)$$

$$v_y = -\frac{1}{2} \cdot R \cdot \sin \varphi - 1 \cdot R \cdot \cos (\varphi - \frac{2\pi}{3}) = \frac{\sqrt{3}}{2} \cdot R \cdot \cos \varphi \text{ pentru } \frac{2\pi}{3} \leq \varphi \leq \pi \quad (3.61)$$

Deplasarea totală, adică cursa celor trei copleoșiri însoțite de punctelor considerate, este :

$$\Delta_v = - \left[ \frac{\omega}{2\pi} - \frac{\pi}{6} - \frac{\sqrt{3}}{2} \right] \frac{F_y \cdot R^3}{6 \cdot I} \quad (3.62)$$

și prin urmare, deplasarea radială e fizicăria dintre punctele considerate este :

$$\Delta_{v_3} = \frac{1}{3} \Delta_v = - \left[ \frac{3}{2\pi} - \frac{\pi}{13} - \frac{\sqrt{3}}{6} \right] \frac{P \cdot R^3}{E \cdot I}$$

$$\Delta_{v_3} = -0,0142 \frac{P \cdot R^3}{E \cdot I} \quad (3.63)$$

Sensul minus arată că deplasarea are loc în rezilite în sensul opus cu sensul adoptat al forțelor-unitate.

Introducind valorile deplasărilor  $\Delta_3$  și  $\Delta_{v_3}$ , calculate cu formulele (3.55) și respectiv (3.55) în ecuația (3.56), se obțin valoarea deplasării  $\Delta_6$ .

$$\Delta_6 = (0,0159 - 0,0142) \frac{P \cdot R^3}{E \cdot I} = 0,0017 \frac{P \cdot R^3}{E \cdot I} \quad (3.64)$$

Dacă se notează „ $C_n$ ” coeficientul de deplasare în cazul alegerii cu copul de alesă cu „ $n$ ” cutite, atunci formula deforțării inclinării va fi:

$$\Delta_u = C_n \frac{P \cdot R^3}{E \cdot I} \quad (3.65)$$

În figura 51 se reprezintă diagrama dependenței coeficiențului „ $C_n$ ” în funcție de numărul cutitelor „ $n$ ”, cu ajutorul căreia se poate determina valoarea deforțării piezelor pentru un anumit număr de cutite.

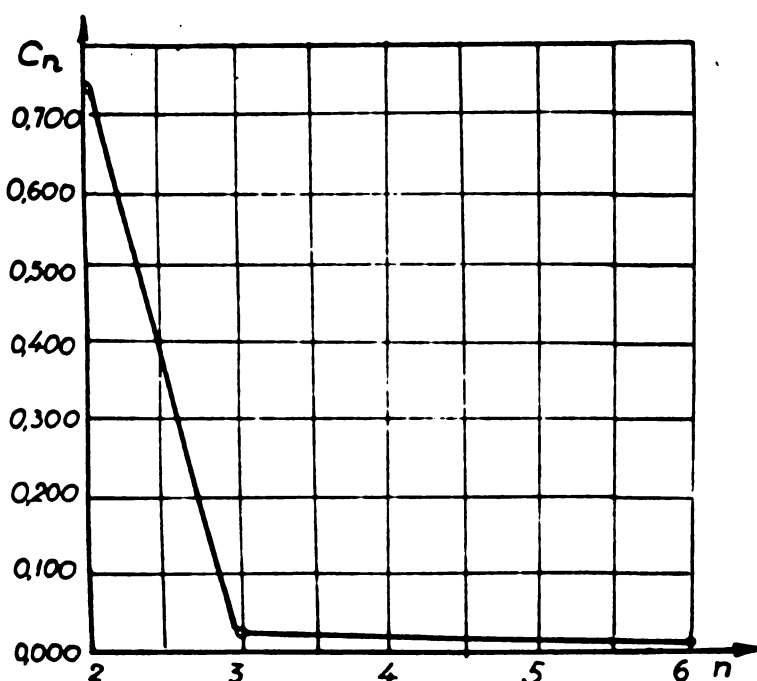


Fig.51. Dependența coe-  
cientului „ $C_n$ ” în funcție  
de numărul cutitelor (n)

Diagrama arată că deformările piesei prelucrate se micșorează cu altrele măsurări cutitelor aplicate, fapt ce asigură o precizie mai mare în condițiile unei productivități ridicate.

Totodată, folosirea capului aleasă cu valoare mult de aceea cutite, deformările piesei prelucrata cresc într-o altăsură uriașă. În același timp, o astfel de soluție este prea complexă și din punct de vedere al construcției să îl folosești.

Concluzia de mai sus este doar rezultat de valoarește și sub aspect teoretic și și practic.

### 3.5. Concluzii

Din rezultatele cercetărilor teoretice se pot trage următoarele concluzii:

Precizia de dimensiune și de formă a cilindrelor de cilindru prelucrate pe mașina de aleasă vertical, este influențată de numeroși factori și astăzi rigiditatea insuficientă a sistemului tehnologic BUMP, usura accesibilității și ații de apăsare, slăgorea regimului de eșchisare necorespunzător, folosirea dispozitivelor neadecvate.

Factorii doarabă de importanță, care se influențează mai puternică sau precizia cilindrelor de cilindru obținibile de la motoarele de tractor aleasă pe mașina de aleasă vertical sunt: deformările năse a pieselor aleasă sub influența compoziției radiale a forței de eșchisare, rigiditatea redusă a sistemului tehnologic.

Considerindu-se că soluție care nu reținează pentru ameliorarea componentei radiale a forței de eșchisare și altrele rigiditățile sistemului tehnologic este folosirea capului de aleasă cu un singur capăt, care se aplică în prezent în mod atât de pe plan teoretic, prin folosirea capului de aleasă cu valoare multă cutite cu repartizarea uniformă pe circumferință. Aceasta contribuie nu numai la altă precizie a pieselor aleasă dar și la altă productivitate și menținere a eșchisării foarte năse.

## 4.4. SISTEMUL

### INTERFAZĂ ÎNTRU PROIEȚIILE DE MONTAJ DIN VÂRFURI

#### A SAU B DE UN CILINDRU

##### 4.1. Metodologie și apertura folosită

###### 4.1.1. Aperture folosite

a) **Proiectivul echiciclor.** într-o fază jucătoare traseoare de un cilindru (cap. 5.2.1), numărul a proiectat un corp de cireșă cu diametru de 6 mm și o cărțiă concentrică cu radii de 140. 32.

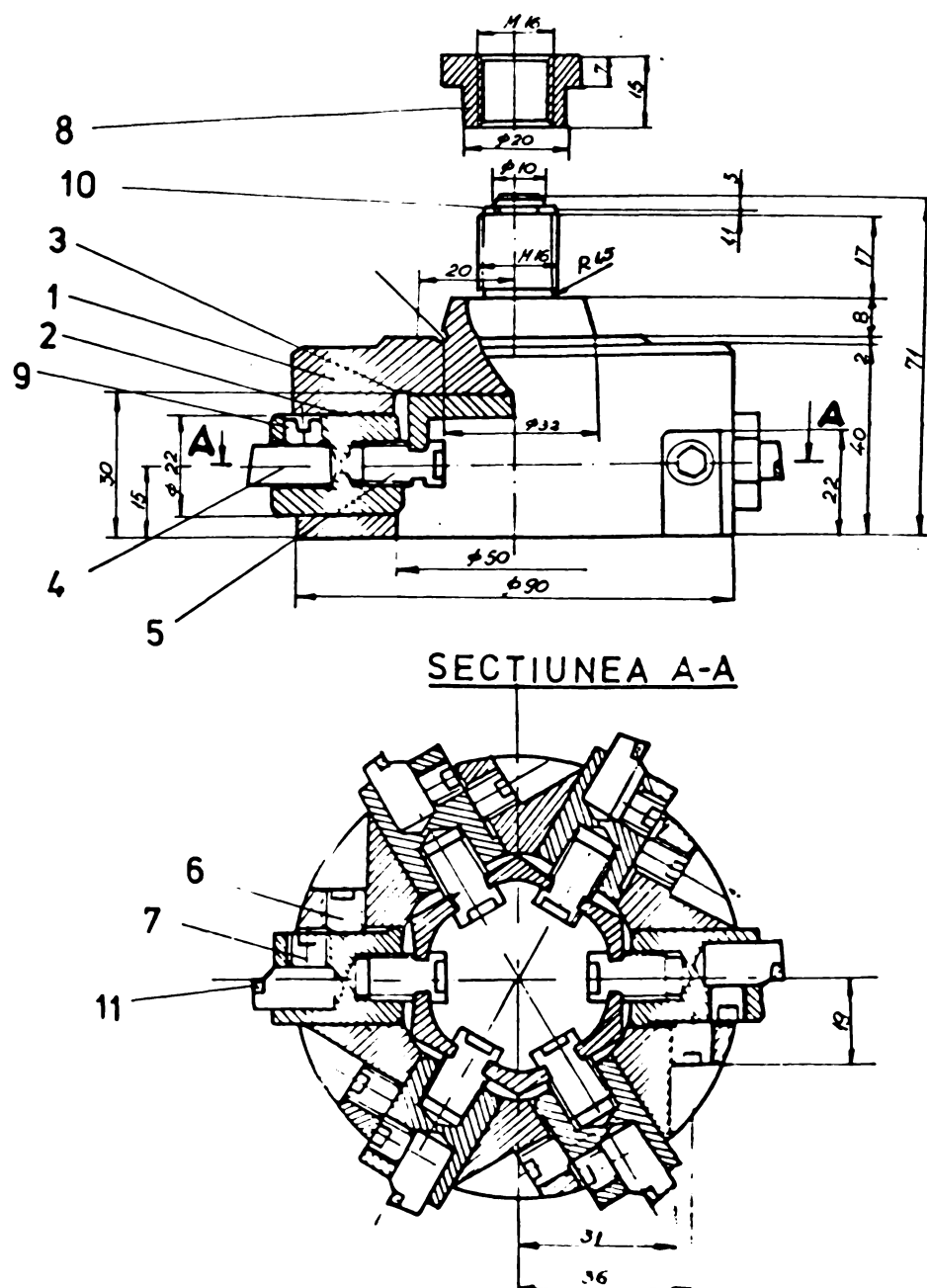


Fig. 10 - Jap de lemn cu 6 cutite

Fig.32 - Cap de cleșet cu 6 cuțite : 1 - Corp ; 2- suport cuțit ; 3- gulerul de fixare ; 4- suport plăcuță ; 5- șurub de reglare ; 6- șurub de fixare ; 7- șurub de fixare ; 8- plăcuță M.16 ; 9 - șurub de fixare ; 10- izol de siguranță ; 11- plăcuță din cartură metalică.

Este necesar să se mențione unele caracteristici deosebit de importante ale cerului respectiv :

- Muchiile cuțitelor trebuie să aibă repartizarea circumferențială uniformă. În cazul repartizării circumferențiale neuniforme ale virfurilor cuțitelor, urmare evenimentă ce revine pe fiecare cuțit este diferită, ceea ce dăriște forțele radiale care acționă pe fiecare din cuțite. Aceasta condiționează deformarea inegală a alezajului în diferite direcții transversale ale pielei, astfel dacă la erori ale forței geometrice a alezajului și în același timp, la irișările suprafetei prelucrate.

- Muchiile apărate ale cuțitelor trebuie să se situeze perfect pe un singur plan orizontal (pentru prelucrarea prin divizarea evenimentă), în casă contrar, efectele negativă sunt mai mari precizat de forță cît și ale ușorării suprafetei prelucrate.

Superioritățile dispozitivului adoptat sunt considerabile și bune și au următoare:

- La proiectarea cuțitalui de cleșet a stat la baza fețării căi deformații cuțitalui poate fi microscopice prin urmare extinderea cuțitalui, prin microscopice lungimile cuțitalui în consolă, precum și prin folosirea unor materiale cu modul de elasticitate „F” mare [45 : 131; 293]. Cuțitul adoptat este în condițiile de lucru să nu contribuie la urmări preciziei de prelucrare.

- Dispozitivul adoptat nu este complicat din punct de vedere al fabricării, iar din punct de vedere al folosirii este foarte conod, considerându-se că reglarea cuțitelor este foarte ușoară și de acordă durată. Cuțitul nu se mișcă din poziție lăsată în timpul reglării cît și în timpul alezării. Lucrul de reglare acordând reglarea finală la dimensiunile cuțitelor cu o consistență de ordinul micromililor.

- Cu dispozitivul adoptat se pot realiza mai multe variații de prelucrări cît prin divizarea evenimentă cît și prin divizarea aducerii prelucrat. La prelucrarea prin divizarea aducerii

este necesară reglarea cuțitelor în planuri orizontale diferite.

b). Dispozitivul de reglare și centrage. Pentru reglarea vîrturilor cuțitelor în dimensiunile necesare, se folosește un comparațor cu codieră cu prisme magnetice (fig.33).

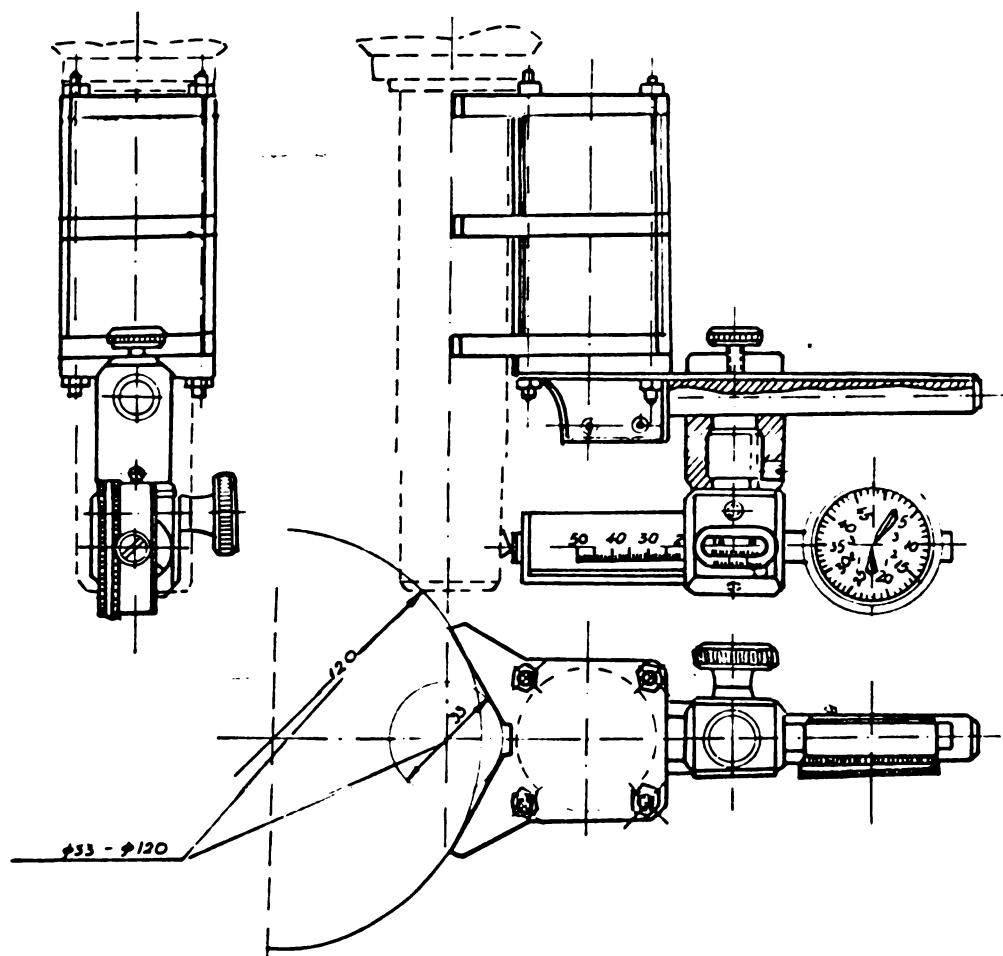
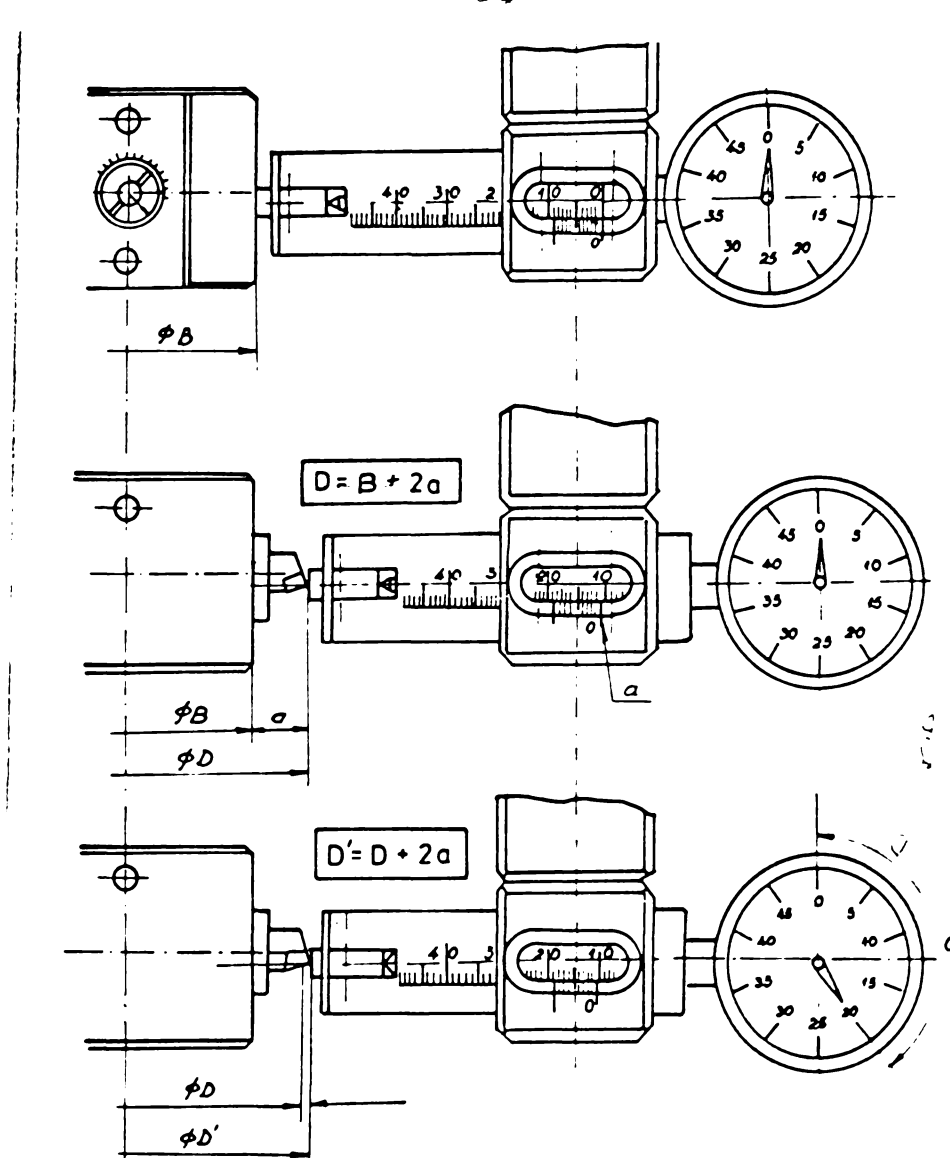


Fig.33 - Aparatul de reglare a cuțitelor

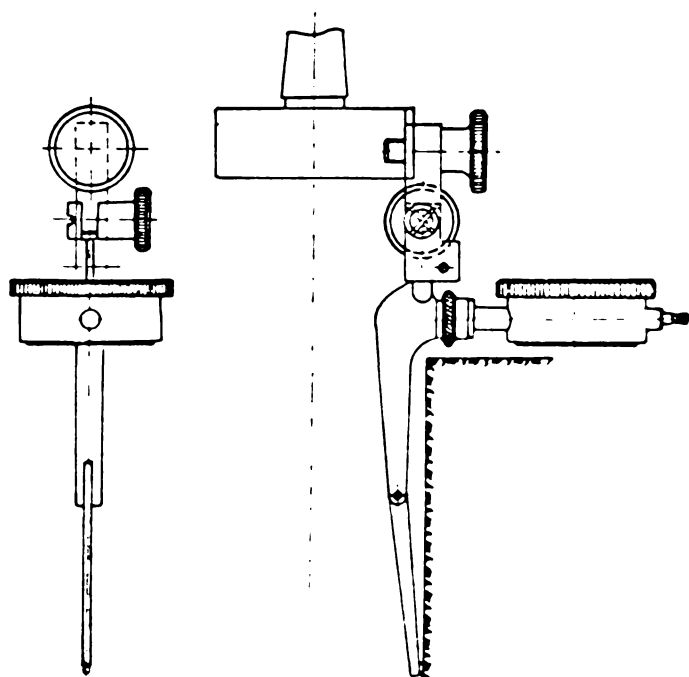
In figura 34 se reprezintă schema de reglare a cuțitelor. Pentru reglarea poziției piezii să fie făcut un alinierejul să coincidă cu un arborul principal al moarării se folosește dispozitivul de centrage fig.35.

c). Dispozitivul de fixare a piezii pe masina-uselă. Anterior s-a arătat că la prelucrarea cilindrilor de cilindru prin folosirea unui dispozitiv conform schemei „J” (tabelul 5) și o sculea cu mai multe muchii aschistice dispuse cincetice, eroile de prelucrare sunt nefolosibile.

Nec., tinind seama de condițiile concrete din întreprinderi, s-a proiectat un dispozitiv pentru operăria de alezare conform schemei „F”.



17.34 - Etapele de realizare pentru aparatul de  
reglare a cutiteelor



18.35 - Dispozitivul de contrare a pistonii

Intrucit operatia de bazeare reclamă orientarea suprafeței de prelucrat a semifebricostului în raport cu traiectoria eligenții principal al aculei. Este necesară realizarea unei poziții static determinată. Poziția semifebricostului o face astfel concepută încit în procesul de secțiune să rezulte erori de bazeare că nu există, să înfățișeze o serie de erori, în special cele cu caracter subiectiv, întrucit poziția semifebricostului în raport cu secționarea și cu scula apăratoare nu mai depinde de intensitatea circumstanțelor.

Dispozitivul conceput este reprezentat în Fig. 36.

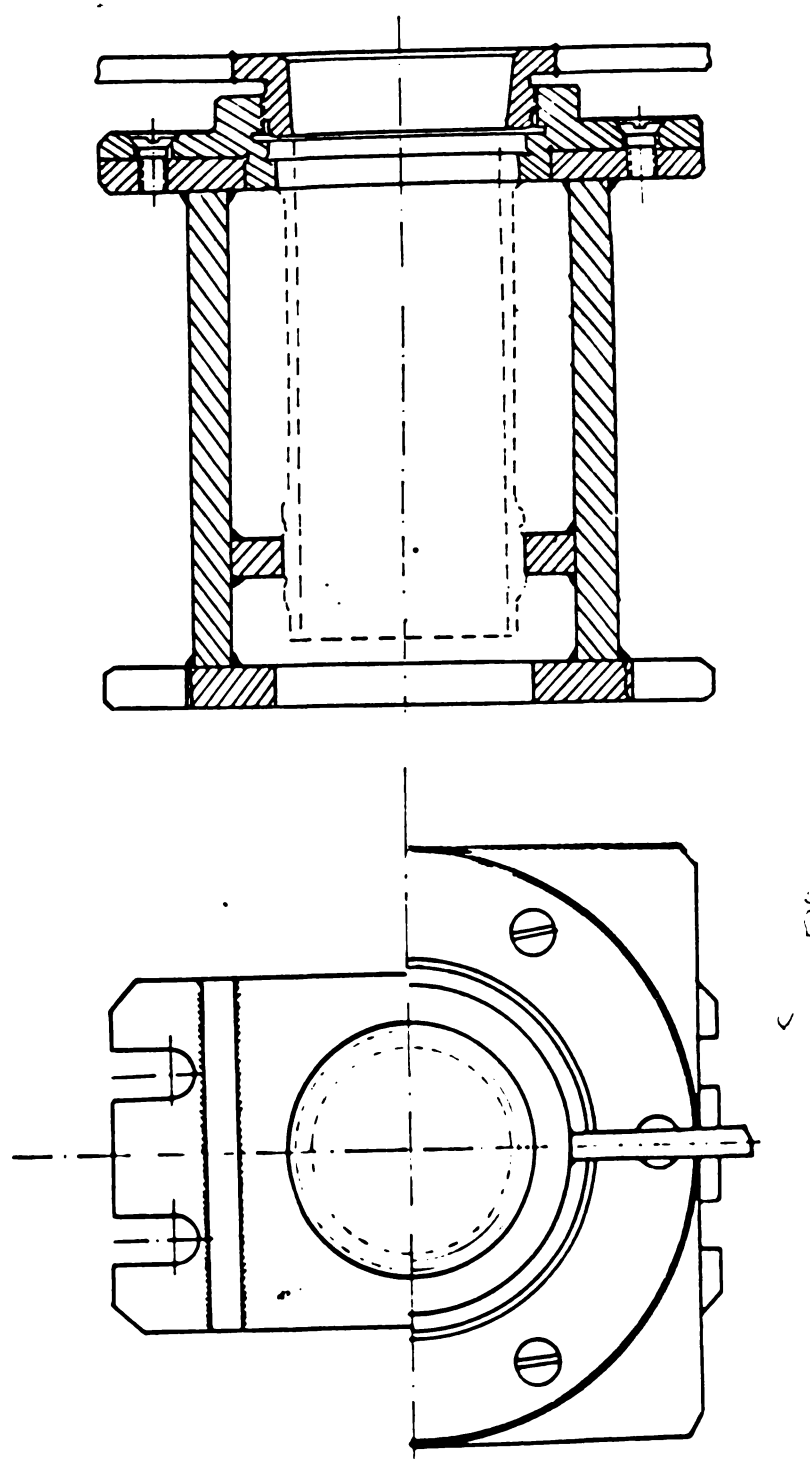


Fig. 36 - Dispozitivul de apăsare a piezii la secționare alegat

Înfrângerea principali a pielei în dispositiv se execută cu o piuliță specială, deoarece că-lust în considerare forțele de ochiere, având în vedere că se prelucrează o suprafață dură tratată termic ( $33 - 43$  KRC).

Construcția dispozitivului este astfel încât să poată fi simplă și nu necesite material de deficitare. Considerația că dispozitivul proiectat corespunde din punct de vedere al precisiiei corante piezelor prelucrate, suficient de rezistent și rigid, nu se deformeză și vibrează sub acțiunile forțelor și momentelor care însă se desfășoară în procesul prelucrării. În același timp, dispozitivul proiectat, permite manevrarea comodă și rapidă cu efort micin din partea operatorului, iar din punct de vedere al protecției muncii este sigur.

**4.1.2. Metoda experimentală.** Alegerea cărăiilor de cilindru se realizează tot pe o secțiune de aleșat cu un singur arbore tip  $340 \times 490$  (fig.5).

a) Alegerea parametrilor geometrici și a materialului constitutelor.

Reconstruirea geometrică a părții ochiatoare a capitelui, reprezentată în fig.37, a-va adoptat în baza analizelor din cap.3 (capitulul 3.2.2) astfel :

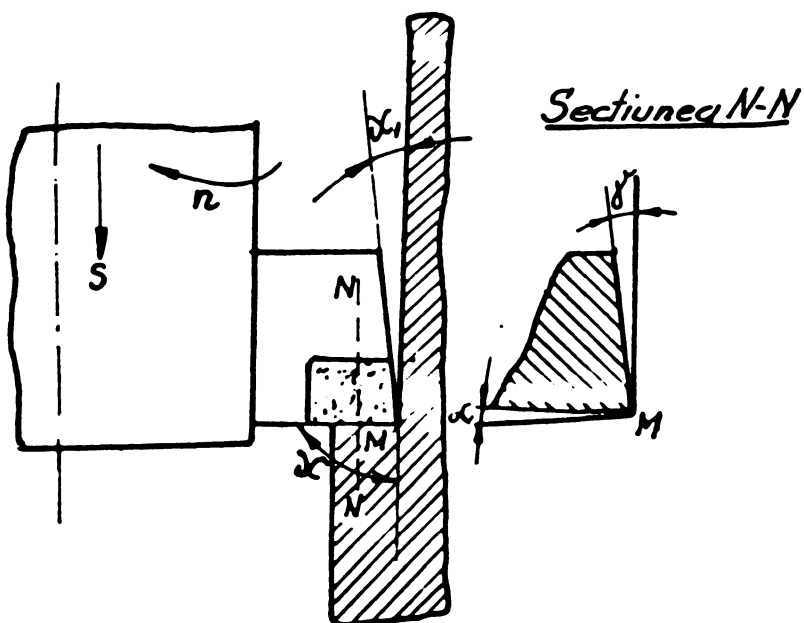


Fig.37 - Geometria părții ochiatoare a secțiunii de la capul de aleșat experimental

- unghiul de atac principal	$\alpha = 90^\circ$
- unghiul de atac secundar	$\alpha_1 = 2 - 5^\circ$
- unghiul de negajare	$\beta = 0 \dots 5^\circ$
- unghiul de adâncere	$\delta = 8 \dots 10^\circ$
- rază de răsăritere	$r = 0,25$

Materialele plășoței apăchitoare este prevăzut din carturi metalice K O I.

#### b) stabilitatea regimului de apăchire.

În cadrul adăugului de prelucrare se pornește de la ultima operație, calculând succativ adăugul de prelucrare în ordine inversă dezvoltării procesului tehnologic. Având în vedere recomandările la primele treptele de reprezăli, dispozitivul de abrazat extinționat permite îndepărțarea întregului adăug de prelucrare, într-o singură tracere, având în vedere micorarea deformărilor cilindrii cilindroului sub acțiunea componentelor radiale ale forței de apăchire [126]. Astfel, adâncimea de apăchire va fi:  $t = 0,30$  mm.

Avansul de lucru să se alăture valoarei variației posibile a mașinii, adică  $s = 0,035$  mm/rot. Această valoare este mult mai mică decât cea recomandată de literatură de specialitate [132; 133; 134; 135; 136; 190], și astfel condițiile de rezistență a corpului cuticelor, de rezistență plășoțelor din altaj dur, de forțe admise de rezistență mecanismului de apăchire și de rigiditatea piezorii

Viteza de apăchire economică a fost calculată în funcție de condițiile concrete ale apăchierii și de posibilitățile mașinii de abrazat, cu formula [150].

$$v_T = \frac{0,9 C_{V_T}}{x_v^{\alpha} y_v^{\beta}} \text{ m/min} \quad (4.1)$$

unde:

0,9 este coeficientul de corecție pentru strângerea întreagă (în cazul de fapt) ;

$C_{V_T}$  - coeficient ce cuprinde valoarea durabilității sculei și influența materialului apăchist ;

$x_v$  - exponent ce reflectă influența adâncimii de apăchire ;

$y_v$  - exponent ce reflectă influența evenoului de apăchire ;

$K = K_T \cdot K_{\text{prel}} \cdot K_{\text{st}} \cdot K_s \cdot K_Y \cdot K_\alpha \cdot K_X \cdot K_1 \cdot K_{\text{el}} \cdot K_{\text{v}_1} \cdot K_e$

în care:

$K_T$  este un coefficient care depinde de durabilitatea cutitului;

$K_{\text{prel}}$  – coefficient de prolucreabilitate ( $K_{\text{prel}} = K_{\text{v}_1} \cdot K_Y$ ) ;

$K_{\text{st}}$  – coefficient care depinde de starea materialului preluat;

$K_s$  – coefficient care depinde de starea suprafeței materialului preluat;

$K_Y$  – coefficient care depinde de materialul părții supachetare a sculei;

$K_{\text{v}_1}$  – coefficient care depinde de unghiul de deschidere al sculei;

$K_{\text{v}_2}$  – coefficient care depinde de unghiul de stec principal al sculei;

$K_{\text{v}_3}$  – coefficient care depinde de unghiul de stec secundar al sculei;

$K_\alpha$  – coefficient care depinde de unghiul de apăzare al sculei;

$K_{\text{v}_4}$  – coefficient care depinde de rază de rotunjire a unghiului tăișului sculei;

$K_{\text{v}_5}$  – coefficient care depinde de aria secțiunii corpului cutitului;

$K_{\text{v}_6}$  – coefficient care depinde de fizica fizică de la joasă – joasă a cutitului;

$K_{\text{v}_7}$  – coefficient care depinde de unirea cutitului.

Valourile coeficienților de noi sau se găsesc în literatură de specialitate [194, 195].

Din analizile efectuate în cap. III și totodată conform recomandărilor de numerose literatură [126; 132; 133; 134; 135; 136 ...], viteza de apăzare nu este  $V = 75,5$  m/min., cau corespunzătoare de rotație a arborelui sculei  $n = 224$  rot/min. Viteza vitezelui de noi sau a fost controlată după formula (4.1) și se consideră ca astfel întărită. Rezultă regimul de apăzare următor:

$$\begin{aligned} t &= 0,30 \text{ sec;} \\ s &= 0,065 \text{ m/min;} \\ V &= 75,5 \text{ m/min;} \\ n_{\text{scule}} &= 224 \text{ rot/min.} \end{aligned}$$

### c). Metodele experimentale.

La clădirea cu capul de cleșet cu noi culme cupăite, se poate lucra fie prin divizarea adosului de prelucrat (fig.38) fie prin divizarea avanșului longitudinal (fig.39) [203].

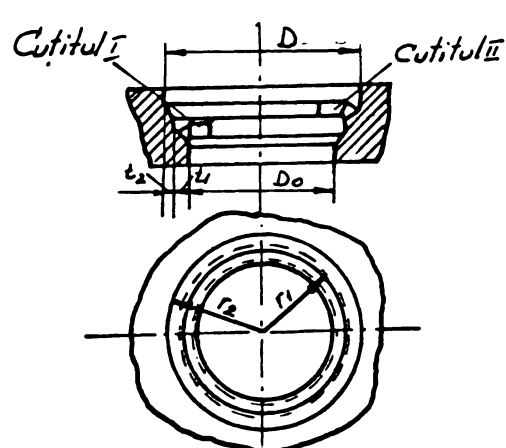


Fig.38 - Aleșarea cu divizarea  
adosului prelucrat

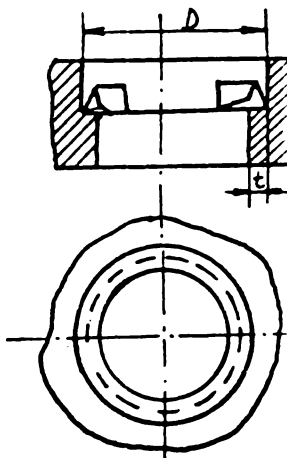


Fig.39 - Aleșarea cu divizarea  
avanșului

Pentru a găsi soluție cea mai bună, cea mai avantajoasă, totodată și pentru a dezgăsi concluziile teorice, se următră în cele două realizări au fost realizate cu următoarele variante :

- S-a aleșet prin divizarea avanșului cu capul de cleștere care are 2, 3 și 6 culme.

- De asemenea, s-a aleșet prin divizarea adosului de prelucrat cu capul de cleștere care are 2, 3 și 6 culme.

La fiecare varianta de rezultat s-a efectuat un lot de 100 de piese.

Trebuie menționat că la producerea prin divizarea adosului, rezultă culțile acușă în consecință că dimensiunea lor la cinci în aproape fel, ca suprafațașii acușilor să fie egale pe fiecare culme.

Adică culmea „I” la diferența „ $t_1$ ” culmea „II” la diferența „ $t_2$ ” etc. astfel că dacă „ $D_0$ ” este diametrul inițial al adosului și „ $D$ ” diametrul după aleșare (dintr-o treiere) rezultă :

$$D = D_0 + 2(t_1 + t_2 + \dots + t_n) \quad (4.2)$$

Pentru o repartitie egala a efortului pe cele „n” cutite, trunchiate sau  $t_1 > t_2 > \dots > t_n$ , actiile ce momentele de torsion si fie egale :

$$E_1 = E_{T1} = \dots = E_{Tn} \quad (4.3)$$

adica

$$s_1 T_{s1} = s_2 T_{s2} = \dots = s_n T_{sn} \quad (4.4)$$

unde

$s_i$  este componenta temperatiorii a forței de apăiere :

$$F_s = C_{T_s} t^{\frac{2}{\gamma_s}} s^{\frac{2}{\gamma_s}} K_s \quad (4.5)$$

unde

$C_{T_s}$  este coefficient constant :

$\frac{s_1}{s_n} \cdot \frac{T_s}{T_n}$  – exponent ce reflecta influența diferenției și respectiv cvasiului de apăiere ;

$K_s$  – coefficient ce ține seama de condițiile de aplicare.

Relația (4.4) va fi :

$$s_1^{2/\gamma_s} \cdot t_1^{2/\alpha_s} \cdot s_2^{2/\gamma_s} \cdot t_2^{2/\alpha_s} \cdot s_n^{2/\gamma_s} \cdot t_n^{2/\alpha_s} = K_s \cdot \dots \cdot C_{T_s} \cdot t_s^{2/\alpha_s} \cdot s_n^{2/\gamma_s} \cdot K_s$$

Această în vedere că :

$$s_1 = s_2 = \dots = s_n \text{ și}$$

$$\frac{T_s}{T_n} \approx 1 \quad [15\% : 120]$$

rezultă că :

$$t_1 \alpha_1 = t_2 \alpha_2 = \dots = t_n \alpha_n \quad (4.6)$$

Atât, aducerea apăierii este invers proporțională cu raza.

În ceea ce de date, datorită diferențelor  $t_1, t_2, \dots, t_n$  scurte razei, nu este nevoie să fie luate în considerare.

Pentru stabilirea ovalității și a conicității piezelor alezante, aducerea se face în opt sectiuni conform schemei din figura 40.

Vârful conicităților și a ovalităților piezelor alezante se calculează după relațiile (3.7) și respectiv (3.14).

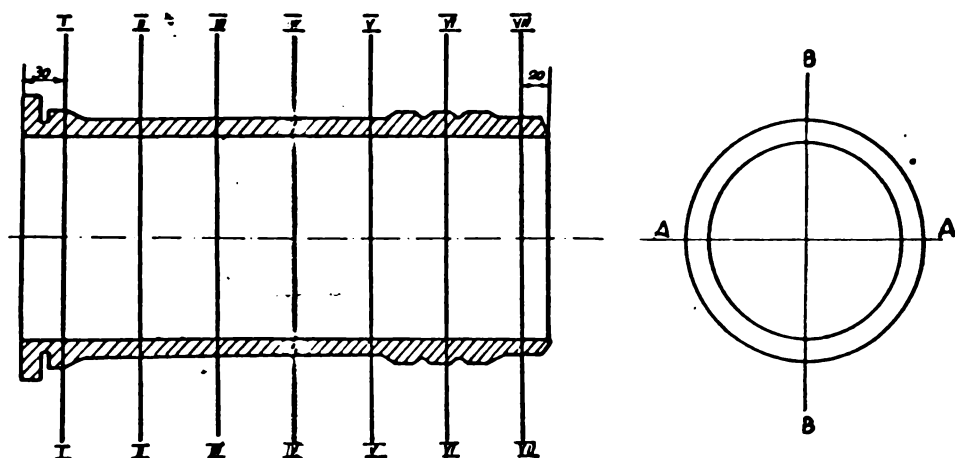


Fig. 4.0 - Schema de măsurare a cleștelui ciliciilor

#### 4.2. Rezultatele experimentale obținute

##### 4.2.1. Precizia de formă a piezelor prelucrate

Precizia de formă (ovalitatea și conicitatea) a piezelor prelucrate se apreciază după următoarele criterii :

1.  $\bar{x}$  - media aritmetică a obiectelor (obținute de formă)
2.  $\sigma$  - abaterea medie patratică.

unde:

$$\bar{x} = \frac{1}{n} \sum_{i=1}^K n_i x_i \quad (4.7)$$

$$\sigma = \sqrt{\frac{1}{n} \sum_{i=1}^K n_i (x_i - \bar{x})^2}, \text{ în cazul (4.8)}$$

$x_i$  este numărul curentă a obiectelor ;

$n_i$  - numărul de date corespondătoare aceleiași obiecte;

$n$  - numărul total al obiectelor.

Datele obținute din rezultatele cercetărilor experimentale ale extensului, prin măsurarea a unui număr de 100 de ciliostat de cilindru pentru fiecare variabilă experimentală, sunt arătate în附ix 3, tab. 2, 3, 4, 5, 6, 7 pe baza cărora s-a întocmit 附ixul 4.

reprezentate în figurile 41, 42, 43, 44, 45, 46, s-a stabilit piesoale rebutate (tabelul 7) și s-a calculat valorile „ $\bar{x}$ ” și „ $\sigma$ ” (tabelul 6).

Tabelul 6

Valorile „ $\bar{x}$ ” și „ $\sigma$ ” la alezarea căniilor de cilindru reconditionate ale motorurilor de tractor D-103, reper 103-01.106.

Nr. crt.	Faza experimentării	$\bar{x}$		$\sigma$	
		Ovali- tatea	Cooici- tatea	Ovali- tatea	Cooici- tatea
1.	Alezare cu un singur cuțit (în condițiile ec- toale de întreprindere).	0,0902	0,0776	$33,7 \cdot 10^{-3}$	$33,9 \cdot 10^{-3}$
2.	Alezare cu două cuțite prin divizarea edecen- lui de prelucrare.	0,0734	0,055	$33,5 \cdot 10^{-3}$	$29,7 \cdot 10^{-3}$
3.	Alezare cu două cuțite prin divizarea evenelui	0,0609	0,0538	$29,3 \cdot 10^{-3}$	$23,8 \cdot 10^{-3}$
4.	Alezare cu trei cuțite prin divizarea edecen- lui de prelucrat.	0,0497	0,0459	$23,9 \cdot 10^{-3}$	$20 \cdot 10^{-3}$
5.	Alezare cu trei cuțite prin divizarea evenelui.	0,0373	0,0301	$19,75 \cdot 10^{-3}$	$13,5 \cdot 10^{-3}$
6.	Alezare cu cinci cuțite prin divizarea edecen- lui de prelucrat.	0,0493	0,0408	$25,5 \cdot 10^{-3}$	$22,0 \cdot 10^{-3}$
7.	Alezare cu cinci cuțite prin divizarea evenelui.	0,0204	0,0169	$14 \cdot 10^{-3}$	$11,42 \cdot 10^{-3}$

Se menționează că se consideră piese rebutate în procesul de alezat, acele piese la care obținerile de formă nu se pot îmbunătățe prin procesul de prelucrare ulterioră (benuirea) pentru obținerea unei precizii de formă prescrise în normativele tehnice.

Răsultatele experimentelor anterioare, demonstrează că la piezile recombinante, pentru a obține o ovalitate și o conicitate maximă de 0,05 mm este sfârșitul după clasație ovalitatea maximă de 0,05 mm, iar conicitatea maximă 0,05 mm, adică piezele care au abaturile de funduri mai mari decât valorile de mai sus, sunt considerate rebutate.

Tabloul 2

Piezale subținute (%) la procesul de alezare

Rez. ord.	Număr de experimente	Piezale subținute % ovalitatea	Piezale subținute % conicitatea
1.	Alezarea cu un singur cuțit (în conc. actuală de întreprindere).	60	99
2.	Alezarea cu două cuțite prin divizarea edecoului.	67	45
3.	Alezarea cu două cuțite prin divizarea evenanului.	51	29
4.	Alezarea cu trei cuțite prin divizarea edecoului.	34	17
5.	Alezarea cu trei cuțite prin divizarea evenanului.	18	11
6.	Alezarea cu patru cuțite prin divizarea edecoului.	36	19
7.	Alezarea cu patru cuțite prin divizarea evenanului.	2	0

In figurile 41, 42 și 43 sunt reprezentate diagramele de distribuție a abaturilor de fund (ovalitatea și conicitatea) la prolezarea cu capul de alezat cu 2, 3 și respectiv 6 cuțite prin divizarea evenanului.

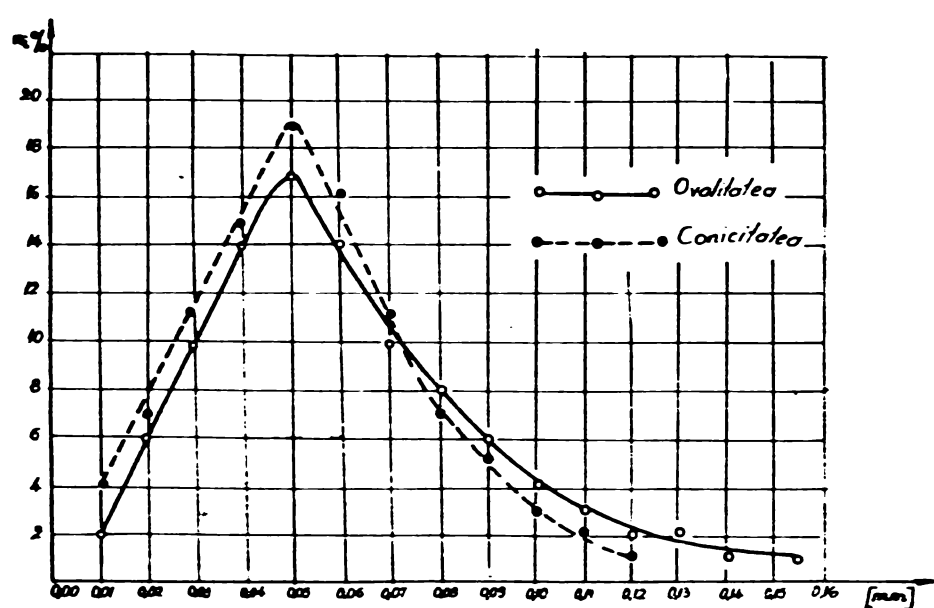


Fig.41 - Distribuția abaterilor de formă la prelucrarea cu două cățite prin divizarea ovocoului

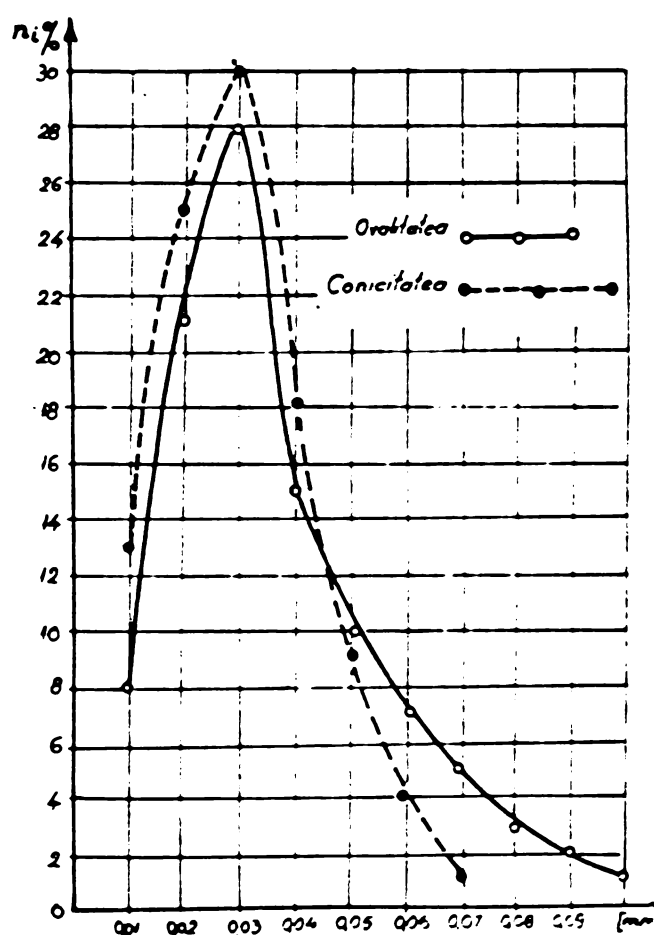
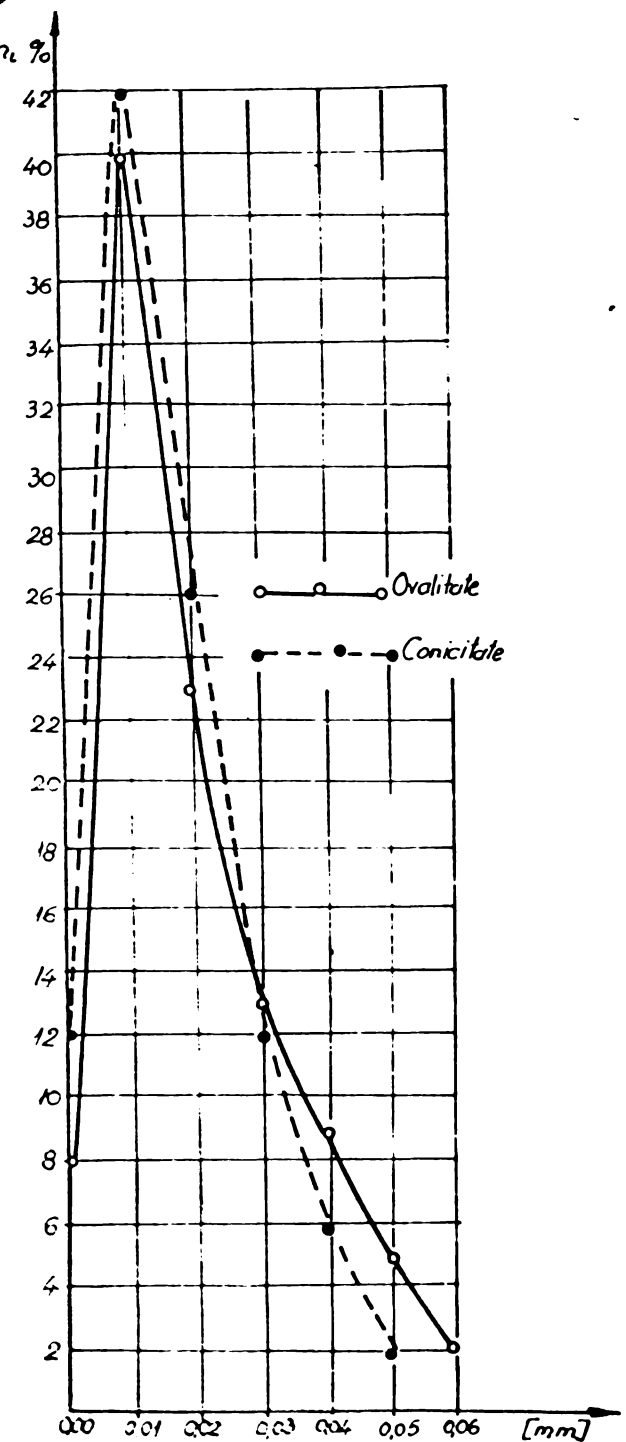
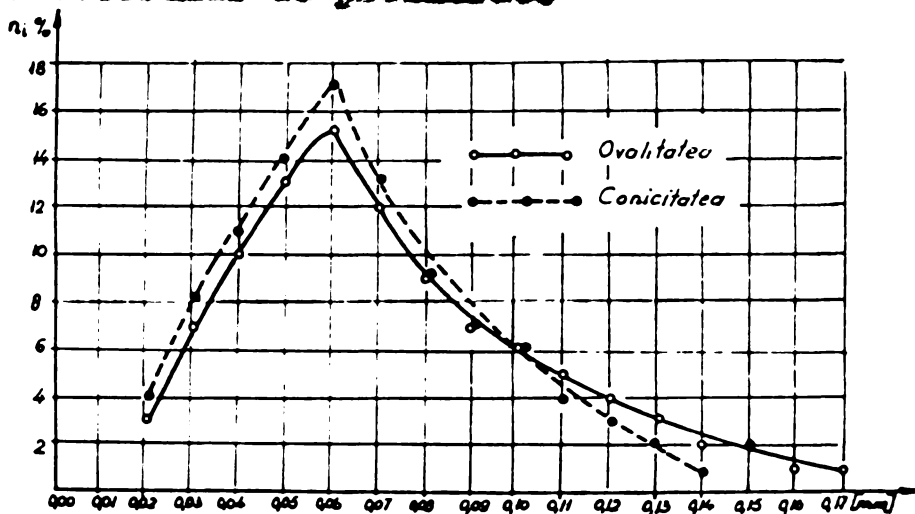


Fig.42 - Distribuția abaterilor de formă la prelucrarea cu trei cățite prin divizarea ovocoului

**Fig.43.** - Distribuția obșterilor de formă la prelucrarea cu pasă cutită prin divizarea adâncului.



In figurile 44, 45 și 46 sunt cele măsurite noi care prin divizarea adâncului de prelucrat.



**Fig.44.** - Distribuția obșterilor de formă la prelucrarea cu două cutite prin divizarea adâncului de prelucrat

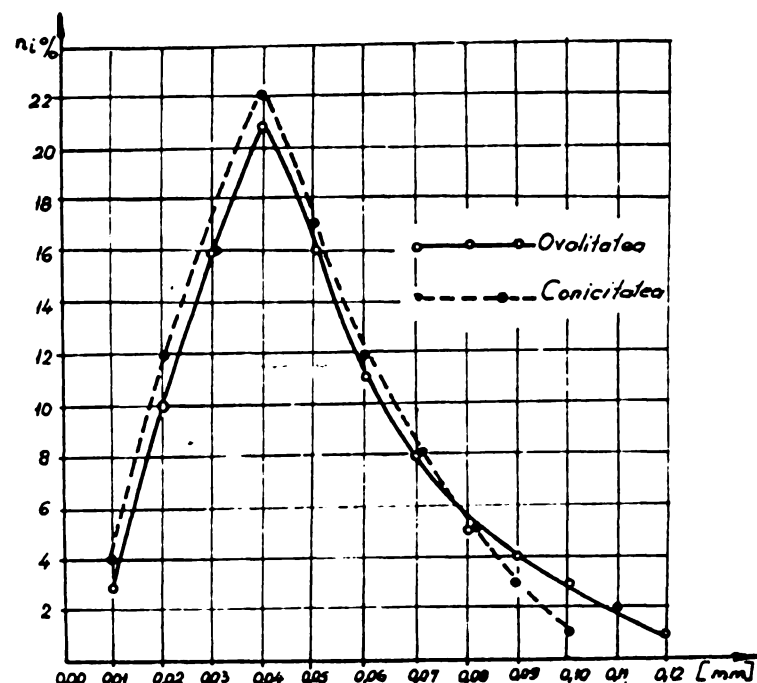


Fig.45 - Distrubutia steterilor de foraj la prelucrarea cu trei cutite prin divizarea edecoului de prelucrat

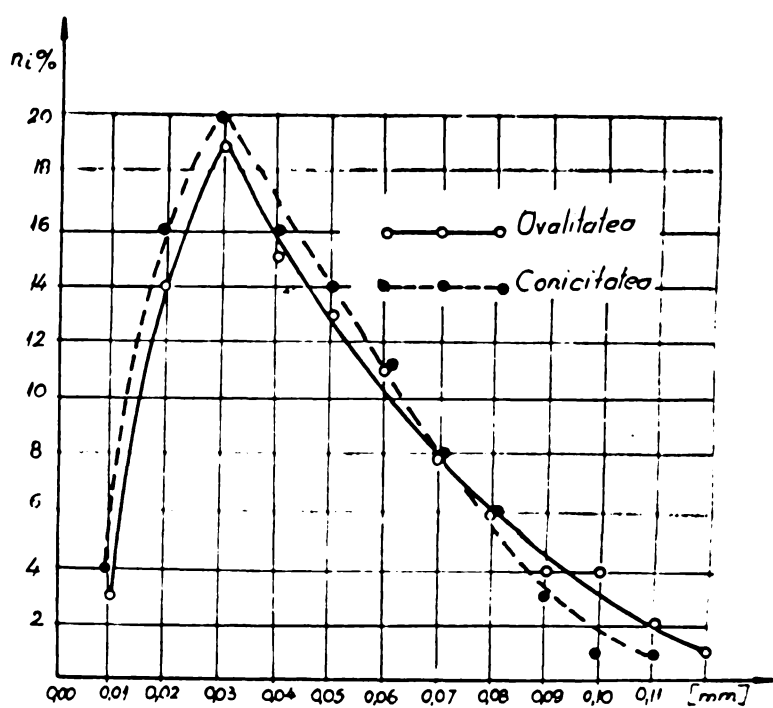


Fig.46 - Distrubutia steterilor de foraj la prelucrare cu două cutite prin divizarea edecoului de prelucrat

#### 4.2.2. Productivitatea muncii

Una dintre obiectivele cele mai importante în vederea creșterii productivității muncii este eliminarea pierderilor de timp de lucru și reducerea la minimum posibil a timpului necesar efectuării lucrărilor auxiliare.

După cum se stă, în condițiile actuale din întreprinderi, deteriorii rigidității foarte reduse a sistemului tehnologic procesului de alezare se realizează în două treozi (în 2), totodată se reduce ambiția valorilor parametrilor de apăchiese „ $v$ ” și „ $s$ ” la o valoare foarte mică. De aceea, productivitatea muncii este foarte scăzută ( $Q = 0,52$  buc/oră).

În coniecție cu timp, prin aplicarea copoului de alezat realizat de către unul dintre cincișorii de cilindru, rezultatele cercetărilor experimentale arată că deteriorii rigidității sistemului tehnologic într-o altură incorectă, procesul de alezare se realizează numai cu o singură treozeră (în altă să  $t = s = 0,30$  min); totodată alți parametrii de apăchiese ( $n$ ,  $v$ ) își aduc valoarea mai intens ca și posibil decât cei care sunt aplicăți în întreprindere ( $n = 224$  și  $v = 0,063$ ). Astfel, prin aplicarea copoului nou, pe baza cronometrărilor efectuate, timpul de lucru va fi:

$$t_0 = 19 \text{ min.}$$

Pe de altă parte, deteriorii foarte mari, în condițiile actuale de întreprindere, procesul de alezare se realizează în două treozi, timpul ajutător „ $t_1$ ” este dublu în comparație cu cel care se realizează cu cap nou – unde procesul de alezat este realizat numai într-o singură etapă. Pe baza cronometrărilor, în cazul alezării cu capul de alezat nou, timpul ajutător  $t_1 = 5$  min.

Astfel, productivitatea muncii, în cazul alezării cu capul de alezat cu mai multe cutite va fi  $Q = 2,5$  buc/oră. Aicii productivității muncii crește de 4,8 ori în cazul alezării cu capul de alezat cu mai multe cutite, fără de alezarea cu capul de alezat cu un singur cutit.

Totodată, posibilitatea creșterea productivității la alezare, crește și productivitatea la tocnișire, decouarcere la prelucrarea cu capul adaptat obiectivile de la forme geometrice fiind mai mici (fig. 45) adeseau de prelucrare la tocnișire va fi îndepărtat într-un timp mai scurt.

#### 4.2.3. Rugositatea suprafețelor prelucrate

Prin aplicarea dispositivelor adoptate, se contribuie la ridicarea netezimii suprafețelor prelucrate într-o anumită incertă.

Se știe că, la strunjire, rugositatea suprafețelor prelucrate depinde de mulți factori [ 65; 70; 71; 72; 194; 203; 233 ] dintre care se menționă :

- rigiditatea sistemului rezigid-unsaltă-piesă scaldă ;
- eleganța permutărilor regimului de agățare ;
- geometria părții active a sculelor, starea lor de uzură și altele.

Nebunie s-a demonstrat că prin aplicarea dispositivelor adoptate, mai ales dispositivul agățator, acesta contribuie la ridicarea rigidității sistemului rezigid-unsaltă-piesă-scaldă. Cu cît este mai mare rigiditatea sistemului tehnic, cu atât cîntă mai multe posibilități de speritie a vibrațiilor aceea ce va duce la reducerea rugosității suprafețelor prelucrate [ 65 ].

Din punct de vedere al influenței permutărilor regimului de agățare asupra rugosității suprafeței prelucrate, literatură de specialitate demonstrează : [ 107 ] .

1. Există o viteză optimă care corespunde cu valoarea minimă a rugosității suprafeței prelucrate. Se consideră că prelucrarea cu dispositivile adoptate permite minima viteza de agățare care ajunge la valoarea optimă, unde rugositatea suprafeței prelucrate este maximă.

2. În cazul strunjirii interioare de netezire a bujelor de fieră, rugositatea suprafeței prelucrate depinde de valoarea evenimentului, cu cît este mai mare valoarea evenimentului cu atât este mai mare rugositatea suprafeței prelucrate (3.25) ; (3.26).

Archiezorul prin divizarea evenimentului cu dispositivul de agățare adaptat duce la reducerea evenimentului la fiecare cutit, iar acesta le minimează netezimile suprafeței prelucrate.

Rezultatele experimentale ale autorului arată că :

La prelucrarea în condițiile actuale din întreprinderi, rugositatea suprafeței prelucrate are valoarea de  $R_a = 5 \dots 6 \text{ } \mu\text{m}$ , iar prelucrarea cu dispositivul adaptat, prin divizarea evenimentului, rugositatea suprafeței prelucrate obținute este următoarea :

- cu două cutite,  $R_x = 4 \dots 5 \text{ Mm}$ ;
- cu trei cutite,  $R_x = 2 \dots 4 \text{ Mm}$ ;
- cu patru cutite,  $R_x = 1,5 \dots 2,5 \text{ Mm}$ .

#### 4.2.4. Reprezentarea generală a rezistenței și înflexiunii unui segment de măsură al magazinului de aleasat

##### și înflexiunea și reacțiile a segmentelor

Aleasatul cu dispozitivul apăsător cu mai multe cutite pe lungii creșterea productivității măsurii și întărirea calității pieselor prelucrate, duce și la redarea considerabilă a solicitărilor compoziției măsurii, aceasta din urmă are un rol deosebit de important din punct de vedere al prelungirii funcționării magazinii, și el se poate urmări de mare precizia cum este și mișcarea de aleasat verticală.

Reprezentarea schematică a forțelor ce se tragează unui segment și a reacțiilor lor în legătură se vede în fig. 47.

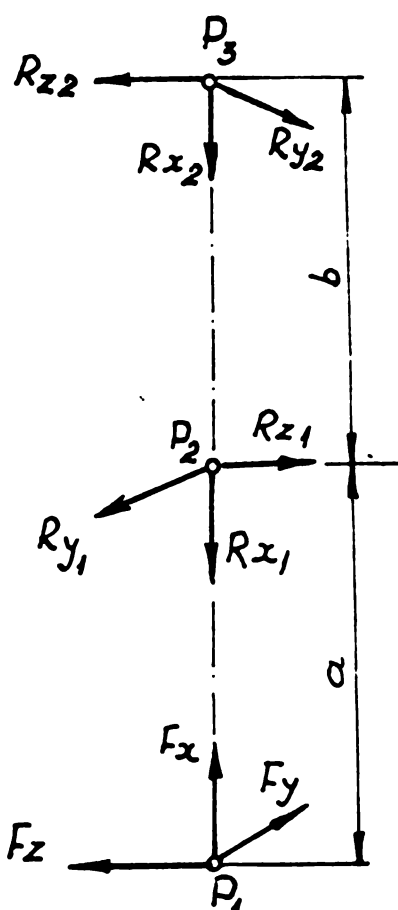


Fig. 47 - Reacțiunile în legătură a unui principiu  
al măsurării în casul aleasării cu un cutit

Punctul „ $P_1$ ” reprezentă intersecția planului „ $ZOF$ ” cu segment, iar punctele „ $P_2$ ” și „ $P_3$ ” reprezintă centrele logirolor.

Cele trei componente de apăsare date în legătură reacțiunile

$$R_{x_1} = F_x \frac{a+b}{b} \quad (4.9)$$

$$R_{y_1} = F_y \frac{a+b}{b} \quad (4.10)$$

$$R_{x_1} = 0 \quad (4.11)$$

$R_x = 0$  pentru ca la lateralul „ $P_2$ ” (lateralul principal) nu există eforturi axiale deosebite sau glissează pe suport (nu se glissează fărăces).

În lateralul suplimentar „ $P_3$ ” :

$$R_{x_2} = P_a \frac{1}{3} \quad (4.12)$$

$$R_{y_2} = P_a \frac{1}{3} \quad (4.13)$$

$$R_z = P_a \quad (4.14)$$

Rezultă deci, că secțiunile din lateralul principal și secțiunile ( $P_2$ ), a cărui unghi înclinație totărlor este egală cu pechinostriile piezelor și cu durabilitatea maximă, sunt întotdeauna chiar noi mari decât forțele care le produc.

În ceea ce privește capul cu mai multe crăpături, compunentele  $F_x$  și  $F_y$  formează poligoane de forțe închise (fig.48). Rezultă că lor filind deci egali cu zero, secțiunile în lărgire sănătoase sunt de compresie male.

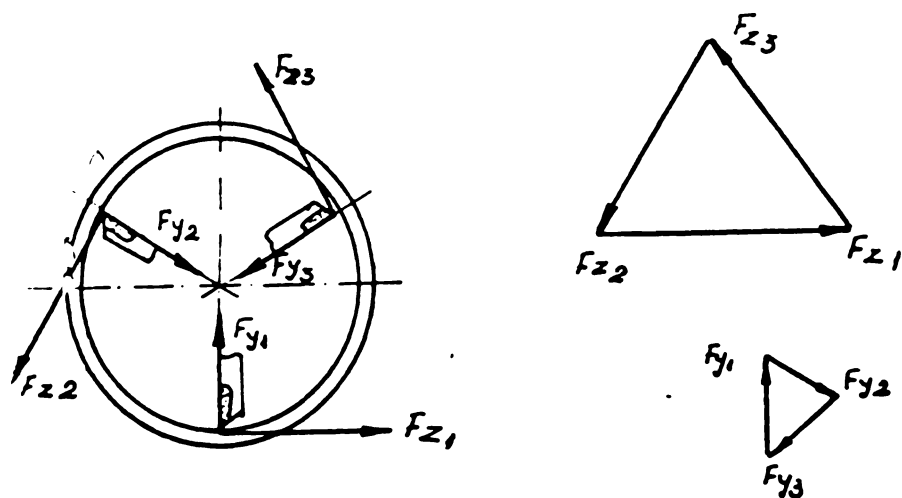


Fig.48 - Forțele de apăsare și compresione lor la aleasarea cu capul cu trei crăpături

Din analizele de azi sau, se descoperă că prin aplicarea capului de alunet cu noi valuri cutite, acestea duc la reducerea solicitărilor care acționează asupra unui principiu și unui, contribuie la mărirea durabilității mașinii folosite.

#### 4.3. Zonări și

Din rezultatele cercetărilor teoretice și experimentale obținute se pot trage următoarele concluzii :

1. Alezarea căpăților de cilindru pe mașina de alunet vertical, datorită deformării piezelui, asociată creșterea răstignirii măhiilor apăchitoare, nuțe ca rezistență net nere (stăt în secțiunea transversală cît și în secțiunea longitudinală). Cu cît numărul măhiilor apăchitoare este mai mare, cu stăt centrul de greutate al căpăților de ferul (stăt ovalitatea cît și concavitatea) se descalcașă la valoarea net mică (tabelul 6) și totodată, împreună dimensiunile sunt mult net strânsă (fig.10; 41; 42; 43; 44; 45; 46).

2. Pentru dispozitivele de apăchitoare care au aceleași măhi apăchitoare, rezistența piezelor perlungante (stăt ovalitatea cît și concavitatea) la prelucrare prin diviziuni avansată este mult net mare decât acea la prelucrare prin diviziuni adesea de prelucrare. Aceasta pentru că la prelucrare prin diviziuni avansată fosta de apăchitoare, net alătura componenteile radiale  $F_y$  ce revin la fiecare cutit, sunt egale și în echilibru, în timp ce la prelucrare prin diviziuni adesea în unele anguli să obtină unui echilibru de forțe la toate cutitele este imposibil.

3. Alezarea căpăților de cilindru cu capul de alunet cu 6 cutite, prin diviziuni avansată, este net superioară. Urmărește redirecția căpăților net mult decât 6 m se recomandă. Aceasta pentru că, cu noi valuri de 6 cutite, rezistența de prelucrare se mărește într-o mărime neîncrezută ; totodată evenul care revine la fiecare cutit rămâne foarte mic (deci evenul mașinii este constant) aceasta contribuie la mărirea durării căpăților [154 : 203] în plus, capul de alunet cu noi valuri de 6 cutite nu începe complicat de la punct de vedere constructiv cît și al folosirii.

4. La prelucrare prin diviziuni adesea de prelucrare, rezultatele experimentale arată că la alezarea cu capul de alunet

cu 6 cutite, precizia de formă (ovalitatea și conicitatea) nu se întărește în comparație cu alezarea cu capul de alezat cu trei cutite cu același variante. Aceasta se explică prin următoare și neuniformă și cîndările de cilindru (fig.3). La alezarea cu 6 cutite prin divizarea aducătorului prelucrat, adâncimea de eșchieră care revine pe fiecare cutit este foarte mică ( $0,05 \text{ mm/cutit}$ ) și înegală. Astfel, procesul de eșchieră se desfășoară după un proces discontinuu, care dă la vibrația puternică a capului de alezat, la adâncirea urmării cutitelor [45; 19], care provoacă obținerea de formă a piezelor alezate și în același timp dă și la mărirea rugozității suprafețelor prelucrate.

Beste necesar de menționat că la alezarea cu capul de alezat cu 6 cutite prin divizarea aducătorului de prelucrat, precizia de formă a piezelor prelucrate este mult inferioară decât la alezarea cu trei cutite prin divizarea avansului (taboul 6). De aceea nu se recomandă alezarea cîndărilor de cilindrii supuse reconditionării cu capul de alezat cu peste cutite prin divizarea aducătorului prelucrat.

5. Răsultatul tuturor variantelor experimentale arată că, etiul obținerile de la formă că și împărtierea dimensiunilor în secțiunile transversale (ovalitatea) sunt mult mai mari decât cele în secțiunile longitudinale (conicitatea). Aceasta permite afirmarea că componente radialele a forțelor de eșchieră ( $F_y$ ) este factor determinator și principal care provoacă obținerea de formă a piezelor prelucrate. La alezarea cîndărilor de cilindru trebuie să se conteze toate măsurile necesare pentru înlăturarea influenței acestui componentă.

6. Aplicația metodei de alezat a cîndărilor de cilindru cu mai multe cutite prin divizarea avansului este considerată metoda cea mai avansată. Ea contribuie un număr la mărirea preciziei piezelor prelucrate, și și la mărirea productivității unei intr-o măsură foarte mare, la creșterea calității suprafețelor prelucrate și a durabilității mecanicilor de alezat.

## PARTea A II-a

### STUDII DE CERCETARI ALUPRA PROCESULUI DE RECONDITIIONARE A CILINDRILOR DE OILELITIU PRIN BOMULIRE

Pentru recondiționarea cilindrilor de cilindru, este absolut necesar studiul procesului de bomulire, deoarece acesta are un rol deosebit de important, fiindcă determină urmăre preciză și piezelor recondiționate, a productivității unui, reduserea prețului de cota și totodată urmăre durabilității piezelor recondiționate.

## CAPITOLUL V

### LUMINA PENTRU ANALIZA ACTUAL AL PROSESULUI DE BOMULIRE

#### S.1. Avantajele principale ale procesului de bomulire

In comparație cu operețiile de finisare a asemajelor cu o precizia de formă ridicată și cu o suprafață netedă superioară ce a cilindrilor motorilor de tractoare, se consideră că bomulirea este mult mai avansată decât lemnirea, rodarea, rectificarea, alezarea fiind etc.

Avantajele principale ale bomulirii sunt următoarele :

1. Productivitate ridicată [74; 119; 120; 161; 236; ...] deoarece peatul cu suprafață de contact a sculelor (a segmentelor abrazivi) cu piem preluat este mare și timpul ajutător este mic.

2. Îmbunătățirea formelor geometrice realizate la operațiile premergătoare [24; 166].

3. Realizarea unei mărimi ridicate a suprafeței prelucrate.

4. Realizarea unei economii importante peatelor și le bomulire este un consum minim de material abraziv.

### 5. Realizarea unor toleranțe care nu sunt stricte.

6. La mașinile cu un număr mare de efecte se pot efectua prelucrări simultane prin bormuire și multe alte operații în același timp, de exemplu la blocurile cilindrilor [55].

7. Adâncimea stratului superficial deformat în urma prelucrării prin bormuire este mult mai mic decât în cazul secțiilor - oțirii, strunjirii interioare etc., pentru că epădurarea de apăchigare este scăzută și temperatura produsă în timpul bormuirii este mult mai scăzută. La rectificarea temperatură superficială prelucrata ajunge până la  $320 \dots 430^{\circ}\text{C}$  iar la bormuire nu poate pătrunde până la  $35 \dots 150^{\circ}\text{C}$  [167].

8. În ultimii ani dezvoltările autotratării procesului de bormuire și a operațiilor de aliniere a dimensiunilor elementelor, bormuirea a devenit o operație mult mai avansată și ca consecință se aplică pe acord tot mai larg în producție.

9. Un alt avantaj foarte important al bormuirii este sărirea considerabilă a durabilității de funcționare a pieselor prelucrate. Se obține astfel un nivel ușor de prelucrare a pieselor care se găsesc în frecvențe încrengături în mase zidării sau prezentă funcționării mașinilor. La rectificarea unei alese, direcția ușorilor prelucrării pe suprafața cilindricului este perpendiculară cu direcția de mișcare a pistoanelui, acestea duc la faptul că piesele asamblate se ușorează foarte mult în timpul funcționării, sau ales în timpul rodajului. La bormuire, după cum se știe, urmărește prelucrarea de pe suprafața cilindricului supradată o rețea de linii elicoidale, care face ca suprafețele de contact ale pieselor asamblate în mișcare să se adreseze, astfel se ajunge la reduserea coeficienților de fricare, pe de altă parte, se mișcă capacitatea de rotație a elementelor necesar ungaril pe suprafața cilindricului. În consecință, viteza de mișcare a cilindrilor de cilindru care se prelucră prin bormuire este mult mai redusă în comparație cu a celor ce se prelucră prin rectificare, strunjire fină etc. [41].

În tabelul 8 se prezintă comparațiv caracteristicile tehnice ale proceselor de prelucrare interioare a corpuri străvite, unde se justifică avantajele bormuirii față de rectificarea interioară.

Tabelul 4

Caracteristicile tehnice ale proceselor polimerizării  
interiorice cu amoniu amoniac [161]

Nr. crt.	Caracteristici	Rectificarea interiorică	Hormice cu segmenti fibrosivi
1.	Suprafața de agitare $m^2$	2 - 300	50 - 10.000
2.	Conținutul simultan și granulelor abrazive care participă la eșantiere (pt. alezajul semifabricatului cu $\# = 100$ și granulația compozitelor abrazive 40(46)	600	40.000-50.000
3.	Precizia specifică a componențelor abrazive pe suprafața semifabricatului [mm/ $m^2$ ]	12 - 120	2 - 15
4.	Afumare pătrunză și granulelor abrazive în interiorul semifabricatului	multe	mică
5.	Caracterul extindutii granulelor abrazive	300	lin
6.	Viteza de agitare [m/min]	2500-3000	15 - 60
7.	Temperatura de agitare [ $^{\circ}C$ ]	700-900	60 - 100
8.	Astigararea elanții de producție și alezajului semifabricatului	2 - 3	2
9.	Astanțial de producție mărimea necesară [ $\mu m$ ]	20 - 50	5 - 8
10.	Rezistența suprafecetelor produse	3,2 - 0,8	1,6 - 0,05

Datorită evenimentelor prezentate, în recomandările săi în fabricarea elanților de cilindru de la materialele de trac-

toare și automobilele de toate tipurile, ultima operație, care este operația de finisare, se recomandă prelucrarea prin procesul honirii.

Dacă honuirea este o operație importantă și prezintă multiple avantaje, totuși în literatură de specialitate este studiată în foarte mică măsură.

### 5.2. Studiul critic asupra optimizării procesului de honuire în producție

Dacă procesul de honuire prezintă multe avantaje din punct de vedere al nivelului productivității muncii și al calității piecelor prelucrate, totuși rezultatelor obținute depind într-o mare măsură de alegerile corespondențelor și parametrilor tehnologici și procesului respectiv.

Pentru în producție, prelucrarea prin honuire a piecelor care au pereti subțiri cu o precizia de formă ridicată (calitatea și conicitatea) și cu o netezime superioară ca și călavile cu cilindru este foarte greu de realizat.

Cercetările experimentale realizate de autor la honurile în condițiile actuale de întreprindere, au fost făcute pentru 100 de buchi. Datele obținute sunt prezentate în tabel 3, tabelul 3, pe baza căreia s-au făcut diagramele reprezentate în fig.49, și au calculat valorile „ $\bar{x}$ ” și „ $\bar{t}$ ”.

Measurele s-au făcut în opte secțiuni transversale conform schemei din fig.40. Valorile conicităților și cele ale ovalităților se calculează după relația (3.7) și respectiv (3.14), iar valoarea lui „ $\bar{x}$ ” și „ $\bar{t}$ ” se calculează după relația (4.7) și respectiv (4.8).

In figura 49 se poate preciza piecelor honurate (etăi în secțiuni longitudinale și și în secțiuni transversale) este foarte redusă.

Media aritmetică a măsurărilor (abaterile de formă) în secțiunile transversale (ovalitatea) :

$$\bar{x}_o = 0,054$$

Sau aceea în secțiunile longitudinale (conicitatea)

$$\bar{x}_c = 0,046$$

In timp ce dimensiunea medie etăilor, este ovalitatea că

și conicitatea :  $\Sigma = 0,035$ .

Abaterile medie patratica în secțiunile transversale (ovalitatea) :

$$\sigma_o = 27,3 \cdot 10^{-3}$$

iar aceea în secțiunile longitudinale (conicitatea) :

$$\sigma_c = 22,8 \cdot 10^{-3}$$

Piecele cu ovalitatea și conicitatea mai măre decât  $0,03 \text{ mm}$  sunt egale cu 73 % și respectiv 66 %.

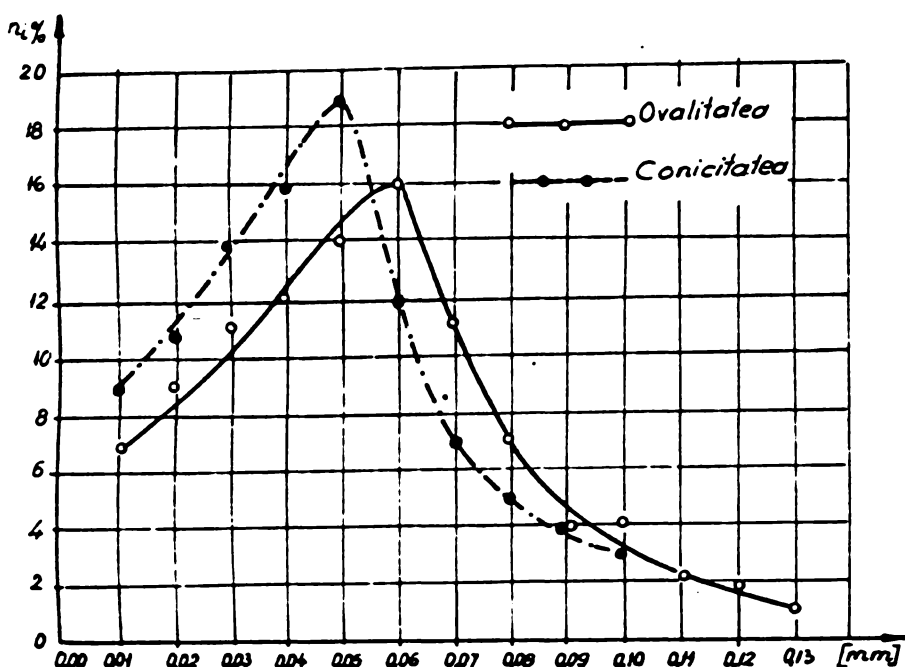


Fig.49 - Distribuția abaterilor de formă la buniere în condițiile actuale de întreprindere

Rugositatea suprafețelor buniște este  $R_a = 0,7 \dots 1,5 \text{ } \mu\text{m}$ .

Împărtierea dimensiunilor, abaterile de la forme geometrice și rugositatea suprafețelor buniște vari rezultate la buniere, se determină alegerii parametrilor tehnologici necorespunzători.

S-a constatat că, în cazul prelucrării actuale de întreprindere, precizia piecelor prelucrate prin buniere depinde în mare măsură de indiferența muncitorului.

În condițiile actuale în efortul de reducerea calităților piecelor prelucrate are loc și reducerea productivității muncii

între o anumită frecvență, astfel bominare de prelaminare, durată 3 pînă la 5 min/loc, în timp ce, timpul optim pentru bominare prelaminată este de 1 ... 1,5 min/loc.

Rezultă de aici necesitatea caracteristicilor entorului în acest domeniu, în scopul contribuției la mărirea precisiunii piezelor reconditionate prin bominare, a productivității succii, și a mărimii suprafețelor bominite.

### 5.3. Caracteristicile principale ale procesului de bominare

Datorită feței lui că procesul de bominare se desfășoară în mod doborât de alte procese de apătare, de aceea pentru studiul acestui proces este absolut necesar cunoașterea caracteristicilor principale care le reprezintă.

Se consideră că procesul de bominare reprezintă un proces necacic de acțiune reciprocă între granulele abrazive și stratul superficial al piezelui ce se prelaminează, adică un caz particular al procesului de apătare. În cunoașterea procesului de bominare poate fi privit ca sună unul sau unul de zgâieri sau particule abrazive, dispuse hastic pe suprafața de lucru a soulei, acționându-se prin acestea ridicarea în unitatea de timp a unui număr mare de microapătări.

Granulele ulei corp abraziv sunt repartizate neuniform și neorganizat și sunt cimentate cu un liant special. Liantul nu umple întreg apătul, așa că între granule se formează pori. Prin urmare, corpul abraziv este format din granule abrazive, liant și pori (fig.50).

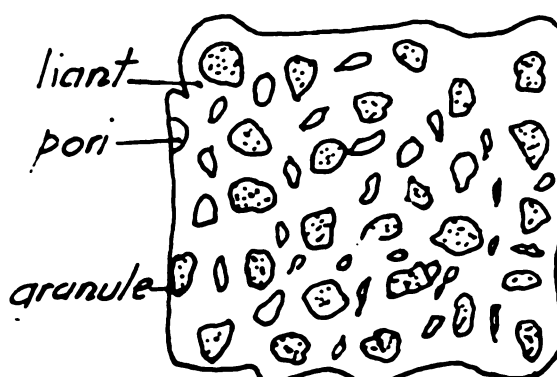


Fig.50 - Structura unei granule abrazive

Acțiunile fizice ale grăului în parte poate fi comparată cu acțiunile unui cutit de strug, cu unghiul de deschidere negativ și cu unghiul de acțiere foarte mic.

În timpul nisecirii grăului distructive, metalul care este în contact cu fețe de coajă sau a grăului este sujus la deformări de compresiune. În timpul nisecirii grăului, compresiunea și deformările metalului sunt loc pînă în momentul cînd spălarea creșăndu-se atinge o valoare egală cu valoarea forței de coacere interioară a particulelor de metal. În momentul în care spălarea va depăși forța de coacere interioară, se va produce fărăcescerea coajiei. Pînă cînd se va face acesta, se poate stabili că în timpul procesului de deshidratare e acăzînd, metalul suferă deformări : particulele care se deplasă una în raport cu cealaltă (fig.51).

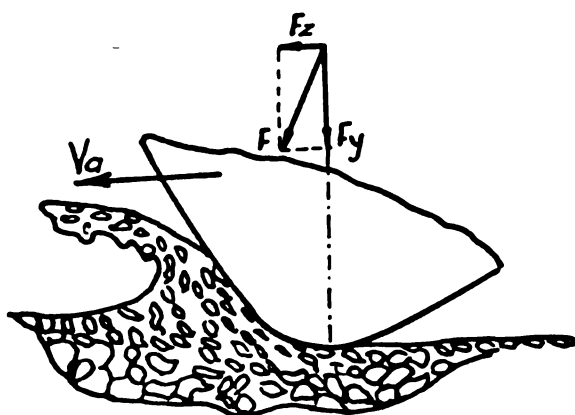


Fig.51 - Deformări metalului în procesul de acăzire cu corăpi distructive

În urma cercetărilor s-a stabilit că, în timpul acăzirii-agăzirii în jucările distructive se produc deformări plastică a metalului care se propagă în o direcție orizontală, chiar și sub suprafață în curs de progresare [112].

Sensul folosirii pentru procesul benzirii de interior este un cap cilindric, pe căruia magnetul să fie situat, paralel cu axul, segmentul obținut. Acești segmenti se pot deplasa radial, între două limite și diametral peste și regăsi la dimensiuni necesare.

Reglarea radială a sucelor se poate realiza prin metoda mecanică (fig.52) metoda hidraulică sau prin metoda pneumatică [161 : 296].

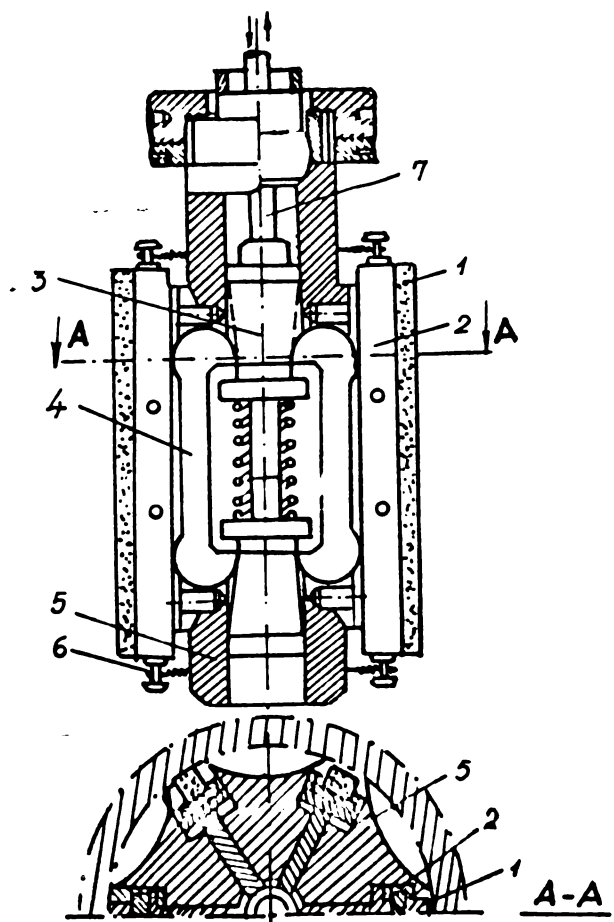


Fig.52 - Capul de baniit cu reglare radială prin metoda mecanică

In figura 52 se observă că, segmentii obiectivi 1 sunt lipiți pe suportii metalici 2, care sunt împinsă înapoi exterior de conurile 3, prin plăcile intermedii 4. Suportii metalici 2 sunt ghidăti în canalele longitudinale din corpul 5 al bocului și cînt sprijini spre axa horizontala de către două arcuri sau finale elastice 6.

Împingerea suportilor 2 spre exterior poate regla poziția lor în funcție de diametrul aleajului și face prin rotirea găurilor centrale 7, care se îngăubesc în conul inferior.

In procesul baniirii, capul de baniit este legat articulației cu axul principal al usinimii și primește două mișcări: una de rotație și alte rectilinie alternativă după cum aleajului de pus în loc. In următoarele zile următoarele greutăți obiective

pe suprafață de prelucrat reprezentată o linie eliocoidală, la dreapta - în casul mișcării axiale în sens și la stînga în sensul mișcării axiale în sens invers. În general, neuniformitățile obținute ca rezultat al procesului de tăiere reprezentă o setă de liniile eliocoidale. În figura 53 este reprezentată schema traectoriei mișcării segmentului stărciv a bumeranii la o cărdă dubă.

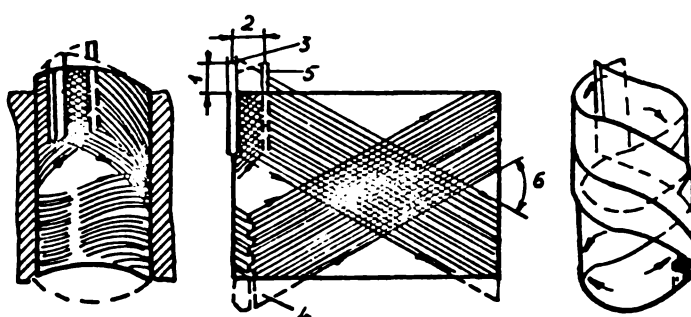


Fig.53 - Schema traectoriilor în casul mișcării segmentului stărciv a bumeranii la o cărdă dubă

1. lungimea cu care segmentul stărciv depășeste capătul piezelui prelucrat ; 2. scără de suprapunere ; 3. poziție segmentului stărciv la începutul primei curse de trecere ; 4. poziție segmentului stărciv la sfârșitul acestei curse ; 5. poziție segmentului stărciv la sfârșitul cursei de întoarcere ; 6. unghiul interior de întâlnire a traectoriilor

În procesul de tăiere, perdea se eliberează pe suprafață piezelui prelucrat, zonile parțiale de granulele abrazive de un număr diferit de ori, mai ales acolo unde  $n_g = 0$  (de la capetele cilindrelului) -  $n_g$  este numărul de treceri ale granulelor abrazive pe un element de suprafață a cercurii - este necesar ca segmentii abrazivi să elibereze un cercuror sens, astfel să fie din ele un jalu de prelucrat cu o anumită lungime ( $l_g$ ) în fiecare parte. Cercurile teoretice ce și cele practice arată că valoarea „ $l_g$ ”

ace e însumarea disconții și aprecierilor unor precizieri piezelor prelucrante. Aceasta determină raportul cu, pătrunderea și respectiv legătura sculei cu vălcarea „I<sub>1</sub>” față de lungimea alezajului, aria suprafeței de contact dintre segmentii obiectivi și pieză ce este obiectul. Aceasta face variația preciziei specifice atât în tipt că și în funcție de poziția bormului în lungul alezajului, pot fi însele valori importante care influențează nodul de desfășurare a bormirii și deci precizia formei geometrice obținute.

Pentru a se evita sfârșirea granilelor obiective pe oarecare lărăștile de la formate, se dă segmentelor obiectivi o suprapunere „I<sub>1</sub>” astfel încât să se plaseze circularul în mijlocul unei curse duble, față de poziție lor de la începutul cursării. Această lucru se realizează prin alegerea potrivită a frecvenței de rotație și a curselor duble ale capului de bormuire, așa încât să se evite velocii întângi ale reperelor „I<sub>2</sub>”, decarane, în cee cursuri, finețea granilor și-a pierdută, în cee tot de cursu prelucrării, numai descrierea la prime cursuri duble, cedind prin aceasta atât calitatea cât și eficiența bormirii.

Operetăria de bormuire este precedată de operațiile de strunjire, finisare, alzare, brosare sau rectificare. Prin aceste prelucrări trebuie să se asigure poziția ambi alezajului, poziție care nu se poate corecta prin bormuire. În mod obișnuit, pentru recondiționarea oamenișilor de cilindru și treptelorelor și autotabilelor operația prezentată bormirii este alzarea pe uscăini de alezat. Adesea pentru bormuire depinde de disconțul alezajelor, de materialul piezii și de caracterul operației care se precedă bormirii. Înseme de procedeul de bormuire, la strunjirea interioară prealabilă a alezajelor trebuie să se lucreze un adas de 0,05 - 0,08 mm, la alzarea prealabilă de 0,02 - 0,04 mm, iar la rectificarea prealabilă de 0,01 mm [23].

În tabelul 9 se arată adasurile de prelucrare pentru operațiile de bormuire interioară depinzând de material și de dimensiunea alezajului.

Măsurile prea mari ridicărează productivitatea și îngreșează obținerea corectă a formei alezajului.

În majoritatea casurilor, bormuirea se execută în două faze: prelucrarea prealabilă și cea finală. În prelucrarea cilindrilor motoarelor de autotabil și tracator cu diametrul de 100 ... 125 mm

prin prima fază se îndepărtează un edox de 0,06 ... 0,08 mm, iar la a doua, un edox de 0,01 ... 0,02 mm.

Tabelul 9

**Adezurile de prelucrare pentru operația de bocuire  
interioră [101 : 205]**

Diametrul aleșejului	Adezul de prelucrare [mm]	
	Cat	Final
25 ... 125	0,01 ... 0,04	0,02 ... 0,1
125 ... 300	0,02 ... 0,05	0,03 ... 0,16
300 ... 500	0,04 ... 0,06	0,12 ... 0,20

Prelucrarea prin bocuire trebuie să îndepărteze toate urmele râșnii pe suprafața pielei de la operațiile precedente și de aceea ca că suprafață este mai bine pregătită pentru operație de bocuit, cu atât edozeni pot fi mai mici.

Procesul de bocuire se efectuează în modul următor: pielea supusă prelucrării se fixează pe betonul mochinii cu dispozitivul de fixare, se introduce scule de bocuit în aleșaj cu segmentii abrasive în stare strânsă. Apoi segmentii abrasive se desface în direcție radială, pînă la dimensiunea necesară, cu ajutorul unui cap special, apoi se transmite coulei o mișcare de rotație și une rectilinie alternativă. Viteza periferică și cea axială de date vine se calculează după relațiile (7.2) și respectiv (7.3).

După terminarea procesului cădi se îndepărtează întregul edox de prelucrare, coulă se scoate din aleșaj, pielea se spală bine pentru a se îndepărta resturile de polibor abrasive și metanol și se usucă.

Procesul de bocuire se efectuează cu râcire. Lichidul de râcire servește în primul rând pentru râcire, dar și pentru sprijinirea granulelor abrasive. În cazul prelucrării fantei prin bocuire, drept lichid de râcire se folosește petroliul lampant, iar în cazul prelucrării cotelor, petroliul lampant cu adăs de parafină sau ulei culifosat. Prelucrarea prin bocuire a brocalului se face cu opă sau uscat.

## CAPITOLUL VI

### GRINDATE INGRĂDITELE SI INGRĂDINTELOR PENTRU

#### MACHINA MAXIMA PENTRU PRETARARE LUMU TOAMNĂ

##### 6.1. Machină disponibilă și rata de folosire

6.1.1. Centru de tăiere. Experimentările s-au realizat la unghine de tăiere verticale cu un cinciu arbore principal S2E 200 x 900. Producător VEB Fabrics de mașini uscate Rumburg (fig. 50).

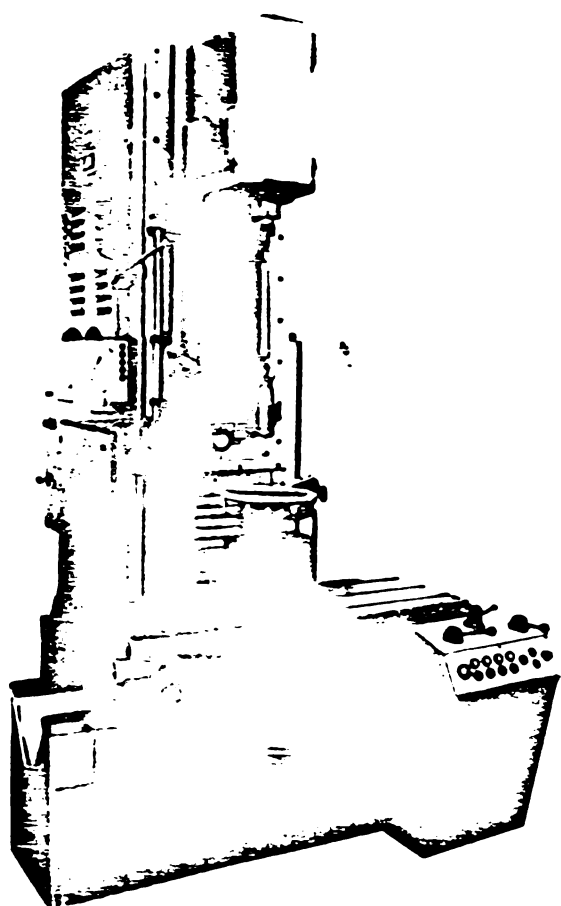


Fig.50 - Mașina de tăiere tip S2E 200 x 900

Cele 2. Dispositiv de clădire la banișura. Literatură de specialitate recomandă la prelucrarea unei piese preciose, că este important să folosești unor baze unioane, adică toate operațiile pentru prelucrarea suprafețelor precioase să fie efectuate după aceeași piesă pe aceleși suprafețe de bază [74, 203].

După cum se știe, la erorile de execuție existente la bazele exterioare (ceea ce trebuie să se reflecte asupra suprafețelor prelucrate de la aceste baze) se adaugă alte erori, legate de operarea pe baze noi (ceea ce trebuie să se reflecte de execuție asupra suprafețelor care se prelucrăază de la baze noi). Astfel, înlocuirea bazeilor poate să provoace o lipsă de precizie ineliminabilă în operarea diferențelor suprafețe, prelucrate de la baze diferite [22].

Pornind de la această concepție, pentru dispozitivul de operare la banișura, s-a ales baza de accesă ca loc de clădire.

Tinând cont că forța de agțiere la banișură este mult mai mică ca la operațiile de clădire, s-a proiectat sistemul de strângere principală cu pârghiiile de strângere acționate cu ajutorul extremităților.

În figura 55 este reprezentată construcția unei pârghiile cu două brațe acționate cu ajutorul discului concentric 1. Pârghia cu două brațe 3 este apăsată pe placă de discul 1, care este rotit în jurul fusului 2 cu ajutorul mînerului 10.

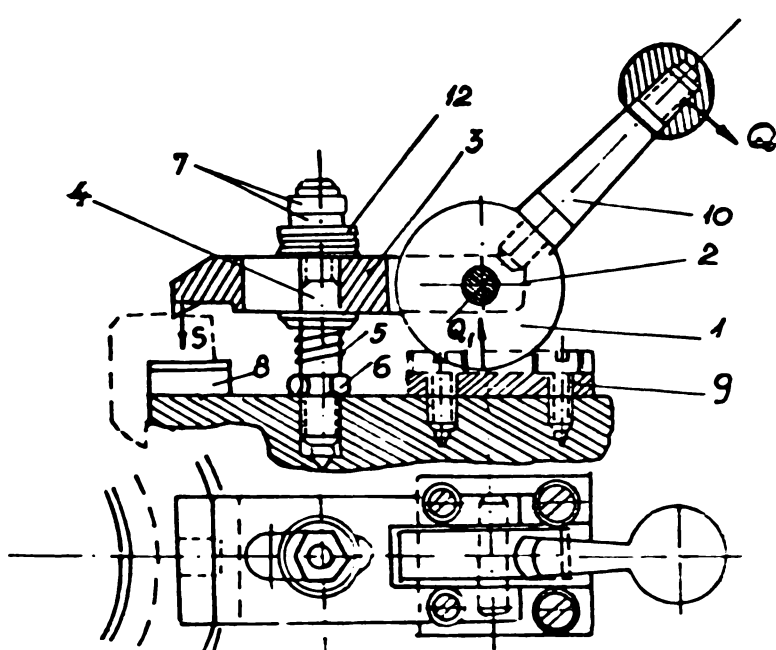


Fig.55 - Dispozitiv de strângere a pârghiiilor de strângere

In timpul stringerii piesei, piirghis 3 se inclina și are tendință să deformze șurubul 4. Inceputarea șurubului 4 este împiedicată de cele două șenile aferente 12, șenile fiind piirghis și pinilite 7.

In timpul acestui și acelerat piesei de prelucrat, piirghis 3 împreună cu discul eccentric 1 se retrage în poziția limită din dreapta. In acest scop, piirghis 3 este prevăzută cu o gură elongată în care lunca șurubul 4 încă place 9 cu un capăt în care este ghidat lateral discul eccentric 1. Arcul 5 ține piirghis 3 ridicată pentru a ușura înlocuirea piesei.

Posiția piirghis 3 se reglementă fără de dimensiunile de stringere ale piesei cu șurubul de aprijea 4, a cărei poziție se fixează cu pinilte 6.

Fixarea piesei în dispozitiv cu sisteme de concentrice adoptat se poate mult timpul de fixare a piesei în dispozitiv.

6.1.3. Fundațiile folosite. Fundația folosită a fost un cap cu rogloruri radiale prin metoda hidrostatică, construită din șase segmenti abrasivi din carburi de siliciu, cu liant ceramic, duritatea II [267]. Dimensiunile segmentelor abrasivi sunt  $10 \times 10 \times 125$  mm. Liabilitatea de răcire-ungere a fost petrol lampant, cu debitul de  $12 \text{ l/min}$ , distribuit uniform în timpul banișirii pe suprafață interioară a cilindrilor.

Pentru stabilirea ovalității și cea a conicității pieselor experimentate, măsurarea a fost făcută în cadrul secțiunii transversale conform schemei din figura 40. Valorile conicității și cele ale ovalității se calculează după relațiile (3.7) și respectiv (4.14).

#### 6.2. Influența prelucrării specifice a segmentilor abrasivi <sup>x)</sup> asupra precisiunii de la formă a piezelor prelucrate prin banișire

În mod în general, literatură de specialitate un precesește influența diferitelor valori ale precisiunii specifice a segmentilor abrasivi asupra precisiunii de la formă a piezelor prelucrate. Rezultatele cercetărilor autorului acestui căd, precizarea specifică are o influență foarte puternică asupra precisiunii piezelor banișite.

x) Precizarea specifică care se folosește în lărgirea de fâșii, cintă valoarea erorii de măsurat să fie pe măsura.

Experimentările sunt realizat cu cizajorii paracetratice.

- viteză periferică  $V_p = 65 \text{ m/min}$ ;
- viteză axială de desecare  $V_a = 13,5 \text{ m/min}$ ;
- lungimea de desfășurare a segmentelor obrazivă la capătul cilindrului  $l_d = 30 \text{ mm}$ ;
- timpul de boscuire  $T = 1 \text{ min}$ ;
- grosimea segmentelor obrazivă: 8 (150)

Piesele experimentate sunt grupate după adâncimea ovalității: 0,04; 0,05; 0,06; 0,07; 0,08 mm.

Experimentările sunt realizat cu presiunile specifică variabile de la 5  $\text{cm}^3/\text{cm}^2$  pînă la 19  $\text{cm}^3/\text{cm}^2$ , pentru fiecare grupă de ovalitate inițială.

Pentru fiecare punct de experimentare sunt efectuat 5 cizajuri.

De menționat că viteză periferică și viteză axială se calculează după relațiile (7.2) și respectiv (7.3).

Rezultatele obținute sunt prezentate în tabelul 10 și figure 95.

Tabelul 10

Influența presiunii specifice a segmentelor obrazivă asupra capacitatății corectării ovalității cilindrilor de cizajare

Ovalitatea inițială din bormilă [mm]	Ovalitatea cilindrilor după boscuire [mm]									
0,04	0,03	0,04	0,03	0,025	0,02	0,023	0,020	0,025		
0,05	0,06	0,05	0,037	0,03	0,022	0,020	0,024	0,030		
0,06	0,07	0,06	0,035	0,035	0,023	0,026	0,028	0,035		
0,07	0,08	0,07	0,033	0,04	0,022	0,030	0,034	0,045		
0,08	0,09	0,08	0,036	0,045	0,026	0,035	0,038	0,050		
Presiunea specifică $[ \text{cm}^3/\text{cm}^2 ]$	5	6	8	10	12	14	16	18		

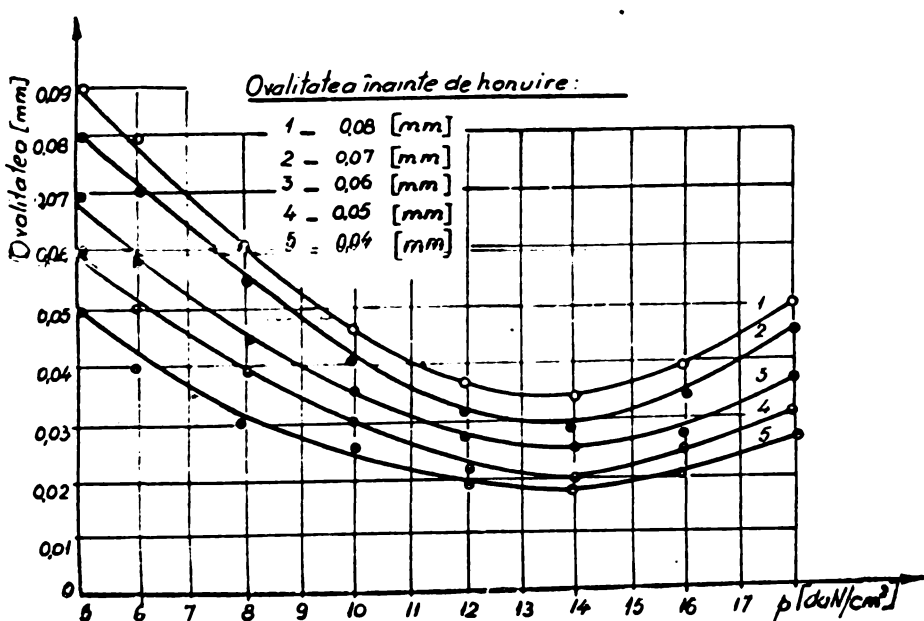


Fig. 56 - Influență precinii specifice a segmentilor abrazivi asupra capacitatii corectarii ovalitatii cilindrilor de cilindru

Din rezultatele de mai sus, se deduc următoarele concluzii:

1. Cu cat abrazivul formei cilindrilor de cilindru rezultat după prelucrarea prezentă (alezarea) este mai mare, cu cat abrazivul de focă obținut după hoscire este mai mare. Aceste rezultă că, precizia piezelor prelucrate din procesul prelucrării de alezare are o influență directă asupra preciziei piezelor hoscute. De asemenea, pentru mărirea preciziei piezelor secunditice, este necesar să se ceară toate posibilitățile pentru mărirea preciziei piezelor alezate.

2. Există o viteză a presiunii specifice optimă ( $P_{opt}$ ), unde capacitatea de corecție a abrazivului formei cilindrilor de cilindru este maximă, viteză carea fiind egală  $P_{opt} = 14 \pm 15$  [daN/cm<sup>2</sup>].

3. Cu cat presiunea specifică aplicată este mai mică față de „ $P_{opt}$ ” cu cat capacitatea de corecție a formei este mai redusă. Acestea determină faptul că, la presiuni mici, granulele abrazive pot să nu pătrundă suficient în materialul semiabricat, astfel că nu poate avea loc îndepărțarea adecvată de prelucrare și corecțarea eroziilor de focă. Există o viteză, unde capacitatea

de corectare a formei piecelor brouite este egală cu zero ( $p = 6 \text{ daN/cm}^2$ ). La prelucrarea cu presiunea specifică nu mai decât valoarea de unii sau, precizia piecelor brouite nu poate fi în se întărită și chiar se înăstăpătește, adică abaterile de la formă a piecelor brouite va fi mai mare decât era inițială. Aceasta se explică din cauza faptului că, prelucrarea cu presiunea specifică poate să fie, segmentul obiectiv nu este foarte contact bun cu suprafața prelucrată, fenomen care aduce capului de brouit vibrații în timpul măsurării. Cu cît presiunea este mai mică cu atât vibrația capului de brouit este mai intensă, în consecință, abaterile formei obiectelor se măresc.

4. Cu cît presiunea specifică este mai mare decât cea optimă ( $p_{opt}$ ), cu atât capacitatea de corectare a abaterii formei piecelor brouite este mai redusă. Dacă cum se știe, cilindrii de cilindru sunt piele cu pereti subțiri și su o rigiditate extrem de mică în direcția radială. La prelucrarea la presiunea mai mare decât cea optimă, componente radială a forțelor de acțiune care acționează pe suprafața prelucrată se ridică la o valoare apreciabilă și variabilă, care se provoacă abaterea de la forma geometricală a piecelor brouite. Deoarece prelucrarea se face cu presiunea specifică mult mai mare decât cea necesară, abaterile de la formă a piecelor brouite se pot sări la o valoare care să depășească pe cea inițială.

5. Cu cît abaterile de formă a piecelor obținute din operație prelucrării preconspătioane este mai mică, cu atât capacitatea de corectare este mai mare și mai ușoră adică, pentru obținerea preciziei de formă, proceduri de măsură tehnice, se poate executa cu valorile preciziei intr-un interval mai larg.

6. Piecele care au ovalitatea mai mare sau egală de 0,49 mm prin brouire, practic nu se poate obține precizia de formă prescrisă de norme tehnice (ovalitatea mai mică sau egală de 0,03 mm) adică capacitatea de reglare este multă.

#### 6.3. Înfluența lungimii de desfășurare a valorii „ $l_d$ ” la măsurarea piecelor prelucrate de către segmentii segmentari

Literatură de specialitate recomandă valoarea „ $l_d$ ” într-o limită largă [32; 60; 74; 100; 101, ...] și există lipsuri

vari, mai ales că nu se consideră condițiile concrete de la casă la casă, unde au caracteristici diferite, de aceea aplicarea acestor recomandări în producție nu aduce rezultate positive. Rezultă necesitatea cercetărilor în acest domeniu.

**6.3.1. Înfluenta valoarei „ $L_d$ ” asupra obținerii de la forma cilindrică (conicitatea) a căntărilor de cilindru prelucrate prin boiering. Experimentările s-au realizat cu următorii paracetrii :**

Temperatură de lucru  $T = 1$  minut ;

Prestunție specifică  $p = 15 \text{ cal/cm}^2$  ;

Viteză axială de ducere-vînoare  $V_a = 13,5 \text{ m/min}$  ;

Viteză periferică  $V_p = 65 \text{ m/min}$  ;

Crenățirea segmentelor obținute : 8 (150).

Pentru obținerea unor rezultate pe cît posibil precise, la realizarea acestor experimentări s-ales căntăriile care să obțină de la forma cilindrică (conicitatea) după elenșarea într-o limită foarte strinsă ( $0,01 \dots 0,03 \text{ mm}$ ).

Piesele experimentate s-au măsurat în trei secțiuni (două secțiuni la cap I-I, III-III și una la mijloc II-II) înainte și după boiering (fig.57).

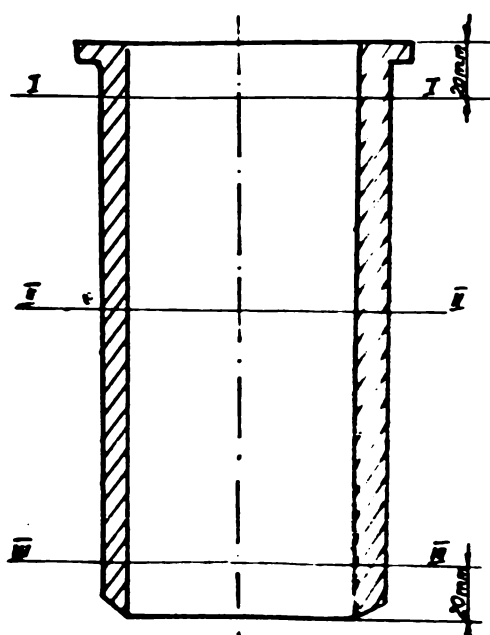


Fig.57 - Pozițiile de măsurare

Experimentările s-au efectuat la 6 bucăți pentru fiecare valoare „ $L_d$ ”.

In tabelul 11 se reprezinta valoarea „ $\Delta D$ ” in sectiunile I-I, III-III in functie de „ $l_d$ ” dupa resultatele obtinute prin experimenturile executate.

unde,

$$\Delta D = D_2 - D_1 \quad (6.1)$$

In care:

$D_1$  = diametrul alezajului in sectiunea născută inainte de boala, in mm;

$D_2$  = diametrul alezajului născut in aceasi sectiune după boala, in mm.

Tabelul 11

Variatie „ $\Delta D$ ” in functie de „ $l_d$ ”

	$l_d$ [mm]							
	0	10	20	30	40	50	60	70
$\Delta D$ [mm]	0	0,01	0,015	0,02	0,03	0,03	0,11	0,16

Pentru sectiunile II-II, rezultatele experimentelor arata ca, valoarea „ $\Delta D$ ” variaza intr-o limită foarte mică cu orice valoare „ $l_d$ ”, de aceea se poate considera că în această secțiune valoarea „ $\Delta D$ ” este constantă. În cazul de față  $\Delta D_{II-II} = 0,025$  mm.

In figura 58 se arată variația formei cilindrice după boala a căndișilor de ciliivir în secțiuni axiale în funcție de „ $l_d$ ”.

Din rezultatele obținute se pot sacsi următoarele concluzii :

1. Capacitatea de apăiere a segmentelor abrazivi la capetele căndișilor de cilindru este variabilă, cu cît valoarea „ $l_d$ ” este mai mare, cu atât capacitatea de apăiere este mai mare.

2. Dacă „ $l_d$ ” este egal cu zero, atunci capacitatea de apăiere a segmentelor abrazivi la capetele căndișilor este nulă.

3. La prelucrarea cu parametrul „ $l_d$ ” care depășește o valoare anumită ( $l_d > 40$  mm), procesul de apăiere la capetele cilindrilor nu se mai desfășoară normal. Cu mărimea valorii lui „ $l_d$ ” capacitatea de apăiere se mărește brusc, acesta explicindu-se datorită faptului că producătoare specifică a segmentelor abrazivi

se adrește la o vulcare foarte mare [117; 125].

4. Deoarece prelucrarea se face cu „ $l_g$ ” mai mic decit 30 mm, atunci, ca cît acesta este mai mic, ca și capacitatea de eșchieră la capetele cilindrilor este mai redusă decât aceea de la mijloc. Aceasta se explică prin faptul că există zone care nu sunt supuse de către segmentii abrazivi, sau numărul de treceri a granulelor abrazive în aceste zone este mult mai mic decât la mijloc.

5. Este posibilă și alegeră a valorii „ $l_g$ ” unde capacitatea de eșchieră a segmentelor abrazivi pe secțiunea generatoarei și fie egală (punctul M în figura 5), adică la prelucrarea cu valoarea „ $l_g$ ” respectivă se obțin piese perfect cilindrice.

6. Deoarece neglijând variația neîncununătă a lui  $\Delta D'$ , se constată că atunci capacitatea de eșchieră de către segmentii abrazivi în partea de mijloc a piesei este constantă, aceasta se explică prin faptul că în partea de mijloc prezintă specificul a segmentelor abrazivi pe suprafața prelucrată este întotdeauna constantă, totodată și numărul de treceri a granulelor abrazive în această parte este egal.

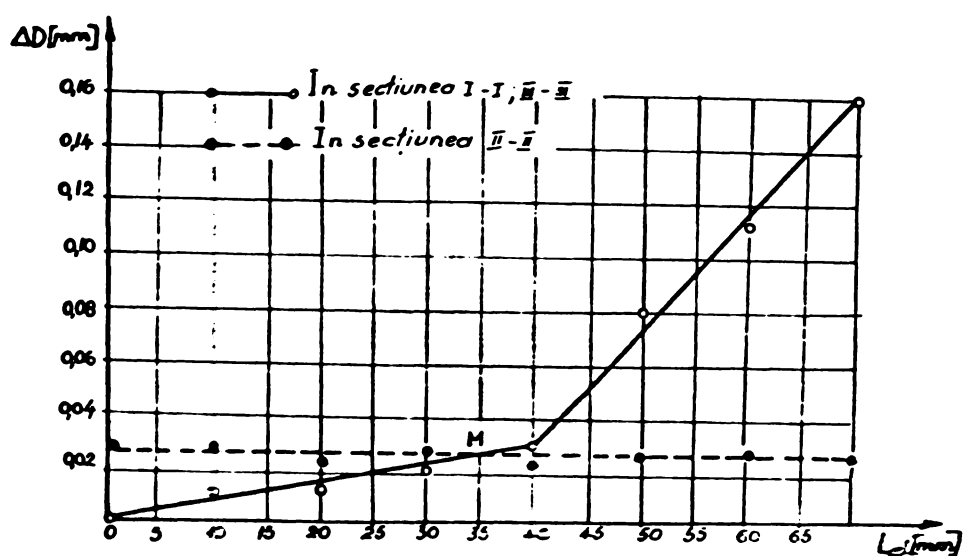


Fig. 55 - Variația „ $\Delta D$ ” în funcție de „ $l_g$ ”

7. Diagrammele din figura 58 arată foarte clar că lungimea de schimbare a formei cilindrice a piezelor prelucrate după variația parametrului „ $l_d$ ”, în scopul sărării preciziei piezelor prelucrate. De exemplu, dacă după prelucrarea premergătoare piezele au dimensiunile mai mici la capete decât la mijloc și unii se bucură cu valoarea „ $l_g$ ” mai mare decât valoarea „ $l_g$ ” optimă (poate dreptul a punctului N), și invers.

8. Prin diagrammele de mai sus, se demonstrează că, concavitatea, concavitatea și convexitatea cuprindărilor de cilindru bucurătă depinde în mare măsură de distanța cu care sunt scăse de bucurătă din alesaj („ $l_d$ ”).

9. La bucurătăriile cilindrice ale autoarelor D-103, unde lungimea piezii prelucrate este  $l_p = 253$  mm, iar segmentii abrazivi cu lungimea  $l_g = 125$  mm, pentru obținerea pe cît posibil a preciziei piezelor prelucrate, cercetările experimentale ale autoarelor arată că, cea mai optimă valoare de depășire a segmentilor abrazivi la capetele piezii este  $l_d \text{ opt} = 30 \dots 35$  mm, adică :

$$l_d \text{ opt} = 0,25 l_g$$

6.3.2. Influența valorii „ $l_g$ ” asupra aburării de la forme circulare (ovalitatea) a cilindrurilor prelucrate prin bucurătă. Înființat în prezent, literatura de specialitate nu consemnează influența valorii lui „ $l_g$ ” asupra aburării de la forme circulare (ovalitatea) a piezelor bucurătă.

Pentru a studia acestați probleme, s-a realizat experimentările cu următoarii parametri:

Temperatură de bucurătă	$T = 1$ min ;
Presiunea specifică	$p = 15$ $\text{daN/cm}^2$ ;
Viteză axială de auto-vîno	$V_a = 13,5$ $m/min$ ;
Viteză periferică	$V_p = 65$ $m/min$ ;
Grenulăție segmentelor abrazivi	8 (150)

Pentru adăugare prestații rezultatelor experimentărilor s-a folosit cîndările experimentale cu ovalitatea între limitele de 0,03 ... 0,04 mm după prelucrarea premergătoare (alesaj). Experimentările s-au efectuat cu 6 bucăți pentru fiecare valoare a lui „ $l_g$ ”. Rezultatul obținut este prezentat în tabelul 12

și figura 59. În care : „ $\delta$ ” este coeficientul de reducere a ovalității cărărilor

$$\delta = \frac{\sigma_1}{\sigma_f} \quad (C.2)$$

unde:

$\sigma_1$  este ovalitatea inițială (fără închidere);

$\sigma_f$  - ovalitatea finală (după închidere)

iar,

$\delta_c$  - coeficientul de reducere a ovalității cărărilor la capetele cilindrului ;

$\delta_m$  - coeficientul de reducere a ovalității cărărilor la mijlocul cilindrului.

#### Tabloul 12

Dependența dintre coeficientul de reducere a ovalității cărărilor ( $\delta$ ) și valoarea „ $l_d$ ”.

	$l_d$ [m.m]							
	0	10	20	30	40	50	60	70
$\delta_m$	1,50	1,74	2,00	2,22	1,80	1,30	1,00	0,60
$\delta_c$	0,80	0,90	0,10	1,7	0,10	0,80	0,70	0,40

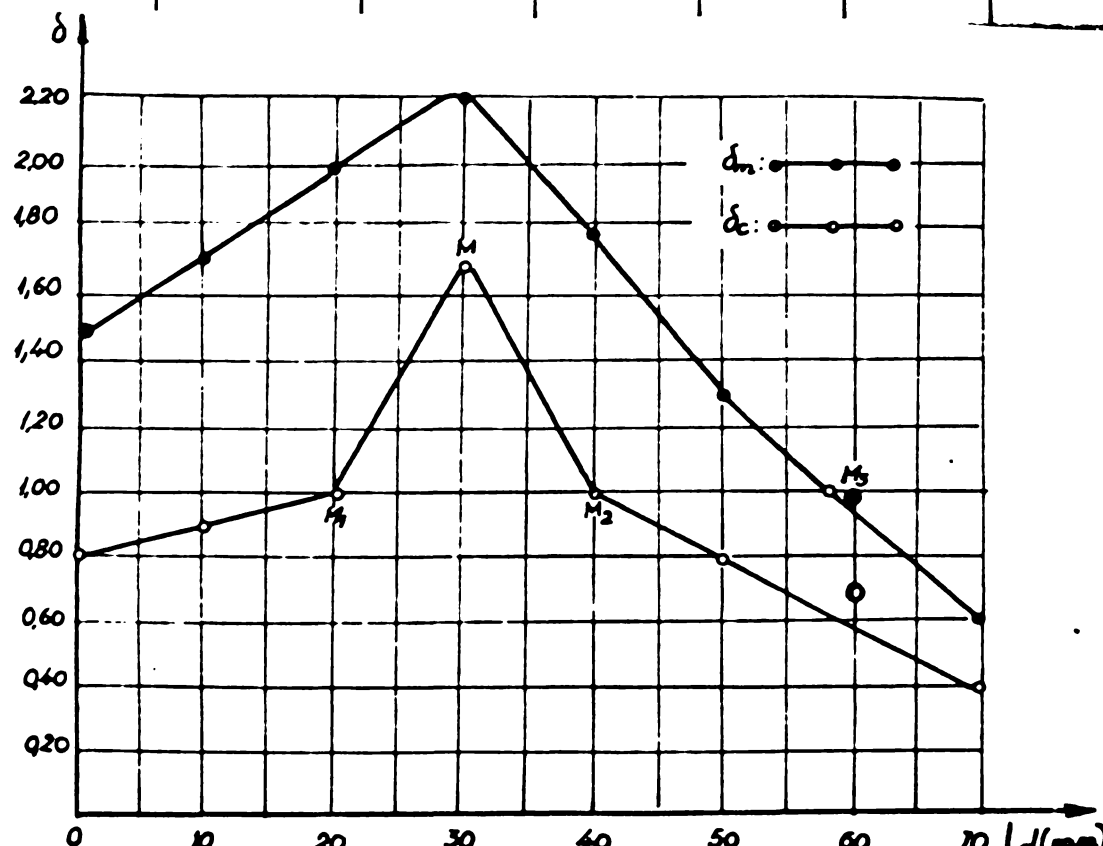


Fig.59 - Dependența dintre coeficientul „ $\delta$ ” și valoarea „ $l_d$ ”

Prin coeficientul de redare a ovalității  $\delta^*$  se apreciază capacitatea de corectare a obținerii formei circulare (ovalitatei) a pieselor blocate.

Din rezultatele obținute după cercetările experimentale se trage următoarea concluzie:

1. La blocarea pieselor cu peretii subțiri cănișile de cilindru-valoarea lui  $l_g$  nu mai că influențează asupra obținerii la forma cilindrică ale pieselor produse, și totodată influențează și asupra obținerii de la forma circulară.

2. Capacitatea de corectare a obținerii de la forma circulară la capetele cănișilor este întotdeauna mult mai slabă decât cea la mijloc ( $\delta_c < \delta_g$ ) și se desfășoară foarte variabil. De consecință, în producție se observă că, ovalitatea la capetele cănișilor produse prin blocare este întotdeauna mai mare decât cea de la mijloc și aceasta este foarte greu de înțeleasă.

3. Pentru corectarea obținerii de la forma circulară a capetele cănișilor, nu orice valoare a lui  $l_g$  aduce rezultate positive. Deoarece se blocă cănișile cu valoarea  $l_g$  pe un mic (la stinge punctului  $M_1$  din figura 59) atunci ovalitatea cănișilor se mărește mai mult decât cea inițială ( $\delta_c < 1$ ). Aceasta se explică prin capacitatea de apătrire a segmentelor obrazivă la capetele cănișilor din cauza unei slabă căni valoarea lui  $l_g$  este din cauza unei sedințe, pe de altă parte la capetele cănișilor există zonele unde capul de blocat își schimbă sensul mișcării ducând la sparirea vibrațiilor capului și în consecință aceasta provoacă deformarea cănișilor din zonele respective.

4. De consecință dacă se mărește valoarea lui  $l_g$  mai mult decât este nevoie (partea dreaptă a punctului  $M_2$  din figura 59) reiese că, ca săt valoarea lui  $l_g$  este mai mare ca săt ovalitatea cănișilor crească mai mult decât valoarea inițială ( $\delta_c < 1$ ). Aceasta se întâmplă datorită faptului că aceste cănișe sunt pieze foarte sensibile la deformații sub influența oprișirilor de apătrire. De la punctul  $M_2$ , precum și specifică se mărește brusc cu creșterea valorii lui  $l_g$ .

5. Există un interval din valoile lui  $l_g$  unde capacitatea de corectare a obținerii de la forma circulară a capeteelor cănișilor are valoarea optimă (sunt  $M_1 \dots M_2$  care "  $\delta_c^*$ "). În

acest interval, capacitatea de corectare se aducea la un punct maxim (punctul M) care reprezentă capacitatea corectării ideale.

Capacitatea bună de corectare a formei circulare a cilindrilor în acest interval se explică prin capacitatea de acționare întrărind de către segmentii obținut, însă influența negativă a vîbrosiilor și a apăsărilor de apăsare se poate neglija.

6. Valoarea lui „ $l_g$ ” influențează capacitatea de corectare a obținerii de la forme circulare a piezelor întrărind nu numai în partea de la capetele cilindrilor dar și chiar în partea de mijloc a coșului.

7. În cazul când „ $l_g$ ” se aduce la o valoare prea mare (partea dreaptă a punctului M, pe cursă  $\delta_m$ ) atunci apare o influență negativă din punct de vedere al corectării formei circulare a piezelor obținute în partea de mijloc, cînd formă circulară a cilindrilor după bănzire se înrăstignă pe lângă formă inițială ( $\delta_m < 1$ ). Aceasta se explică prin faptul că deformările deformatăse în partea dincolo de capetele cilindrilor să nu influențeze direct la deformare și partea de mijloc a cilindrilor.

8. Este foarte interesant că, valoarea lui „ $l_g$ ” unde capacitatea de corectare a obținerii de la forme circulare este maximă în partea de la capetele cilindrilor este maximă în același timp și pentru partea de mijloc.

9. La secundărierea cilindrilor de cilindriile ale motorurilor D-103 prin bănzire, deci valoarea  $20 < l_g < 40$ , în acest cas capacitatea de corectare a formei circulare a piezelor se dezvoltă pe toată lungimea cilindril. În atunci căd valoarea „ $l_g$ ” = 30 mm ( $l_g \approx 1/4 l_c$ ) capacitatea de corectare a formei circulare a piezelor este maximă pe toată lungimea.

10. Valoarea lui „ $l_g$ ” optimă pentru corectarea formei circulare este totodată optimă și pentru corectarea formei cilindrii.

11. Experimentările arată că, în orice fel de valori ale ovalității cilindrilor se pot corecta prin bănzire. Capacitatea de corectare maximă a formei circulare a cilindrilor este limitată de coeficientul reducerii ovalității la capetele cilindrilor ( $\delta_{\text{max}} = 1,7$ ). De aceea punctul obținerei preciziei formei piezelor pro-lucrata, din punct de vedere al ovalității, este absolut necesar

ce piesele prelucrate prin elasare trebuie să ajungă la o precizie suficientă de mare (ovalitatea maximă = 0,05 mm).

6.4. Conicitatea și ovalitatea cilindrului în funcție de timpul necesar honurii

În figura 60 este reprezentată reducerea ovalității și a conicității în funcție de timpul de honură. Experimentele s-au efectuat cu următoarele parametri:

Viteză axială de abraziune	$v_a = 13,5 \text{ mm/min}$
Viteză periferică	$v_p = 65 \text{ mm/min}$
Presiunea specifică	$p = 15 \text{ daN/cm}^2$
Depărirea segmentelor abrasivi la capetele cilindrilor	$l_d = 30 \text{ mm}$
Gamăleția segmentelor abrasivi	8 (150)

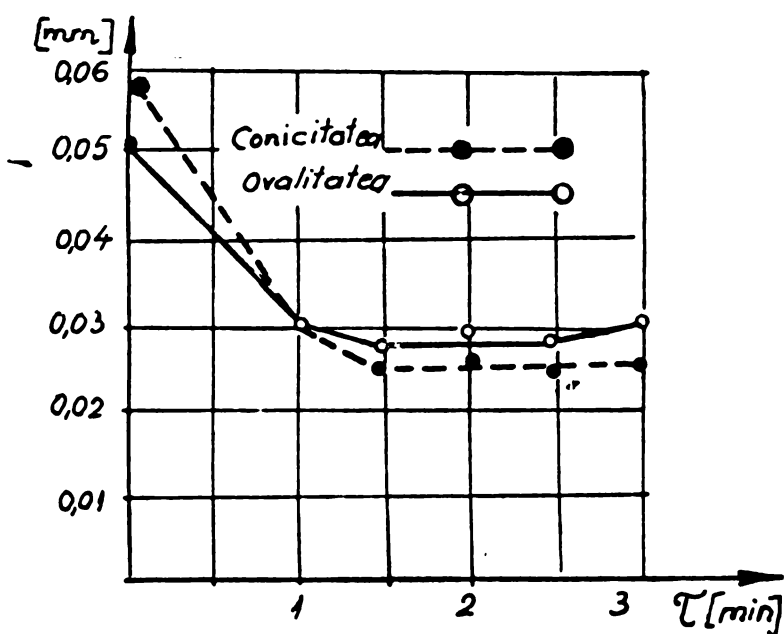


Fig. 60 - Reducerea ovalității și a conicității în funcție de timpul de honură

Pieselete experimentate s-au ales cu urmărele ovalități inițiale de 0,05 mm, iar a conicității inițiale de 0,06 mm. S-au măsurat ovalitatea și respectiv conicitatea după timpul de 30'', 1'', 1''30'', 2'', 2''30'' și 3'', pentru fiecare piesă ex erimentată.

Consecvență răuțorii interval de timp ales pentru experimentarea s-a bucurat 6 cîmpuri de cilindru.

Din rezultatele experimentărilor se desprind următoarele concluzii:

1. Capacitatea de reducere a ovalității și a conicității crește continuu cu durața de homotri pînă la 1'30", iar procesul de corectare a absterii formei geometrice se desfășoară intensiv în primul rînd. Aceasta se explică prin faptul că, pielea după elasare rămîne absterile de la forme geometrice peste linilele vizibile (fig.61), care face ca în primul rînd de homotri, segmentii abrasivi să fele contact cu suprafața parietală și pielei homotri mai în partea denivelată, adică cu o suprafață mică.

Din acestă cauză capacitatea de echibru a segmentelor abrasivi se mărește intensiv și respectiv se mărește și capacitatea de corectare a absterii formei geometrice.

2. După un timp de 1'30" dacă se continuă procesul de homotri capacitatea de corectare a absterii formei geometrice practic este începută.

3. Capacitatea de corectare a absterii de la forme cilindrici este mai slabă decât cea de corectare a absterii formei cilindrice.

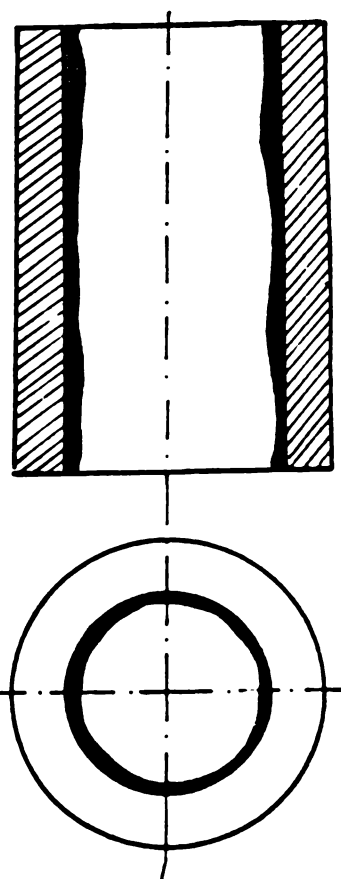


Fig.61 - Absterile de la forme geometrice a chiloidilor finisate de homotri

6.5. Efectul numărului fascilor bocușii asupra caracteristicilor năririi preciziei piezelor prelucrete la bocuire

Experimentările s-au efectuat în trei faze: bocuire de degresare; bocuire de finisare și bocuire finală cu crudiții parametris.

a). Bocuirea de degresare :

Viteză axială de dute-vino	$v_s = 13,5$	m/min ;
Viteză periferică	$v_p = 65$	m/min ;
Presiunea specifică	$p = 15$	daN/cm <sup>2</sup> ;
Timpul de bocuire	$\theta = 1$	min. ;
Granulație segmentelor obrazivii	8 (150);	
Degrădarea segmentelor obrazivii la capetele cilindrilor :		
	$l_d = 30$ mm.	

b). Bocuirea de finisare :

Viteză axială de dute-vino	$v_s = 13,5$	m/min ;
Viteză periferică	$v_p = 65$	m/min ;
Presiunea specifică	$p = 12$	daN/cm <sup>2</sup> ;
Timpul de bocuire	$\theta = 1$	min. ;
Granulație segmentelor obrazivii	5 (240);	
Degrădarea segmentelor obrazivii la capetele cilindrilor :		
	$l_d = 30$ mm.	

c). Bocuirea finală :

Viteză axială de dute-vino	$v_s = 13$	m/min. ;
Viteză periferică	$v_p = 77$	m/min. ;
Presiunea specifică	$p = 9$	daN/cm <sup>2</sup> ;
Timpul de bocuire	$\theta = 40$	sec.
Granulație segmentelor obrazivii	9.23 (400);	
Degrădarea segmentelor obrazivii la capetele cilindrilor		
	$l_d = 30$ mm. .	

Totii parametrii de mai sus se mențin constanți în timpul în care se desfășoară procesul experimentărilor respective. Experimentările s-au efectuat pe 100 bocușii cilindri pentru fiecare fază de bocuire.

Datalele obținute sunt arătate în anexe 3, tabelele 9, 10

și îl pe baza cărora s-au întocmit diagramele reprezentate în fig. 62 și s-au calculat valorile „ $\bar{x}$ ” și „ $\sigma$ ” care sunt reprezentate în tabelul 13.

De menționat că valorile „ $\bar{x}$ ” și „ $\sigma$ ” se calculează după relațiile (4.7) și respectiv (4.8).

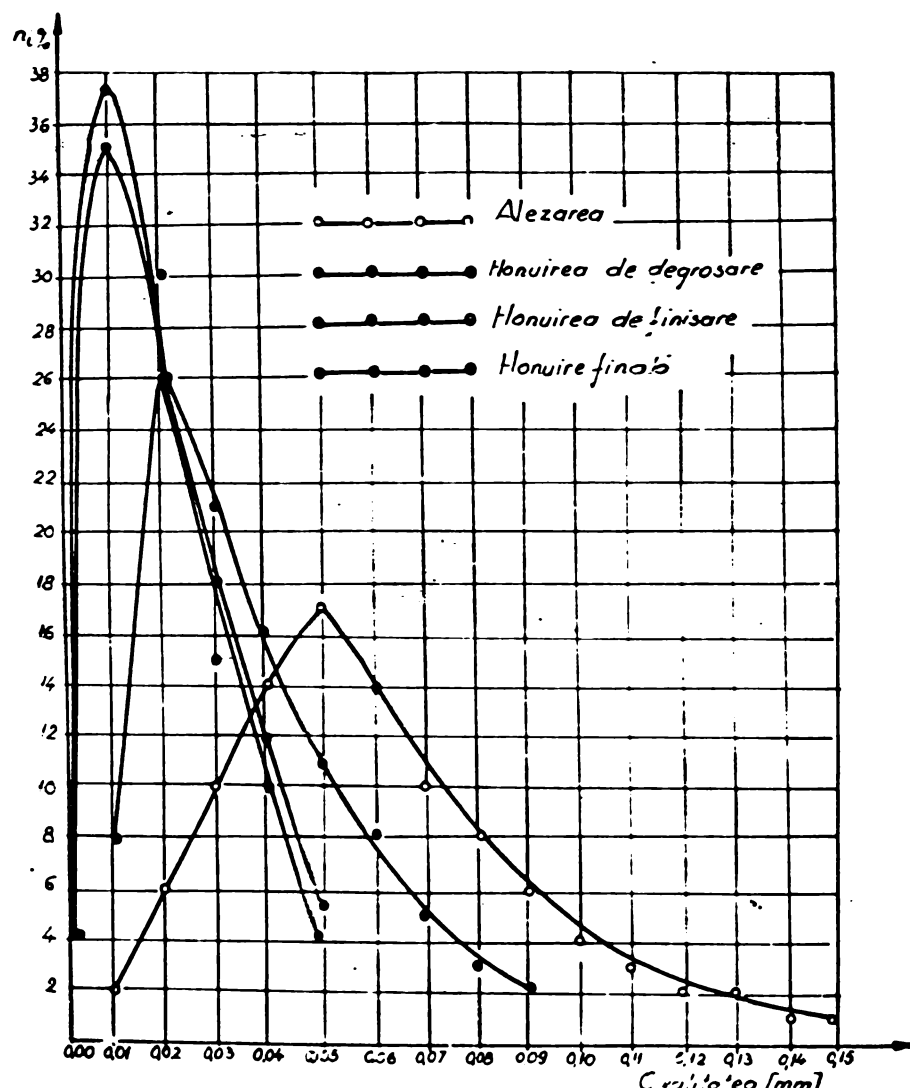


Fig. 62 - Ovalitatea la honuire

Tabelul 13

Ovalitatea căilor de cilindrii după honuire

Ideal de experimentare	$\bar{x}$	$\sigma$	Ovalitatea $\leq 6 \text{ } \mu\text{m}$
Alizarea	$0,0609$	$29,3 \cdot 10^{-3}$	18
Honuirea de degroșare	$0,036$	$19,3 \cdot 10^{-3}$	55
Honuirea de finisare	$0,022$	$12,5 \cdot 10^{-3}$	83
Honuirea finală	$0,020$	$11,5 \cdot 10^{-3}$	96

Unde :  $\bar{x}$  este media aritmetică a aburilorilor ;

$\sigma$  = abaterea medie pătrată.

Din rezultatele experimentelor rezultă :

1. Prin bominare de degresare, precizia piezelor bominite se ridică într-o mărime importantă. Aceasta se explică prin faptul că la bominare de degresare, capacitatea de echibire de către segmentii obrazivi este foarte intensă.

2. În cazul bominirii finale, capacitatea de corectare a obrazurii formei circulare căt și a celei cilindrice este foarte redusă. Phenomenul se explică prin faptul că la bominare finală se aplică o precizie specifică nichia totodată și cu segmentii obrazivi care au granulele foarte fine. Din acestă cauză, capacitatea de echibire a segmentilor obrazivi este foarte redusă. Se arată în evidență că precizia piezelor prelucrate (stîr ovalitățea căt și conicitățea) înainte de bominare finală trebuie să ajungă cel puțin la valoarea preciziei, care este stabilită de normă tehnică.

3. La bominare de finisare, precizia piezelor prelucrate se ridică într-o mărură considerabilă, se ușurează totodată și netezarea suprafațelor, aceasta din urmă contribuind la reducerea timpului de bominare în raza prelucrării următoare (bominare finală). Din rezultatele cercetărilor experimentale de noi sunt de recunoscerele recomandări : Deoarece după bominare de degresare, conformată este obrazura de formă ridicată, atunci este necesară contracureea bominirii de finisare. Această sept contribuie la mărirea preciziei piezelor prelucrate într-o mărură importantă. Dar pînă în prezent, pentru bominarea piezelor, la care foarte greu se obține o precizie superficială ca și în cazul cărligilor de cilindru, sursele locuri de specialitate recomandă bominarea ca și în două faze (bominare de degresare și cea finală) [101 ; 114].

#### 6.6. Capacitatea de corectare a obrazurii de la forma simetrică în funcție de obrazura de formă initială

##### 6.6.1 Capacitatea de corectare a obrazurii de la forma cilindrică în funcție de obrazura de formă initială

Experimentările s-au efectuat cu următorii parametrii :

- Viteză axială de date-vino  $v_a = 13,5 \text{ mm/min}$ ;
- Viteză periferică  $v_p = 65 \text{ mm/min}$ ;
- Prestimare specifică a segmentelor obrazivi  $p = 15 \text{ ad/cm}^2$ ;
- Timpul de bominare  $\tau = 1 \text{ min.}$

- Depășirea segmentelor abrazivi la capetele cămpilor
- Greanătăia segmentelor abrazivi 8 (150).

$l_g = 30 \text{ mm}$ ;

Piesele experimentate s-au sortat în grupe după mărimea conicității inițiale ( $0,01; 0,02; 0,03; 0,04; 0,05; 0,06; 0,07; 0,08; 0,09; 0,10$ ).

Experimentările s-au efectuat cu 6 baciști pentru fiecare valoare a conicității inițiale.

Rezultatele obținute sunt reprezentate în fig. 63.

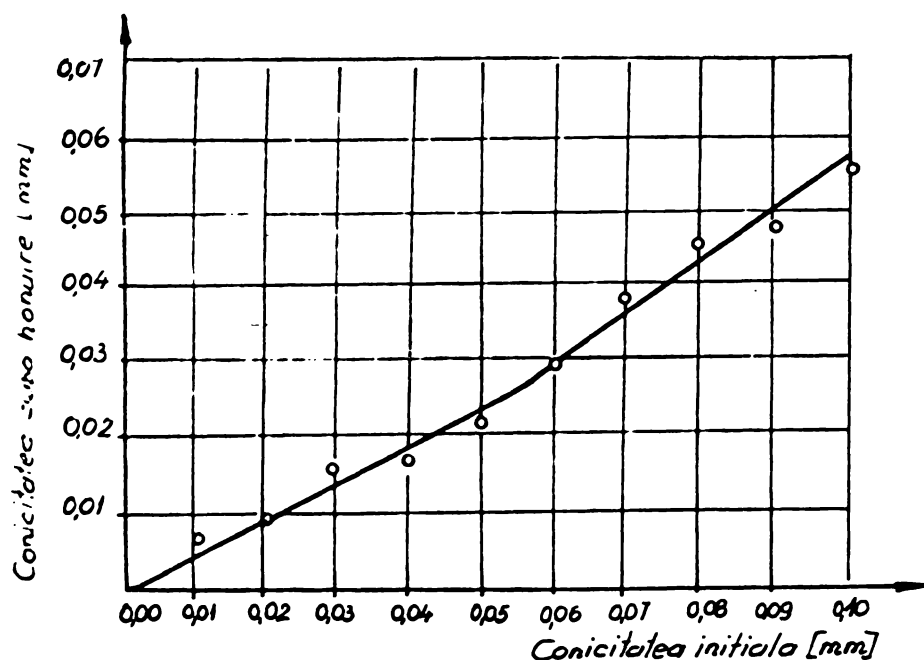


Fig. 63 - Dependența conicității cămpilor bruniti în funcție de conicitatea inițială (după elasare)

Din rezultatele obținute se acord următoare:

1. Pentru obținerea conicității egale cu  $0,03 \text{ mm}$  după homogenizare, este necesar ca după elasare cămpile de cilindru să aibă o valoare a conicității maximă de  $0,05 \text{ mm}$ ;

2. Cu cît piesele cu conicitatea inițială mai redată cu stăt conicitatea obținută după homogenizare este mai mică;

3. Dacă conicitatea inițială a pieselor este cuprinsă între  $0,01 \dots 0,06 \text{ mm}$ , atunci capacitatea de corectare a obsterii formei cilindrice este mai mare și mult mai ușor de realizat, iar dacă valoarea conicității inițiale a pieselor este mai mare decât  $0,06 \text{ mm}$ .

capacitatea de corectare a formei cilindrice a căldărilor este redusă și astfel, procesul de corectare este cu siguranță mai greu cînd obținerea inițială este din cauza unei mări.

#### 6.6.2. Capacitatea de corectare a obținerii de la forma circulară în funcție de obținerea de formă inițială

Experimentările s-au efectuat cu aceeași parametri ca și în cazul (6.6.1).

Piesele experimentate s-au sortat în grupe după ușrimea ovalității inițiale (0,01; 0,02; 0,03; 0,04; 0,05; 0,06; 0,07; 0,08; 0,09; 0,10).

Experimentările s-au efectuat cu 6 buclări pentru fiecare valoare a ovalității inițiale.

Rezultatele obținute sunt reprezentate în figura 64.

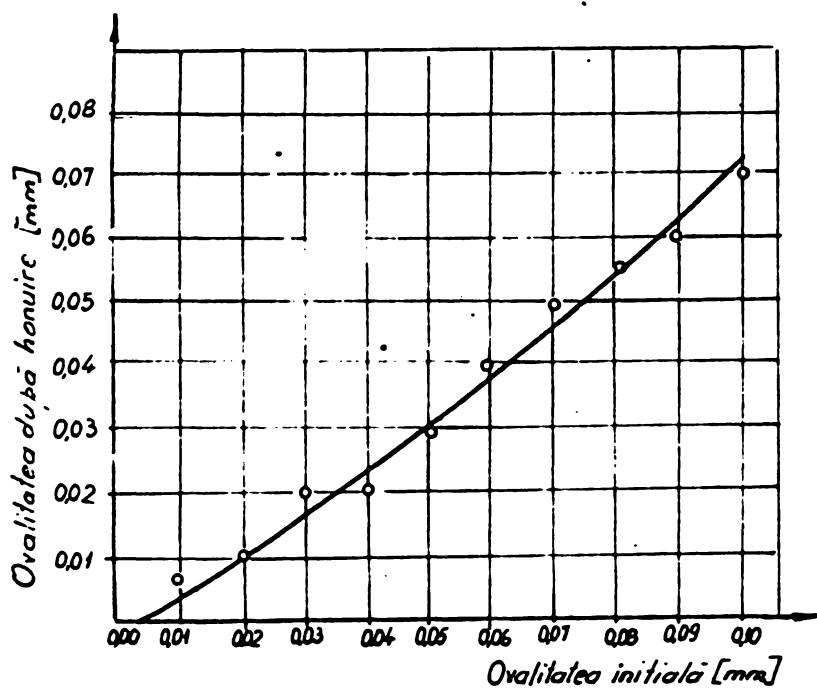


Fig.64 - Dependența ovalității cîndărilor blocate în funcție de valoarea ovalității inițiale (după alezare)

Din rezultatele obținute se desprind următoarele concluzii:

1. Pentru obținerea ovalității maxime admise a cilindrului egale cu 0,03 mm, după honuire, este necesar ca ovalitatea inițială maximă a pieselor să fie de 0,05 mm.

2. Cu cât ovalitatea inițială este mai mică, cu atât ovalitatea obținută după honuire este mai mică.

3. Dacă calitatea inițială a pieselor este cuprinsă între 0,01 ... 0,05 mm, stabilitatea de corectare a obiectelor de formă circulară este mai intenționată și mai ușor de realizat, iar dacă valoarea calității inițiale a pieselor este mai mare decât 0,05 mm, capacitatea de corectare a formei circulare a cămășilor este redusă și întâius.

4. În comparație cu corectarea obiectelor formei cilindrice, procesul de corectare a obiectelor formei circulare este de fapt mult mai dificil. Aceasta ducă la următoarele recunoaștere importante: pentru obținerea preciziei pieselor secundare, este nevoie să se caute toata posibilitatea pentru a se realizea o precizie cît mai mare a pieselor după prelucrarea premergătoare (alezare), în care trebuie acordată o atenție săriță acoperă precizia formei circulare.

## CAPITOLUL VII

### CHIRURGIA TEHNICĂ A EXPERIMENTAȚIEI MUNCII MARILOR PRODUCȚIVITATII MUNCII LA PROCESUL DE BOUROARE

Productivitatea muncii în procesul de bouroare este unul din factorii de bază care determină eficiența tehnologică și economică a acestui prelucrare.

Pentru a putea regăsi influența comportării cămășilor de cilindru secundară după expoziția premergătoare (alezare) asupra productivității muncii în ceea ce privește procesul de bouroare, pentru corectare s-a ales pieza experimentată având concordanțe între limitele de 0,02 ... 0,06 mm, iar calitatea între limitele de 0,02 mm ... 0,05 mm.

Toate cazorile experimentate s-au efectuat astfel:

Cepal de bouroare cu 6 segmenti abrazivi care au dimensiunile  $10 \times 10 \times 125$  mm;

Lungimea de desprinere a segmentilor abrazivi la capetele cămășilor  $l_g = 30$  mm.

Lichidul de răcire este petrol lăptos, cu debitul de 12 l/min distribuit uniform în timpul bouroarei pe suprafața inter-

teriosul a cincilor.

Materialele segmentilor obresivi este din coroare de siliciu cu liant ceramic, duritatea II.

Productivitatea unorii este determinat prin măsurarea diametrului elosajului inițial și după bomiere, calculându-se procentul obrotului de metal ridicat pe unitatea de timp după relația :

$$Q = \frac{\pi \cdot l_p \cdot (D_b + D_1) \cdot \Delta D}{4G} \quad [ \frac{m^3}{min} ] \quad (7.1)$$

unde :

$$\Delta D = D_b - D_1$$

în care:

$l_p$  este lungimea piesei bomuite, în [mm];

$D_b$  – diametru elosajului după bomiere, în [mm];

$D_1$  – diametru initial al elosajului, în [mm];

$G$  – tipul de bomiere, în [mm];

Productivitatea unorii la bomiere este influențată de o serie de factori cum sunt: tipul de bomieră, viteză periferică și viteză axială de dute-vina, presiunea specifică a segmentilor obresivi pe suprafață prelucrată, caracteristicile materialului obresiv, etc.

### 7.1. Înfluența presiunii specifice a segmentilor obresivi asupra productivității unorii la bomiere

Cercetările experimentale s-au realizat cu următorii parametri:

Tipul de bomiere  $G = 1$  min;

Viteză periferică  $V_p = 65$  m/min;

Viteză axială de dute-vina  $V_a = 13,5$  m/min;

Granulație segmentilor obresivi 8 (150).

Experimentările s-au efectuat la 6 cărți pentru o viteză respectivă a presiunii specifice.

In figura 65 s-a ridicat diagrame obținuti din rezultatele cercetărilor de mai sus de unde se observă că, cu mărire presiunii specifice date la creșterea productivității unorii, acestea se dezvoltă intens și direct proporțional cu presiunea specifică în prima perioadă ( $p = 6 \dots 15$  daN/cm<sup>2</sup>), după aceea ( $p > 15$  daN/cm<sup>2</sup>) productivitatea unorii scade mai puțin intens.

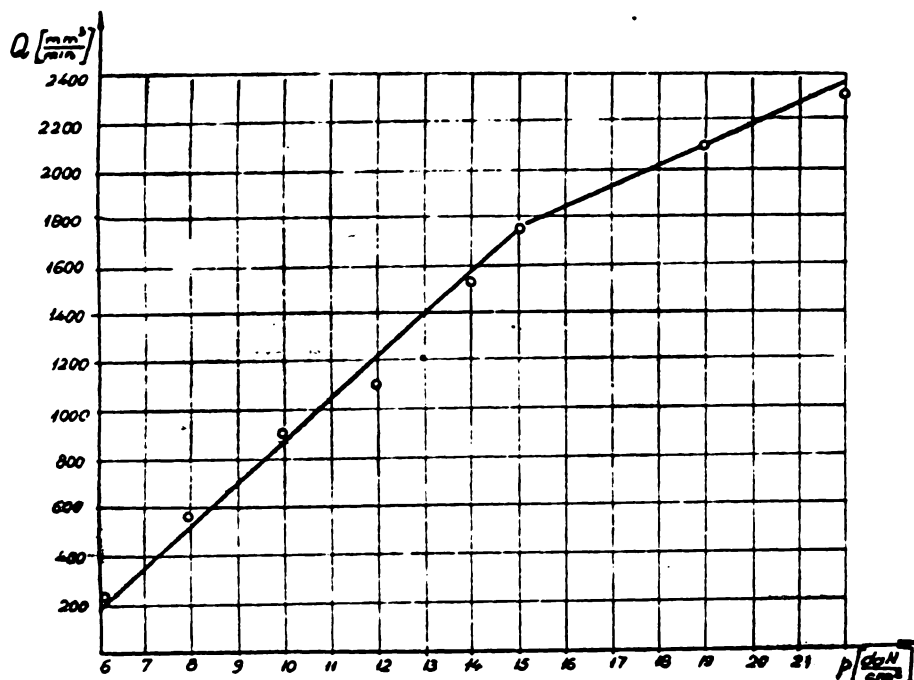


Fig.65 - Dependențe productivității succii în funcție de presiunile specificării a segmentelor abrazivi

Acasă se aplică prin faptul că în prima perioadă ( $p = 6 \dots 15 \text{ daN/cm}^2$ ), adăugându-i unii granule abrazive, considerată ca virful rotunjit cu semă „ $\beta$ ”. Aceasta se observă că în granule care nu au lucrat. Prezența rotunjirii virfurilor face ca granulele să fie mai rezistente. Dacă această rotunjire, granulele să nu fi supt ușor pentru că se pierd în metal cu o viteză apropiată de zero. În timpul ochierii, semă de rotunjire se năște. Mărima „ $\beta$ ” influențează mult scopul procesului de despicătare și echilibrul dintre granule abrazive. El presupune că granulele se pierd în metal cu unghiul „ $\theta_0$ ”, atunci unghiul de despicătare, corespunzător punctului „ $a$ ” va fi negativ „ $\gamma$ ” iar unghiul de ochiere „ $\delta_0$ ” va fi apropiat de valoarea de  $180^\circ$ . În acestă situație nu se va produce oprirea și curățarea suprafeței metalelor de proiectat. În acest caz va fi necesară o forță mai mare „ $F_y$ ” care să proceseze granulele

In figure 66 se prezintă scheme de ochiere a unei granule abrazive, considerată ca virful rotunjit cu semă „ $\beta$ ”. Aceasta se observă că în granule care nu au lucrat. Prezența rotunjirii virfurilor face ca granulele să fie mai rezistente. Dacă această rotunjire, granulele să nu fi supt ușor pentru că se pierd în metal cu o viteză apropiată de zero. În timpul ochierii, semă de rotunjire se năște. Mărima „ $\beta$ ” influențează mult scopul procesului de despicătare și echilibrul dintre granule abrazive. El presupune că granulele se pierd în metal cu unghiul „ $\theta_0$ ”, atunci unghiul de despicătare, corespunzător punctului „ $a$ ” va fi negativ „ $\gamma$ ” iar unghiul de ochiere „ $\delta_0$ ” va fi apropiat de valoarea de  $180^\circ$ . În acestă situație nu se va produce oprirea și curățarea suprafeței metalelor de proiectat. În acest caz va fi necesară o forță mai mare „ $F_y$ ” care să proceseze granulele

pe suprafață de prelucrat.

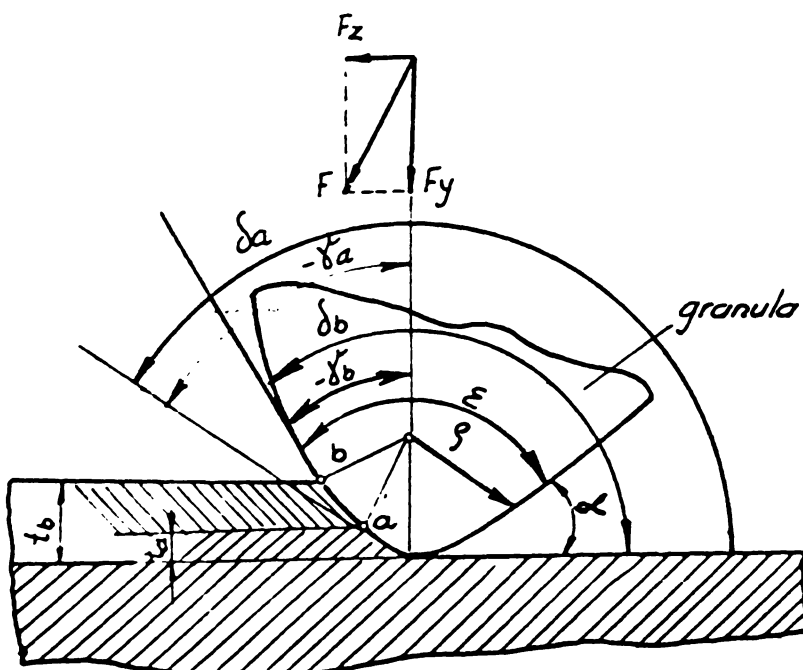


Fig.66 - Schema de aşchierare

Dacă aşchierarea se va face în același condiții, însă cu adâncimea „ $t_p$ ”, atunci procesul de desprindere a metaleului de pe suprafață de prelucrat va fi ușor. Dacă examinăm aşchierarea în punctul „b”. Unghiul de degajare „ $\gamma_b$ ” este negativ, însă mult mai mic ca valoarea unghiului decât unghiul „ $\gamma_a$ ”. De aceea unghiul de aşchierare „ $\delta_b$ ” se va micșora. Dacă adâncimea de pătrundere va fi mai mare decât suma de rotunjire a vîrfului granulei, atunci unghiul de aşchierare va fi minim.

Să desprindem concluzia că cu cît este mai mare componenta „ $F_y$ ” cu atit capacitatea de aşchierare a granulelor este mai intensă.

În plus, odată cu mărimea forței de aşchierare, granulele abrazive tocite se scurg mai repede, autoasechările devin mai întinse și se urmărește, pe granulele secuite precum și specifici lor, că sunt mai mult, creșcând astfel productivitatea uscării.

Din justificarea de mai sus, rezultă concluzia utilă :

Cu cît granulația segmentilor abrazivi este mai brăzătă (deci adâncimea granulelor abrazive este mai mare) cu atit precum și specificiile de aşchierare trebuie să fie mai mari. Aceasta este absolut necesar pentru mărimea eficienței de aşchierare a segmentilor abrazivi respectivi, datorită cărui cu cît granulele abrazive sunt mai mari cu atit suma de rotunjire „ $\beta$ ” și unghiul de vîrf „ $\varepsilon$ ” sunt

mai mari [253; 256; 265].

Din contră, în cazul prelucrării cu segmentii abrazivi cu granulație mai fină (deci granulele abrazive sunt mai mici) trebuie redusă presiunea specifică pentru că în acest contrar se produc următoare sau chiar spargerea segmentilor abrazivi. În acest caz are loc pierderea capacitatii de acțiune a segmentilor abraziivi respectivi, iar consumul de abraziv va fi ridicat.

În a doua perioadă, productivitatea are o creștere puțin intensă. Aceasta se explică prin faptul că, datorită forței de spânsse „ $P_y$ ” precum și, vîrfurile granulelor abrazive se vor rupe ușor în cîmpul mișcării segmentului abraziv (fig.67). În consecință zone de rotunjire „ $\beta_2$ ” va fi mult mai mare decât era inițială „ $\beta_1$ ” ( $\beta_2 > \beta_1$ ). Datorită acestui fapt, capacitatea de acțiune a granulelor abrazive va fi mai redusă. În plus, la presiunea specifică mare, ca este în situația valoarei ei ca efect lăsatul de răcire care există între suprafața peletosată a pișiei și cea de la cota a segmentilor abrazivi este din ce în ce în cantitate mai redusă, aceasta faza ce face ca să scadă capacitatea de acțiune a produselor apărării să fie din ce în ce mai evidentă. Suprafața pișiei prelucrate și suprafațele segmentilor abrazivi sunt din ce în ce mai mari, ceea ce duce la reducerea capacitatii de acțiune de către segmentii abrazivi, aceasta ducând sigur la influențe negativi asupra măririi productivității muncii.

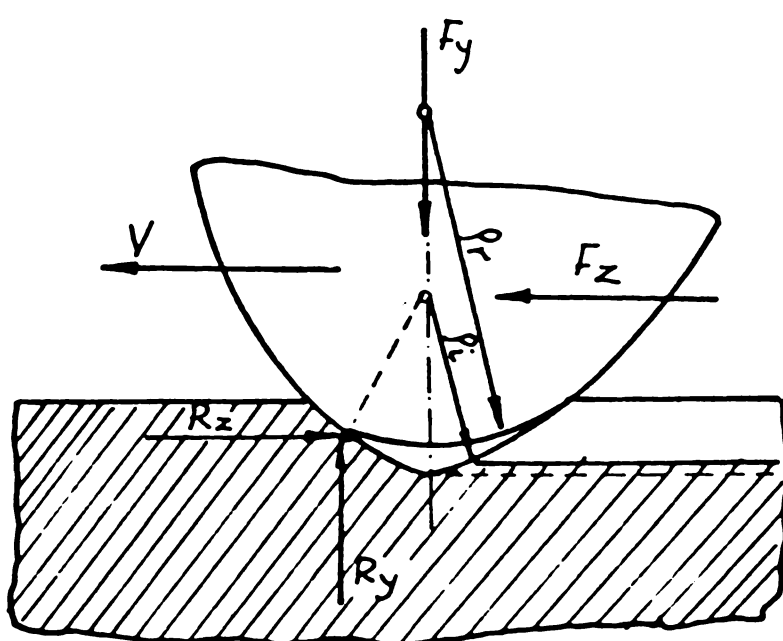


Fig.67 - Impactul vîrstalui granulei datorită forței de spânsse precum

Se recomandă că la orice fel de prelucrare cu corpurile abrazive, cu cît suprafața piezelor este mai mare și cea de lucru a corpurilor abrazive este mai mică, cu atât capacitatea de oprire a eșantilor este mai redusă, în consecință, productivitatea muncii este mai mică.

Trebuie menționat că, precum și specificul cu ce poarte mărăi pînă la orice valoare, aceasta este limitată nu numai de rezistența granulelor abrazive și de elasticitatea lăcăstului, dar și de rigiditatea sistemului tehnologic. Se stabilește că, la hoinarea eșantilor de cilindru, prelucrarea cu o presiune mai mare donă o necesară procentaj de deformare piezelor prelucrate într-o mărăi însemnată. Diminuția că prelucrarea la acest regim nu este recomandată.

### 7.2. Împreună durata prelucrării de bominie „G” și măsurarea productivității muncii

Experimentările s-au efectuat cu următoarele parametri:

Viteză axială de date-vino	$v_a = 13,5 \text{ m/min}$ ;
Viteză periferică	$v_p = 65 \text{ m/min}$ ;
Preciunse specifică a segmentelor abrazivi	$p = 15 \text{ daN/cm}^2$ ;
Granulație segmentelor abrazivi	8 (150).

Experimentările s-au realizat cu 6 bucăți pe seturi fiecare interval de timp ales pentru experimentare.

Rezultatele obținute sunt prezentate în figura 68.

În figura 68, prin altele diagrame se observă: În primul moment de prelucrare, productivitatea muncii se micșorează brusc ca urmare de bominire, după aceea, dacă procesul prelucrării se desfășoară în continuare, productivitatea muncii se micșorează și se în continuare, dar mai puțin intens și în sfîrșit din cauza unei lezi. Rezultatele experimentărilor de mai sus arată că, capacitatea de desfășurare a eșantilor în procesul de bominare se desfășoară foarte intens în primul moment, și scade mult apoi în finalul ciclului de prelucrare. Acestea determină faptul că, la începutul procesului de bominare sunt segmentii abrazivi inserți în contact cu suprafața sugește a piezelui, aria suprafeței de contact dintre scută și pieză este mai mică, ceea ce face ca preciunsele specifică să crească (lungimea radială aplicată asupra segmentelor este constantă). Pe altă

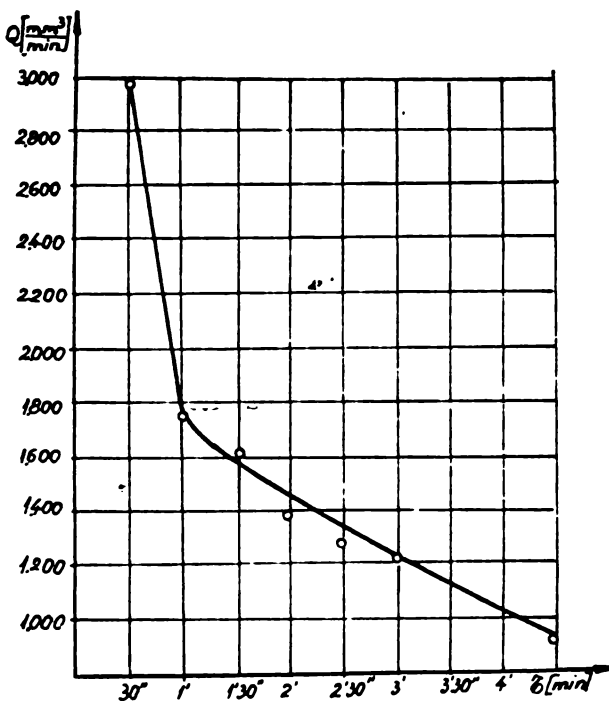


Fig. 68 - Dependența productivității muncii în funcție de durată de lucru (t)

aceste creșteri precum și specific, se va întîri adesea de pătrundere în metal a granulelor abrazive, crescând astfel mărimea microechiilor îndepărtați de flocare granular. Cu urmare, granule abrazive vor fi mai solicități de forțele de acțiune radiale și tangențiale, care sunt tot ușori sănătății loc și usor și mai intensi și mai distrugători în parte a granulelor abrazive, ceea ce face să crească gradul de autodescătire a granulelor și să se crească condițiile pentru o acțiune mai intensă. Microirregularitățile de pe suprafața piesei vor fi îndepărtați mai rapid. Pe de altă parte, după cum se știe, după prelucrarea prin alezare, piesele cu eroziile de formă destul de mari, provoacă o micșorare locală a suprafeței de contact cu segmentii abrazive, ceea ce determină o creștere a preciziei de contact și ce urmare, ducă în primul moment la creșterea intensității detracției echililor.

Pe măsură ce crește durata de lucru, microirregularitățile piesei se micșorează, suprafața piesei se se prelucrănd devine din ce în ce mai netedă și ce usor, se mărește aria suprafeței de contact între segmentii abrazivi și piesă, micșorindu-se precizia specifică. Pătrunderea în adâncime a granulelor va fi mai puțin adâncă, mărimea echililor ridicata va fi mai mică, astfel productivitatea muncii în procesul de lucru scade.

In figura 69 este ilustrată influența stării suprafeței semifabricatului asupra capacitatii sechierii de către segmentul obiectiv.

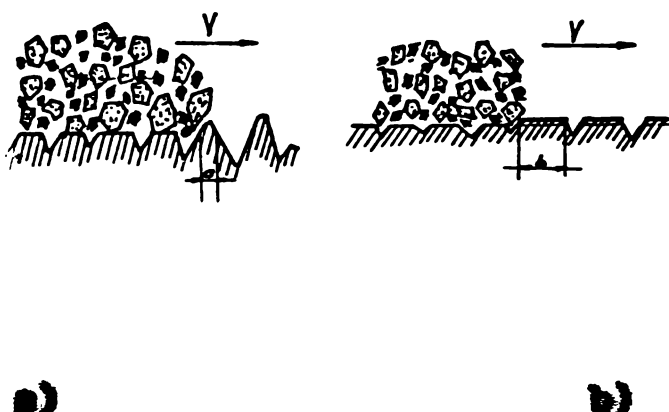


Fig.69 - Influența stării suprafeței semifabricatului asupra capacitatii sechierii obiective

a) la începutul prelucrării ; b) la sfîrșitul prelucrării

Din rezultatele experimentelor și prin analiza de mai sus se arată că, cu cît durata ciclului prelucrării se crește cu atât devine mai puțin utilă la bominare de degresare, timpul optim trebuie să rămână valoarea unde intensitatea de corectare a abaturii formă obiectelor se reduce cel mai mult. Nărirea simbolui de bombardează pe cel optim, duce la o creștere neînsemnată a capacitatii de sechire, în timp ce temperatură pielei crește în intensitate, ceea ce provoacă deformarea pielei prelucrate și deteriorarea stratului superficial ca arsuri, flăcăi, etc. [25; 121; 126].

### 7.3. Influența vîntului marinară asupra productivității mărită în procesul bombaririi

Experimentările sunt efectuate cu următorilor parametri:

Viteză orizontală de deservire  $V_s = 13,5 \text{ m/min}$ ;

Presiunea specifică  $p = 15 \text{ daN/cm}^2$ ;

Timpul de bombardeare  $t = 1 \text{ min}$ ;

Grenadă segmentelor obiectivi  $S = 190$ .

La fiecare viteză „ $V_s$ ” aleasă pentru experimenteaza s-a bombarit 6 obiecte de cilindru.

Viteza periferică  $v_p$  a capului de bomină se determină cu relația :

$$v_p = \frac{\pi d \cdot n}{1000} \quad [\text{m/min}] \quad (7.2)$$

în care:

$d$  este diametrul aleajului care se prelucră, în mm ;  
 $n_p$  - frecvența de rotație a capului de bomină, în rot/min.  
 rezultatelor experimentelor cînt reprezentate în fig.70.

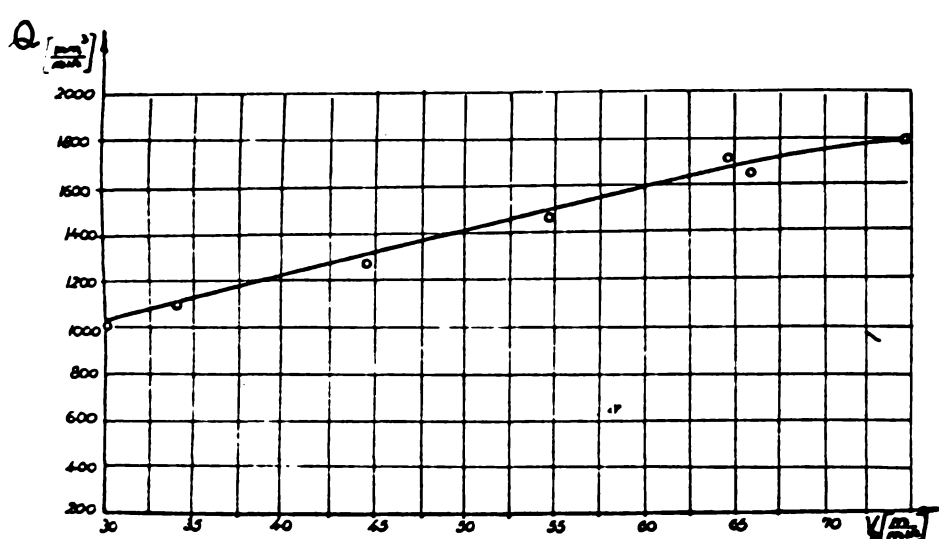


Fig.70 - Influența vitezelor periferice asupra productivității muncii în procesul bominării

Rezultatelor experimentelor crește cînătirea vitezelor periferice donec le creștează productivitatea muncii, ca urmare a faptului că creșterea cînătirii vitezelor periferice, crește frecvența de contact a segmentelor abrazivi cu suprafața semifabricatului.

Experimentările efectuate de autor demonstrează că productivitatea muncii în procesul de bominare crește prin cînătirea vitezelor periferice, aceasta însă este limitată. La bominarea de un materiale, dacă cînătirea vitezelor de rotație  $v_p > 65$  [m/min] căldura dezvoltată în procesul mochieririi este foarte ridicată, aceasta face ca forme piesei prelucrate să se deformă într-o măsură incinnetă [25]. Pe de altă parte provoacă distrugerea suprafetei materialului semifabricatului, în consecință, se ajunge la reducerea durabilității în funcționare a pieselor respective.

#### 7.4. Influența vitezei axiale de tăiere-vino asupra productivității muncii în procesul hoinirii.

Pentru a corecta influența vitezei axiale de tăiere-vino asupra productivității muncii în procesul hoinirii, s-a efectuat numeroase experimentări cu următoarele parametri:

Viteză periferică	$v_p = 65 \text{ m/min}$ ;
Presiunea specifică	$p = 15 \text{ kN/cm}^2$ ;
Timpul de hoinire	$\tau = 1 \text{ min}$ ;
Granulație segmentelor abrazivi	8 (150)

La răscoare valoarea a vitezei axiale clase pentru experimentare s-a lăsat 6 căndări de ciliindru. Viteză axială se calculează după relația :

$$v_a = \frac{2 l_{a,c}}{1000} = \frac{2 (l_c + 2 l_p - l_b)}{1000} n_c [\text{m/min}] \quad (7.3)$$

unde

- $v_a$  este viteză deplasării axiale în  $\text{m/min}$ ;
- $l_{a,c}$  - lungimea corsului nuclei de hoinire [mm];
- $l_c$  - lungimea aleșajului de prelucrat [mm];
- $l_p$  - lungimea de depărire a segmentelor abrazivi la capetele aleșajului în mm;
- $l_b$  - lungimea segmentelor abrazivi, în mm;
- $n_c$  - numărul curcelor dobile pe rând.

Rezultatele experimentărilor sunt prezentate în figura 71.

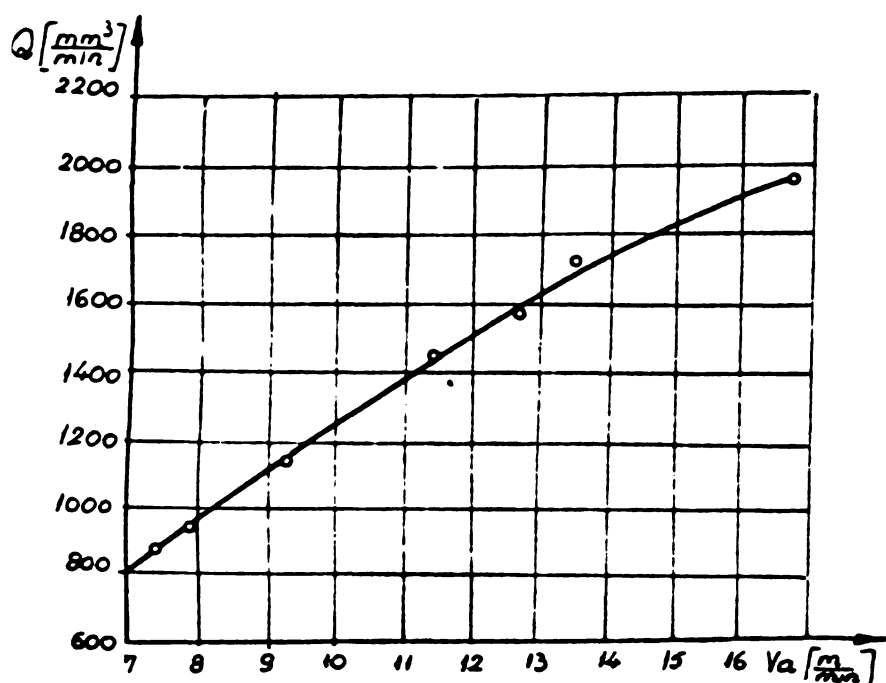


Fig.71 - Influența vitezei axiale de tăiere-vino asupra productivității muncii în procesul de hoinire

Experimentările efectuate arată că productivitatea unorii în procesul de bănoare crește adesea cu direcția viteză oricără de date-vino.

Există și mențiuni că în comparație cu viteza periferică, productivitatea unorii crește mult mai intens în condițiile viteză oricără de date-vino (fig.70 și 71).

Crescerea productivității adesea cu creșterea viteză oricără de date-vino se explică în primul rând prin mărirea numărului de treceri a segmentelor abrazivi pe suprafața pielei, iar în al doilea rând prin mărirea frecvenței de schimbare a secundului de deplasare a sculei abrazive care ca urmare a astfel de tensiune și totodată mărirea capacitatii de acțiune [119].

Crescerea productivității unorii în procesul de bănoare prin mărirea viteză oricără de date-vino este foarte limitată, în primul rând de posibilitățile constructive ale mașinilor de bănoare obișnuite permit o viteză oricără de date-vino de 15 ... 20 m/min [4, 119], iar în al doilea rând de apariția occurrilor desturării mărirei frecvenței de schimbare a secundului și acțiunii capului de bănoare.

#### 7.5. Influența granulației segmentelor abrazivi asupra productivității unorii în procesul de bănoare

Unul din elementele care fac ca două corperi abrazive să difere între ele este mărimea granulelor care compun acest corp. Acest element influențează într-o asemenea încărcătură multe aspecte ale lucrului cu aceste scule și elă din punct de vedere și capacitatea de acțiune.

Pînă în prezent, numeroase cercetări ale cercinilor de specialitate au ajuns la concluzia că în bănoare, cu cît granulația segmentelor abrazivi este mai fină, cu atât productivitatea unorii este mai mare [8, 24, 25, 251]. Înțeles că arată legile unei noi funcții.

Prin granulație se înțelege conținutul în granule de diferite mărimi, exprimat în procent de granule (compoziție granulometrică).

Granulele de materiale abrazive se împart după dimensiuni în trei grupe (RTAB 1777-60) :

- granule 2500 ... 160 micrometri ;
- pulberi 160 ... 40 micrometri ;
- micropulberi 40... 3 micrometri .

Fiecare grupă se caracterizează prin compoziție granulo-metrică (în %), după cinci fracțiuni : fraciunea finită, fraciunea mare, fracțiunea principală, fracțiunea complexă, fracțiunea ușoră.

Fracțiunea principală este aceea care dă notarea granulo-metrică granule cu granulație 200, <sup>125</sup> 160, 100, 80, 63, 50, 40, 32, 25, 20, 16 ; pulberi cu granulație 12, 10, 8, 6, 5, 4 ; micropulberi (cu lățime H) H 40, H 25, H 20, H 14, H 10, H 7, H 5. Notarea granulațiilor pentru granule și pulberi reprezintă, în sistemele metrică, numărul de 0,01 mm pe care îl au dimensiunile granulelor sau pulberilor (respectiv lățirea deschiderii libere a ochiului săzai, în micrometri, care rezin granulele sau pulberile), iar în sistemele ţării notarea granulațiiei se face prin numărul de ochiuri pe țel liniar și cîtei care rezin granulele sau pulberile. Notarea granulațiiei micropulberilor se face considerind dimensiunile maximi a micropulberii în micrometri.

În tabelul 14 se arată caracteristicile dimensionale ale granulelor.

Tabelul 14

**Caracteristici dimensionale ale granulelor  
(conform STAS 1753-60)**

Rezoluție granulație din ţară	Sistem metrică	țeluri	Dimensiunile granulelor în micrometri	Fraca prima cînd ca lățimea deschiderii libere a ochiului, în micrometri	
				1	2
200	10	2500 - 2000	2500	2000	
160	12	2000 - 1600	2000	1600	
125	16	1600 - 1250	1600	1250	
100	20	1250 - 1000	1250	1000	
80	24	1000 - 800	1000	800	
63	30	800 - 630	800	630	
50	36	630 - 500	630	500	
40	46	500 - 400	500	400	
32	56	400 - 315	400	315	
25	60	315 - 250	315	250	

Tabloul 10 continuare

G	1	2	3	4
30	70	250 - 200	250	200
16	80	200 - 160	200	160
12	100	160 - 125	160	125
10	120	125 - 100	125	100
8	150	100 - 50	100	50
6	180	80 - 63	80	63
5	230	53 - 50	53	50
4	280	50 - 40	50	40
H 40	320	40 - 28	-	-
H 28	400	28 - 20	-	-
H 20	500	20 - 14	-	-
H 14	600	14 - 10	-	-
H 10	700	10 - 7	-	-
H 7	800	7 - 5	-	-
H 5	900	5 - 3	-	-

În lucrare [120] se recomandă ca productivitatea muncii în funcție de granulația segmentelor abrazivi să se calculeze după relație :

$$\eta = C_{ge} \cdot \epsilon_g^{0,32} \left( \frac{g}{cm^2 \cdot h} \right) \quad (7.4)$$

unde:

$\eta$  este productivitatea muncii ( $cm^3/cm^2 \cdot h$ ) ;

$C_{ge}$  - coeficient care depinde de condițiile concrete în care se desfășoară procesul de tăiere ;

$\epsilon_g$  - mărime de granulație în sistemul metric.

Relația de mai sus este aplicată în cazul segmentelor abrazivi cu liant hidrolitic.

Cercetările influenței granulației segmentelor abrazivi asupra productivității muncii sunt considerate ca o problemă actuală a producției.

Pentru a obține rezultate ca și precum posibil, autorul a efectuat numeroase experimentări cu segmenti abrazivi din ceramice de siliciu cu liant coagulând având granulație diferită.

Experimentările s-au realizat cu 10 bucăți pentru fiecare granulație și segmentul.

Părametrii experimentărilor căut următorii:

Viteză axială de dubo-vîză  $v_a = 15,5 \text{ m/min}$ ;

Viteză periferică  $v_p = 65 \text{ m/min}$ ;

Precizarea specifică a segmentelor abrazivi

$p = 15 \text{ daN/cm}^2$ ;

Timpul de lucru  $\tau = 1 \text{ min.}$

Răsultatele experimentărilor sunt prezentate în figura 72.

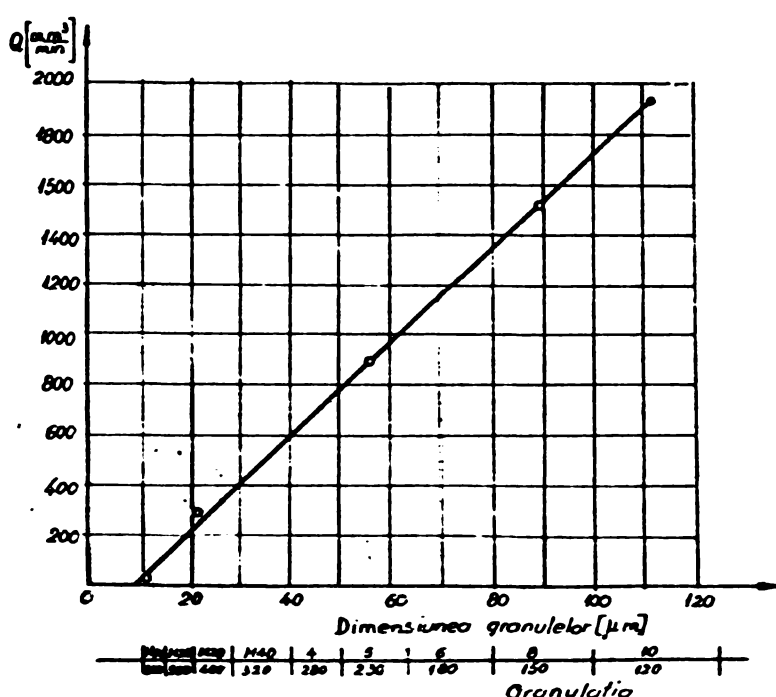


Fig.72 - Influența granulației abrazive asupra produtivității unorui în procesul de bormire

In figura 72, pe abscisă se prezintă dimensiunile granulelor segmentelor respectivi.

Se obține că, pentru fiecare granulație, dimensiunile granulelor există într-o limită stabilită (tabelul 14). Cercetările recente au arătat că distribuția dimensiunilor granulelor prezентate în aceeași granulație respectă legea de distribuție a lui Gauss, în care granulele care au dimensiuni mai mari se găsesc în proporție majoritară [113: 205] de aceea se poate considera că, granulele cu dimensiuni medie este elementul reprezentant ca caracteristica segmentului abraziv respectiv. Pe

bune segmentelor de rai din care se reprezintă diagrama productivității în funcție de dimensiunile medie a granulelor segmentelor abrazivi.

Răsultatul experimentelor arată că productivitatea muncii este direct proporțională cu mărimea granulelor segmentelor abrazivi folosite. Prelucrarea matematică a rezultatelor experimentelor se rezolvă cu ușoarță următoare :

$$Q = a \delta + b, \quad [\text{m}^3/\text{min}] \quad (7.5)$$

unde:

$Q$  este productivitatea muncii  $[\text{m}^3/\text{min}]$ ;

$\delta$  – dimensiunile medie a granulelor segmentelor respectivi;

$a, b$  – coeficienți constanți care depind de condițiile concrete în care se desfășoară procesul de lucru. Valoarea lui „ $b$ ” este negativă, ceea ce arată că la prelungirea unui segment abraziv pe o fină, productivitatea muncii este neglijabilă.

În cazul de față, s-a găsit valoarea  $a = 18$  și  $b = -100$ .

Din răsultatul experimentelor anterioare rezultă că, procesul de cădăciere este înscăunat, cădăcă productivitatea muncii este neglijabilă când se prelucrează un segment cu granulație : H 20, H 16, H 10, H 7, H 5 (600, 700, 800, 900, 1000).

Cu mărimea dimensiunilor granulelor abrazive crește și productivitatea muncii, ceea ce datorită faptului că cu cât este mai mare dimensiunea granulei, cu atât este mai mare adâncimea de pătrundere în materialul semifabricatului. Creșterea dimensiunii granulei ducă la mărimea rezulată de acțiune a granulei „ $\beta$ ”, [5, 255] și adăzi că aceasta și mărimea rezistenței granulei, ceea ce permite o pătrundere mai adâncă în material. Granulele de dimensiuni mai mici fiind mai puțin rezistente, se distrug într-un interval mai îngust, ambigiu și din acest motiv, ceea ce ducă la scăderea productivității.

Nodulul de granule ce revin pe unitatea de suprafață a sculei abrazive că și numărul de granule active se micorează adăzi cu mărimea dimensiunii granulei [5]. De aceea forța care acționează în acest loc asupra fiecărei granule, crește în condițiile menținării neechivalente a forței totale de oprire a segmentelor abrazivi pe suprafață ce se prelucrează. Granulele abra-

stive pătrunde și aduce în material, se adrește ocazională echilibrului detăpată și împreună cu aceasta crește intensitatea îndepărțării aderenției de prelucrare. În condițiile folosirii sculelor cu granulație mai fină, valoarea de granule active este mai mare și corespondentă adâncimii de achiziție este mai mică. Recomandarea adâncimii de achiziție este condiționată în cazul de fapt <sup>încercării</sup> de microscopice ce revine ~~de la~~ <sup>incercării</sup> prelucrării granulelor, care își dă licență și în consecință și posibilitatea lor de penetrare în metal este mai mare în cazul granulațiilor brute.

Este necesar de menționat că cercetările cercinilor de știință au ajuns la următoarele concluzii valoroase : În homod, cu cît dimensiunile granulelor stressive sunt mai mari, cu atât capacitatea de achiziție este mai intensă, însă procesul se desfășoară numai pînă la o cantitate limită; dacă se adrește dimensiunilor granulelor obiective, intensitatea de achiziție a segmentelor obiectiv se dezvoltă și mai scăzut [232] totodată cu un specif - ed crește [233]. Granulația segmentelor stressivi care corespunde la ocoaștili limită este  $g_0 = 3$  (150) [232]. Recomandarea segmentelor stressivi cu granulație care corespunde limitei de mai sus este cel mai eficient din punct de vedere economic.

Diagrama din figura 72 se poate folosi în mod deosebit de precis, acestora pentru că se confirmă cercetările teoretice cu rezultatele obținute prin experimentările efectuate la un măsurători de pieze.

## CAPITOLUL VIII

### PROBLEME TEORETICE (I) EXPERIMENTAȚII PE PIESE RĂZLAȚATE INFLUENȚA SUPERFECȚII PREZENTATE ÎN CONTACT

Se știe că, la toate piesele, împărtășătoarele mecanice, pe suprafațe lor există o carcasă uniformă a rugosității. Rugositatea este unul dintre cei mai importanți factori care determină calitatea stratului superficial al pieselor, influențând în mod bătătoritor comportarea și durabilitatea organelor de mașini. Un interes deosebit prezintă influența rugosității suprafețelor care în timpul funcționării realizează un contact activ, adică un e deplasare relativă una față de alta.

Influența rugosității suprafețelor organelor de mașini trebuie examinată sub următoarele aspecte: rezistență la uscare a suprafețelor în contact, rezistență la coroziune, rezistență la oboseli și materialul piezelor în măsură cu care să cind și menținăre pe o perioadă cît mai mare a ajutorului preconizat pentru o anumită îmbinare.

Numerosele cecetări experimentale efectuate pînă în prezent arată că în îmbinări, contactul dintre suprafețele piezelor pezochi nu are loc pe toată lungimea nominală și teoretică de contact L (fig.73) impusă prin condițiile tehnice respective, ci nu -mai pe același număr determinate de virturile asperităților (fig. 74). Vîn cecetări ceeașd suprafața efectivă de contact este mai mică decât suprafața nominală, fapt de care trebuie să se țină seama în calculul prestărilor specifice și al rezistenței la uscare.

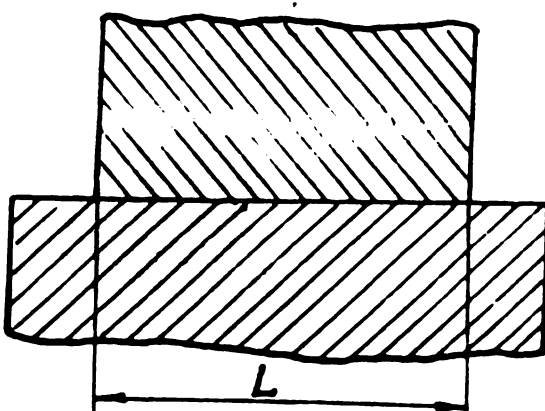


Fig.73 - Lungimea teoretică de contact în casul unei asamblări

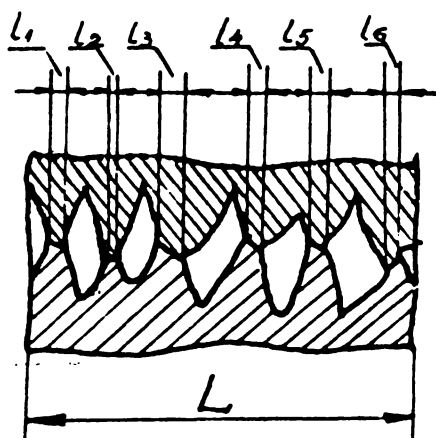


Fig.74 - Suprafața portantă a microreliefului

Diferențe dintre suprafața nominală și suprafața efectivă de contact se poate exprima prin coeficientul de portanță „ $\kappa$ ” egal cu raportul dintre suma proiecțiilor  $l_1 + l_2 + \dots + l_n$  ale lunginilor portanților de contact pe o axă paralelă cu liniile care reprezintă suprafața teoretičă și lungimea verticală de contact  $L$  (fig.74) adică :

$$\kappa = \frac{l_1 + l_2 + \dots + l_n}{L} \quad (3.1)$$

Rezultatele cercetărilor experimentale arată că la suprafețele prelucrate prin metodele obișnuite, ca strunjire, gălăzire, frezare, abrasie etc., coeficientul de portanță este cuprins între  $0,15 \dots 0,25$  ; la suprafețele rectificate fin au depășit valoarea  $0,50$  iar la suprafețele prelucrate prin bormire poate ajunge la  $0,90 \dots 0,97$  [46, 65].

Dacă se ține seama și de abaterile de formă geometrice ale suprafețelor, valoarea coeficientului de portanță scade uneori și mult. Această fapt duce la creșterea exponențială a presiunilor specifice, provocând depășirea tensionilor admisibile, și apariția deformărilor plastice și distrugerii asperităților (particulele de metal rezultate vor lucea ca abraziv) și în ultimă instanță unea întocmai a piezelor. Conform curbei experimentale reprezentată în figura 75.

Mărimea uzurii depinde în răsărită însemnată de forme asperităților, iar acesta este funcție de procesul de prelucrare și de regimurile de lucru. De obicei, asperitățile subțiri duc o mai mică suprafață efectivă de contact și se umesc și repede deasupra

asperitățile groase. Aceasta se întâmplă întotdeauna atunci că perioada de uzură inițială, după care se observă de multe ori că rezistența la uzură a suprafețelor cu asperități subțiri crește în comparație cu rezistența suprafețelor care inițial au avut asperități groase (Fig.76). Pentru a explica acest fenomen se observă că în cazul suprafețelor cu asperități subțiri (decid mai multe pe unitatea de suprafață) poliulele de lubrifiant se întorcuse, întrevedind frecuente ușoare care năresc uzura. Frecuente ușoare se întâlnesc și pe o porțiune destul de mică, uzura fiind limitată mult ca întindere și intensitate. În cazul suprafețelor cu asperități groase (mai puține asperități pe unitatea de suprafață) frecuente ușoare se răspindesc pe o scăzută întindere și rezistența la uzură este mai redusă.

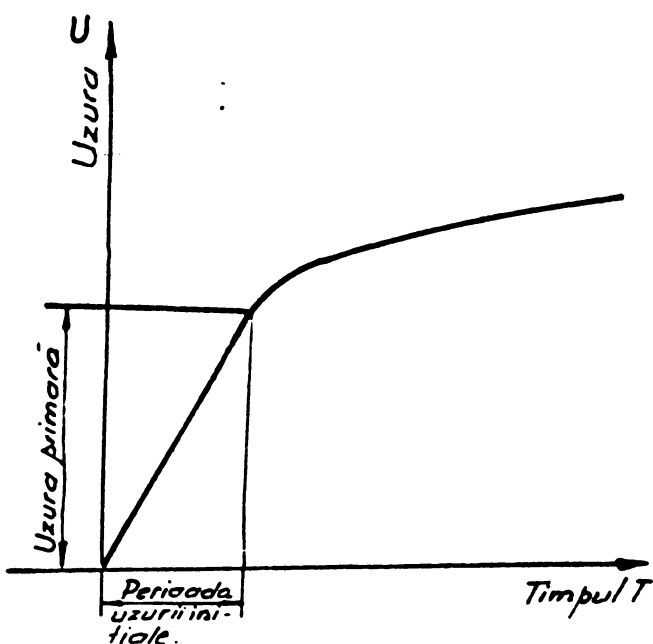


Fig.75 - Uzura în funcție de durata de lucru

Rezistența la corozie a suprafețelor depinde într-o altă măsură încunoscătoră de mărimea asperităților după prelucrările de finisare, asperitățile mai mari și mai acuțite fiind mai interese corodante. Corozionele asperităților sunt în general ocolării corozorii și variază obiznuită în sensul că în prime perioade de funcționare sunt loc de corozie interioară, care apoi se stabilizează la valori mult mai reduse.

In ceea ce privește influența suprafeții suprafeteelor supre  
pre rezistenței la oboseli și piezelor, făcările suprafeților  
constituite în grosul, concentrații de tensiuni cu stăt mai mari ca  
cît suprafețile cînt mai finale. Din această cauză, pe suprafețe  
rugosul și piezelor expuse la exerciții din care varisibile pot apă-  
rea rîuri foarte impetuose. În influență defectelor de construcție,  
deconcentrații materialului, inclusiunilor etc., o astfel de rî-  
uri se manifestă și se difuzează cît mai rapid, putind duce la  
distragerea piezelor.

Din analizele de mai sus se poate în evidență că le pro-  
ducătoarele cîrligilor de cilindru, piezale care lucrează în condiți-  
ile urmări intensiv, pentru mîrime durabilității lor se con-  
sideră rezistență destul, procesul prelucrării prin aleasare se realizează  
cu avansuri foarte zânc pe urmă obținerea suprafeților subțiri,  
iar procesul de finisare se recomandă ca cel mai avantajos dacă  
se realizează prin homogene. Aceasta conduce la reținerea suprafe-  
ților rîsește după procesul de aleasare ceea ce durează în creștere du-  
rabilității piezelor respective fără niciun inconvenit.

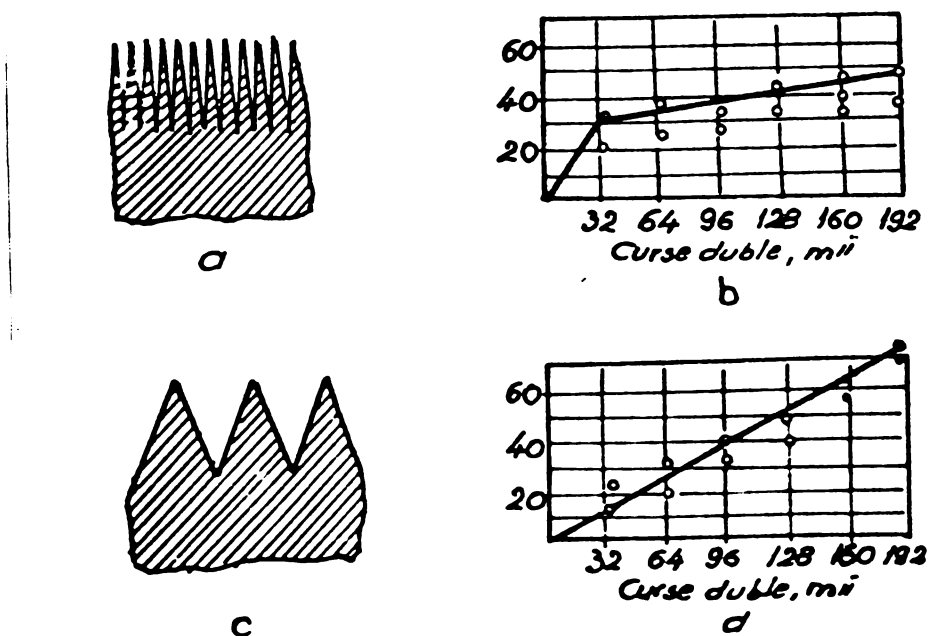


Fig.76 - Tipuri de rugosități și curbele caracteristice  
ale usurii corespunzătoare tipurilor de rugositate [65]  
a) suprafeță subțiri; b) curbe caracteristice a usurii  
pentru suprafeță subțiri; c) suprafeță groase ;  
d) curbe caracteristice a usurii pentru suprafeță groase

Evident că, piezale cu rezistențe mai mici decât cele optime duc la micșorarea durabilității lor, dar aceasta dincolo de condițiile funcționării concrete existente. În întotdeauna cu cît rezistența suprafeței prelucrate este mai ridicată, cu atât se este mai utilă. Aceasta pentru că, în primul rînd, prelucrarea piezelor le o rezistență mai superioră decât este necesar, ducând la o complicație a procesului de producție, cît din punct de vedere al tehnologiei fabricației cît și al organizării producției. În consecință, partea de cost pentru prelucrarea piezelor respective se aduce, iar procesul de fabricare nu aduce în prim plan eficiențul economie. În al doilea rînd, din punct de vedere al durabilității ce să fie că, un în orice casă cu cît rezistența suprafeței de lucru este mai ridicată, timpul de funcționare al piezelor respective este cel lung. Aceasta în special în situația unde piezalele conjugate lucrează sub presiuni specifice mici, și în condiții de temperatură insuficientă ca și grupul piston-cilindru, dacă se adaugă rezistență suprafeței cilindrului la o viteză mult mai mare decât este necesar, atunci capacitatea de reținere a metalului de temperatură pe suprafața cilindrului va fi mai redusă. În timpul funcționării motorului, sub presiunea specifică mica a pistonului, aceea acționând totuși pe suprafața de lucru a cilindrului și care provoacă exercitarea ulterioră de temperatură casă existentă între suprafața de lucru a cilindrului și a pistonului, procesul se desfășoară ca săt și intenție ca cît rezistența suprafeței de cilindru este un mare decât viteză optimală. În consecință se ajunge la o creștere intensă a vîrstăi piezelor în semiblocuri respectivă și elas a cilindrilor de cilindru [ 15 ].

Pentru că se apără ca rezultat că există o rezistență optimă a suprafețelor piezelor în frecare, unde viteză de lucru a piezelor respective în mișcare este minimă.

Pentru cilindri de cilindru, s-a stabilit că, rezistența optimă a suprafeței de lucru este de clasa a 9-a [ 90; 74; 161; 166; 187; 236; 237 ].

Pentru caracterarea rugozității suprafețelor prelucrate prin băncuire, teste experimentale au efectuat astfel :

- Capul de băncire cu 6 segmenti abrazivi, care au dimensiunile  $10 \times 10 \times 125$  mm ;

- Heterogenul segmentilor abrazivi este din cartușii de siliciu cu fier obișnuit ;

- Lărgimea de desprăjire a segmentelor obrazivii la capetele cîndiilor „I<sub>d</sub>” = 30 mm.

Lichidul de răcire este petrol lampant, debitul de 12 l/min distribuit uniform în timpul de bominire pe suprafață interioară a cîndiilor.

Pentru măsurarea rugosității suprafeței prelucrate, s-a folosit rugosimetrul electronic (P.C-3). Capacitatea de măsură a aparatului este cuprinsă între limitele de clasă 5 și 12.

Pentru evitarea eroziilor măuritorilor, piezele experimentate după bominire se spală pentru a fi perfect curate și să devină foarte stâncoase.

Piezele experimentate au rugositatea inițială  $R_a = 2 \pm 3 \mu\text{m}$ .

### 8.1. Înfluența presiunii specifice a segmentelor obrazivii asupra rugosității suprafeței bominite.

Pentru a cerceta cum influențează presiunea specifică a segmentelor obrazivii pe suprafața prelucrată asupra rugosității piezelor bominite s-a efectuat numeroase experimentări, și astfel pentru bominare de degresare și pentru cea finală.

Pentru a putea observa în evidență concluziile generale necesare, totodată și pentru a putea compara influența dintre bominare de degresare și cea de finisare asupra rugosității piezelor bominite, experimentările s-au efectuat cu un număr de patru comuni dintre care :

$$\text{Viteză periferică} \quad v_p = 65 \text{ m/min} ;$$

$$\text{Viteză axială de deservire} \quad v_s = 13,5 \text{ m/min} ;$$

$$\text{Timpul de bominare} \quad T = 1 \text{ min.}$$

La bominarea de degresare s-a folosit segmenti obrazivi cu granulație 8(150) iar la cea finală granulația de 11 23 (400).

Experimentările s-au efectuat la 6 buclări pentru fiecare viteză și presiune specifică respective.

In figurile 77 și 78 sunt indicate diagramele care reprezintă influența presiunii specifice a segmentelor obrazivi asupra rugosității suprafeței prelucrate prin bominare.

Literatura de specialitate precizează că rugositatea suprafețelor bominite este proporțională cu presiunea specifică, astfel ca cât presiunea specifică este mai mare, ca și rugositatea suprafețelor bominite este mai ridicată [32; 236]. Înă-

rezultatele corectărilor autorului aplică altfel.

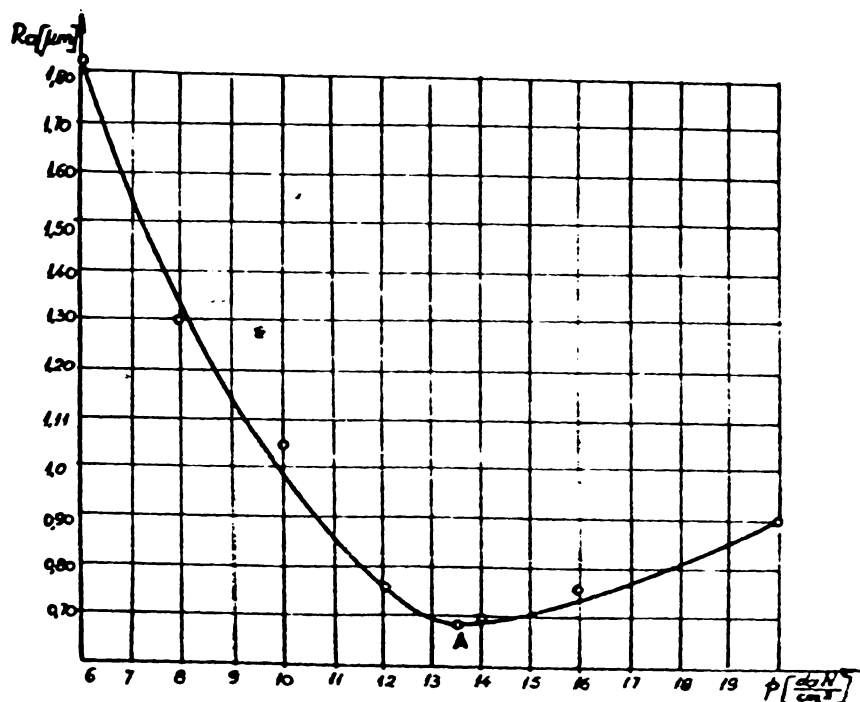


Fig.77 - Influența presiunii specifice a segmentilor obiectiv asupra rugosității suprafeței prelucrate prin bămîrse de degroșare

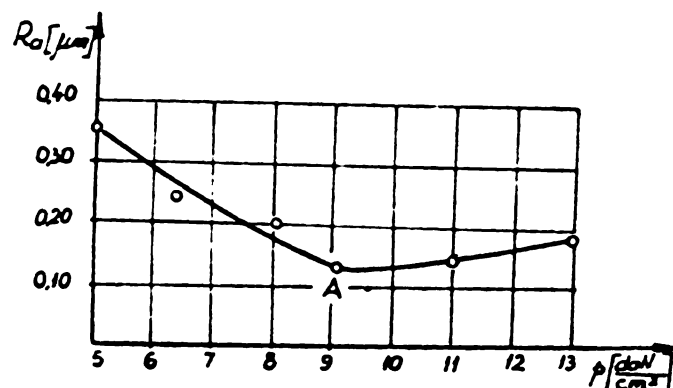


Fig.78 - Influența presiunii specifice a segmentilor obiectiv asupra rugosității suprafeței prelucrate prin bămîrse finelit

Atât la bămîrse de degroșare cât și în ceea de finisare se ajunge la următoarele concluzii:

1. Degroatostenii suprafeței bănite este foarte mare în cînd în ceea ce priveste specificul aplicat este mic ; cu cît se

rezistențe preștiințe specifică cu sătăcirea suprafetei boruite se întăresc. Acestea se explică prin faptul că la preștiințe specifică adică nu se va produce ochiuri, ci are loc alcunecarea granulelor abrazive pe suprafața semifabricatului. Această alcunecare este însoțită de deformările plastică a metalului, care se dezvoltă în jurul granulei abrazive [112]. Această funcție duce la reducerea capacitatii de rezistență a asperităților, care au rămas pe suprafața semifabricatului de la operăția prelucrării precedente, de către granulele abrazive. Cu cît preștiința specifică este mai mare, cu cît capacitatea de rezistență a granulelor este mai ridicată. Aceasta contribuie la creșterea capacitatii de rezistență a asperităților mari, astfel rezistența suprafeței boruite se întărește.

Rugositatea suprafeței boruite va ajunge la o valoare săzinhă corespunzătoare preștiinței specifice optime.

2. Dacă se continuă sărirea preștiinței specifice, atunci datorită forței de apăsare prea mari, granulele intră foarte adânc în metal, în consecință rugositatea suprafeței boruite se întărește. În plus, preștiința specifică mare provoacă intensitatea schimbărilor segmentelor abrazivi, și deci rezultă că granulele abrazive se găsesc între suprafața prelucrată și segmentii în căldură mult prea mari, în timp ce capacitatea de apăsare a lichidului de răbăire este din ce în ce mai slabă. Procesele ochiierii și particulele abrazive nu sunt evocate de pe suprafața prelucrată, ceea ce duce la înrăutățirea rezistenței suprafeței boruite.

În prima perioadă (la stinge punctului A (fig.77), la boruirea de degroșare, capacitatea de rezistență a suprafeței prelucrate în funcție de preștiință specifică se dezvoltă mult mai rapid decât în comparație cu boruirea finală (fig.78), aceasta pentru că la boruirea de degroșare, capacitatea de rezistență a asperităților ochiierii este mult mai intensă decât aceea în casul finisajului.

Punctul de preștiință specifică optimă, unde rugositatea suprafeței prelucrate este minimă, în cazul degroșirii este mai mare ( $p = 13,5 \text{ def/cm}^2$ ) decât în cel al finisajului ( $p = 9 \text{ def/cm}^2$ ). Aceasta datorită faptului că la finisare se folosesc segmenti abrazivi fini, de regulă, care se adună foarte ușor în condiții de preștiință specifică relativ mică. În consecință se ajunge la

Inceperea fărățăririi este înzintă suprafetele piezelor prelucrate mult mai devreme.

### 8.2. Înfluență tăcăului de băncire asupra rezistenței graniței haurită

Experimentările s-au efectuat cu uzințorii paracetamili:

Pentru haurirea de degresare :

Viteză axială de deschidere	$v_a = 13,5 \text{ m/min} ;$
Viteză periferică	$v_p = 65 \text{ m/min} ;$
Precizunea specifică a segmentelor obrazivă	$p = 15 \text{ daN/cm}^2 ;$
Granulația segmentelor obrazivă	3 (150)

Pentru haurirea fină :

Viteză axială de deschidere	$v_a = 13 \text{ m/min} ;$
Viteză periferică	$v_p = 77 \text{ m/min} ;$
Precizunea specifică a segmentelor obrazivă	$p = 9 \text{ daN/cm}^2 ;$
Granulația segmentelor obrazivă	1.28 (400).

Experimentările s-au efectuat cu 6 buști pentru fiecare interval de tip alorilor experimentare.

În figurile 79 și 80 sunt rădăcine diagramele obținute din experimentările de noi noastre.

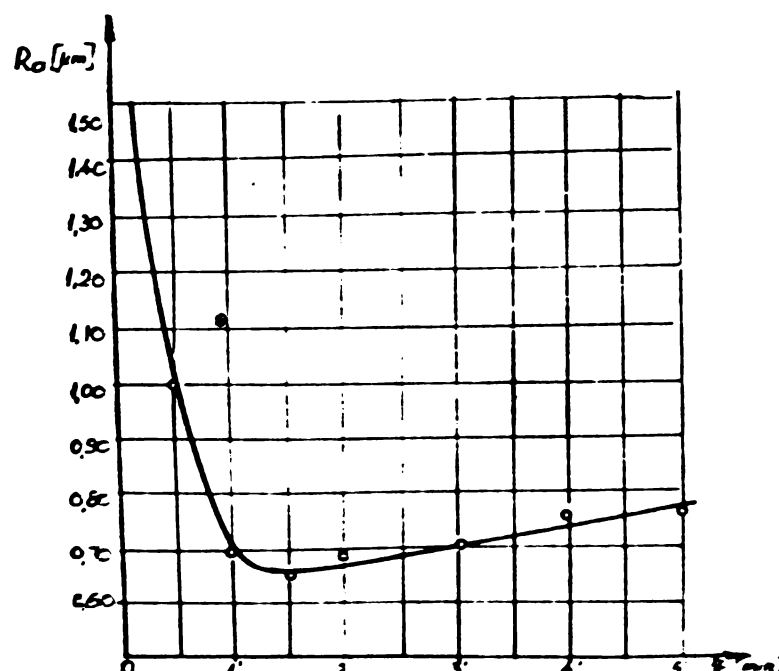


Fig.79 - Înfluență tăcăului de prelucrare asupra  
rezistenței suprafaței prelucrate prin haurire  
de degresare

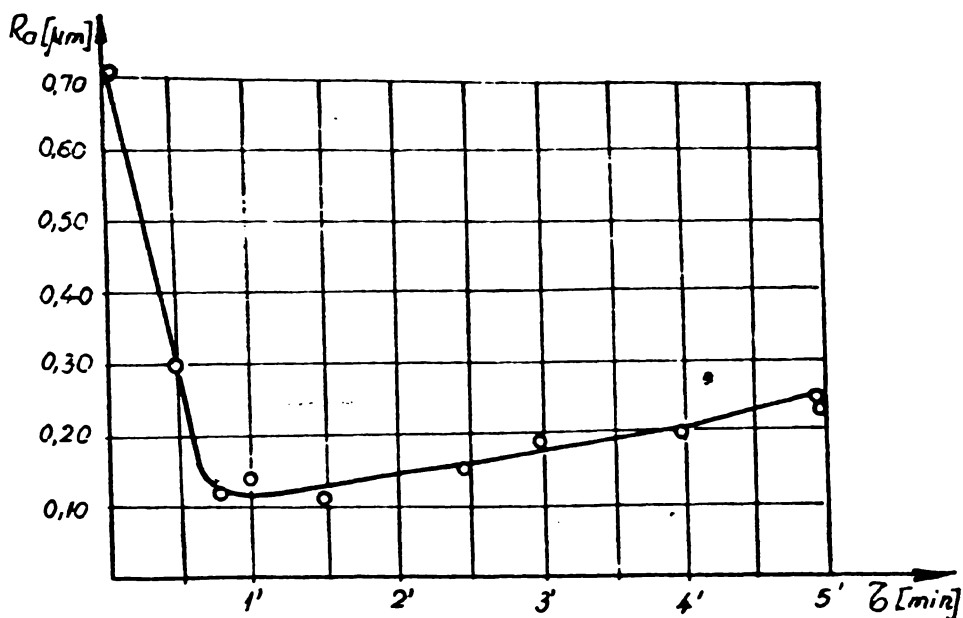


Fig.30 - Influența timpului de prelucrare asupra rugosității suprafeței prelucrate prin banișirea finală

In ceea ce priveste durata de degresare și a banișirii finale în primul moment, rugositatea suprafeței prelucrate se reduce brusc, după aceea reducerea rugosității suprafeței se continuă cu viteză mai lentă până la 1'30" pentru banișirea de degresare și la 40" pentru banișirea finală. De la acest moment încolăciunile banișirii, netezinse suprafeței un lucru că nu se mai întâlnesc, dar în zborul mică finește că se întâlnesc.

Reducerea rugosității în prime perioadele a banișirii este mare, deci reprezintă o capacitate de netezare intensă a suprafeților machiajului. După prelucrarea anterioră, la banișirea de degresare, suprafețele rămasă pe suprafațe piezelor căntării sunt decât la cea finală, de aceea timpul de netezare necesar este mult lung.

Din punct de vedere al zborului netezirii suprafeței prelucrate, caracteristică de căi sănătoșă călătorirea timpului de banișire sănătoșă decât este necesar (1' ÷ 1'30" pentru la banișirea de degresare și 40" și 45" la banișirea finală) un astfel, pe care el procesul de reducere al rugosității este finestat.

### 3.3. Influența vitezării oricără de date-zinc asupra rugosității suprafeței banișirii

Pentru a corecta acestă problemă suntem făcut experimentările cu utilizarea paravetăriei.

Viteza periferică  $v_p = 65 \text{ m/min}$  ;  
 Tiugă de bozire  $\tau_b = 1 \text{ min.}$

La degresare s-a bozit cu presiunea specifică  $p = 15 \text{ daN/cm}^2$ , iar segmentii strativi cu granulatul  $C_g = 8$  (150). La finisare s-a bozit cu presiunea specifică  $p = 9 \text{ daN/cm}^2$ , iar segmentii strativi cu granulatul  $C_g = 8.28$  (400).

La finisare valoarea a vitezelor alese pentru experimente, s-a bozit 6 cilindri de cilindru.

In figurile 31 și 32 sunt reprezentate diagramele care să ne traseze după rezultatele obținute prin experimentul I.

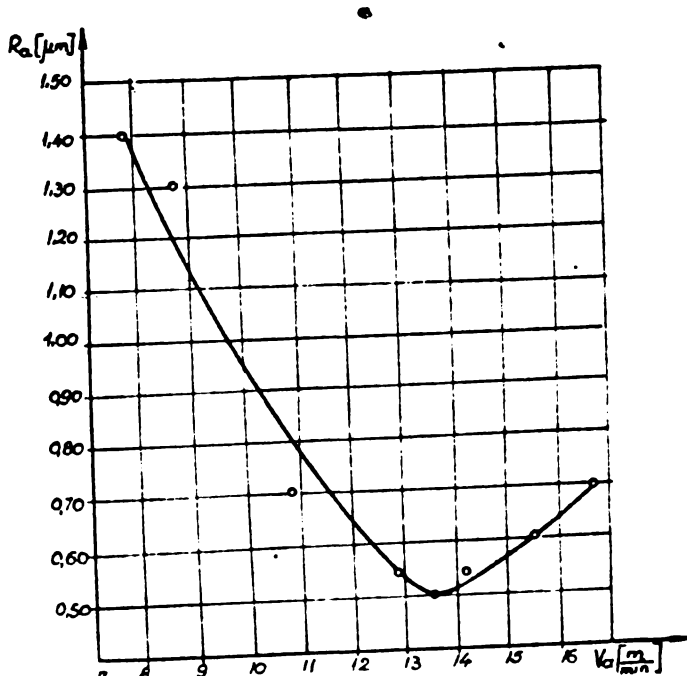


Fig.31 - Influența vitezelor axiale de date-vînt asupra rugosității suprafeței prelucrate prin bozire de degresare

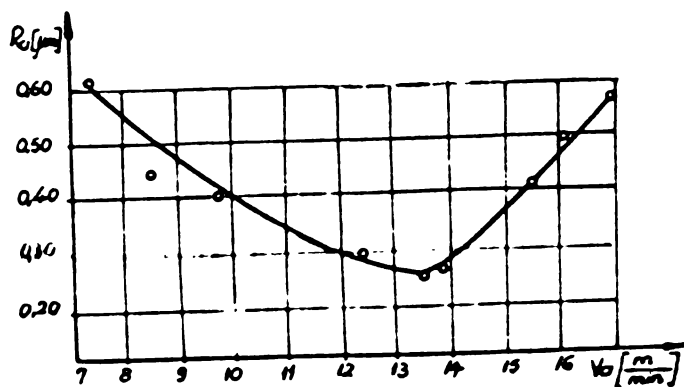


Fig.32 - Influența vitezelor axiale de date-vînt asupra rugosității suprafeței prelucrate prin bozire fină

Literatură de specialitate recomandă pentru obținerea unei netezini noi răfinate a suprafeței prelucrate, este necesar să se reducă viteză axială de dute-vino cînd deci se mărește viteză axială de dute-vino, atunci netezina suprafeței horuite se înrăutățește [32 : 236].

Rezultatele cercetărilor experimentale ale autorului arată astfel. În diagramele prezente se observă că, atât la degresarea cît și la finisare variațiile rugozității suprafeței prelucrate în funcție de viteză axială de dute-vino au următoarele caracteristici :

1. La o viteză axială de dute-vino relativ mică ( $V_a = 7 \pm 9 \text{ m/min}$ ) după horuire, înlăturarea separătăilor care au rămas pe suprafață prelucrată este mare, aceasta doborând faptul că pentru orice fel de segmenti abrasivi, la o viteză de dute-vino relativ mică, capacitatea de autoascatuire este foarte redusă, separătăii se întâlnesc foarte repede și suprafața prelucrată obținută are rugozitate sporită.

2. Prin mărirea vitezei axiale de dute-vino din ca în ce mai mult pînă la  $13,5 \text{ m/min}$ , rugozitatea suprafeței se micorează continuu, aceasta se explică prin influența factorului  $S$  a vitezei axiale de dute-vino asupra capacitatii autoascatuirii segmentelor abrasivi. Astfel cu cît viteză axială de dute-vino este mai mare, cu atît capacitatea autoascatuirii segmentelor abrasivi este mai puternică ; aceasta contribuie la intensificarea procesului rotărării separătăilor rămas pe suprafață prelucrată după procesul prelucrării precedente, procesul face ca netezina suprafeței prelucrate să se întărească continuu.

3. Pînă la o valoare stabilită a vitezei axiale de dute-vino ( $13,5 \text{ m/min}$ ) după ce continuu mărirea vitezei, atunci rugozitatea suprafeței se mărește. La valori mai mari ale vitezei axiale de dute-vino ( $V_a > 13,5 \text{ m/min}$ ) mărirea rugozității se explică prin înrăutățirea condițiilor de apăsare și evanescere a capătăilor și a granulelor abrasive amulie, care pătrundind în metal, doar parțial le ridică scurte dar adinele. Pe de altă parte, prin mărirea vitezei axiale de dute-vino, adică mărirea numărului de curse ridicate pe unitatea de timp, aceasta face ca mărirea vibrațiilor capătăilor de horuire, cu cît vibrațiile capătăilor de horuire este mai mare, cu atît rugozitatea suprafeței horuite este mai ridicată [32].

**3.4. Influența vitezei periferice asupra rezistenței  
superfetei bănuite**

Pentru a putea face comparație influenței dintre viteza periferică și cea de jude-vine asupra rugozității superfetei prelucrate prin bănuire, experimentările s-au repetat cu toți parametrii și teste condițiile la fel ca și în cazul cercetărilor efectuate la influența vitezei axiale de jude-vine asupra rugozității. Viteza axială de jude-vine s-a ales la valoarea optimă, unde rezistența superficială bănuite este maximă ( $v_a = 13,5 \text{ m/min}$ ).

La fiecare valoare a vitezei alese pentru experimente, s-a bănit 6 căndișuri de cilindru.

Rezultatele cercetărilor sunt reprezentate în Figura 33 în cazul bănuirii de degroșare și în Figura 34 în cazul bănuirii finale.

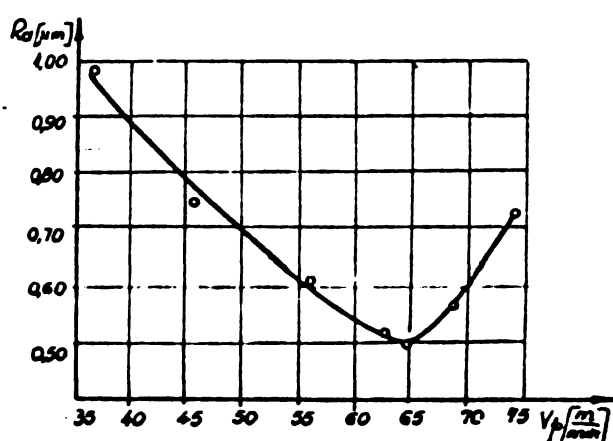


Fig.33 - Influența vitezei periferice asupra rugozității superfetei prelucrate prin bănuirea de degroșare

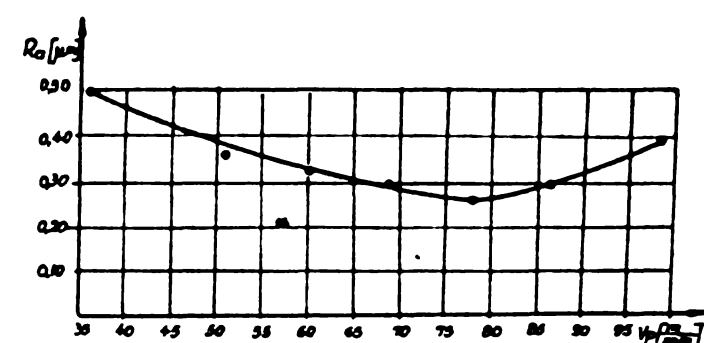


Fig.34 - Influența vitezei periferice asupra rugozității superfetei prelucrate prin bănuirea finală

Literatură de specialitate arată că la hominii, ca altă  
viteză periferică doar la creșterea netezimii suprafeței pro-  
luncute [75; 101; 236].

Corespunzătorile autorului arată că recomandarea de mai sus nu  
este justă.

Alte variații suprafeței homogene în cazul degresării și  
cel de finisare în funcție de viteză periferică are o formă as-  
emănătoare cu cea în cazul vitezelor oriale de fute-vino. O decoctere  
dinților să fie variația respectivă și suprafeței homogene în cazul  
variației vitezelor periferice este mult mai mică în comparație cu  
cazu vitezelor oriale de fute-vino, ceea ce pentru că capacitatea re-  
zistențării suprafețelor care se rămasă pe suprafațe ploacei în cazul  
vitezelor periferice este mult mai redusă decât în cazul vitezelor  
oriale de fute-vino.

În prime perioade, dacă se adresează vitezei periferice stâncii,  
dezechilibrele suprafeței homogene se întorc într-o legătură.

Dacă cum se spune, diferenții repartizările neuniforme și neuni-  
formne a granulelor abrazive în segmentii abrazive, în prima rotație  
a capului de homină, numai o proporție mică a acesteia și anume  
cele care se adresează pe suprafața de lucru a segmentelor stansive  
participă la apăsare, rezultând că pe suprafața ploacei există une  
neuniformități de către segmentii abrazivi, deci rugozitatea suprafe-  
ței homogene este mare.

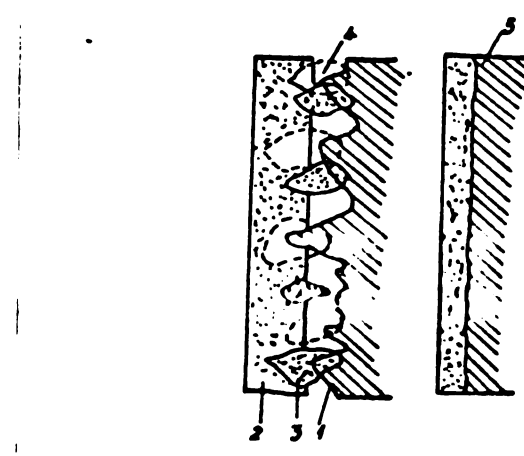


Fig. 85. : 1- Suprafața suprafeței lustrate de homină;  
2- segmentul stansiv; 3- granulele abrazive care parti-  
cipă la apăsare la prima rotație a capului de hon în  
(faza continuă); 4- granulele abrazive care participă la  
apăsare la rotația următoare (lînea întărită); 5- sup-  
rafața suprafeței capului homină.

Ca urmare vitezai periferice a copului de hoinare, numărul granulelor abrasive care participă la abraziune va fi mai mare, în consecință calitatea supaușei hoinite va fi mai joasă (fig. 35). Experimentările arată că, cu întărirea creșterea vitezai periferice donec la creșterea extensiei suprafeței hoinite. De asemenea în cazul vitezai axiale de hoinare-vino, prin variația vitezai periferice se poate găsi un punct optim unde cu valoarea vitezai respective, se obține o extensie superioară a suprafeței. După acest punct, deci se aduce viteză atunci se ajunge la faza de tăiere prelucrete.

S-a constatat că, hoinare cu vitezai periferici mari, acestea fac să rupă pelicula de lichid de ricină-ungură și datorită acestui fapt particulele de material îndepărătate ce căză de material abraziv se rănește și se adună pe stratul superficial al pielei hoinite cît că pe suprafața de lucru a segmentelor abrazivi. În consecință, extensia suprafeței prelucrete se întărește dințitor. În plus, trebuia să mențină că la atingerea unei anumite vitezai, segmentii abrazivi încep să se schimbe, chiar că se rapă încă pe suprafața prelucretă apăr risuri adânci.

Punctul unic cu o valoare a vitezai periferice respectivă se obține notabilă marindă a suprafeței, este diferit în cazul degresării făcute de cel al finisării.

În celelalte faze, de degresare și de finisare, extensia suprafeței începe să se întărească la o viteză mult mai mică în cazul de degresare decât în cazul finisării datorită faptului că în prima fază cantitatea de echilibru rănește pe suprafața de lucru în zonă prelucretă este mult mai mare, știind că acestea sunt la răndul lor extensia notabilă a suprafeței.

### 3.5. Înfluența populării segmentelor abrazivi asupra rezistenței suprafetei suprapusei hoinare

Testele constatările acordă probleme cu tot experimentările cu variația parametrilor :

Viteză axială de hoinare-vino

$v_a = 13,5$  m/min ;

Viteză periferică

$v_p = 65$  m/min ;

Prințul specificat a segmentelor

abrazivi :

$p = 11 \text{ def/cm}^2$  ;

Rezistența este realizată cu 6 tocăți la același fel de populare a segmentelor abrazivi.

Timpul de lucru : 1 min .

Fiecare a putut avea o imagine evidentă saupea dependenței rugosității suprafeței hemicite în funcție de granulația segmentelor abrazivi, cum ridicat diagrama reprezentată în fig.36.

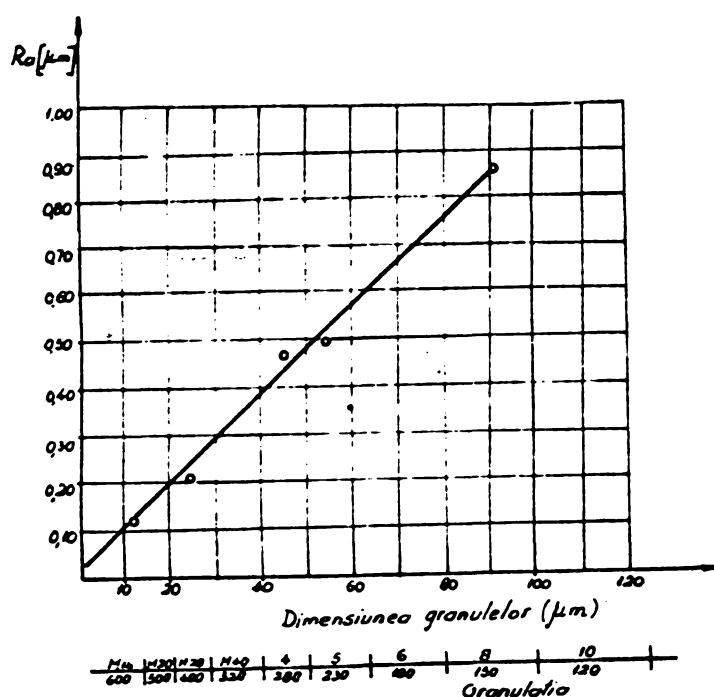


Fig.36 - Influența granulației segmentelor abrazivi  
saupe rugositatea suprafeței hemicite

Resultatele cercetărilor arată că, rugositatea suprafeței hemicite este direct proporțională cu mărimea granulelor segmentelor abrazivi, ca și cum să fie sănătatea unui om cu atât rugositatea este mai ridicată.

Să știm că în cazul aplicării abrazive, fiecare granulă abrazivă participă la aplicare, totuști în același mod corespunzător dimensiunile și forme granulei. Totuști aspect geometric individualiză segmentelor rezultante după fiecare prelucrare cu abrazive este direct legată de dimensiunile granulelor respective.

Poate că altă parte, la prelucrarea cu granulație mai brută, numărul granulelor abrazive care există în unitatea suprafeței de lucru a segmentelor abrazivi este mai mic în comparație cu cazul prelucrării cu granulație fină. Aceasta duce la creșterea forței care rezultă pe fiecare granulă aplicată, astfel încât granulele pătrând mai adânc în material, ceea ce duce la mărimea rugosității suprafeței prelucrate prin hemicire.

Diagrama de mai sus nu poate fi adăugată clarificarea compoziției granulației obiective la rezistențele suprafetei prelucrate, totodată noi ace valoare pentru a ajuta alegerile segmentelor obiectivi în funcție de rezistențele necesare suprafetei homogene.

Din cercetările efectuate rezultă că pentru obținerea rezistenții suprafetei homogene de clasa a 9-a, este necesară prelucrarea cu segmentii obiectivi cu granulație  $S_0 = H\ 40 \dots H\ 28$  (320...400).

Prelucrarea cu segmentii obiectivi cu granulație mai mică decât H 28 (400) nu este necesară și nici utilă. Cu cît granulația este mai fină cu atât urma specifică a segmentelor obiectivi este mai mare [25; 225; 231], aceasta determină faptul că punctele de linie sănătoase să fie subțiri decât segmentii obiectivi cu granulație grosolană și din cauza acestui granulele nu sunt finite atât de solid în ceea cea linia încât se pot amulge sau ușor. De aceea la acești segmenti densitatea medie a trăsurilor granulelor este mult mai mare, ceea ce rezistența liniei se va raporta la o granulă este mai mică. Din analizele de mai sus, se consideră că prelucrarea finală cu segmentii obiectivi cu granulație  $S_0 = H\ 28$  (400) este cea mai optimă.

### 3.6. Concluzii

1. Pentru prelucrarea de firiere și pieptelor cu pereti subțiri și cu calitate superioară atât din punct de vedere al precinzelor de feruți cît și al rezistenței suprafetei prelucrate cum arătă cînd cînd utilizările motoarelor D-105 se recomandă folosirea procedură de benzire. Aceasta prezintă avantaje mult mai mari în comparație cu alte procese. Prin benzire se realizează o calitate superioară a pieptelor prelucrate și o productivitate a muncii ridicată.

2. Dacă procesul de benzire prezintă multe avantaje, totuși rezultările obținute - atât calitatea pieptelor prelucrate cît și productivitatea muncii - depind în mod înțins de alegerile parametrilor tehnologici și procedură respectiv. La alegerile parametrilor tehnologici optimi este nevoie să se țină seama de condițiile concrete actuale de la casă la casă. La prelucrarea pieptelor

cu pareri subîntriuri trebuie să se țină seama de nevoile tehnice folosirii deformărilor formelor piezelor prelucrate care operează în încui procesul respectiv.

3. Valoarea parametrilor echilibrării în procesul de bunișare verifică întotdeauna nu numai la un proces al prelucrării piezelor respective, ci și la un ciclu de lucru (o cauză dublă). Acestea prezintă o complicație a procesului de bunișare și din această cauză în condițiile actuale este foarte greu să se obțină pieză cu calitatea superioară precrisă de norme tehnice. În lucrările de făță prin studiu și cercetare s-a plătit legile verișoarelor parametrilor de echilibrare principiali și procesului de bunișare, și totodată s-a stabilit valurile optime corespondente fiecărui parametru pentru prelucrarea cilindrelor de cilindru.

4. Pentru realizarea ridicării productivității muncii și obținerea calității superioare a piezelor prelucrate prin bunișare este absolut necesar ca prelucrările să se efectueze cu putin în două faze. La degroșare, pentru elagarea parametrilor optimi necesari echilibrării trebuie să se stabilească valoarea lor, care să producă productivitatea muncii ridicată și capacitatea de corectare a abaturilor de la baza piezelor cît mai mult posibil, iar la finisare să se țină seama de realizarea măsurării superioare a suprafeței prelucrate.

5. Capacitatea de corectare a abaturii de la forme geometricele și piezelor prin bunișare – stăt ovalitatea cît și conchidețea este limitată, de aceea trebuie să se caute toate posibilitățile pe care urmărește precizia piezelor în procesul de elagare mai des redusă, pe cît posibil, a ovalității.

6. Valoarea de depășire a segmentelor obrajivă la capetele cilindrilor este o influență importantă asupra capacitatii de corectare a abaturii formei piezelor bunișate. Cercetările experimentale confirmă existența posibilității de găsire a unei valori „ $l_g$ ” care face capacitatea de corectare a abaturii formei cilindrice ideală astfel formă piezelor bunișate nu să pară cilindrică. Este întotdeauna de observat că valoarea „ $l_g$ ” care dă capacitatea de corectare a abaturii formei cilindrice maximă, totodată ca să să poată de corectare maximă a abaturii formei circulare. Alegerea unei valori „ $l_g$ ” pe care să nu pară mult față de valoarea optimă dă la abaturile formei piezelor prelucrate laturile neregulat-

tă sau chiar mai mare decât statorul inițial.

7. Prezența specificăi exercitării de segmentări străvini pe suprafața pielei prelucrate este considerată unul dintre parametrii cei mai importanți și procesului de hranire. Aceasta influențează într-o măsură accentuată capacitatea corectării statorii formei piezelor prelucrate cît și a productivității muncii și a rugosității suprafeței hranite. Corectările demonstrează că presiunile specificăi nu sunt constante întotdeauna, valoarea ei se modifică permanent chiar într-un ciclu de lucru [125] ceea ce provoacă complicitatea slăgerii parametrilor de hranire. Deodată degreșarea se folosește o valoare a presiunii specifice optimă, atunci ca obținută în cursul o productivitatea a muncii rămășă că totodată se obține o capacitate de corecțare maximă a statorii formei piezelor și a rugositatea mărimii a suprafeței hranite. La finisare, valoarea presiunii specifice optimă, pentru care se obține o rugositate mică este mult mai redusă decât la degreșare.

8. Legile variației productivității muncii și cele ale rugosității suprafeței hranite (atât la degreșare cît și la finisare) în funcție de viteza periferică sunt acunune ce cînd în cursul vitezei axiale de date-vino. O dezvoltare este că variația vitezei periferice influențează atâtiva productivitatea muncii și a rugosității suprafeței prelucrate în sensul că este mult mai redusă în comparație cu cea în cursul vitezei axiale de date-vino. Atât la degreșare cît și la finisare pentru stabilizarea vitezelor optimă (pentru viteza axială de date-vino ca și pentru viteza periferică) se aleg valorile vitezelor corespunzătoare rugosității minime a suprafeței prelucrate, cu restricțiile respective. La finisare, pentru obținerea unei mărimi superioare a suprafeței prelucrate, valoarea optimă a vitezelor periferice este mult mai mare decât cea la degreșare, iar valoarea optimă a vitezei axiale de date-vino în următoare sunt asemenea figura 14.

9. Din punct de vedere al sculelor străvino, granulația segmentărilor străvino este un parametru deosebit de important. De multe ori, se consideră că, aceasta influențează direct capacitatea productivității muncii și a rugosității suprafeței prelucrate. Corectările experimentale efectuate de autor arată că, nă-

ace genunchilor segmentelor folosite în cunoscînd influențează atât  
pe productivitatea muncii și al rezistenței suprafeței hoinite  
în mod direct, dar influențează într-o măsură considerabilă și  
acestea capacitatea de rezistență a obiectelor formate pieptelor hoinite.

În legătură cu problema de vîză său și din rezultatele ex-  
perimentărilor realizate se desprind constatălile următoare: dacă  
capăt hoinicele de degajare, confabriile au obiectele de formă  
ridicabilă, atunci este necesară continuarea hoinirii de finisare  
(hoinire de hoinicele finale) fapt ce contribuie la mărimea preci-  
siei pieptelor prelungite între vîză și inserție.

În. Pentru ridicarea eficienței tehnico-economice a pro-  
cesului de hoinire, tipul de hoinice a fiecărei rame este limi-  
tat. Prelungerea într-un tip și nu într-un altul ca optim nu se recomandă, pentru că atunci capacitatea de rezistență efectuatelor de seg-  
mentii obiectiv va fi foarte redusă, iar unica specificație a segmentelor obiectiv este ridicabilă. În plus calitatea suprafeței prolu-  
cute în cunoscînd că nu se întâmplă să nu ajunge obiectul la  
inserție și, nu atât în cunoscînd hoinirea finală.

### CONCLuzIi GENERALE

1. La recondiționarea cădiilor de cilindru, în condiții seculare din întreprindere, cîtătălătoare și productivitatea muncii este foarte redusă. Aceasta datorită faptului că piesele sunt vîrtește neuniforme, suprafața stratului de metal apăsat prin aleagerea cădiilor este neuniformă și are durată scurta, rigiditatea cîntecului tehnologic este mică etc., iar la baniere, piezile cu abaterile mari de formă rezultate din procesele prelucrării anterioare și alegerea parametrilor de apăsare este necoresponsabilă.

2. Rezultatul cercetărilor teoretice și experimentale ne arată că înlocuirea capului de aliesat cu un cîngur cuțit, care se aplică în momentul de făță în toate întreprinderile de reparație cu eșal sau mai multe cuțite, contribuie la mărirea preciziei de formă și de dimensiune a pieselor prelucrate într-o măsură însemnată. Totodată se mărește și productivitatea muncii.

3. Aplicarea metodelor de apăsare prin divizarea cîngurului este întotdeauna mult mai superficială decât apăsarea prin divizarea abecoului. La recondiționarea cădiilor de cilindru ale motorelor D-103, pe vîrstă de aliesat vîrtical se consideră că folosirea capului de aliesat cu 6 cuțite este mult superioră.

4. Capacitatea de corectare a abecoului de formă în procesul de baniere (cîtătălătoare și conicitătă) este limitată. De aceea este necesar ca în toate măsurile pentru mărirea preciziei pieselor prelucrate din operația precedentală. Precizia inițială nu cumva că contribuie la mărirea preciziei pieselor recondiționate și că contribuie și la mărirea productivității muncii la procesul de baniere.

5. Procesul de baniere este foarte complicit, cîtătălătoare și productivitatea muncii este influențată direct de numeroși parametri. Dacă alegerea parametrilor banierei este necoresponsabilă, atunci calitatea pieselor baniuite, nu și precizia de formă a pieselor baniuite, nu se îmbunătățește și se înrăutățește iar productivitatea muncii se reduce. Cercetările recente arată că, pentru piesele din fontă, dacă alegerea parametrilor optimi și corespunzători, acesta conduce la mărirea

productivității specifice a procesului respectiv de la 40 pînă la 90 ori sau mai multe [5].

6. Dintre numeroasele parametrii și bormirile care influențează precizia de formă a piezelor prelucrate, cei mai importanți sunt lungimea de desfășurare a segmentelor abrazivi la capătul cilindrilor „ $l_g$ ” și precizia specifică a segmentelor pe suprafața bormită „ $p$ ”.

Cercetările experimentale întreprinse confirmă că abrazurile de la forme geometrice a cilindrilor de cilindru pot fi mai mari decât cele inițiale dacă elegerile valurilor „ $l_g$ ” și „ $p$ ” este necorespunzătoare.

7. În general, cu râurile „ $p$ ”, „ $V_p$ ” și „ $V_g$ ”, productivitatea unorii se ridică, însă aceasta este limitată de numeroși factori, mai ales de rigiditatea sistemului tehnologic, de calitatea piezelor prelucrate, de precizia respectivă a segmentelor abrazivi, de căldura dărgăjătoare etc.

8. Variatia suprafeței suprafeței bormite în funcție de „ $p$ ”, „ $V_g$ ”, „ $V_p$ ”, „ $V_g$ ” se dezvoltă după o legă neobișnuită, diagramele reprezentative au un punct minim, care demonstrează că pentru bormirea cu valoarea respectivă se obține următoarea suprafață a suprafeței. Rezultatul cercetărilor experimentale arată că în realitate este pe deplin posibil stabilizarea valorilor optime ale parametrilor „ $p$ ”, „ $V_g$ ”, „ $V_p$ ” pentru obținerea suprafeței mînăse a suprafeței bormite.

C O N C L U S I O N I

In urmările teoretice și experimentale se fac următoarele recomandări:

1. La aleasene cilindrilor de cilindru recondiționate se recomandă aplicarea capului de aleaset cu zei multe cușite (6 cușite) prin divizarea evenimentului. Parametrii de apăsare optimi se pot găsi în capitoalele respective în lucrările de fată.

2. Dacă de eșeuare se obține conform atârnii „J” sau „F” din tabelul 5. în ambele operații de prelucrare (aleasare și homogenizare) trebuie aplicată benzarea de apăsare unică.

3. Pentru a înrăsuia eficienței procesului de recondiționare trebuie luate toate măsurile posibile pentru sărarea precisiilor piezelor aleasente.

4. Parametrii optimi stătă pentru homogenizarea degresării cît și cu finalitate la recondiționarea cilindrilor de la motorul D-103, se găsesc în capitoalele respective în lucrările de fată, menționându-se că, dacă după homogenizare prealabilă, piezile homogene au dimensiuni mari de formă, în acest caz, se recomandă realizarea homogenizării în trei faze.

Contributeții personale

Unele din problemele abordate și tratate în lucrările de doctorat au un caracter original. Altele, cu un caracter de apăfundare fenomenologică și mai strânsă efectuate de alți cercetători. Din acest punct de vedere se pot arăta următoarele :

1. Pe baza analizelor sistematice și științifice ale factorilor care influențează compoziția calității și productivitatea muncii la recondiționarea cilindrilor de cilindru s-a elaborat metodologia cercetărilor experimentale pentru obținerea rezultatelor necesare.

2. Pe baza studiului profund teoretic, se proiectează și realizează un cap de aleaset original cu 6 cușite. Cu ajutorul acestui dispozitiv s-a efectuat toate experimentările necesare.

Copii de aleset proiectat peste folosi destul de bine și în producție.

3. Pe baza rezultatelor experimentale care au o deplină concordanță cu cele teoretice, se precizează soluția care mai bună protejează elanțoarele cintăgăilor cilindrilor pe cruce de aleset vertical. De asemenea se stabilește parametrii de aghiozare optimă. Aceștia sunt prezentate în capitolele respective și în colecțiile lucrării de referință.

4. Stabilirea legii influenței precum și a segmentărilor obrazivii asupra preciziei pieselor benzuite. Această legătură se dezvoltă după diagrama reprezentată în figura 36.

5. Pe baza rezultatelor experimentale, s-a construit diagrama pentru a reprezenta influența lungimii de coajă și a segmentărilor obrazivii la copetele cintăgăilor „ $l_d$ ” asupra preciziei pieselor benzuite în secțiune longitudinală (fig.58). După cum se știe, procesul de benzuire se desfășoară cu participarea numeroșilor parametrii care își verifică valorile întotdeauna, cauzate influențelor destul de complexe precizia pieselor benzuite. Ca teste corespunzătoare, prin diagrama din fig.58 se demonstrează că, prin benzuire este posibilă obținerea preciziei perfecte în secțiunea longitudinală după alegerea valorii „ $l_d$ ” corespunzătoare. Aceasta reprezintă corectitudinea deosebită de valoare al diagramelor de mai sus și este din punct de vedere teoretic și practică.

6. Demonstările influenței „ $l_d$ ” asupra preciziei <sup>problema încă</sup> pieselor benzuite în diferite secțiuni transversale (fig.59), în care se studiază pînă în momentul de fagă.

7. Stabilirea influenței statorilor de formă inițială (stîr ovalitatea și conicitatea) asupra preciziei pieselor benzuite. Din rezultatele obținute se stabilește valoarea statorului maximă care permite prelungirea prezentă (aleset).

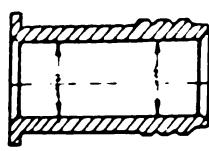
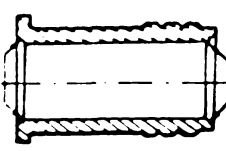
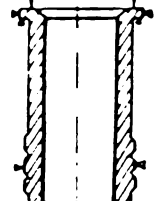
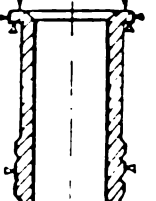
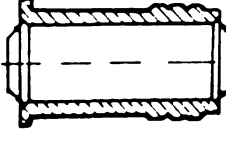
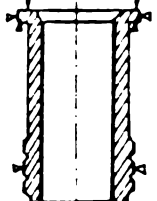
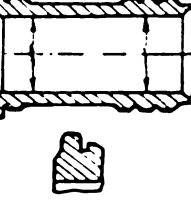
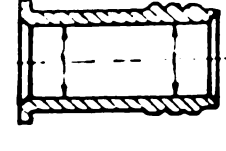
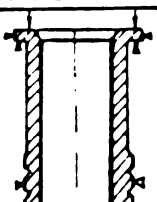
8. S-a construit diagrama (fig.72) și s-a stabilit relația (7.5) care reprezintă dependența productivității unorui în funcție de granulatia segmentărilor obrazivii. Expressia matematică (7.5) are corectitudinea empirică și ajută la orientarea alegării segmentărilor obrazivii după volumul de metal aghiozat necesar.

9. Este demonstrat că toți parametrii bunațiții sunt limitați de valourile lor optime. Averind de la acestă concluzie, se stabilește toți parametrii de bunație sătă postura bunaților de degajare și la bănuirea finală.

Se consideră că rezultatele obținute sătă utilă nu numai la secundăriarea cîndigilor de cilindru ci și valoare și pentru aplicarea la producerea fină a alezajelor cu precizie mare și calitate superioară, mai ales pentru alezajele cu pereti subțiri. Aceste piese ocupă o proporție foarte mare sătă în domeniul de fabricare și reparare a tractoarelor și autoturismelor cît și în alte domenii de construcții de mașini.

Diagrama 1

Tipe tehnologice o prelucrarii cilindrilor de cilindru

Op.1 TEŞIRE	Op.2 STRUNIURE	Op.3 ALEZARE	Op.4 TRATAMENT TERMIC
			
Op.5 DETENSIONARE	Op.6 STRUNJIRE	Op.7 ALEZARE	Op.8 STRUNJIRE
FARA SCHITA			
	Op.9 STRUNJIRE	Op.10 HONUIRE	
			

Condiționat fiind tehnologia din anum 1, se observă că

La operația 1 se face strunjirea frontală la cele două capete și se execută teziturile interioare dintr-o singură prindere, fixarea făcându-se cu ajutorul unui com extensibil acționat pneumatic :

- În cadrul cicletă de a 2-a operații se face strunjirea suprafeței exterioare pe un strung de copist cu comodul program și viteza de apăriere și a suflarei de lucru: fixarea se realizează pe un doru, basculă de apăriere făcând teziturile interioare de la capete :

- Operație a 3-a comportă prelucrarea suprafeței interioare pe un egragat de tipul „Bulast” unde la un post se execută o linărie de degropare cu un edificitor, la al doilea post se strunjesc de semirinisare cu un cutit foarte rigid, iar la postul al treilea, o aleșare cu o sculă de tipul aleșorului indicat :

- Operație a 4-a reprezintă tretamentul termic, iar operație a 5-a, deteminarea ulterioară :

- În cadrul operațiiei a 6-a se face strunjirea suprafețelor exterioare pe același tip de mașină, fixarea făcându-se în fel ce în cazul operațiiei a 2-a :

- La operație a 7-a se fac același prelucrări pe același utilaj și cu același scule ca și în operație a 3-a, urmând ca la operațiile a 8-a și a 9-a să se facă prelucrarea de finisare a suprafețelor exterioare și a teziturilor interioare la cele două capete : baza de aleșare în aceste operații este aproape interioară care are o grosime similară de 10 mm, lăsând cazu sigură și o concentricitate cât și o precizie geometrică ridicată a suprafețelor exterioare și interioare, care reprezintă baza de aşezare și de ghidare la montajele în blocul motorului :

- În operație a 10-a se face bănuirea de degropare, urmată de o semirinisare.

Tehnologia de reparare a cilindrilor de ciliindru  
super 105.01.106

Numarul operatiilor (1)	Utilaje, scule, dispositive, instrumente operatorului (2)
<p><b>1. Testele cilindrilor</b></p> <p><b>1.1. Verificarea dimensionala:</b></p> <p><b>1.1.1. Internul cilindrului trebuie să fie cu oțe de 108,5 mm în condiții conicește și ovalitățile micișă.</b></p> <p><b>1.1.2. Internul cilindrului trebuie să inserie orificele următoarele oțe:</b></p> <ul style="list-style-type: none"> <li>- diametru gălbenului exterior 132 = 0,105</li> <li>- diametru gălbenului de etanșare = 125 = 0,060</li> <li>- diametru gălbenului de etanșare de la partea inferioară 123 = 0,165</li> </ul> <p><b>1.2. Verificarea hidraulică :</b></p> <p><b>1.2.1. Se verifică prezenta porilor, rîzorilor sau crăpătorilor în peretele cilindrului. Verificarea se face pe dispozitivul pentru probarea hidraulică a cilindrilor timp de 2 minute la <math>4 \text{ bar/cm}^2</math>.</b></p>	<p>Micrometru de interio- ris 100-125 mm și comparatoare de interio- ris.</p> <p>Micrometru de exten- sion 100 - 190.</p> <p>Bubler 300 ml.</p> <p>Micrometru de exten- sion 100-190.</p> <p>Bubler 300 ml.</p>
<p><b>1.3. Verificarea aspectului exter- nei și gălbenului de etanșare.</b></p> <p><b>1.3.1. Se verifică suprafața interio- ră a cilindrului și se prezintă rîzori adinciori care nu se pot elimina prin clădire (<math>0,15 \text{ cm}</math>). Gălbenele de etanșare trebuie să fie corespunzătoare.</b></p>	<p>Dispozitivul pentru verificarea cilindri- los.</p>

(1)	(2)
<p><b>Observație :</b> Cilindriile care nu corespund condițiilor de la pcte.1 ; 1.2 și 1.3 trebuie să fie rezervate la triera.</p> <p><b>2. Spălarea și curățarea cilindrilor</b></p> <p><b>2.1. Degresarea</b></p> <p>2.1.1 Se face degresarea cilindrilor în baza de degresare cu soluție de cuciulă constând la temperatură de <math>90^{\circ}\text{C}</math>.</p> <p>2.1.2 Se face împădurirea cu apă constând la temperatură de <math>80\text{-}90^{\circ}\text{C}</math>.</p> <p><b>2.2. Curățarea cilindrilor de depuneri de piatră</b> se face cu parte de aluminiu, cămașă fină rotită în urmăru strângându-se pe dispozitiv.</p> <p><b>3. Prelucrarea cônștiinții la interior.</b></p> <p><b>3.1.</b> Se execută aleșarea cilindrului la interior prin două treptăi [114] la cetele treptei de reparație.</p> <p><b>3.2.</b> Se execută bucurarea cilindrului prin două faze: : degresare și finisare.</p> <p><b>4. Verificarea calității secundare - zărrii.</b></p> <p><b>4.1.</b> Verificarea cotei interioare a cilindrilor care trebuie să se înscrie în dimensiunile treptei de reparare.</p> <p><b>4.2.</b> Verificarea concordanții și calității cilindrului interior prin 6 sursești perpendiculare, două cîte două la trei nivele diferențite.</p> <p>Qualitatea și concordanța răsunătoare este de <math>0,03 \text{ mm}</math>.</p> <p>Dispozitive pentru extragerea cilindrilor.</p> <p>Vaginii de aleșat cilindrii.</p> <p>Hagiodi de bucurat cilindrii.</p> <p>Micrometru 100-125 și comparător de interior.</p>	

(1)	(2)								
4.3. Verificarea grădinii de preluare și suprafetări care trebuie să fie fără prăguri, agățători, pete, 0-8 și la grădul de finisare de clasa 9-a.									
4.4. Sortarea cândijilor în cele trei grupe de recombinare se face conform tabelului de mai jos :	Microconținut 100-125 și compozitor de interier.								
<table border="1"> <thead> <tr> <th>Denumirea grupelor de cote</th><th>Diametrul cilindrii, în mm</th></tr> </thead> <tbody> <tr> <td>A</td><td><math>109 + 0,02</math></td></tr> <tr> <td>B</td><td><math>+ 0,04</math> <math>109 \text{ - } 0,02</math></td></tr> <tr> <td>C</td><td><math>+ 0,06</math> <math>109 \text{ - } 0,04</math></td></tr> </tbody> </table>	Denumirea grupelor de cote	Diametrul cilindrii, în mm	A	$109 + 0,02$	B	$+ 0,04$ $109 \text{ - } 0,02$	C	$+ 0,06$ $109 \text{ - } 0,04$	
Denumirea grupelor de cote	Diametrul cilindrii, în mm								
A	$109 + 0,02$								
B	$+ 0,04$ $109 \text{ - } 0,02$								
C	$+ 0,06$ $109 \text{ - } 0,04$								
După sortare se aplică poenările cu grupe de cote.									
5. Conservare.									
5.1. După verificarea calității recombinării, pe obârșie cilindrelui se aplică un strat de protecție de parafină în amestec cu ulei mineral. Cândijile sunt înfășurate individual în hirtie casetă și ambalate în 14- și pe grupe de cote.									

Tableau 3. Résultat I.

Asténumbre de la forme géométrique le plus courue sur un cinquante  
cuit

Les Compléments

$x_1$	$n_1$	$x_1 n_1$	$x_1 - \bar{x}$	$(x_1 - \bar{x})^2$	$(x_1 - \bar{x})^2 \cdot n_1$
0,02	2	0,04	- 0,0702	49,00.10 <sup>-4</sup>	98,00.10 <sup>-4</sup>
0,03	4	0,12	- 0,0602	36,00.10 <sup>-4</sup>	144,00.10 <sup>-4</sup>
0,04	6	0,24	- 0,0502	25,00.10 <sup>-4</sup>	150,00.10 <sup>-4</sup>
0,05	8	0,40	- 0,0402	16,00.10 <sup>-4</sup>	128,00.10 <sup>-4</sup>
0,06	10	0,60	- 0,0302	9,00.10 <sup>-4</sup>	90,00.10 <sup>-4</sup>
0,07	11	0,77	- 0,0202	4,00.10 <sup>-4</sup>	44,00.10 <sup>-4</sup>
0,08	10	0,80	- 0,0102	1,00.10 <sup>-4</sup>	10,00.10 <sup>-4</sup>
0,09	9	0,31	- 0,0002	0,00.10 <sup>-4</sup>	0,00.10 <sup>-4</sup>
0,10	7	0,70	0,0098	0,96.10 <sup>-4</sup>	6,72.10 <sup>-4</sup>
0,11	7	0,77	0,0198	3,93.10 <sup>-4</sup>	27,50.10 <sup>-4</sup>
0,12	6	0,72	0,0298	8,75.10 <sup>-4</sup>	52,50.10 <sup>-4</sup>
0,13	5	0,65	0,0398	15,70.10 <sup>-4</sup>	78,50.10 <sup>-4</sup>
0,14	4	0,35	0,0498	24,90.10 <sup>-4</sup>	99,60.10 <sup>-4</sup>
0,15	3	0,45	0,0598	35,80.10 <sup>-4</sup>	107,40.10 <sup>-4</sup>
0,16	3	0,48	0,0698	43,80.10 <sup>-4</sup>	136,40.10 <sup>-4</sup>
0,17	2	0,34	0,0798	63,80.10 <sup>-4</sup>	127,60.10 <sup>-4</sup>
0,18	1	0,18	0,0898	31,80.10 <sup>-4</sup>	30,80.10 <sup>-4</sup>
0,19	1	0,19	0,0998	99,80.10 <sup>-4</sup>	99,80.10 <sup>-4</sup>
0,20	1	0,20	0,1098	120,80.10 <sup>-4</sup>	120,80.10 <sup>-4</sup>
Totals	100	9,02			1.500,62.10 <sup>-4</sup>

Annexe 3. Tableau 1

Tableau 1

$x_1$	$n_1$	$x_1 \cdot n_1$	$x_1 - \bar{x}$	$(x_1 - \bar{x})^2$	$(x_1 - \bar{x})^2 \cdot n_1$	
0,02	3	0,06	-0,0576	33,20.10 <sup>-4</sup>	99,60.10 <sup>-4</sup>	
0,03	6	0,18	-0,0476	22,70.10 <sup>-4</sup>	136,20.10 <sup>-4</sup>	
0,04	8	0,32	-0,376	14,20.10 <sup>-4</sup>	113,60.10 <sup>-4</sup>	
0,05	11	0,55	-0,0276	7,60.10 <sup>-4</sup>	83,70.10 <sup>-4</sup>	
0,06	13	0,78	-0,0176	3,10.10 <sup>-4</sup>	40,20.10 <sup>-4</sup>	
0,07	12	0,84	-0,0076	0,97.10 <sup>-4</sup>	6,95.10 <sup>-4</sup>	
0,08	10	0,80	0,0034	0,05.10 <sup>-4</sup>	0,57.10 <sup>-4</sup>	$\bar{x} = 0,0776$
0,09	8	0,72	0,0126	1,54.10 <sup>-4</sup>	12,30.10 <sup>-4</sup>	$\sigma^2 = 53,9.10^{-3}$
0,10	8	0,80	0,0224	5,62.10 <sup>-4</sup>	45,20.10 <sup>-4</sup>	
0,11	6	0,66	0,0524	10,50.10 <sup>-4</sup>	63,00.10 <sup>-4</sup>	
0,12	4	0,48	0,0434	18,00.10 <sup>-4</sup>	72,00.10 <sup>-4</sup>	
0,13	4	0,52	0,0524	27,50.10 <sup>-4</sup>	110,00.10 <sup>-4</sup>	
0,14	3	0,42	0,0624	39,00.10 <sup>-4</sup>	117,00.10 <sup>-4</sup>	
0,15	2	0,30	0,0724	52,40.10 <sup>-4</sup>	104,80.10 <sup>-4</sup>	
0,16	1	0,16	0,0824	67,30.10 <sup>-4</sup>	67,80.10 <sup>-4</sup>	
0,17	1	0,17	0,0924	85,20.10 <sup>-4</sup>	85,20.10 <sup>-4</sup>	
Total	100	7,76			2.192,90.10 <sup>-3</sup>	

Adunare 3. Tablou 2

Abaterile de la formă geometrică la aleasene cu doar unice  
prin divizarea sumelorai

Tablou Completat

$x_1$	$n_1$	$x_1 \cdot n_1$	$x_1 - \bar{x}$	$(x_1 - \bar{x})^2$	$(x_1 - \bar{x})^2 \cdot n_1$	
0,01	2	0,02	0,0509	$25,90 \cdot 10^{-4}$	$51,70 \cdot 10^{-4}$	
0,02	6	0,12	0,0409	$16,00 \cdot 10^{-4}$	$100,50 \cdot 10^{-4}$	
0,03	10	0,30	0,0309	$9,95 \cdot 10^{-4}$	$99,50 \cdot 10^{-4}$	
0,04	14	0,56	0,0209	$4,36 \cdot 10^{-4}$	$61,16 \cdot 10^{-4}$	
0,05	17	0,85	0,0109	$1,09 \cdot 10^{-4}$	$18,20 \cdot 10^{-4}$	
0,06	14	0,84	0,0009	$0,0031 \cdot 10^{-4}$	$0,11 \cdot 10^{-4}$	$\Sigma = 0,0609$
0,07	10	0,70	0,0091	$0,25 \cdot 10^{-4}$	$2,50 \cdot 10^{-4}$	$\Gamma = 29,3 \cdot 10^{-3}$
0,08	8	0,54	0,0191	$3,65 \cdot 10^{-4}$	$29,20 \cdot 10^{-4}$	
0,09	6	0,54	0,0291	$6,50 \cdot 10^{-4}$	$51,00 \cdot 10^{-4}$	
0,10	4	0,40	0,0391	$15,30 \cdot 10^{-4}$	$61,20 \cdot 10^{-4}$	
0,11	3	0,33	0,0491	$24,20 \cdot 10^{-4}$	$72,50 \cdot 10^{-4}$	
0,12	2	0,26	0,0591	$35,00 \cdot 10^{-4}$	$70,00 \cdot 10^{-4}$	
0,13	2	0,26	0,0691	$48,00 \cdot 10^{-4}$	$96,00 \cdot 10^{-4}$	
0,14	1	0,14	0,0791	$63,00 \cdot 10^{-4}$	$63,00 \cdot 10^{-4}$	
0,15	1	0,15	0,0891	$80,00 \cdot 10^{-4}$	$80,00 \cdot 10^{-4}$	
Totala 100	6,09				<u><math>593,51 \cdot 10^{-4}</math></u>	

Table 3. Total 2

2nd. Order Corr.

$x_1$	$n_1$	$x_1 n_1$	$x_1 - \bar{x}$	$(x_1 - \bar{x})^2$	$(x_1 - \bar{x})^2 n_1$	
0,01	4	0,04	-0,0453	$19,20 \cdot 10^{-4}$	$76,80 \cdot 10^{-4}$	
0,02	7	0,14	-0,0353	$11,40 \cdot 10^{-4}$	$79,80 \cdot 10^{-4}$	
0,03	11	0,33	-0,0253	$5,63 \cdot 10^{-4}$	$61,00 \cdot 10^{-4}$	
0,04	15	0,60	-0,0153	$1,90 \cdot 10^{-4}$	$28,40 \cdot 10^{-4}$	
0,05	19	0,95	-0,0053	$0,39 \cdot 10^{-4}$	$2,63 \cdot 10^{-4}$	$\bar{x} = 0,0573$
0,06	15	0,90	0,0062	$0,305 \cdot 10^{-4}$	$5,78 \cdot 10^{-4}$	$\sigma = 23,8 \cdot 10^{-4}$
0,07	11	0,77	0,0162	$2,63 \cdot 10^{-4}$	$28,90 \cdot 10^{-4}$	
0,08	7	0,56	0,0262	$6,90 \cdot 10^{-4}$	$43,30 \cdot 10^{-4}$	
0,09	5	0,45	0,0362	$11,31 \cdot 10^{-4}$	$56,50 \cdot 10^{-4}$	
0,10	3	0,30	0,0462	$21,30 \cdot 10^{-4}$	$64,00 \cdot 10^{-4}$	
0,11	2	0,22	0,0562	$31,50 \cdot 10^{-4}$	$63,00 \cdot 10^{-4}$	
0,12	1	0,12	0,0662	$41,00 \cdot 10^{-4}$	$41,00 \cdot 10^{-4}$	
Total	100	5,53			<u><u>559,36 \cdot 10^{-4}</u></u>	

ANEXA 3. EXEMPLU 3

Absterile de la forme geometrice la clădirile cu trei curvițe  
prin diviziunile avocului

3.1. Ceașnicuri

$x_1$	$a_1$	$x_1 \cdot a_1$	$(x_1 - \bar{x})$	$(x_1 - \bar{x})^2$	$(x_1 - \bar{x})^2 a_1$	
0,01	8	0,08	-0,0273	$7,45 \cdot 10^{-4}$	$59,50 \cdot 10^{-4}$	
0,02	21	0,42	-0,0173	$3,00 \cdot 10^{-3}$	$63,00 \cdot 10^{-4}$	
0,03	23	0,84	-0,0073	$0,534 \cdot 10^{-3}$	$14,95 \cdot 10^{-4}$	
0,04	15	0,60	0,0027	$0,073 \cdot 10^{-3}$	$1,09 \cdot 10^{-4}$	
0,05	10	0,50	0,0127	$1,61 \cdot 10^{-3}$	$16,10 \cdot 10^{-4}$	$\bar{x} = 0,0373$
0,06	7	0,42	0,0227	$5,15 \cdot 10^{-4}$	$36,00 \cdot 10^{-4}$	$\Gamma = 19,75 \cdot 10^{-3}$
0,07	5	0,35	0,0327	$10,35 \cdot 10^{-4}$	$51,75 \cdot 10^{-4}$	
0,08	3	0,24	0,0427	$18,20 \cdot 10^{-4}$	$54,70 \cdot 10^{-4}$	
0,09	2	0,13	0,0527	$27,70 \cdot 10^{-4}$	$55,40 \cdot 10^{-4}$	
0,10	1	0,10	0,0627	$37,40 \cdot 10^{-4}$	$39,30 \cdot 10^{-4}$	
Total:	100	3,73			$391,89 \cdot 10^{-4}$	

3.2. Conținuturi

0,01	13	0,13	-0,0201	$4,05 \cdot 10^{-4}$	$52,70 \cdot 10^{-4}$	
0,02	25	0,50	-0,0101	$1,02 \cdot 10^{-4}$	$25,50 \cdot 10^{-4}$	
0,03	30	0,90	-0,0001	-	-	$\bar{x} = 0,0301$
0,04	18	0,72	0,0099	$0,98 \cdot 10^{-4}$	$17,60 \cdot 10^{-4}$	$\Gamma = 13,5 \cdot 10^{-3}$
0,05	9	0,45	0,0199	$3,96 \cdot 10^{-4}$	$35,70 \cdot 10^{-4}$	
0,06	4	0,24	0,0299	$8,95 \cdot 10^{-4}$	$35,80 \cdot 10^{-4}$	
0,07	1	0,07	0,0399	$15,90 \cdot 10^{-4}$	$15,90 \cdot 10^{-4}$	
Total:	100	3,01			$143,2 \cdot 10^{-4}$	

ANEXA 3. Rebaixos 4

Absteriles de la fórmula geométrica la elevación en que se obtuvo  
prin divisores sucesivos

4.1. Qualität

$x_1$	$n_1$	$x_{1n_1}$	$x_1 - \bar{x}$	$(x_1 - \bar{x})^2$	$(x_1 - \bar{x})^2 n_1$	
0,00	8	0,00	-0,0204	4,16.10 <sup>-4</sup>	33,30.10 <sup>-4</sup>	
0,01	40	0,40	-0,0304	1,08.10 <sup>-4</sup>	43,20.10 <sup>-4</sup>	
0,02	23	0,46	-0,0304	0,0016.10 <sup>-4</sup>	0,0363.10 <sup>-4</sup>	$\bar{x} = 0,0204$
0,03	13	0,39	0,0096	0,32.10 <sup>-4</sup>	11,95.10 <sup>-4</sup>	$\sigma = 0,014.10^{-4}$
0,04	9	0,36	0,0196	3,85.10 <sup>-4</sup>	34,70.10 <sup>-4</sup>	
0,05	5	0,25	0,0296	8,65.10 <sup>-4</sup>	43,20.17 <sup>-4</sup>	
0,06	2	0,12	0,0396	15,50.10 <sup>-4</sup>	31,00.10 <sup>-4</sup>	
Total	160	2,04			197,00.10 <sup>-4</sup>	

4.2. Conduïtivitat

$x_1$	$n_1$	$x_{1n_1}$	$x_1 - \bar{x}$	$(x_1 - \bar{x})^2$	$(x_1 - \bar{x})^2 n_1$	
0,00	12	0,00	-0,0164	2,70.10 <sup>-4</sup>	32,40.10 <sup>-4</sup>	
0,01	42	0,42	-0,0064	0,41.10 <sup>-4</sup>	17,20.10 <sup>-4</sup>	
0,02	23	0,52	0,0056	0,13.10 <sup>-4</sup>	3,09.10 <sup>-4</sup>	$\bar{x} = 0,0164$
0,03	12	0,36	0,0196	1,85.10 <sup>-4</sup>	22,20.10 <sup>-4</sup>	$\sigma = 11,42.10^{-5}$
0,04	6	0,21	0,0296	5,57.10 <sup>-4</sup>	33,50.10 <sup>-4</sup>	
0,05	2	0,12	0,0396	11,50.10 <sup>-4</sup>	22,50.10 <sup>-4</sup>	
Total	160	3,62			133,09.10 <sup>-4</sup>	

Anexa 3. Tabla 5

Abatimiento de los factores geométricos de elevación en función del ancho  
para divisiones adecuadas de la pendiente

Tabla 5

$x_1$	$n_1$	$x_1 n_1$	$x_1 - \bar{x}$	$(x_1 - \bar{x})^2$	$(x_1 - \bar{x})^2 n_1$	
0,02	3	0,06	-0,0254	$20,50 \cdot 10^{-4}$	$61,50 \cdot 10^{-4}$	
0,03	7	0,21	-0,0254	$19,50 \cdot 10^{-4}$	$135,00 \cdot 10^{-4}$	
0,04	10	0,40	-0,0254	$11,10 \cdot 10^{-4}$	$111,00 \cdot 10^{-4}$	
0,05	15	0,65	-0,0254	$5,40 \cdot 10^{-4}$	$71,20 \cdot 10^{-4}$	
0,06	15	0,90	-0,0134	$1,80 \cdot 10^{-4}$	$27,00 \cdot 10^{-4}$	
0,07	12	0,84	-0,0054	$0,116 \cdot 10^{-4}$	$1,395 \cdot 10^{-4}$	$\bar{x} = 0,0754$
0,08	9	0,72	0,0066	$0,435 \cdot 10^{-4}$	$3,92 \cdot 10^{-4}$	$\sigma = 33,5 \cdot 10^{-3}$
0,09	7	0,63	0,0166	$2,75 \cdot 10^{-4}$	$19,25 \cdot 10^{-4}$	
0,10	6	0,60	0,0266	$7,00 \cdot 10^{-4}$	$42,00 \cdot 10^{-4}$	
0,11	5	0,55	0,0366	$13,50 \cdot 10^{-4}$	$68,00 \cdot 10^{-4}$	
0,12	4	0,48	0,0466	$21,70 \cdot 10^{-4}$	$85,60 \cdot 10^{-4}$	
0,13	3	0,39	0,0566	$32,20 \cdot 10^{-4}$	$96,60 \cdot 10^{-4}$	
0,14	2	0,28	0,0666	$44,90 \cdot 10^{-4}$	$89,00 \cdot 10^{-4}$	
0,15	2	0,30	0,0766	$58,90 \cdot 10^{-4}$	$118,00 \cdot 10^{-4}$	
0,16	1	0,16	0,0866	$75,00 \cdot 10^{-4}$	$75,00 \cdot 10^{-4}$	
0,17	1	0,17	0,0966	$93,50 \cdot 10^{-4}$	$93,50 \cdot 10^{-4}$	
Total	100	7,50			$1,122,965 \cdot 10^{-4}$	

Table 3. Results 5

Table 3. Correlation

$x_1$	$y_1$	$x_1 y_1$	$x_1 - \bar{x}$	$(x_1 - \bar{x})^2$	$(x_1 - \bar{x})^2 y_1$	
0.02	5	0.10	-0.035	12.25.10^-4	61.25.10^-4	
0.03	8	0.18	-0.025	6.25.10^-4	50.00.10^-4	
0.04	11	0.24	-0.015	2.25.10^-4	24.75.10^-4	
0.05	14	0.20	-0.005	0.25.10^-4	3.50.10^-4	$\bar{y} = 0.055$
0.06	17	1.02	0.005	0.25.10^-4	4.25.10^-4	$\Gamma = 23.7.10^{-5}$
0.07	13	0.91	0.015	2.25.10^-4	23.25.10^-4	
0.08	9	0.72	0.025	6.25.10^-4	53.25.10^-4	
0.09	7	0.53	0.035	12.25.10^-4	87.50.10^-4	
0.10	6	0.60	0.045	20.25.10^-4	130.50.10^-4	
0.11	4	0.44	0.055	30.25.10^-4	130.00.10^-4	
0.12	3	0.36	0.065	42.25.10^-4	127.50.10^-4	
0.13	2	0.26	0.075	56.25.10^-4	112.5 .10^-4	
0.14	1	0.16	0.085	72.25.10^-4	72.25.10^-4	
Totals	100	5.50			379.25.10^-4	

Absterile de la forțe geometrice în cîmpuri cu trei cutite

prin diviziunea ecuațională de prelucrare

6.1. Omplirile

$x_1$	$x_2$	$x_3$	$(x_1 - \bar{x})$	$(x_1 - \bar{x})^2$	$(x_1 - \bar{x})^2 x_3$	
0,01	3	0,03	-0,0397	15,70.10 <sup>-4</sup>	47,00.10 <sup>-4</sup>	
0,02	10	0,28	-0,0297	8,85.10 <sup>-4</sup>	85,50.10 <sup>-4</sup>	
0,03	26	0,43	-0,0197	3,57.10 <sup>-4</sup>	61,80.10 <sup>-4</sup>	
0,04	21	0,38	-0,0097	0,92.10 <sup>-4</sup>	19,70.10 <sup>-4</sup>	
0,05	26	0,30	0,0003	0,0009.10 <sup>-4</sup>	0,014.10 <sup>-4</sup>	$\bar{x} = 0,0497$
0,06	11	0,56	0,0103	1,03.10 <sup>-4</sup>	11,35.10 <sup>-4</sup>	$\Gamma = 23,9.10^{-3}$
0,07	3	0,56	0,0203	4,12.10 <sup>-4</sup>	35,00.10 <sup>-4</sup>	
0,08	5	0,40	0,0303	9,11.10 <sup>-4</sup>	43,30.10 <sup>-4</sup>	
0,09	4	0,35	0,0403	16,30.10 <sup>-4</sup>	65,20.10 <sup>-4</sup>	
0,10	5	0,30	0,0503	25,30.10 <sup>-4</sup>	70,00.10 <sup>-4</sup>	
0,11	2	0,22	0,0603	36,30.10 <sup>-4</sup>	72,50.10 <sup>-4</sup>	
0,12	1	0,12	0,0703	49,50.10 <sup>-4</sup>	99,50.10 <sup>-4</sup>	
Total	100	4,97			570,96.10 <sup>-4</sup>	

6.2. Conturările

$x_1$	$x_2$	$x_3$	$(x_1 - \bar{x})$	$(x_1 - \bar{x})^2$	$(x_1 - \bar{x})^2 x_3$	
0,01	4	0,04	-0,050	12,50.10 <sup>-4</sup>	50,00.10 <sup>-4</sup>	
0,02	12	0,24	-0,0250	6,50.10 <sup>-4</sup>	73,00.10 <sup>-4</sup>	
0,03	26	0,48	-0,0150	2,57.10 <sup>-4</sup>	38,00.10 <sup>-4</sup>	
0,04	22	0,38	-0,0050	0,23.10 <sup>-4</sup>	6,30.10 <sup>-4</sup>	$\Sigma 0,0050$
0,05	17	0,35	0,0046	0,212.10 <sup>-4</sup>	3,60.10 <sup>-4</sup>	$\Gamma = 20.10^{-3}$
0,06	12	0,72	0,0346	2,34.10 <sup>-4</sup>	25,70.10 <sup>-4</sup>	
0,07	8	0,56	0,0246	6,04.10 <sup>-4</sup>	43,40.10 <sup>-4</sup>	
0,08	5	0,40	0,0146	12,00.10 <sup>-4</sup>	60,00.10 <sup>-4</sup>	
0,09	3	0,27	0,0046	20,00.10 <sup>-4</sup>	60,00.10 <sup>-4</sup>	
0,10	1	0,10	0,0046	30,00.10 <sup>-4</sup>	30,00.10 <sup>-4</sup>	
Total	100	4,54			400,08.10 <sup>-4</sup>	

Absterile de la forme geometrica la elemente cu scara  
criteriu prim din carele elementelor de prelucrare

7.1. Ovale

$x_i$	$y_i$	$x_i \cdot y_i$	$(x_i - D)$	$(x_i - D)^2$	$(x_i - D)^2 \cdot y_i$	
0,01	5	0,05	-0,0295	15,40.10 <sup>-4</sup>	46,20.10 <sup>-4</sup>	
0,02	14	0,28	-0,0295	6,60.10 <sup>-4</sup>	120,50.10 <sup>-4</sup>	
0,03	19	0,57	-0,0195	3,72.10 <sup>-4</sup>	70,70.10 <sup>-4</sup>	
0,04	23	0,68	-0,0095	0,87.10 <sup>-4</sup>	15,00.10 <sup>-4</sup>	
0,05	13	0,65	-0,0007	-	-	
0,06	11	0,66	-0,0107	1,50.10 <sup>-4</sup>	15,50.10 <sup>-4</sup>	
0,07	8	0,56	0,0207	0,30.10 <sup>-4</sup>	34,40.10 <sup>-4</sup>	
0,08	6	0,48	0,0307	9,40.10 <sup>-4</sup>	36,40.10 <sup>-4</sup>	
0,09	4	0,36	0,0407	16,50.10 <sup>-4</sup>	60,00.10 <sup>-4</sup>	
0,10	4	0,40	0,0507	25,70.10 <sup>-4</sup>	102,5 .10 <sup>-4</sup>	
0,11	2	0,22	0,0607	57,00.10 <sup>-4</sup>	74,00.10 <sup>-4</sup>	
0,12	1	0,12	0,0707	50,00.10 <sup>-4</sup>	50,00.10 <sup>-4</sup>	
Total	100	4,95			650 ,20.10 <sup>-4</sup>	

7.2. Conice

$x_i$	$y_i$	$x_i \cdot y_i$	$(x_i - D)$	$(x_i - D)^2$	$(x_i - D)^2 \cdot y_i$	
0,01	4	0,04	-0,0393	12,10.10 <sup>-4</sup>	48,40.10 <sup>-4</sup>	
0,02	16	0,32	-0,0293	6,15.10 <sup>-4</sup>	98,50.10 <sup>-4</sup>	
0,03	20	0,60	-0,0143	2,20.10 <sup>-4</sup>	44,00.10 <sup>-4</sup>	
0,04	16	0,64	-0,0043	0,25.10 <sup>-4</sup>	3,70.10 <sup>-4</sup>	
0,05	14	0,70	0,0052	0,27.10 <sup>-4</sup>	3,73.10 <sup>-4</sup>	
0,06	11	0,66	0,0152	2,52.10 <sup>-4</sup>	25,50.10 <sup>-4</sup>	
0,07	8	0,56	0,0252	6,35.10 <sup>-4</sup>	50,40.10 <sup>-4</sup>	
0,08	6	0,48	0,0352	12,40.10 <sup>-4</sup>	74,50.10 <sup>-4</sup>	
0,09	3	0,37	0,0452	20,50.10 <sup>-4</sup>	61,50.10 <sup>-4</sup>	
0,10	1	0,10	0,0552	30,50.10 <sup>-4</sup>	30,50.10 <sup>-4</sup>	
0,11	1	0,11	0,0652	42,50.10 <sup>-4</sup>	42,50.10 <sup>-4</sup>	
Total	100	4,98			232,48.10 <sup>-4</sup>	

Tablou 3. Calculul 3

Absterile de la fosele geometrice le bocuirea in conditiile  
actuale de intreprindere

3.1. Qualitate

$x_i$	$n_i$	$x_{ij}$	$(x_{ij} - \bar{x})$	$(x_{ij} - \bar{x})^2$	$(x_{ij} - \bar{x})^2 \cdot n_i$	
0,01	7	0,07	-0,044	$19,40 \cdot 10^{-4}$	$136,00 \cdot 10^{-4}$	
0,02	9	0,18	-0,034	$11,50 \cdot 10^{-4}$	$104,50 \cdot 10^{-4}$	
0,03	11	0,33	-0,024	$5,75 \cdot 10^{-4}$	$63,25 \cdot 10^{-4}$	
0,04	12	0,48	-0,014	$1,96 \cdot 10^{-4}$	$23,40 \cdot 10^{-4}$	
0,05	14	0,70	-0,004	$0,16 \cdot 10^{-4}$	$2,24 \cdot 10^{-4}$	
0,06	16	0,96	0,006	$0,36 \cdot 10^{-4}$	$5,75 \cdot 10^{-4}$	$\bar{x} = 0,054$ $\sigma = 27,3 \cdot 10^{-3}$
0,07	11	0,77	0,016	$2,55 \cdot 10^{-4}$	$23,00 \cdot 10^{-4}$	
0,08	7	0,56	0,026	$0,75 \cdot 10^{-4}$	$42,20 \cdot 10^{-4}$	
0,09	4	0,36	0,036	$13,00 \cdot 10^{-4}$	$52,00 \cdot 10^{-4}$	
0,10	4	0,40	0,046	$21,20 \cdot 10^{-4}$	$84,80 \cdot 10^{-4}$	
0,11	2	0,22	0,056	$31,40 \cdot 10^{-4}$	$62,80 \cdot 10^{-4}$	
0,12	2	0,38	0,066	$43,50 \cdot 10^{-4}$	$87,00 \cdot 10^{-4}$	
0,13	1	0,13	0,076	$53,00 \cdot 10^{-4}$	$53,00 \cdot 10^{-4}$	
Total:	100	5,40			$704,59 \cdot 10^{-4}$	

3.2. Continuturi

$x_i$	$n_i$	$x_{ij}$	$(x_{ij} - \bar{x})$	$(x_{ij} - \bar{x})^2$	$(x_{ij} - \bar{x})^2 \cdot n_i$	
0,01	9	0,09	-0,036	$13,00 \cdot 10^{-4}$	$117,00 \cdot 10^{-4}$	
0,02	11	0,22	-0,026	$6,75 \cdot 10^{-4}$	$74,00 \cdot 10^{-4}$	
0,03	14	0,42	-0,016	$2,55 \cdot 10^{-4}$	$35,70 \cdot 10^{-4}$	
0,04	16	0,64	-0,006	$0,36 \cdot 10^{-4}$	$5,75 \cdot 10^{-4}$	
0,05	19	0,95	0,004	$0,16 \cdot 10^{-4}$	$3,04 \cdot 10^{-4}$	
0,06	12	0,78	0,014	$1,96 \cdot 10^{-4}$	$23,50 \cdot 10^{-4}$	
0,07	7	0,49	0,024	$5,75 \cdot 10^{-4}$	$39,00 \cdot 10^{-4}$	
0,08	5	0,48	0,034	$11,50 \cdot 10^{-4}$	$93,00 \cdot 10^{-4}$	
0,09	4	0,36	0,044	$19,40 \cdot 10^{-4}$	$77,70 \cdot 10^{-4}$	
0,10	3	0,30	0,054	$29,20 \cdot 10^{-4}$	$87,70 \cdot 10^{-4}$	
Total:	100	4,59			$521,39 \cdot 10^{-4}$	

Ovalitățea cilindrilor de cilindru la bordurile  
de degresare

$x_i$	$n_i$	$x_i n_i$	$x_i - \bar{x}$	$(x_i - \bar{x})^2$	$(x_i - \bar{x})^2 n_i$	
0,01	8	0,08	-0,026	6,75.10 <sup>-4</sup>	54,00.10 <sup>-4</sup>	
0,02	25	0,22	-0,016	2,57.10 <sup>-4</sup>	67,00.10 <sup>-4</sup>	
0,03	21	0,63	-0,006	0,36.10 <sup>-4</sup>	7,57.10 <sup>-4</sup>	
0,04	16	0,64	0,004	0,16.10 <sup>-4</sup>	2,56.10 <sup>-4</sup>	
0,05	11	0,55	0,014	1,96.10 <sup>-4</sup>	21,50.10 <sup>-4</sup>	$\bar{x} = 0,036$
0,06	8	0,48	0,028	5,75.10 <sup>-4</sup>	46,00.10 <sup>-4</sup>	$\sigma = 19,3.10^{-3}$
0,07	5	0,35	0,038	11,60.10 <sup>-4</sup>	58,00.10 <sup>-4</sup>	
0,08	3	0,24	0,044	19,40.10 <sup>-4</sup>	58,20.10 <sup>-4</sup>	
0,09	2	0,18	0,054	26,20.10 <sup>-4</sup>	52,50.10 <sup>-4</sup>	
Total	100	3,67			372,33.10 <sup>-4</sup>	

Ovalitatea cilindrilor de cilindru la bordurile de finisare

$x_i$	$n_i$	$x_i n_i$	$x_i - \bar{x}$	$(x_i - \bar{x})^2$	$(x_i - \bar{x})^2 n_i$	
0,00	4	0,00	-0,022	4,85.10 <sup>-4</sup>	19,40.10 <sup>-4</sup>	
0,01	35	0,35	-0,012	1,44.10 <sup>-4</sup>	47,50.10 <sup>-4</sup>	
0,02	25	0,52	-0,002	0,04.10 <sup>-4</sup>	1,04.10 <sup>-4</sup>	$\bar{x} = 0,022$
0,03	18	0,54	0,008	0,64.10 <sup>-4</sup>	11,50.10 <sup>-4</sup>	$\sigma = 12,5.10^{-3}$
0,04	12	0,53	0,018	3,24.10 <sup>-4</sup>	38,80.10 <sup>-4</sup>	
0,05	5	0,25	0,022	7,85.10 <sup>-4</sup>	39,40.10 <sup>-4</sup>	
Total	100	2,24			157,64.10 <sup>-4</sup>	

Ovalitatea cilindrilor de cilindru la bordurile finisare

$x_i$	$n_i$	$x_i n_i$	$x_i - \bar{x}$	$(x_i - \bar{x})^2$	$(x_i - \bar{x})^2 n_i$	
0,00	4	0,00	-0,02	4,00.10 <sup>-4</sup>	16,00.10 <sup>-4</sup>	
0,01	37	0,37	-0,01	1,00.10 <sup>-4</sup>	37,00.10 <sup>-4</sup>	
0,02	30	0,60	0,00	0,00.10 <sup>-4</sup>	0,90.10 <sup>-4</sup>	$\bar{x} = 0,02$
0,03	15	0,45	0,01	1,00.10 <sup>-4</sup>	15,00.10 <sup>-4</sup>	$\sigma = 11,5.10^{-3}$
0,04	10	0,40	0,02	4,00.10 <sup>-4</sup>	40,00.10 <sup>-4</sup>	
0,05	4	0,20	0,03	6,00.10 <sup>-4</sup>	24,00.10 <sup>-4</sup>	
Total	100	2,02			132,00.10 <sup>-4</sup>	

B I B L I O G R A F I C

1. Apărăt G.A. și colect. - Calculul și optimizarea tehnice. Traducere în limba română edit. Tehnica București 1996.
2. Araliov V.I. și colect. - Asortarea metalelor. vol. I. Traducere în limba română București 1953.
3. Bobrov A.P. - Ionizarea cu căduseuri sauți de particule - rezultatele unei și unele urmă/ 1962 p.305.
4. Bobrov A.P. - Valoările optime ale creanței radiali și segmentelor obiectiv la bormașine. rezultatele unei și unele urmă/ 1966 p.53-56.
5. Bobrov A.P. - bormașinile. Ind. Reglamentare - București 1965.
6. Zecalii V.D. și colect. - Algoritme bormașinice. Inst. „Technică“ Kiev. 1966.
7. Zecalii V.D. și colect. - Eficiența etapelelor de jaseur instrumentelor trujiști și sinteticele din aluminiu, Inst. „Technică“ Kiev 1966.
8. Zecalii V.D. și colect. - Căutarea instalației jaseur și instrumentelor aluminiovi trujiști. Inst. Vitroplast cooperator. București 1969.
9. Zemcov Iu. Bile. - Optimizarea împreună cu dimensiunile și caracteristicile bormașinice. Rev. tehnici și instrumente nr.1/1972 p.37-35.
10. Zemcov Iu. Bile. - Normeaza tehnice în următoarele construcții de apăzuri. Traducere în limba română nr.13. Tehnica București 1980.
11. Zemcov Iu. Bile. - Tehnologia sculelor optoitește. Ed. Tehnica București, 1970.

12. Dostkarov I.e.B - Influența temperaturii de eșchisare asupra precizia și prelucrările bulgării constanțe. de mașini. I.D.T.ar.11/1999 p.75
13. Dumitrescu R. și colab- Procedee de prelucrare mecanică a cămpilor de cilindru din fontă în scopul întăririi rotației. Rev. Metalurgie și construcții de mașini, nr.1/1961 p.59-63
14. Melikovodov L.S. - Mașini pentru alezarea cămpilor de cilindru de la tractoare. Rev. Mașini uscate și scule. nr.12/1955 p.11.
15. Billik G.M. - Influența macrogeometriei cilindrilor asupra durabilității motorilor. Bul. Construcții de mașini (trad.I.P.T.) nr.3/1958 p.91.
16. Billik G.M. - Macrogeometria cilindrului și soluțiile găsește în ceea ce se referă la motorul. Bul. Construcții de mașini (trad.I.P.T.) nr.12/1958 p.10
17. Babosan Gh. și colab - Influența gradului de uzură a motorului asupra economicității automobilului. Rev. Transporturi nr.11/1963 p.509 - 512.
18. Runcu I. - Dependența forței de eșchisare de viteza de tăiere și de secțiunea a eșchiselor și aspectul economic al eșchiselor la viteze mari. Rev. Metalurgie și construcție de mașini, nr.5/1979. p.398.
19. Radovici C.Ia - O nouă sculă abrazivă pentru tăiere. Bul. Construcții de mașini (trad. I.P.T) nr.12/1958 p.95
20. Ristea N.I. - Suprafațăriile în ceea ce se referă la frecvență sărită a segmentelor abrazive. Rev. Mașini uscate și scule v.15 nr.3/1958 p.191-193.
21. Ristea N. - Utilizarea materialelor ceramice pentru scule. Bul. Tehnicieni metalurgici prin eșchisare, nr.1 1972, pol. 1

22. Cogiriu A.I.
- Tehnologia construcției de mașini. Trad. din limba rusă. Edit. tehnica Rm. 1255.
23. Cojocaru G.
- Influența temperaturilor interne din suprafața de lucru a cilindrilor motoarelor cu ardere internă asupra procesului de uscare. Rev. Construcții de mașini, nr. 6/1972 p.487.
24. Copoșchițki I.-I. și colab.
- Hanningovanie cilindroelor și obtinere durată de lucru în brusand în cizmeticele alamor. Vest. MFG. nr. 3/1965 p.53 - 56.
25. Copoșchițki I.-I. și colab.
- Rețevie invietuirea pri alamorii și abordarea hanningovani. Stanici și instrument, nr. 12/1966 p.30 - 34.
26. Copoșchițki I.-I. și colab.
- Alamente hanningovante brusand în perioada următoare. Stanici și instrument nr. 2/1971 p.26
27. Copoșchițki I.-I. și colab.
- Hanningovante alamorii elastičnosti brusand. Vestnik mașinostroenia, nr. 11/1970 p.61 - 63.
28. Copoșchițki I.-I. și colab.
- Hanningovante brusand în cizmeticele alamor (apăs GAZ 2). Stanici și instrument nr. 2/1966 p.29 - 31.
29. Chigău A.I.
- Cercetări asupra unor probleme referitoare la eliminarea de cilindri pestru motoare Diesel din fontă cu profit social. Rev. Metalurgia și construcția de mașini, nr. 1/1960 p.32 - 35.
30. Cojocanou G.
- Consumul piecelor de schimb și ponderea lor în prețul de cost al reparărilor. Rev. Mecanizarea și electr.-agriculturii nr. 11/1967 p.3
31. Colomac N.
- Ascondigăierea piecelor metalelor importante de reducere a prețului de cost ai reparărilor. Rev. Mecanizarea și electrificarea agric. nr. 5/1967 p.7
32. Conarovskiy I.-I.
- Vizualizarea colectivului brusand în proces hanningovanie. Stanici și instrument, nr. 12/1965 p.6 - 9.

33. Oana A.I.  
- Unde se bugetă pe sezon. Iarbă parăsită  
1989. Copyright "Academy Publishing Co" Ltd.
34. Gheorghe P.I.  
și colab.  
- Abundența coccodio. Iarbă parăsită  
la legume 1987.
35. Gheorghe P.I.  
și colab.  
- Recoltarea parăsitoarelor clocișelor prin  
obezitatea obiectivului bugetar. Vest.  
magazin. nr.8/1973 p.73
36. Octavian P. și colab. - Cercetările durată și corpășilor obiceiute.  
Rev. "studii și cercetări de cercetare a-  
gricolă" nr.1/1987.
37. Dumitru D.I.  
și colab.  
- Influența factorului termic asupra pro-  
ducției parăsitoarelor la suranțele cu coti-  
te aminte cu restul unei. Bullettenul comu-  
năcăpător de magistri (tend. I. D. S.) nr.10,  
1959 p.38.
38. Dumitru L.A.  
- Recuperarea rezervației cilindrilor motorului  
ZIL 130 și GAS 55 după separația motorului.  
Bullettenul comunăcăpător de magistri (tend.  
I. D. S.) nr.9/1955 p.46.
39. Dumitru L.A.  
și colab.  
- Variatia durată și suprafaței cutite a  
cilindrilor motorului cu adăuga întărirea  
în cursul rodașului. Bullettenul comu-  
năcăpător de magistri (tend. I. D. S.) nr.12/1955  
p.95.
40. Mărculescu P.Ș  
și colab.  
- Calitatea exploatărilor la producerea  
metalelor prin sechizie. trad. din limb.  
rus. Edit. Tehnică Dec. 1958.
41. Mărculescu P.Ș  
- Recuperarea luptă controalei noptierilor.  
Bullettenul comunăcăpător de magistri nr.37  
1958 p.44 - 49.
42. Dingleras R.  
și colab.  
- Prelucrarea grăurilor edinei. Rev. Cen-  
trează și de vegetație. Colect selecțiv I.D.S.  
nr.2/1957 p.9

43. Drăgoiu N.I.  
și colab.
- Rezili spocoob zahreplacile detaliu tipă  
ghilis pri hoinigevanii. Vest. mag.  
nr.8/1972, p.49 - 50.
44. Dobres I. și colab.
- Analiza statistică a năvășorilor de  
rugositate. Rev. Transporturile 12 nr.7/  
1965 p.273 - 277.
45. Doduc P.
- Etanajires de fuzări precizie. Cist.-teh.  
București 1970.
46. Dragu Bogi colab.
- Cu privire la influența rugosității supra-  
fețelor ocupate comportării oriceorilor de  
mașini. Rev. Construcții de mașini nr.10  
1966 p.991 - 995.
47. Dragun A.P. și colab.
- Influența poziției tăblulei cuțitelor de  
etanajit interior asupra stabilității lor  
la vibrații. Rev.Bogini unelte și echipa-  
rur.3/1963 p.161.
48. Drăghicii Gh.  
și colab.
- Studii privind influențarea calității  
cântăgilor de cilindri ale motoarelor de  
autovehicule. Buletinul Inst. Polit. Bucov  
Feria națională vol.XI 1969 p.501 - 507.
49. Drăghicii Gh.  
și colab.
- Contribuții la calculul durabilității eku-  
lei și rezistenței de eșalare. Buletinul  
Inst. Politehnic Bucov, vol.X 1968 serie A  
mechanică, p.303.
50. Drăghicii Gh.  
și colab.
- Studiul preciziei geometrice, dimensionale  
și ai calității suprafeței active la pro-  
ducerea cântăgilor de cilindri ale motoru-  
lui de tractor. Rev. Construcții de mașini  
nr.3/1967 p.121 - 130.
51. Drăghicii Gh.  
și colab.
- Studii asupra rezistențării calității că-  
ntăgilor de cilindri ale motoarelor de  
autocamioane și tractoare. Rev. Construcții  
de mașini nr.5/1970 p.268-270.
52. Drăghicii N.  
și colab.
- Metode pentru reducerea usorii segmentilor  
și cilindrilor motoarelor cu ordine inter-  
val. Rev.Construcții de mașini nr.4/1965  
p.195-198.

53. Drăscă R.  
- Experiențe practice la folosirea cutiilor de strug cu plăci din materiale ceramice. Rev.construcții de mașini. Caiet colectiv I.D.T. nr.22, noiembrie 1985 p.1261.
54. Duse Z.  
- Aplicește metodele. Partea I. Tipografia învățămintului, București 1995.
55. Duse Z.  
- Teoria scăelor scheletice. Editura tehnica București 1987.
56. Duse Z.  
- Bazele teoretice ale prelucrărilor pe mașini ușoare. Editura Didactică și ped. Buc. 1969.
57. Duse Z.  
- Contribuții la probleme determinante regimului optim de apărare. Rev. Metodologie și construcție de mașini, nr.3/1976 p.8
58. Duse Z.  
- Indicații practice în legătură cu stabilitatea regimului optim de apărare. Rev. Metodologie și construcție de mașini, nr.4/1976 p.3.
59. Dumitrescu G.  
- Calculul forțelor de apărire la strângere longitudinală. Rev.Construcții de mașini, nr.3/1970 p.157.
60. Efremov V.V  
- Repararea autotabilelor Vol.II Trad.din liste rusă Edit.tehnica București 1977.
61. Elisseev R.  
- Cutite cu plăci din carduri metalice. Edit.tehnica București 1962.
62. Kličmar S.  
- Scale cu plăciște. Edit.tehnica Buc.1969.
63. Radilă N.  
- Organizarea eșantilor specialiști pentru rectificarea arborilor motor și aleșarea cilindrilor motoare în atelierele FIM. Rev. Reconstrucție și electr. agric. nr.10/1975 Anul IVIII, p.3.
64. Rauchle F.t.  
- Protectoare și tehnologie scăelor scheletice. Edit.didactică și ped. București 1975.
65. Rauchle F.t.  
- Calitatea suprafețelor prelucrate. Edit. tehnică București 1986.
66. Rauchle F.t.  
- Tehnologie asculțării scăelor scheletice. Edit.tehn. București 1963.

67. Banche St.  
- Tehnologie acutirii și netezării sculelor apăratoare. Vol.I și II. Edit. tehn. București 1973.
68. Banche St. și colab. - Tehnologie sculelor apăratoare. Edit. tehnică București 1964.
69. Banche St. și colab. - Apărare și coule apărătoare (Instrucții pt. lucrările de laborator). Edit. didactice și ped. București 1967.
70. Banche St.  
- Contribuții privind le geometrie optimală a ouăților de făinăciu în zone de virf. Rev. Construcții de mașini nr.9/1969 p.567 - 576.
71. Banche St. și colab. - Contribuții la stabilitatea legăturii dintre rugozitate și precizia dimensională la piezile strânse în regimuri de cecitate diferite. Rev. Construcții de mașini, nr.11/1969 p.657 - 661.
72. Banche St.  
- Contribuții la studiul influenței microgeometriei și usurii trângului sculei asupra rugozității suprafețelor polimerice. Rev. Metalurgie și construcție de mașini nr.9/1962 p.325.
73. Banche St.  
- Utilizarea zeționului e plăcuților de aliaj dur. Rev. Metalurgie și construcție de mașini nr.5/1957 p.38
74. Bălțiu I. și colab. - Tehnologie de fabricație a piezelor de automobile și tractoare. Edit. didactice și ped. București 1963.
75. Bălțiu I. și colab. - Tehnologia reparării utilajului agricol. Inst. Politehnică Brașov 1970.
76. Bălțiu I. și colab. - Fabricarea și repararea automobilelor și tractoarelor. Universitatea Brașov 1971.
77. Bălțiu I. și colab. - Supravegherea selectivă a piezelor în industria de automobile și tractoare. Bul. Inst. Polit. Tehnică Brașov, serie A mecanică vol.1 1969, p.309.

78. **Mădină A.Ş și colab.** - Prelucrarea prin bocing cu suprapri  
cu liant organic. Rev. Mășini unele  
și scule, nr.11/1958 p.59
79. **Supper I.O.S** - C tehnicii obiectelor tăblăcicăilor  
pentru obiectelor. Rev. Stocă și instrument  
nr.4/1986 p.5 - 9.
80. **Rein A.O și colab.** - Calculul regimurilor de achiziție pro-  
trou prelucrare pe mășinile unele o-  
chietoase. Rev. Prelucrarea metalelor  
prin achiziție nr.10/1972, p.15.
81. **Fojcs I și Ioanț V.** - Contribuții la studiul înflorșorii per-  
metătorilor cinematici în procesul de ba-  
năice. Rev. Construcții de mașini nr.2  
1963, p.35 - 39.
82. **Vlaicenco C.N.**  
și colab. - Unice dimensiunile a obiectelor în cadrul  
stransfării interioare de urmărire. Rev.  
Mășini unele și scule, nr.9/1963 p.58
83. **Fischer H.J.** - Studiul teoretic congru finisările co-  
profesiei în funcție de geometria sculei  
și de avans. Rev. Prelucrarea metalelor  
prin achiziție, nr.7/1971 p.29.
84. **Florea S.** - Metodele statistică de analiză a pro-  
ceselor tehnologice și de control op-  
erativ al calității produselor în indus-  
trie. Rev. Metalurgie și construcții  
de mașini nr.1/1995 p.59 - 67.
85. **Florea O.** - Control operativ statistic al calită-  
ții pe baza de măsurare. Rev. Metalurgie  
și construcții de mașini, nr.2/1995  
p.42.
86. **Florea O.** - Control operativ statistic al calității  
pe baza de măsurare. Rev. Metalurgie și  
construcții de mașini nr. 4,5/1995  
p.52.
87. **Vasghin I.Ş.**  
și colab. - Reciclarea cu diamant a alezajelor în  
piețe din epox cavit. Rev. Mășini unele  
și scule, vol.15, nr.10/1964 p.630-  
634.

88. Freghin I.S. - Revizionarea tehnologiei impotrericii ghilis  
țilindrov. Rev. Constructori și celișoarești, nr.9  
1971, p.40.
89. Freghin I.S. - Renovarea cărbujilor de cilindru ale motorului  
de tractor cu segmenti din poliuretă de diametru  
sintetic. Mașini ușoare și scule, nr.1/1984  
p.46 - 51.
90. Freghin I.S. - Renovarea cărbujilor motoarelor de tractor cu  
segmenti din diamante sintetice și naturale.  
Mașini ușoare și scule vol.36 nr.4/1985, p.203-  
208.
91. Freghin I.S. - Renovarea sacaleunih ghilis țilindrov  
krupnogernistimi obiectivului bruskeri. Tehnică  
și instrument, nr.1/1979 p.21 - 24.
92. Freghin I.S. - Algoritme de renovație a sacaleunih cuprului  
ghilis țilindrov Rev. Tehnică și instrument nr.  
12/1986 p.26-29.
93. Freghin I.S. - Determinarea întărișorii posibilelor pri bunișoare-  
nii tractoarelor țilindrov. Rev.Tehn. Dug. nr.  
5/1969 p.46-47.
94. Freghin I.S. - Vizualizarea proceselor elasice la structura tehnolo-  
gică pe procesuri abrazive de renovație  
sacaleunih cuprului. Vest. naș. nr.3/1971 p.  
77-79.
95. Freghin I.S. - Aplicarea deviației bruskeri în procese bunișoare-  
nii. Vest. naș. nr.11/1973 p.65.
96. Fridlander G.I. - Aspectele rigidității sistemului tehnologic.  
Mașini ușoare și scule nr.1/1976 p.35
97. Gavrilă V.D. - Folosirea metodelor înregistrărilor decupate la  
determinarea unorii cărbujilor la frecvență  
directă pe motor ale combustibilului și ale  
inimii. Buletinul construcțiilor de mașini nr.  
12/1977 p.49
98. Geiler Z.E. - Compensarea temperaturorii deformării pri  
renovație. Rev. Tehnică și instrument, nr.11  
1973 p.29
99. Golifalid O.H. - Vizualizarea geometriceștilor posibilelor  
și scule.

- năi băi ingovani în stâncă nu tocmai obiectivemul obiectivii. Vizuri și instrument nr.12/1973 p.3.
- 100. Georgescu G.S** - Cartea rectificatorului. Editare tehnică București 1962.
- 101. Georgescu G.S** - Indrumător pentru obiectivele mecanice. Editare tehnică București 1972.
- 102. Golubov N.P** - Influența diferenților factori asupra netezitării suprafeței la strunjirea fontei. Buletinul construcțiilor de mașini tradițional 1977 p.79.
- 103. Golubov N.P** - Înunțarea rapidă a fontei de mase rezistență. Buletinul construcțiilor de mașini. Trad. I.D.T., nr.5/1958 p.60
- 104. Gorostikhin N.I** - Particularitățile acoperirii procesului de băutură a clădirilor. Buletinul construcțiilor de mașini - trad. I.D.T., nr.1/1961 p.72-75.
- 105. Gorostikhin N.I** - Cările de mîrini și eficiențăii băuturii. Mașini ușoare și scule nr.1/1961 p.19 - 22.
- 106. Grøth H.** - Discurile abrazive și utilizarea lor. Mașini ușoare și puțințe metalelor nr.36/1968 p.929 - 937, I.D.T. București.
- 107. Gunkov B.S** - și colect. - Ocupația capitalelor și rezervării în ceea ce privește întărirea de netezitării a buclelor de fontă de mașini de aleset cu diamant. Mașini ușoare și scule, nr.3/1962 p.493.
- 108. Hartwig H.** - Microgeometria suprafețelor prelucrate prin procesul băutură. Construcții de mașini (colectiv), nr.6/1958 p.35
- 109. Holt P.C** - Studii asupra durabilității sculelor de apăchete. Construcții de mașini. Colectiv selectiv I.D.T. București nr.3/1957 p.117.
- 110. Isakov A.I** - și colect. - Înunțarea rapidă a fontei cu cutite ceramice. Buletinul construcțiilor de mașini, nr.30/1952, p.95.

111. Iosorită P.I  
- Recenzie privind creșterea prii obiectelor  
străbătării instrumentelor. M.E.M., 1979.
112. Iosorită P.I  
- Recenzie raport. Preducere din I.R.D.  
I.O.F. București 1955.
113. Iosorită P.I  
și colab.  
- Povestirea recenție eliberată powerline-  
rei și rezistență creștere străbătării - obiecte  
instrumente. M.E.M., 1972.
114. I.C.N.A.  
- Tehnologii de reparare a tractoarelor  
T-650 și T-651. Album cu figuri tehnologice  
I.O.F. București 1955.
115. Ilin S.M. și colab.  
- Capete de baniști și capete de rosturi de tip  
„noile”. Negocii ușoare și scurte, nr. A/1957  
p.63.
116. Ionut V. și colab.  
- Cercetări privind procese economiză în pro-  
cesul de banișire. Construcții de mașini,  
nr. 11/1957 p.650 - 654.
117. Ionut V. și colab.  
- Contribuții la studiul procesului de apălia-  
re și a variației presiunii specifice la  
banișire. Construcții de mașini, nr. 5/1968  
p.173 - 195.
118. Ionut V. și colab.  
- Cercetări privind procesele tehnice la bani-  
șirea cilindrilor. Buletinul științific  
al Inst.Politehnica Cluj 1965 (9) p.261-267.
119. Ionut V. și colab.  
- Studii și cercetări asupra productivității  
masinii la banișirea cilindrilor din fontă,  
cu scule obiective de granulație mijlocie  
și linișt banchetă. Buletinul științific  
al Inst.Politehnica Cluj, 1967 (10) p.123-130.
120. Ionut V. și colab.  
- Cercetări privind productivitatea de bani-  
șire cilindrilor cu baze obiective de granula-  
ție fină și mijlocie cu linișt banchetă.  
Buletinul științific al Inst.Polit.Cluj  
1968 (11<sub>1</sub>) p.163 - 168.
121. Ionut V.  
- Usoare rezultate privind cercetarea proceso-  
lor tehnice la banișire. Buletinul științific al  
Inst.Polit.Cluj 1968 (11<sub>2</sub>) p.129 - 136.

122. Iosif V.  
- Cercetări privind caracteristicile influențate  
segnalatice de eschise asupra temperaturii la  
bombole. Bullettinul științific al Inst.Polit.  
Cluj 1970 (15) serie mecanică p.47 - 53.
123. Iosif V.  
și colab.  
- Aspecte ale cecetării abaterilor de formă  
la bombole bușoale cu pereti subțiri. Rev.  
studii și cercetări de mecanică agricolă.  
vol.30 nr.4/1971 p.955.
124. Iosif V.  
- Influența cilindrilor de cilindru de la motoarele  
de tractor, la recondiționarea fini-  
sare. Rev. Studii și cercetări de mecanică agricola,  
vol.VI nr.3/1972 p.207-223.
125. Iosif V.  
- Reglarea bunciei la recondiționarea de fini-  
sare a cilindrilor de la motoarele de tractor.  
Rev. Studii și cercetări de mecanică agricolă  
vol.V nr.2/1971 p.159 - 172.
126. Iosif V.  
- Cercetări privind corectarea abaterilor de  
la forme geometrice la recondiționarea cilin-  
drilor de tractor. Rev. Studii și cercetări  
de mecanică agricolă, vol.IV nr.4/1970 p.  
353 - 372.
127. Iosif V.  
și colab.  
- Corectarea abaterilor de la forme geometrice  
a cilindrilor de cilindru. Rev. Studii și cercetări  
de mecanică agricolă, vol.V nr.3/1971  
p.265 - 279.
128. Iosif V.  
și colab.  
- Bazele teoretice ale prelucrării pe roți  
unelte. Indrumător pentru lucrări de labora-  
torie. Lite Inst.Politehnica Cluj 1970.
129. Iosif V.  
- Îndezvoltarea proceselor hantipovestire cognitiv-  
tehnologice abatorie și în impresa minieră  
trădând un material evaziv. Tesa de  
doctorat - Iasiugani 1986.
130. Iosif V.  
și colab.  
- Tehnologia separării utilajului agricol.  
Indrumător pentru procese de en și diplonim.  
Inst.Politehnica Cluj 1977.

131. Iosifin V.I  
- Deformările termice ale sculelor provocate la achiziție fontei. Mărtinul construcților de mașini. Ord.I.O.T.București nr.5/1957 p.6
132. Kocse V.A  
- Testele tocanei sacalemoto cugane. Iasi. "Mec." Moarte, 1963.
133. Kocse V.A  
- Alegerea criteriului de tocire a căptitelor armate cu plăcuțe VK.2 și VK.3 în cadrul stranjirii interioare de extensie a fontei. Mașini uscate și scule, nr.11/1959 p.47.
134. Kocse V.A  
- Prelucrabilitatea fontei căptite cu ajutorul căptitelor armate cu plăcuțe VK.2 și VK.3. Mașini uscate și scule, nr.7/1959 p.49.
135. Kocse V.A  
- Uzura căptitelor cu plăcuțe mineraldice la stranjirea interioară de extensie a fontei. Mașini uscate și scule, nr.4/1957, p.63.
136. Kocse V.A  
- Uzura dimensională a căptitelor armate cu plăcuțe VK.2 la stranjirea interioară de extensie a fontei. Mașini uscate și scule nr.4/1956 p.62
137. Kolomijeridov B.O  
- Influența proprietăților mecanice ale metalelor supuse efortului vibrațiilor în timpul stranjirii. Mașini uscate și scule, nr.7/1959 p.55.
138. Lecumberri Ia.M  
și scule.  
- Emetabile vibro optimizarea rezistență per la îmbogățire. Vest. cas. nr.6/1969 p.47 - 51.
139. Klačin K.I  
- Caleul la rezistență și părții mecanice a sculelor. Rev. Mașini uscate și scule, nr.2/1958 p.9.
140. Knapek R.  
- Dispozitive de prindere hidraulice pentru mașinile speciale de prelucrare prin apătare. Construcții de mașini. Caiet selectiv I.O.T., nr.2/1967 p.84.

141. Zolov L.E  
- Probleme privitoare la precizie apăsării metalelor. Prod. din lînta număr 1147 Rsc. 1964.
142. Kolman R.  
- Criterii pentru alegerea claselor de ruginitate în producție de condițiile ingeneurilor suprafețelor organeelor de mașini. Construcții de mașini - Caiet selectiv - I.D.T. București nr.11/1960 p.24
143. Kondrakov A.I.  
- Variatia durabilității cutitelor în funcție de intensitatea vibrațiilor. Mașini ușoare și scule, Vol.15 nr.9/1964, p.561 - 564.
144. Kosovskis P.A  
- Asperitățile optime a suprafețelor în freccare. Calitatea suprafețelor prelucrate.
145. Zatulinikov V.K  
- Alegera demontabile și legea de etanșajit interior armate cu metal dur pentru prelucrarea carcasașelor din fier. Mașini ușoare și scule nr.3/1957 p.58
146. Krissin I.S  
și colab.  
- Legea pentru mașini aleasă de fără tăieri. Mașini ușoare și scule, vol.16 nr.5/1965 p.321 - 323.
147. Kublanov V.L  
- Tipurile progresivei tehnologice și programele obiectivii ghilis Țilindrov. Rev. Tractori și utilaje meșteșugărești, nr.7/1968 p.50.
148. Kuchins L.C  
- Instalații de etanșajit interior obținute la vibrații pentru prelucrarea cunoscătorilor lașărilor cu frecvențe mari. Mașini ușoare și scule nr.3, 1962 p.145.
149. Radusov G.Y  
- Rezonanțele obiective obținute în instalații. Mașina, 1976.
150. Radusov V.A  
- Înfluențarea vibrațiilor la etanșajirea interioară cu un port-cutit în consolidare. Mașini ușoare și scule nr.12/1958 p.12
151. Kulikov S.I  
și colab.  
- Analiză obținută spindulădină bătător haringovului stator. Teoria și instrumente nr.2/1968 p.6

152. Kuznetsov B.A  
- Noi construcții de scule egchietoase, operaute de viburat și control. Mașini ușoare și scule, nr.5/1953 p.1
153. Kuznetsov A.N  
și colab.  
- Vizante geometricele parametrii cintătoarelor alamorii zonelor ce îl rejuancă crioistru. Tehnici și instrument nr.12/1964 p.28.
154. Lăzărescu I.D  
- Teoria egchierii metalelor și proiectarea sculelor. Edit.Didactice și pedagogice Buc. 1964.
155. Lăzărescu I.D  
- Calculul și construcția sculelor egchietoase. Editura tehnică București 1961.
156. Lăzărescu I.D  
- Influența parametrilor geometrici asupra profilului sculelor egchietoase. Rev.Buletinul științific al Inst.Politehnica Cluj, 1967 (10) p.141 - 145.
157. Lăzărescu I.  
și Leonțiu V.  
- Contribuții în legătură cu desfășurarea procesului de bominare a alamorilor. Buletinul științific al Inst.Politehnica Cluj, 1967 (10) p.141 - 145.
158. Lepădă S.  
- Repararea tractoarelor, autotabilelor și mașinilor agricole. vol.I Lite Inst.Agroeconomic „T.Vladimirescu” Craiova 1960.
159. Lessenko G.P  
- Bloc de strunjit interior. Mașini ușoare și scule, nr.11/1960 p.57.
160. Levceșko A.N  
- Determinarea regională de egchiorie la strunjiri. Mașini ușoare și scule, nr.12/1959 p.20.
161. Levin B.G.  
și colab.  
- Algebras bominovnicie stverstii. Mașinostrucție - Leningrad 1969.
162. Loesentov V.V  
- Rectificarea. Mașini și ușoare de rectificat. Editura tehnică 1950.
163. Lortie G.B  
- Alegerea criteriului de durabilitate a discurrilor strunjitoare în legătură cu condițiile de calitate și suprafaței. Buletinul construcțiilor de mașini. Trad.I.D.T. nr.8/1961, p.606 - 610.

164. Gabarov A. D.  
și colab.  
- Varietăți nrurii dimensiunile și cotitelor  
în funcție de tipul elementelor. Re-  
zini unalte și scule, nr. 9/1958 p. 557-566.
165. Hacheloff și colab.- Utilizarea rețională a concrecăturii cu  
plăci de ceramice pentru aplicații mecanice.  
Construcții de mașini. Caiet selectiv  
I.D.T. București nr. 7/1961 p. 446.
166. Mandov D. P.  
și alții  
- Tehnologia construcției piezelor de auto-  
mobile și tractoare. Trad. din limba rusă  
Editura tehnica București 1955.
167. Mologa I. și colab.- Rectificarea. Vol. I și II. Editura tehnici-  
că București 1954.
168. Nicosyadov P.  
- Grăsimi motoarelor cu ardere interioară și  
cijocuri de presură. Construcții de ma-  
șini. Caiet selectiv, I.D.T. București nr.  
5 1962 p. 254.
169. Sibillew A. A.  
- Rectificarea și hranirea suprafațelor in-  
terioră ale piezelor concrete. Boletinul  
construcțiilor de mașini. Trad. I.D.T. Buc.  
vol. 13, nr. 1/1962 p. 64-71.
170. Nigin I. A.  
- Dolgozvani dvișteli. Inst. Enginostruc-  
ționis. Leningrad 1963.
171. Nigin I. A.  
- Resistențe la urmări a piezelor motoarelor  
de automobile și tractoare. Trad. din I.  
rusă. I.D.T. București 1961.
172. Rati. Colle.  
- Catalog - Corpuri abrasive. Edit. tehnica  
București 1963.
173. Roșoi R.  
- Aspecte ale preacizierii rugozității super-  
fațelor. Detalajele și construcțiile de ma-  
șini nr. 11/1959 p. 950.
174. Sudagalov G. R.  
- Tehnici vivarii osii spinelie stânche și  
boringshogo obverzis. Închi și instrument,  
nr. 5/1966 p. 34 - 36.
175. Savc A. F. C.  
- Recenzul toriosului mecanic. Tehnologia  
construcțiilor de mașini. Editura tehnica  
București 1973.

176. Belkessov N.f.  
și colab.
- Ieningerenie zemleznego cugue elenchnia  
instrumente. Voz. mag. nr.4/1968 p.  
70 - 73.
177. Nicols E.
- Eficiență recondiționării de amasaburi  
și subammasaburi centralizat în usine  
de reparării specializate. Rev. Recondi-  
zare și electric. agric.nr.7/1967 p.3
178. Remevici A.I.
- Influență a regularităților suprafeței  
coperii usurii piezelor din rotulaile de  
tractor. Calitatea suprafețelor prolu-  
crește. Tradiția l.muzăi I. D. I. Rec. 1955 .
179. Rice C.
- Indrațitor pentru lucrările de laborator  
la discipl. Tehnologie reparării utilajelor  
agricol. Lite Inst. Polit. Timișoara  
1969.
  - Curs de tehnologie reparării utilajului  
agricol, vol.I și II. Lite Inst. Polit.  
Timișoara, 1970.
180. Niță I.  
și colab.
- Contribuții la cîrîrea duratăi de func-  
ționare a furnizorilor de ambi și actori  
de la mașinile agricole. Curs de doctorat,  
Inst. Polit. Timișoara. "scultarea  
de mecanice Agricole" 1973.
181. Niță I. și colab.
- Recondiționarea piezelor uscate în reac-  
sal de reparare a tractorelor. Rev.  
studii și cercetări de mecanică agricolă  
vol.II nr.2-3, 1968.
182. Novikov A.D
- Studiul rezistenței la uscat a metalelor  
duse V.K 2 și T 30 K4 în cîmpuri  
fantei modificante. Răstăi unite și  
scute nr.1/1958 p.42.
183. Padiogli M.
- Strunjirea cu blocuri de cașite la roți  
de aleasă orizontale. Metallurgie și con-  
strucții de roți nr.10/1955 p.36 - 42.
184. Passekov V.J
- Forțele de apăsare în cîmpuri periferice  
cu evanesceri mari. Roțiuni unite și scute  
nr.10/1955 p.71.

186. Proshakov V.I.  
- Interdependențe între parametrii de  
șochiere. Bulletinul construcțiilor de  
mașini. Trans.I.B.P. București nr.7/1995  
p.85.
187. Picog C. și colab.  
- Tehnologia construcției de mașini (cal-  
culul aducurilor de prelucrare). Edit.  
didactică și ped. București 1964.
188. Picog C.  
- Tehnologia construcției de mașini (re-  
gimuri de șochiere) vol.I Institutul  
Polytechnic Iași 1970.
189. Picog C. și colab.  
- Tehnologia construcției de mașini (re-  
gimuri de șochiere) vol.II. Inst. Politec-  
nic Iași 1971.
190. Picog C. și colab.  
- Calculul aducurilor de prelucrare și  
al regimurilor de șochiere. Edit. Tehn.  
București 1970.
191. Picog C.  
- Tehnologia construcției de mașini.  
Edit. Didactică și ped. București 1970.
192. Ponomariov N.D  
și colab.  
- Calculul de rezistență în construcție  
de mașini. Vol.I. trad. din 1. rusă  
Edit. Tehnică București 1960.
193. Ponomariov N.D  
și colab.  
- Calculul de rezistență în construcții  
de mașini, vol.II. trad. din 1. rusă  
Edit. Tehnică București 1963.
194. Ponomariov N.D  
și colab.  
- Calculul de rezistență în construcție  
de mașini, vol.IV. trad. din 1. rusă  
Edit. Tehnică București 1964.
195. Popescu N.G.  
și colab.  
- Contribuții la problemă lectorii șta-  
tute rugătoare, procedeu de prelucrare,  
dimensiuni, clase de precizie și func-  
țiiile în construcție de mașini. I. tutui  
și cercetările de cercinii aplicată .  
Rev. XII, nr.2 1961 p.325.
196. Popov N.P. și colab. - Cu privire la parametrii geometriici ai  
căutării aranjare cu plăcuță cu curbură  
antialice. I. tutui și cercetările de cerc.apli-  
cate Rev. VIII nr.3/1997 p.423

197. Popov N.P și colab. - Despre regimul optin de apădare cu conținut de strung excesiv cu plante din cerbari metalice. Studii și cercetări de tehnici aplicate. Tom VIII nr.3/1957 p.915.
198. Popov N.P și colab. - Resistențe la umurii a sculei în funcție de geocenozoia sculei. Studii și cercet. de tec.aplicate Tom. 4 anul XI/1960 p.983.
199. Popov N.P și colab. - Geocenozoia sculei apădătoare pentru prelucrarea căpătarilor carton. Studii și cercet. de tec.aplicate 6 Anul XII 1961 p.1397.
200. Popov N.P și colab. - Influența faptelor și a reuni de recordare asupra umurii sculei apădătoare. Studii și cercet. de tec.aplicată 1. Anul XIII, 1962 p.203.
201. Popov N.P și colab. - Acupre regimurilor economice de strunjire și căpătarilor carton. Studii și cercet. de tec.aplicată 4. Anul XIII, 1962 p.160.
202. Popov N.P și colab. - Influența anghinilor de acasare asupra umurii sculei apădătoare. Studii și cercet. de tec.aplicate Tom XIV, nr.3/1963 p.641.
203. Popovici C. și colab. - Tehnologie construcției de roșini. Edit. didactică și ped. București 1987.
204. Popovici N. și colab. - Ghid pentru controlul statistic al calității produselor industriale. Editura Tehnică București 1973.
205. Radușchi V. - Probleme durabilității economice a materialelor apădătoare în industria construcțioare de roșini. Rev.Detalurgie și construcții de roșini nr.2/1955 p.45
206. Radușchi V. - Asigurarea unor fizuri obiective cu porcentajele mici. Roșini umplute și coale, nr.12 1952 p.19 - 20.
207. Radușchi R. și colab. - Metode statistice de control coartat și calitatea produselor și al serviciului

- procesului de producție. Metalurgie și construcții de mașini. Nr.11/1956 p.73.
- 208. Farca N.  
și colab.
  - Metode statistice de control curat al calității producției și al normalui procesului de producție. Metalurgie și construcții de mașini nr.1/1957 p.68
- 209. Nedrea S.G  
și colab.
  - Prinzenie visocooptometrich analizii privindgorasii zecalelor stălei. Staniki și instrument, nr.12/1955 p.12 - 13.
- 210. Popov V.P.
  - Influența elasticității coulei asupra operei vibrațiilor în cazul strunjirii interioare de măsurare. Mașini mălțe și acule vol.15, nr.3/1954 p.137 - 196.
- 211. Răjor I.V  
și colab.
  - Deformările termice ale cutitelor amonte cu plăciute de metal fur. Buletinul construcțiilor de mașini. Trdi. I.D.T. Rec.nr.3/1953 p.226.
- 212. Răjor V.I  
și colab.
  - Facile pentru prelucrarea găurile din diametru mare. Mașini mălțe și acule nr.3/1956 p.89.
- 213. Răjor V.I
  - Precizia precoscării la mașinile de alcat. Mașini mălțe și acule, nr.2/1956 p.77
- 214. Răkoczi B.I
  - Stabilitatea dimensiunii a procesului de alzare rapidă. Mașini mălțe și acule, vol.16 nr.2/1955 p.102 - 106.
- 215. Rehalle G.  
și colab.
  - Factorii care influențează calitatea suprafățelor la securificare. Construcții de mașini. Caiet selectiv I.D.T. nr.11/1958 p.27
- 216. Rojstrik B.V.
  - Aparate pentru controlul parametrilor geometrici și coulelor mecanismelor. Mașini mălțe și acule, nr.2/1955 p.40
- 217. Romashuk V.A
  - Controlul măsurat al vibrărilor în timpul băncirii. Mașini mălțe și acule, nr.11/1958 p.23.
- 218. Radolis V.
  - Dispozitiv de printare și în formare. Construcții de mașini. Caiet selectiv I.D.T. Rec. 1957, nr.4 p.295.

219. Salje S. - Deformările termice și rigiditatea mașinilor uscite. Construcții de mașini. Colect selectiv I.D.F. București nr.20/1967 p.1055.
220. Ţeaur L. - Noile puncte prelucrării cărărilor. Editura tehnică București 1966.
221. Ţeaur L. - Optimizarea ușinilor de achiziție. Teseu de doctorat. Inst.Politehnic București 1939.
222. Tevili Gh. și colab. - Stabilirea numărului optin de treoari la operația de strânzire pentru asigurarea preciziei geometrice. Boletinul științific și tehnic al Inst.Politehnic Timișoara, Vol.15(27), an. 2/1968 p.453.
223. Tevili Gh. și colab. - Îndrumător pentru lucrări de laborator. Tehnologia construcțiilor de mașini. Inst.Politehnic Timișoara, 1969.
224. Fechner I. - Cu privire la efectul deformării determinate de temperatură asupra preciziei de lucru a mașinilor uscite. Construcții de mașini. Colect selectiv I.D.F.București, nr.7/1967 p.367.
225. Fecord Gh. - Influența granulometriei discurilor strasive asupra capacitatilor de achiziție. Construcții de mașini nr.12/1972 p.721 - 725.
226. Fecord Gh. - Descrierile privind factorii de dependență și duratății corporilor obrazitive. Construcții de mașini nr.8/1970 p.483 - 487.
227. Bechel V. - Aplicația unui proces tehnologic pentru a încrește rezistența la uzură în fabricația de cerne și cilindrilor din feruș și motoarelor n. 33. Metalurgie și construcții de mașini, nr. 10/1955 p.57.
228. Belogorschi Al. - Descriere de vîzări și organizări. Metalurgie și construcții de mașini nr.1/1957 p.25.
229. Benea H.P. și colab. - Almenarea bazașorânciilor trudno obrotiveștește stălei. Cuvânt și instrument nr.9/1968 p.31.
230. Peptilici R. - Cu privire la rugositatea suprafațelor. Metalurgie și construcții de mașini nr.2/1958 p.128

231. Serebrenik Io.B și colab.
- Abnegație în invenție și dezvoltare și folosirea de aliosilicică și silicică în spălarea. Tehnici și instrument, nr.7/1987 p.5-6.
232. Serebrenik Io.B și colab.
- Abnegație în invenție și dezvoltare și folosirea de aliosilicică și silicică în spălarea. Tehnici și instrument, nr.1/1989 p.21 - 22.
233. Senghienko I.N
- Descrierea unor tehnici de prelucrare a minereurilor și a minelor de fier. Ed. Acad. Române. București 1955.
234. Smirnov A.G
- Rezultatele cercetărilor privind folosirea minelor de fier și a minelor de fier și a minelor de fier. Ed. Acad. Române. București 1955.
235. Sobolewski C.I
- Din experiența utilizării metodelor dar și K.2. Mașini ușoare și scule nr.3/ 1955 p.30.
  - Obiecte de abrazivimantă tradițională. Izd. Națională Leningrad 1957.
236. Sobolev S.P și colab.
- Recenzie elementelor din piese din aliaje de aluminiu. Mașini ușoare și scule vol.16 nr.4/1965 p.208 - 209.
237. Sobolev S.P
- Precizia prelucrării mecanice și metodele pentru mărire și. Trad. din Engleză. Ed. Tehnică Teoretică 1954.
  - Recenzie elementelor din piese din aliaje de aluminiu. Mașini ușoare și scule vol.16 nr.4/1965 p.208 - 209.
238. Schmalowscchi A.P
- Precizia prelucrării mecanice și metodele pentru mărire și. Trad. din Engleză. Ed. Tehnică Teoretică 1954.
239. Schmalowscchi A.P
- Recenzie elementelor din piese din aliaje de aluminiu. Mașini ușoare și scule vol.16 nr.4/1965 p.208 - 209.
240. Stoen D.A
- Resistența materialelor. Editura did. și pedagogică București 1957.
241. Stănescu I. și colab.
- Proiectarea și construcția dispozitivelor. Edit. didactice și pedagogică București 1964.
242. Stănescu I. și colab.
- Dispozitive pentru mașini ușoare (Proiectare și construcții) Edit. tehnico-ed. București 1969.
243. Stănescu I.
- Durabilitatea și necesitatea de scule cu plăci pe din aliaj dar. Botezul și construcții de mașini, nr.2/1999.

244. Stănescu G. - Distanțe optime dintre legătu și rigiditatea statică a arborilor principali și magazinilor uscate. Prezentarea metodelor prin schițe. Nr.9/1972 p.8 - 14.
245. Sterețov V.A - Despre eroarele formei geometrice a elemajelor în funcție de coeziunea respectivii circumferințiale a dinților elemajului. Construcții de capini. Caiet selectiv I.B.T București nr.7/1983 p.418.
246. Popescu Z.M - Dispozitive de control activ la bocanci. Usină uscate și scule nr.8/1951 p.526.
247. Popescu Z.M - Măsurarea diametrului elemajului în timpul bămîrlii. Usină uscate și scule nr.11/1959. p.48
248. Popescu Z.M - Recenzie foreli obiectiv catalogul ghilis pri bămîrlor. Studii și instrumente nr.12/1965 p. 4-7.
249. Sangucov A.B - Norme tehnice în atelierele mecanice. Prod. din I.ș.mă I.B.T București 1951.
250. Rontea F. c.c - Experimentări privind realizarea unor pișoare apăsatante din carturi metalice la uzine Electromotor Craiova. Comunicații de magistri nr.6/1972 p.515.
251. Tătăru V. - Proiectarea și construcția dispozitivelor. Edit. didactice și pedagogice București 1954.
252. Tăpăloagă I. - Procedeu honing. O serie de întrebări și soluții la problemele separațiilor auto. Revista Transporturilor nr.2/1962 p.67 - 70.
253. Teodorescu N. și colab. - Studiu inflanțării regimurilor de aşchise și a structurii materialelor compozite rugositatei suprafețelor produse prin strângere. Rev. Studii și cercetări de mecanică aplicată Tom 28 nr.4/1969 p.925.
254. Tiburtiu L. și colab. - Studiu experimental al variației rugosității cilindrilor de lemnusale N 59 A în timpul rotojului, după separație capitală. Rev. Transporturilor, 12 nr.2/1965 p.49 - 52.

255. Tomescu D. și colab.- Reparație utilajului agricol. Editura Agro-Silvică București 1965.
256. Tomescu D. și colab.- Tehnologie de desecare, reparare și manutinere a tractoarelor U-650, U-651. Edit. Agro-Silvică București 1965.
257. Tomescu D. - Criterii de stabilitate a limitelor de amură a pieselor de la tractoare și mașini agricole. Rev. Studii și cercetări de mecaniză agricolă nr.1/1971 p.9-34.
258. Tomescu D. - Principaliii factori care influențează calitatea reparărilor. Rev. Mecanizarea și electrificarea agriculturii nr.12/1970.
259. Tomescu D. - Metode noi de recondiționare a pieselor de tractoare și mașini agricole. Editura Agro-Silvică București 1965.
260. Trigător E.I. - Influența căldurii asupra usurii acuitei. Construcții de mașini. Caiet selectiv I.D.T. București nr.14/1967 p.796.
261. Trițești N. - Resistența materialelor. Editura didactică și ped. București 1967.
262. Toma G. - Tehnologie și calitate în fabricarea mașinilor și utilajelor. Editura Tehnică București 1973.
263. Ursu I. - Recondiționarea pieselor, metode de reducere a obiectivelor de întreținere și reparări. Rev. Mecanizarea și electr. agriculturii nr.12/1970 p.23.
264. Vălăgeschin B.N - Optimalizarea concentrației aluminului și bismutului din lemnăgozvenile. Studiu și instrument nr.1/1971 p.24 - 25.
265. Volkmar D.B - Puti povîrnenii și preisvedîtelinocti obrazivogo instrumenta pri alifovenii. Izd. Nauchno-tekhnicheskoe izdat. 1964 Leningrad.
266. Vasiliu Gh. - Influența reparărilor capitale asupra suprafacelui de compresione ale motoarelor de tractor. Rev. Studii și cercetări de mecanică agricolă nr.2/1967 p.95 - 101.

267. Pasilis Gh.  
- Recondiționarea cilindrilor motorului N.21  
Volga. Rev. Transporturi nr. 11 nr. 5/1964  
p.191 - 196.
268. Volești N.I.  
- Prelucrarea metalelor prin rectificare. Trad.  
din I.engleză. Editura Tehnică 1953.
269. Voiculescu D.  
- Reciclarea pe scara industrială. Construcțiile  
de mașini. Caiet selectiv I.D.T. București  
nr.30/1957 p.25.
270. Wurthing A.G.  
- Prelucrarea datelor experimentale. Trad.  
din I.engleză. Editura Tehnică Soc. 1959
271. Zetulovskii D.N.  
și colab.  
- Proces vibroțiglajgo bancherens v zone  
svahovih ostrot. Časopis i instrument nr.6  
1968 p.19 - 21.
272. Zibeski L.F.  
- De un sistem de control activ la baniere.  
Bogini uvalte și scule nr.9/1961 p.539.
273. x x x  
- Absorber reglabil al vibrațiilor bariilor  
de absorb. Prelucrarea metalelor prin ap-  
obiere nr.7/1969. p.39
274. x x x  
- Calitatea suprafețelor polimerice. Trad.  
din I.rusă I.D.T. București 1955
275. x x x  
- Corpuri obrazivi. Oficial de documentare  
și publicații tehnice București 1968.
276. x x x  
- Scule apăatoare. Prelucrarea metalelor  
prin apătoare. nr.6/1971 p.53
277. x x x  
- Utilizarea plănuțelor ceramice. Prelucra-  
rea metalelor prin apătoare. nr.9/1972  
p.37.
278. x x x  
- Unire cilindrilor și segmentilor la moto-  
zile cu ardere interioară. I.D.T. București  
1959.

C U P R I N S E L

	P a g .
INTRODUCEREA .....	1
<u>PARTea I</u>	
CONDITIILE SI CIRCONSTANTELE DE RECONDITIONARE A CAMPANILOR DE CILINDRU PRIN ALGAZIE .....	4
CAPITOLUL I : CONDIȚIILE TECNICHE ÎNFRĂGĂTORII DE CILINDRU .....	4
1.1. Condiții de precizie impuse cămpanilor de cilindru .....	4
1.2. Variație durată și stratului suprafeței - cinal și alcoajului .....	9
1.3. Variația parametrilor funcționali și rotoscului .....	10
CAPITOLUL II : STADIUL ACTUAL PE PLAN MONDIAL PRIN ALGAZIA DE RECONDITIONARE A CAMPANILOR DE CILINDRU .....	12
CAPITOLUL III : CAMPANILURI TECNICHE PRIN PRECIZIILE CAMPANILOR DE CILINDRU PRIN ALGAZIE .....	19
3.1. Influența deformărilor sistemului me- șinii ancolă-dispozitiv-ocluș-piesă asupra preciziei dimensiunale și ale formelor piesei prelucrate .....	19
3.1.1. Precizia dimensiunii piesei prelucrate .....	20
3.1.2. Conforțarea alcoajelor .....	22
3.1.3. Qualitatea alcoajelor .....	24
3.2. Influența curății meșinerii și deținutei pe cîntului asupra preciziei pieselor prelucrate .....	27
3.2.1. Influența parametrilor regimului de secțiere asupra curății me- șinelor .....	29
3.2.2. Influența parametrilor geo- metrii și meșinelor asupra cură- ții lor .....	33

3.2.3. Influențe materialului sculelor scopurilor lor .....	39
3.3. Influențe dispositivelor .....	39
3.4. Influențe forțelor de apăiere scopurilor deformărilor elastice ale piesei pro- iectate .....	42
3.4.1. Măsurare cu două căjiște dispuse electric .....	42
3.4.2. Măsurare cu trei căjiște .....	47
3.4.3. Măsurare cu patru căjiște .....	52
3.5. Concluzii .....	55
<b>CAPITOLUL IV. CERCETARI EXPERIMENTALE ALE PROCEDURII DE ALIZARE A CAPIAȚILOR DE CELULOID</b> .....	<b>55</b>
4.1. Metodologie și aparițura folosirii .....	55
4.1.1. Aparițura folosirii .....	55
4.1.2. Metodica experimentului .....	61
4.2. Rezultatele experimentale obținute .....	66
4.2.1. Precizia de formă a pieselor proiectate .....	66
4.2.2. Produtivitatea unorii .....	72
4.2.3. Măsurarea gradului de unire al unorii de obicei și încrengături sau rotunjiri a acestora .....	76
4.3. Concluzii .....	76
<b>PAGINA A XII-a</b>	
<b>STUDIU SI CERCETARI ASUPRA PROCEDURILOR DE REGREDITIONARE A CAPIAȚILOR DE CELULOID FRER HORVATH</b> .....	<b>78</b>
<b>CAPITOLUL V : STUDII PE VIVID STANCIUL ACTUAL AL PROCEDU- RILUI DE HORVATH</b> .....	<b>78</b>
5.1. Aventajele principale ale procesului de horvath .....	78
5.2. Codul critic scopurilor actualului proces de horvath în producție .....	81
5.3. Caracteristicile principale ale proceso- rului de horvath .....	83

<b>CAPITOLUL VI : CERCETARI TEORETICE SI EXPERIMENTALE</b>	
<b>PENTRU AMPLIAREA PRECIZELII PIERSOR</b>	
<b>MEDIEREA RUMENIRE . . . . .</b>	<b>89</b>
<b>6.1. Rezina, dispozitiv si scule</b>	
<b>folosite . . . . .</b>	<b>89</b>
<b>6.1.1. Rezina de benzine . . . . .</b>	<b>89</b>
<b>6.1.2. Dispozitive de fixare la</b>	
<b>benzine . . . . .</b>	<b>90</b>
<b>6.1.3. Scule folosite . . . . .</b>	<b>91</b>
<b>6.2. Influentele preciziei specifice a sup-</b>	
<b>feților abrazivi asupra preciziei</b>	
<b>de la formă a piezelor poliacoate</b>	
<b>prin benzine . . . . .</b>	<b>91</b>
<b>6.3. Influentele lungimii de depășire a</b>	
<b>valorii <math>\lambda_g</math>" la capetele piezelor poliacoate de către conectorii abrazivi.</b>	
<b>6.3.1. Influenta valorii <math>\lambda_g</math>" asupra</b>	
<b>abaterii de la forma cilindri-</b>	
<b>cil (conicitates) a cămpilor</b>	
<b>de cilindru poliacoate prin</b>	
<b>benzine . . . . .</b>	<b>95</b>
<b>6.3.2. Influenta valorii <math>\lambda_g</math>" asupra</b>	
<b>abaterii de la forma circulare</b>	
<b>(ovalitatea) a cămpilor de</b>	
<b>cilindru poliacoate prin benz-</b>	
<b>ine . . . . .</b>	<b>99</b>
<b>6.4. Capacitatea de corectare a abaterii</b>	
<b>formei cămpilor de cilindru în</b>	
<b>funcție de timpul necesar benzirii .</b>	<b>102</b>
<b>6.5. Efectul numărului rulilor benzirii</b>	
<b>asupra capacitatii săritii preciziei</b>	
<b>piezelor poliacoate la benzire . . .</b>	<b>104</b>
<b>6.6. Capacitatea de corectare a abaterii</b>	
<b>de la forme geometrice în funcție de</b>	
<b>abaterea de formă inițială . . . . .</b>	<b>106</b>
<b>6.6.1. Capacitatea de corectare a abe-</b>	
<b>terii de la forme cilindriadi</b>	
<b>în funcție de abaterea de formă</b>	
<b>inițială . . . . .</b>	<b>108</b>

6.6.2. Capacitatea de corectare a abatrilor de la formă circulației în funcție de obiectele de formă inițială . . . . .	108
<b>CAPITOLUL VII : OBȚINERI TEORETICE și EXPERIMENTALE PENTRU MĂRÎTAREA PRODUCȚIVITĂȚII MUNCII LA PROCOLUL DE LORUIRE . . . . .</b>	<b>109</b>
7.1. Influența prestanii specifice a segmentelor obiectivii cunoștințelor produsivității muncii la bonificare . . . . .	110
7.2. Influența duratăi procesului de bonificare „T“ asupra produsivității muncii . . . . .	114
7.3. Influența vitezei periferice asupra produsivității muncii în procesul bonificării . . . . .	116
7.4. Influența vitezei axiale de rotativă asupra produsivității muncii în procesul bonificării . . . . .	118
7.5. Influența granulăției segmentelor obiectivii cunoștințelor produsivității muncii în procesul bonificării . . . . .	119
<b>CAPITOLUL VIII : OBȚINERI TEORETICE și EXPERIMENTALE PENTRU MARIREA PARȚIALII CUPRINSĂȚII PRELUCRAREI PRIN LORUIRE . . . . .</b>	<b>128</b>
8.1. Influența prestanii specifice a segmentelor obiectivii asupra suprafaței lui suprafetei bonificate . . . . .	130
8.2. Influența timpului de bonificare asupra suprafaței lui suprafetei bonificate . . . . .	133
8.3. Influența vitezei axiale de rotativă bonificate . . . . .	136
8.4. Influența vitezei periferice asupra suprafaței lui suprafetei bonificate . . . . .	137
8.5. Influența granulăției segmentelor obiectivii asupra suprafaței lui suprafetei bonificate . . . . .	139
8.6. Concluzii . . . . .	141

<b>Concluzii generale . . . . .</b>	<b>145</b>
<b>Recomandări . . . . .</b>	<b>147</b>
<b>Contribuții personale . . . . .</b>	<b>149</b>
<b>Anexa 1 . . . . .</b>	<b>150</b>
<b>Anexa 2 . . . . .</b>	<b>152</b>
<b>Anexa 3 . . . . .</b>	<b>155</b>
<b>Bibliografie . . . . .</b>	<b>167</b>
<b>Caprinsul . . . . .</b>	<b>192</b>

000000000000